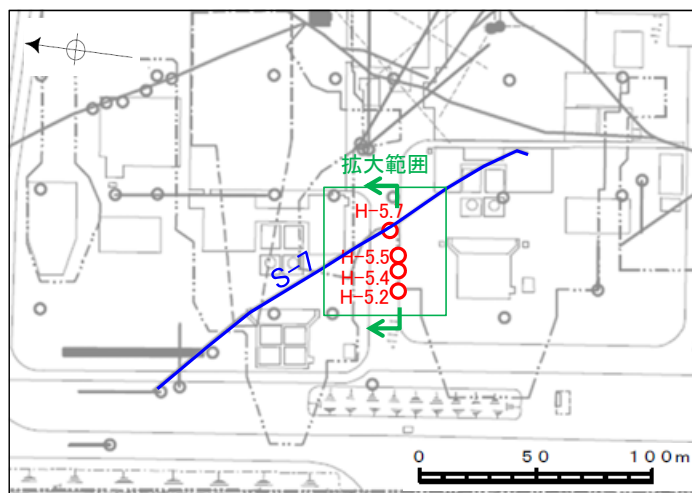

4. S-7の運動方向

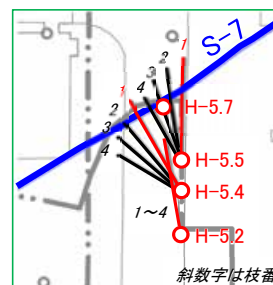
S-7の条線観察結果

- 鉛直ボーリング孔
- 斜めボーリング孔
- 表土はぎ
- トレンチ
- 岩盤調査坑
- ⋯ 試掘坑, 試験坑, 斜坑
- S-7(EL-4.7m)

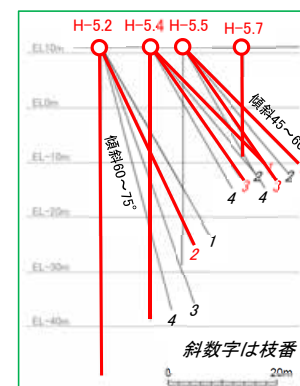
赤字: 条線観察箇所



調査位置図



拡大平面図



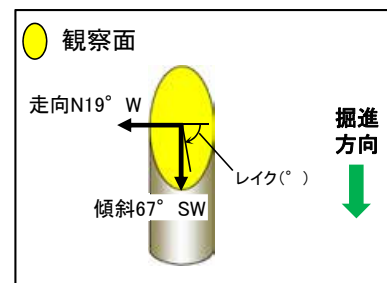
拡大断面図

断面位置

| 試料名 | | 走向/傾斜 (走向は真北) | 条線観察結果 | |
|-----------------------------|-----|------------------|---------|---------|
| | | | 条線のレイク* | 変位センス |
| ボーリング H-5.2 (深度55.15m) | 下盤側 | N19° W/67° SW | 80° R | (不明) |
| ボーリング H-5.2-2 (深度34.50m) | 上盤側 | N43° W/58° SW | 18° R | (不明) |
| ボーリング H-5.4 (深度40.20m) | 上盤側 | N35° W/55° SW | 35° R | (不明) |
| ボーリング H-5.4-1 (深度22.70m) | 下盤側 | N57° W/61° SW | 95° R | (不明) |
| ボーリング H-5.4-3 (深度24.15m) | 上盤側 | N23° W/56° SW | 75° R | (不明) |
| ボーリング H-5.5-1 (深度20.90m) | 下盤側 | N51° W/62° SW | 78° R | 右横ずれ逆断層 |
| | | | 53° R | (不明) |
| ボーリング H-5.5-3 (深度19.85m) | 下盤側 | N22° W/71° SW | 69° R | 右横ずれ逆断層 |
| | | | 94° R | (不明) |
| ボーリング H-5.7 (深度13.20m) | 上盤側 | N56° W/65° SW | 20° R | (不明) |
| | | | 160° R | (不明) |
| | | | 45° R | 右横ずれ逆断層 |

※ 上盤側で確認したレイクは下盤側に換算して示す

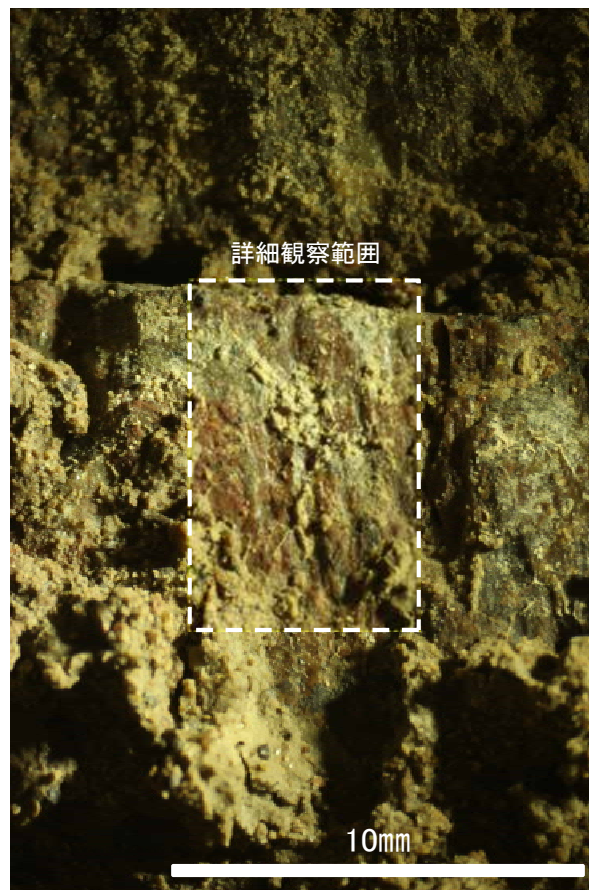
条線観察結果(ボーリングH-5.2[深度55.15m])(下盤側)



概念図
※走向は真北で示す。



観察面写真



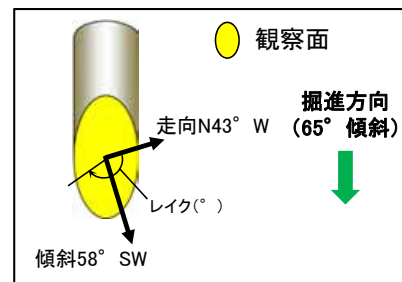
観察面拡大写真



詳細観察写真

・条線のレイクは80° R, 変位センスは不明

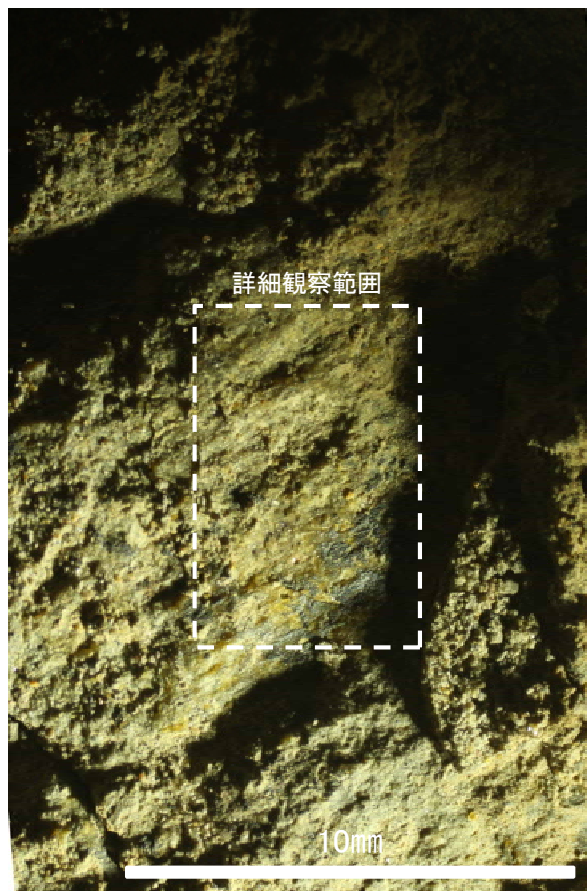
条線観察結果(ボーリングH-5.2-2[深度34.50m])(上盤側)



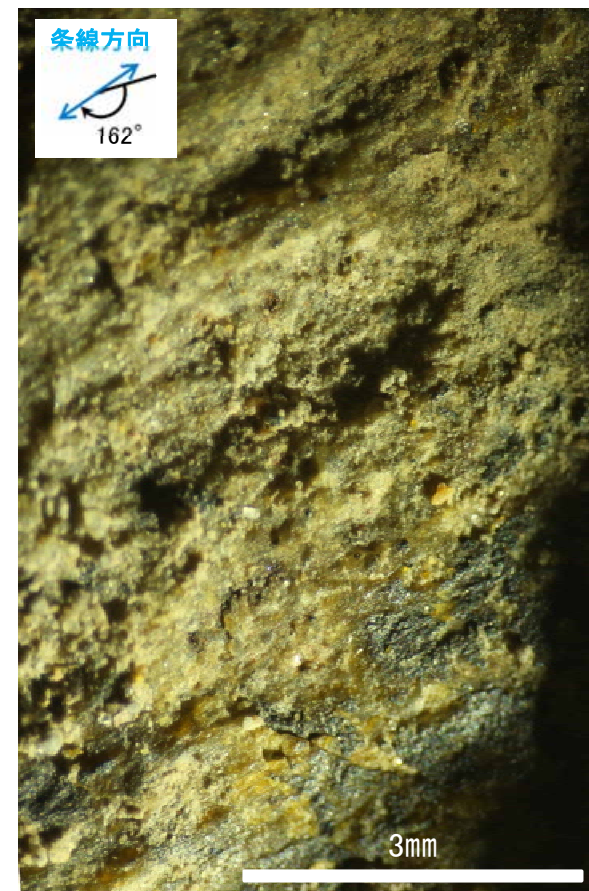
概念図
※走向は真北で示す。



観察面写真



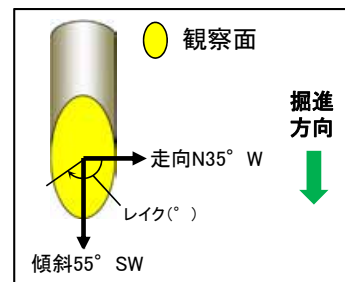
観察面拡大写真



詳細観察写真

・条線のレイクは18° R(下盤側換算), 変位センスは不明

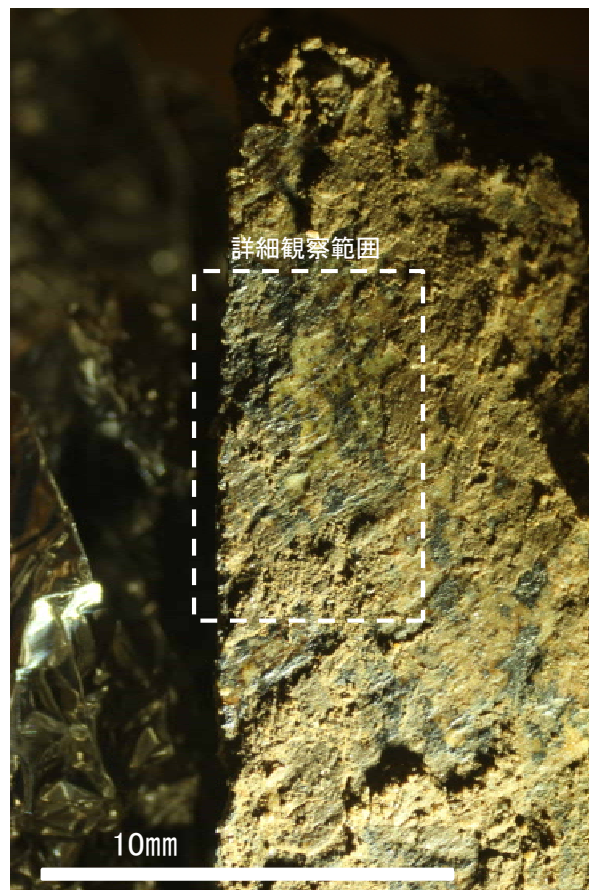
条線観察結果(ボーリングH-5.4[深度40.20m])(上盤側)



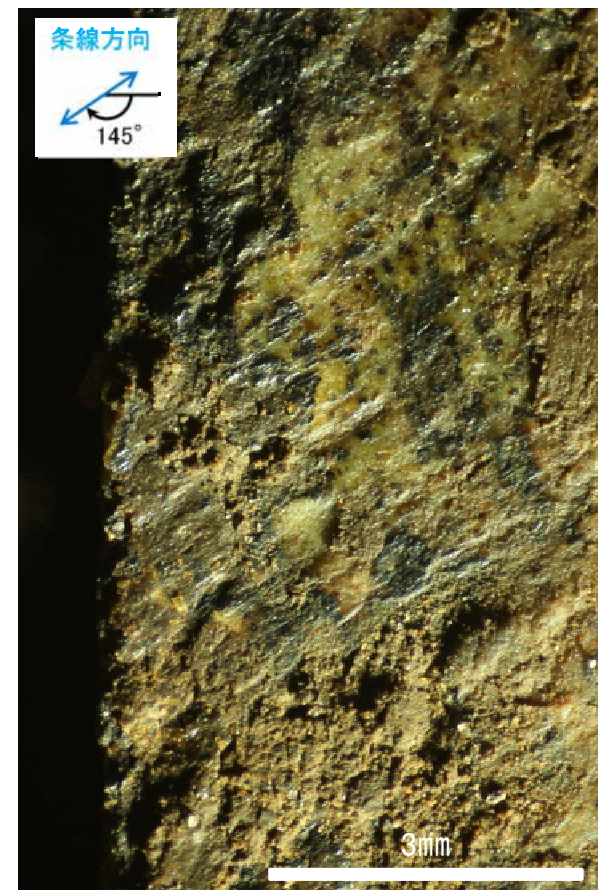
概念図
※走向は真北で示す。



観察面写真



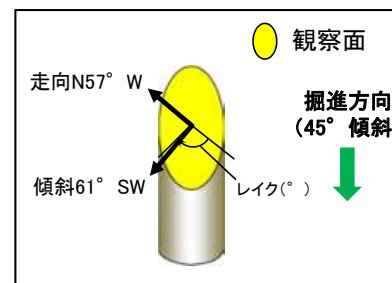
観察面拡大写真



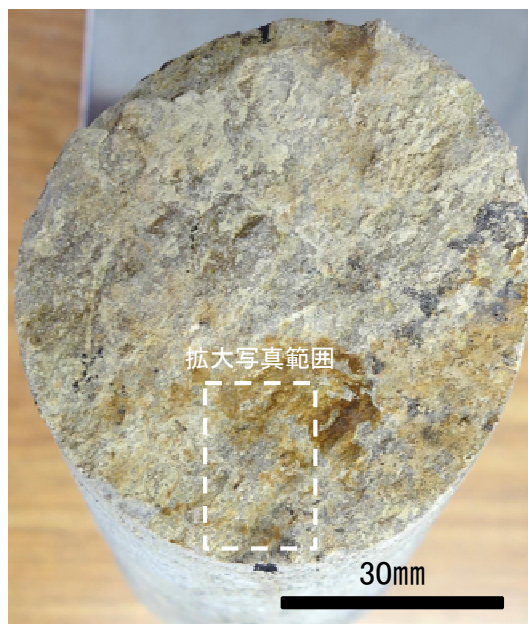
詳細観察写真

・条線のレイクは35° R(下盤側換算), 変位センスは不明

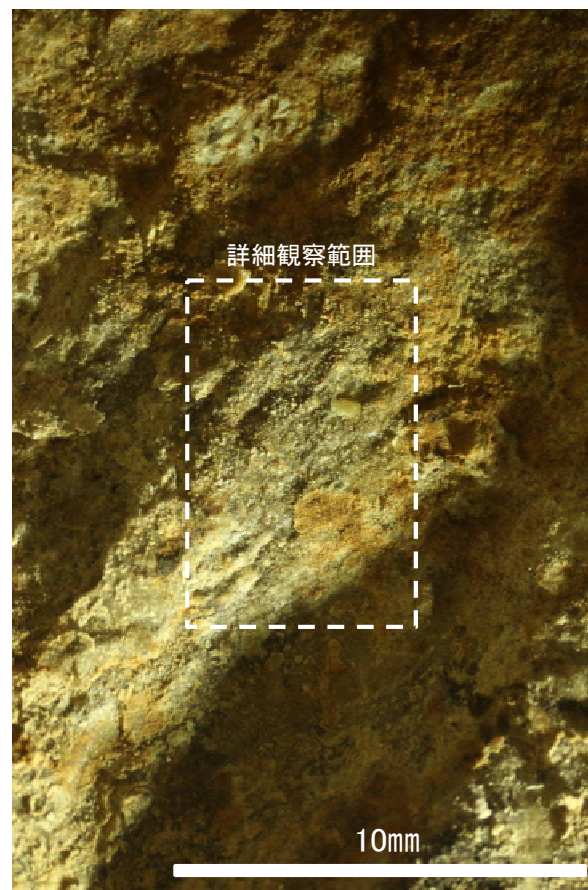
条線観察結果(ボーリングH-5.4-1[深度22.70m])(下盤側)



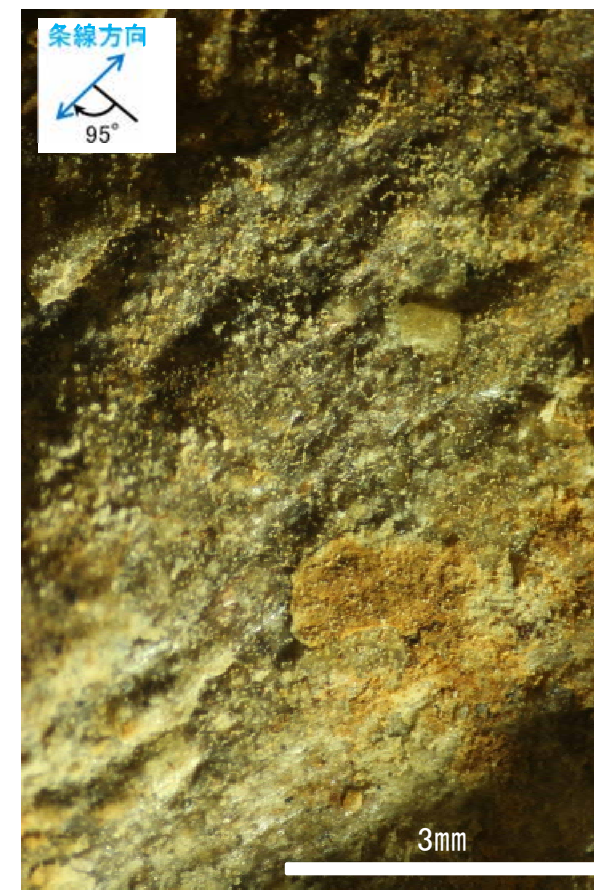
概念図
※走向は真北で示す。



観察面写真



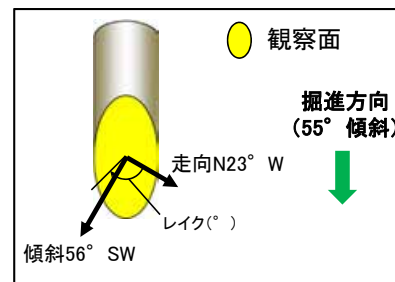
観察面拡大写真



詳細観察写真

・条線のレイクは95° R, 変位センスは不明

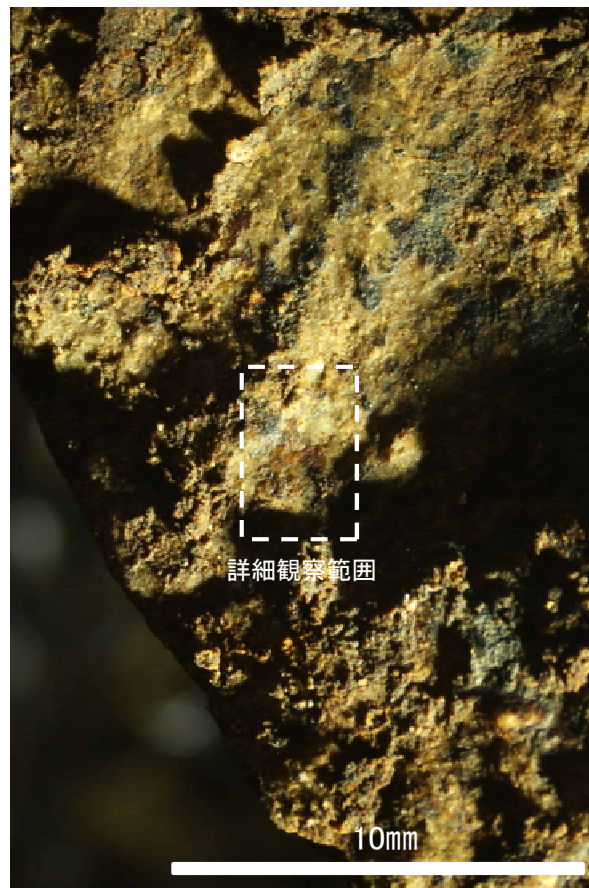
条線観察結果(ボーリングH-5.4-3[深度24.15m])(上盤側)



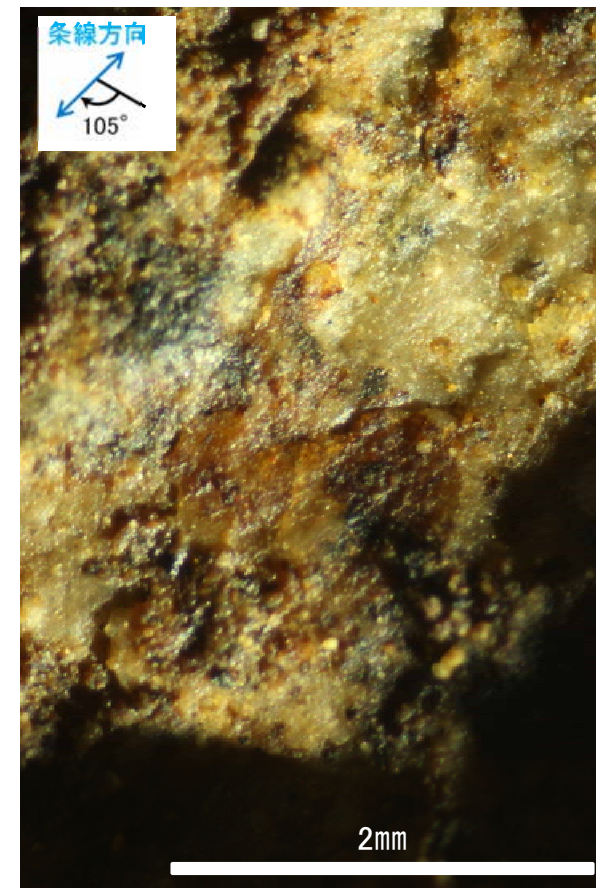
概念図
※走向は真北で示す。



観察面写真



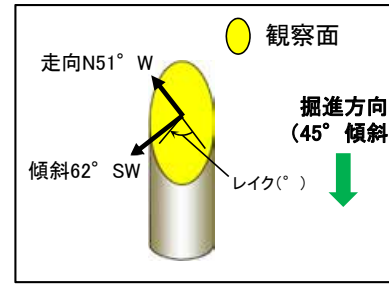
観察面拡大写真



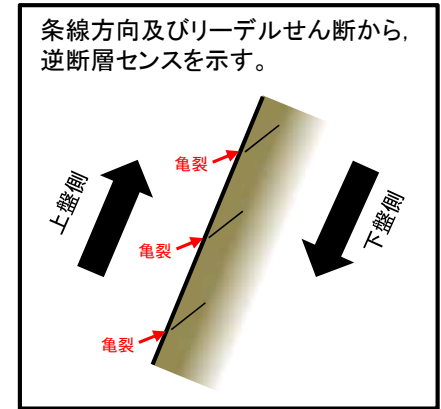
詳細観察写真

・条線のレイクは75° R(下盤側換算), 変位センスは不明

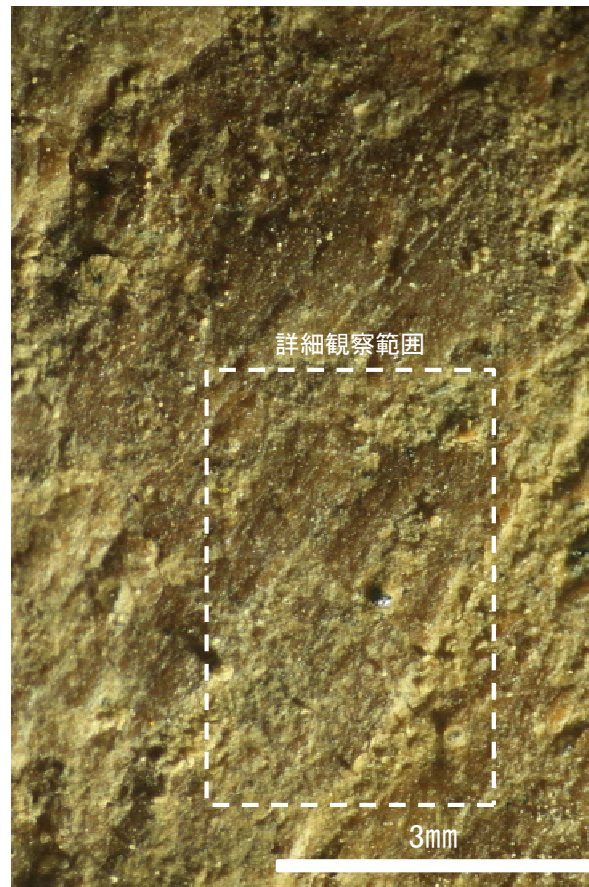
条線観察結果(ボーリングH-5.5-1[深度20.90m])(下盤側)①



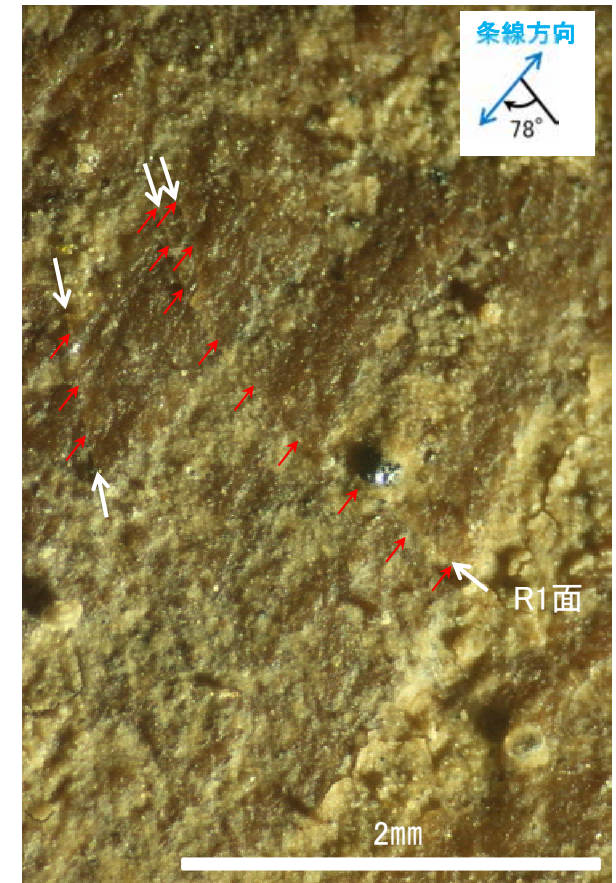
概念図
※走向は真北で示す。



観察面写真



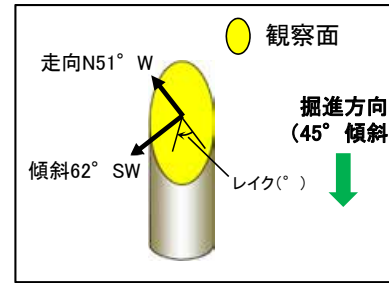
観察面拡大写真



詳細観察写真

・条線のレイクは78° R, 変位センスは右横ずれ逆断層センス

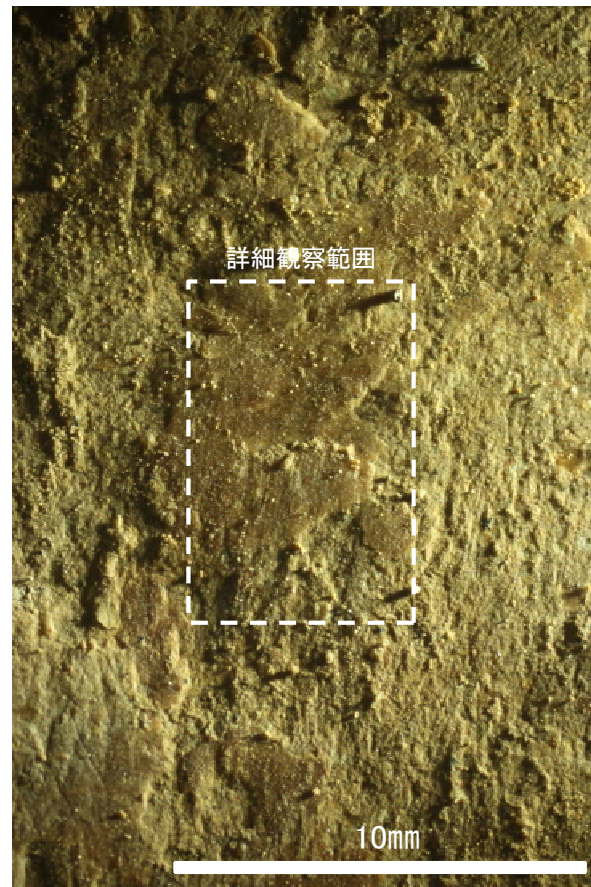
条線観察結果(ボーリングH-5.5-1[深度20.90m])(下盤側)②



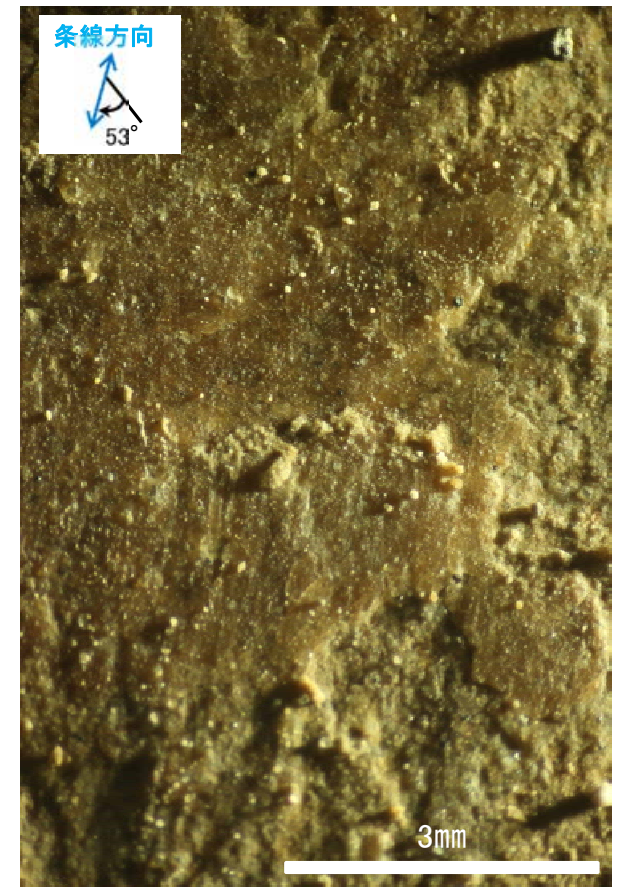
概念図
※走向は真北で示す。



観察面写真



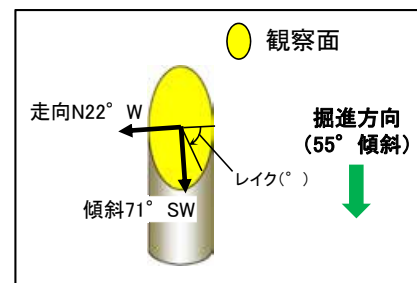
観察面拡大写真



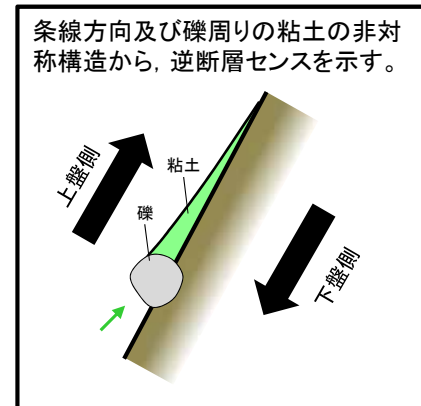
詳細観察写真

・条線のレイクは53° R, 変位センスは不明

条線観察結果(ボーリングH-5.5-3[深度19.85m])(下盤側)①



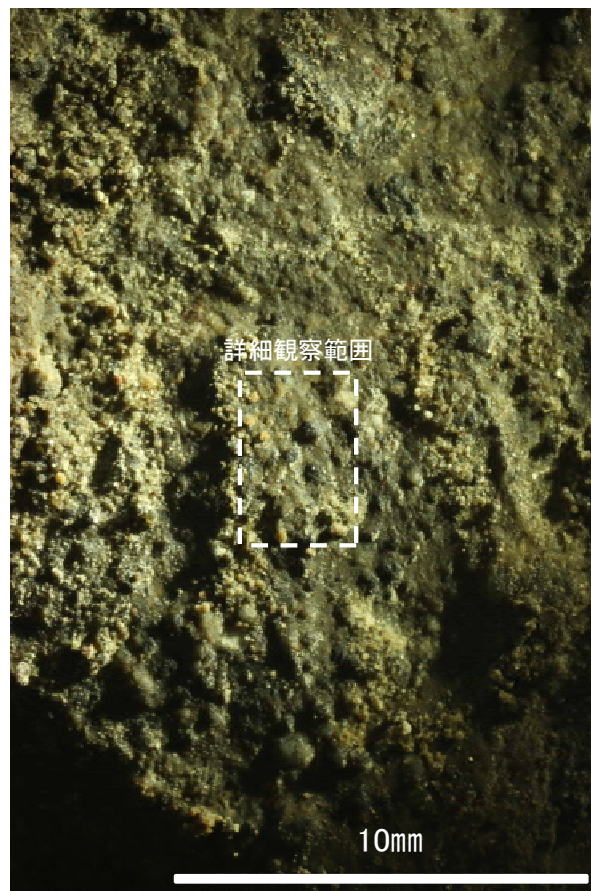
概念図
※走向は真北で示す。



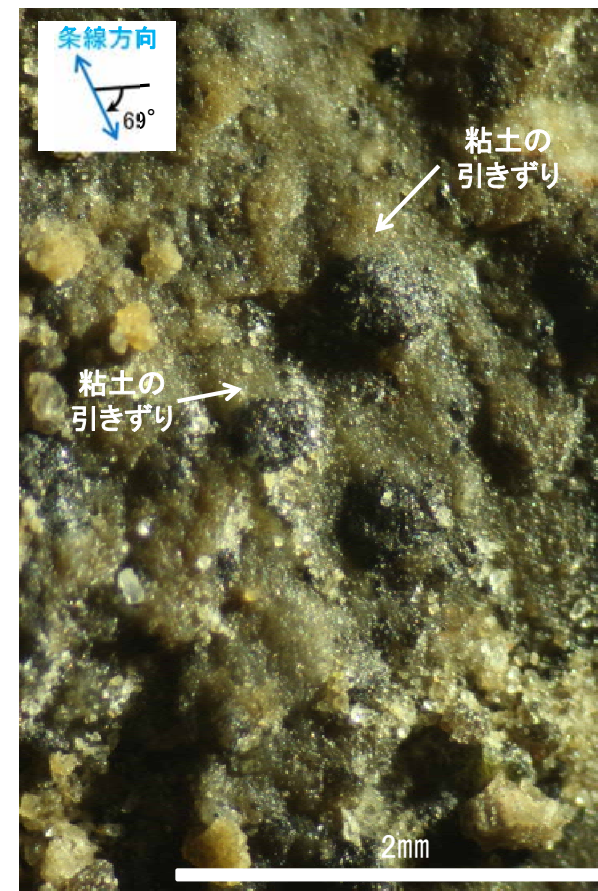
条線方向及び礫周りの粘土の非対称構造から、逆断層センスを示す。



観察面写真



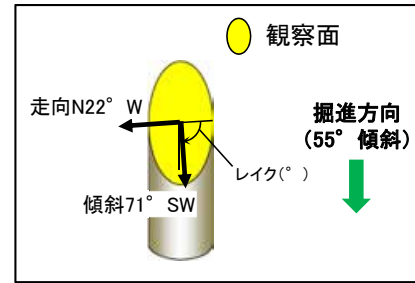
観察面拡大写真



詳細観察写真

・条線のレイクは69° R, 変位センスは右横ずれ逆断層センス

条線観察結果(ボーリングH-5.5-3[深度19.85m])(下盤側)②



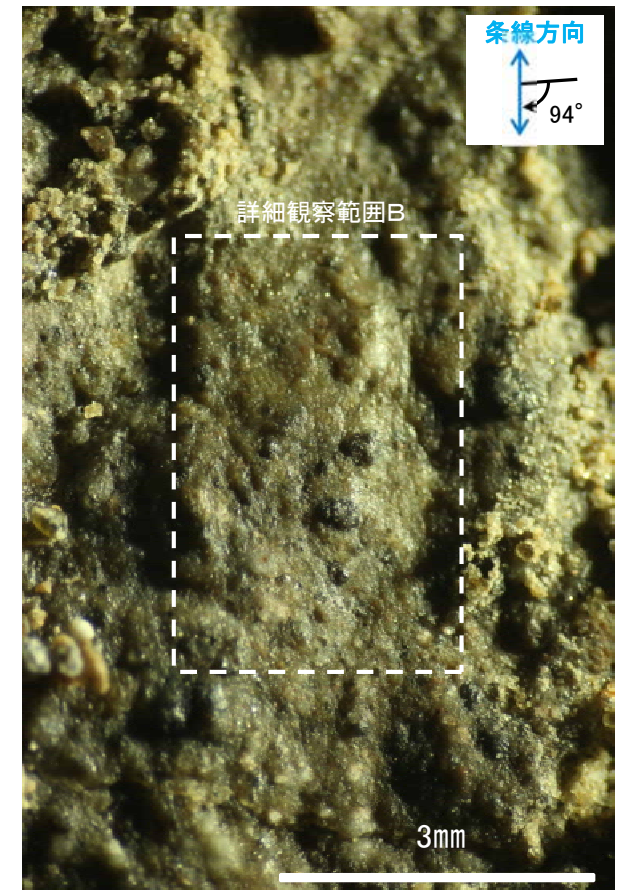
概念図
※走向は真北で示す。



観察面写真



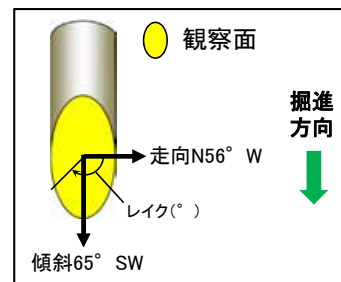
観察面拡大写真



詳細観察写真A

・条線のレイクは94° R, 変位センスは不明

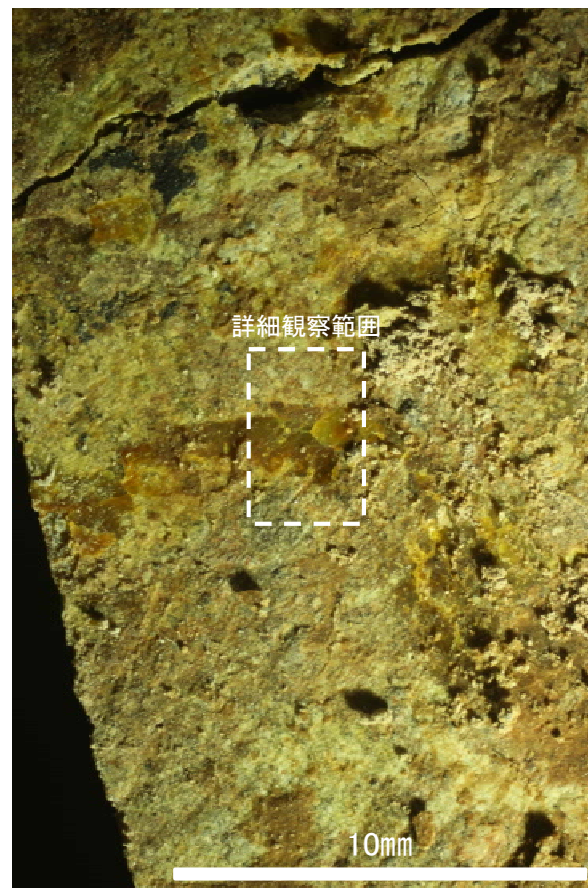
条線観察結果(ボーリングH-5.7[深度13.20m])(上盤側)①



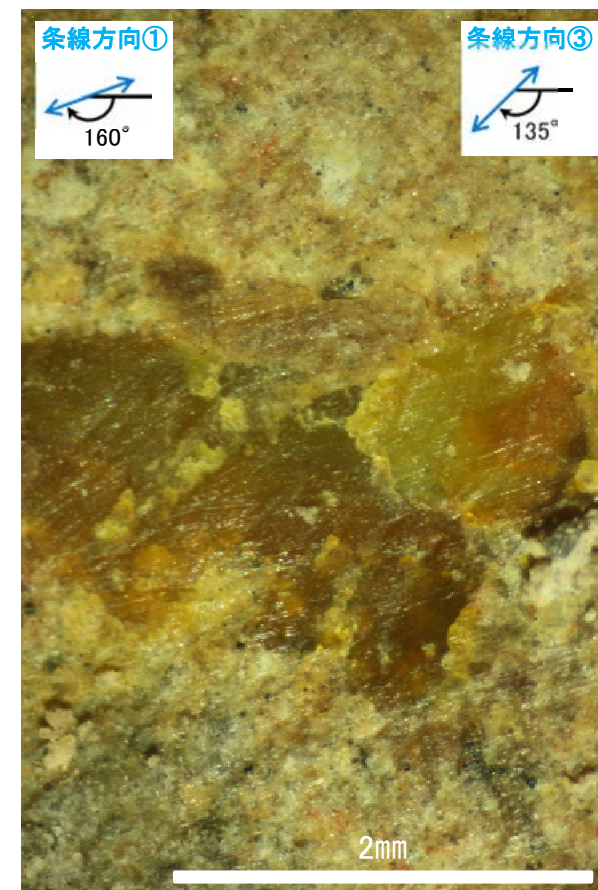
概念図
※走向は真北で示す。



観察面写真



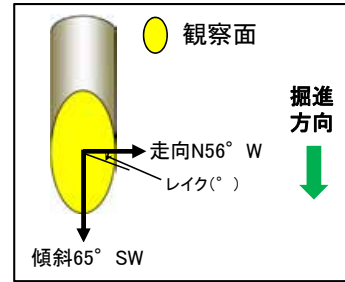
観察面拡大写真



詳細観察写真

・条線のレイクは20° R(下盤側換算), 45° R(下盤側換算), 変位センスは不明

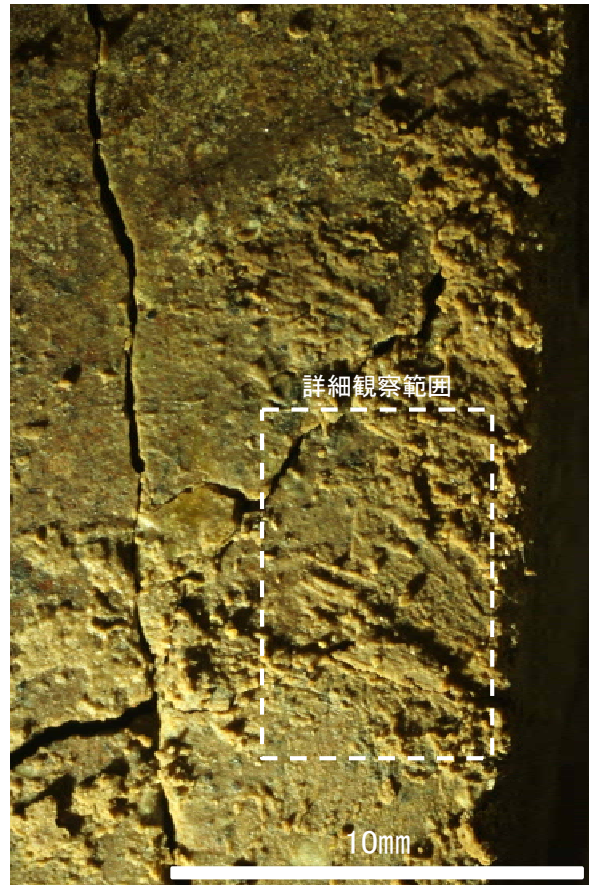
条線観察結果(ボーリングH-5.7[深度13.20m])(上盤側)②



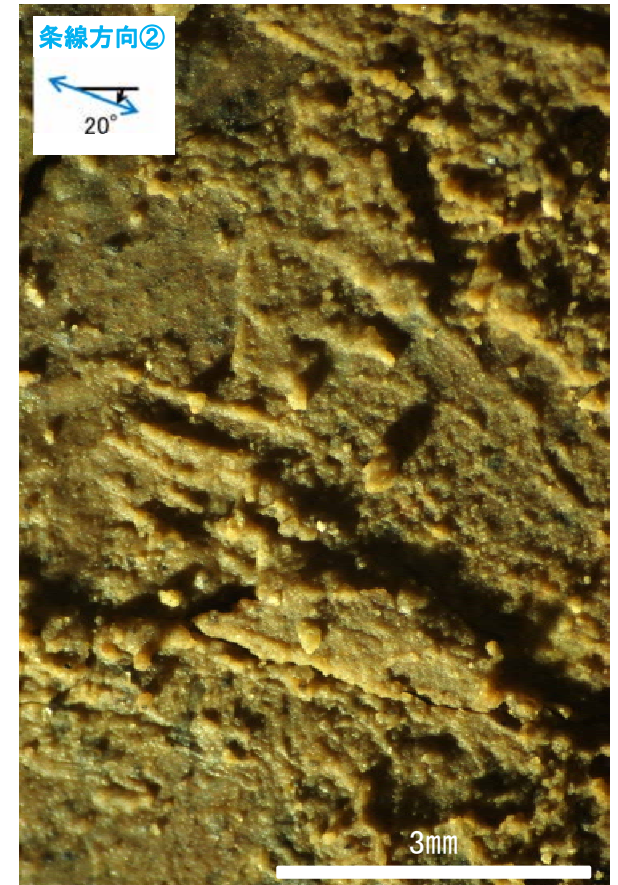
概念図
※走向は真北で示す。



観察面写真



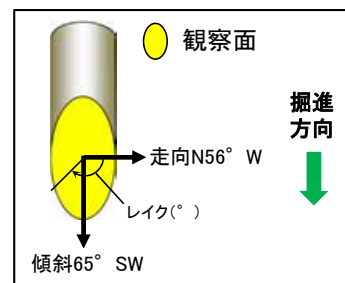
観察面拡大写真



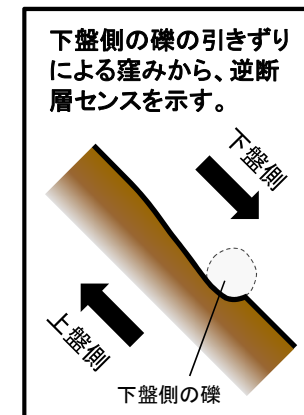
詳細観察写真

・条線のレイクは 160° R(下盤側換算), 変位センスは不明

条線観察結果(ボーリングH-5.7[深度13.20m])(上盤側)③



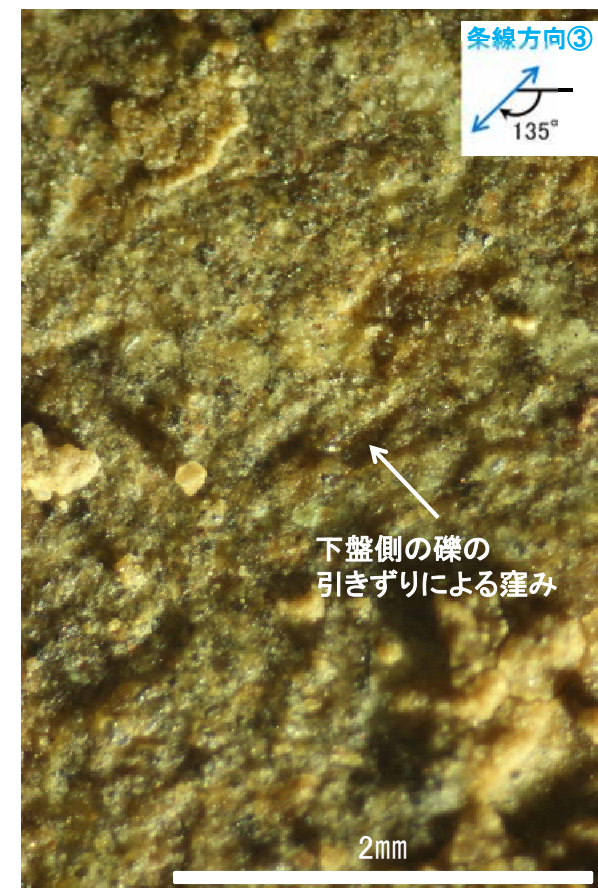
概念図
※走向は真北で示す。



観察面写真



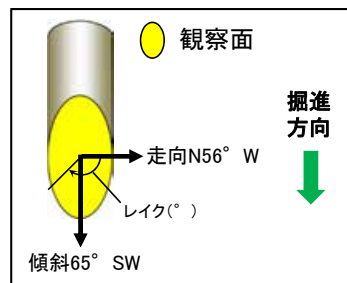
観察面拡大写真



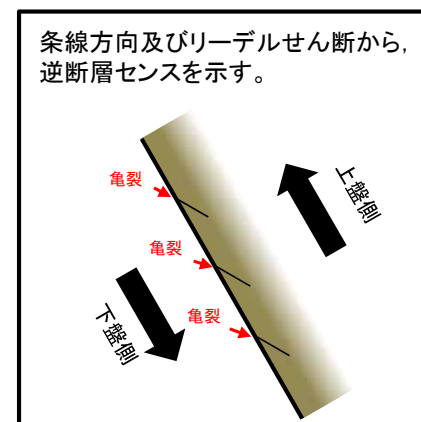
詳細観察写真

・条線のレイクは45° R (下盤側換算), 変位センスは右横ずれ逆断層センス

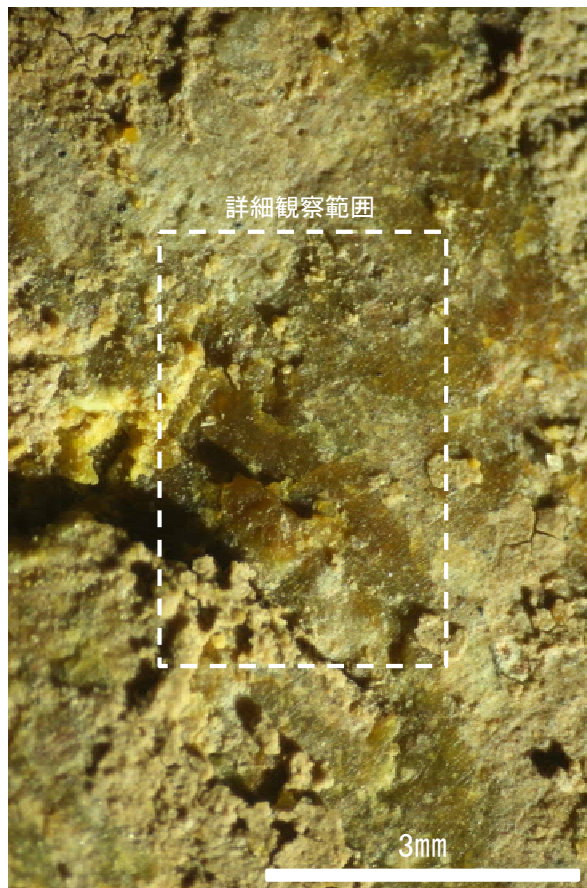
条線観察結果(ボーリングH-5.7[深度13.20m])(上盤側)④



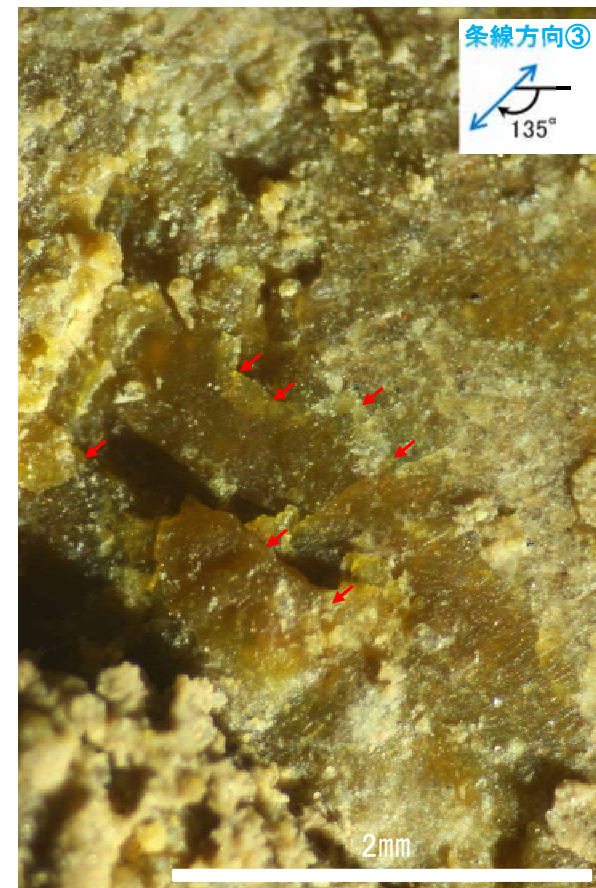
概念図
※走向は真北で示す。



観察面写真



観察面拡大写真



詳細観察写真

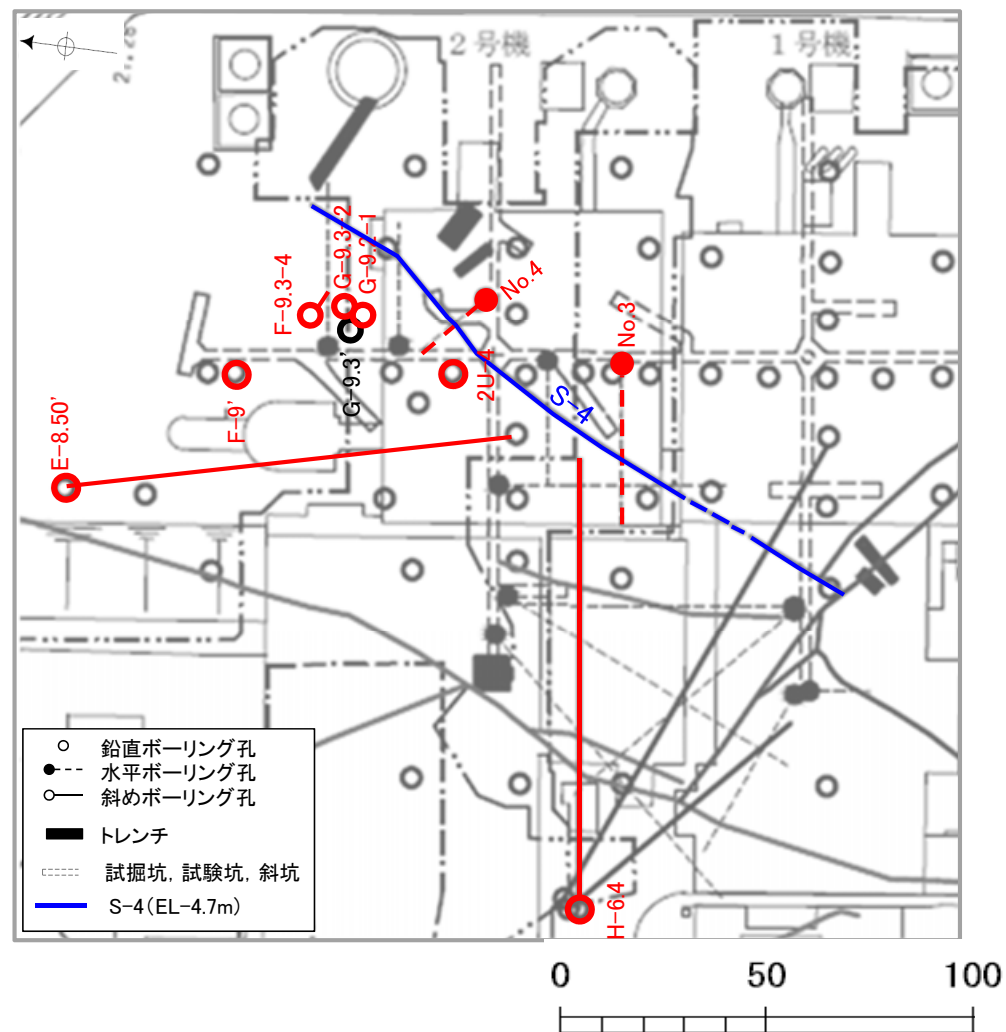
・条線のレイクは45° R (下盤側換算), 変位センスは右横ずれ逆断層センス

5. S-4の運動方向

S-4の条線観察結果

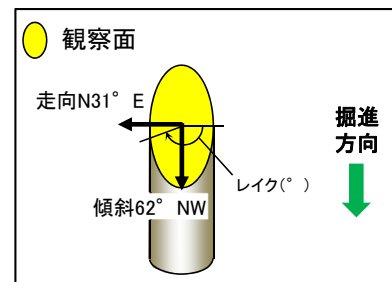
| 試料名 | 走向/傾斜 (走向は真北) | 条線観察結果 | |
|------------------------------|-------------------|---------|-------------|
| | | 条線のレイク※ | 変位センス |
| ボーリングF-9' (深度107.63m) | 下盤側 N31° E/62° NW | 160° R | 左横ずれ 逆断層 |
| ボーリング2U-4 (深度39.45m) | 下盤側 N58° E/72° NW | 120° R | 左横ずれ 逆断層 |
| ボーリングG-9.2-1 (深度63.18m) | 下盤側 N42° E/52° NW | 140° R | (不明) |
| ボーリングF-9.3-4 (深度66.55m) | 下盤側 N44° E/63° NW | 150° R | (不明) |
| 水平ボーリング No.3 (深度25.35m) | 下盤側 N39° E/38° NW | 150° R | (不明) |
| 水平ボーリング No.4 (深度10.85m) | 下盤側 N43° E/69° NW | 135° R | (不明) |
| ボーリング G-9.3-2 (深度66.52m) | 下盤側 N40° E/52° NW | 150° R | (不明) |
| | | 40° R | (不明) |
| ボーリング E-8.50' (深度113.10m) | 下盤側 N38° E/54° NW | 131° R | (不明) |
| ボーリング H-6.4 (深度94.65m) | 上盤側 N39° E/56° NW | 88° R | (不明) |

※ 上盤側で確認したレイクは下盤側に換算して示す

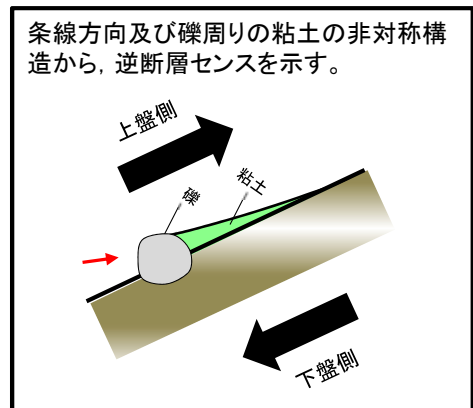


位置図

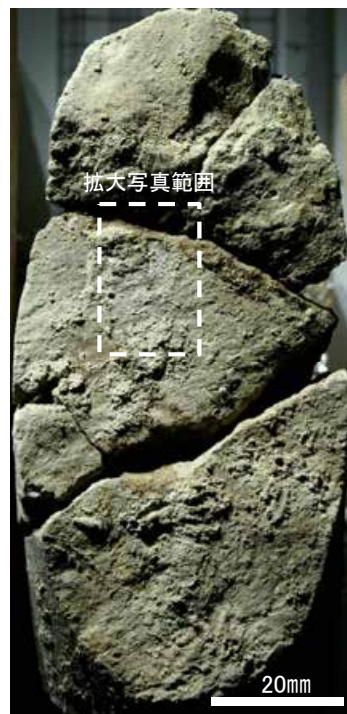
条線観察結果(ボーリングF-9' [深度107.63m])(下盤側)



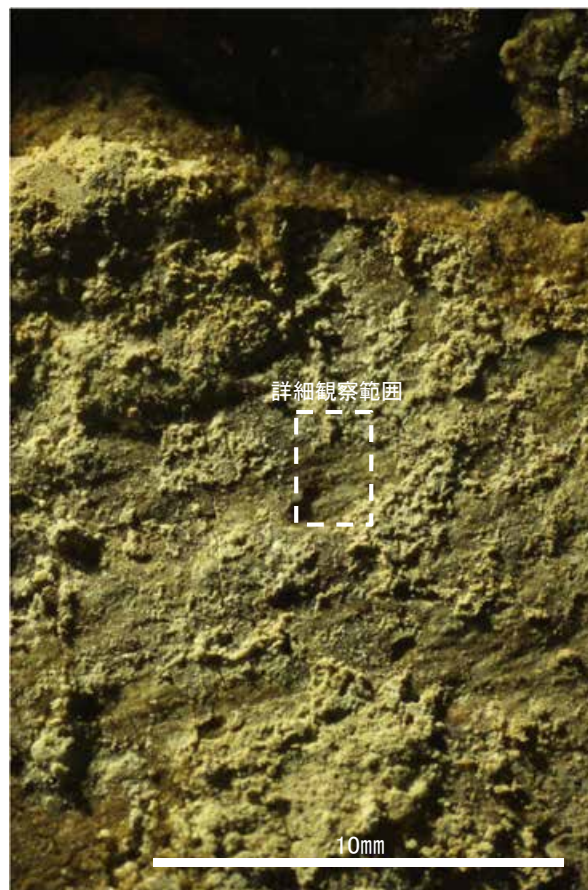
概念図
※走向は真北で示す。



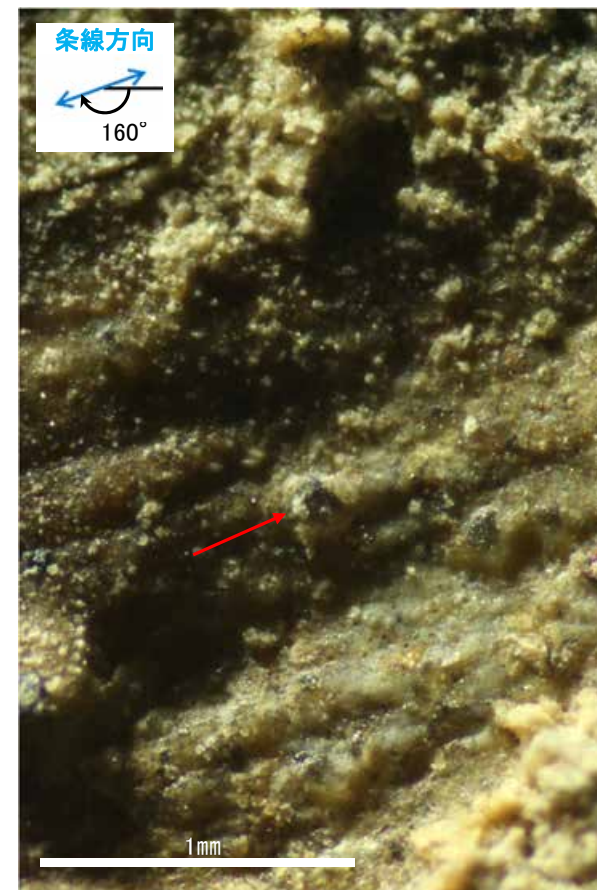
条線方向及び礫周りの粘土の非対称構造から、逆断層センスを示す。



観察面写真



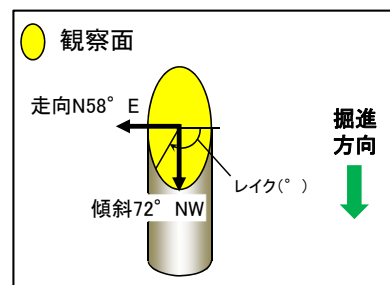
観察面拡大写真



詳細観察写真

・条線のレイクは160° R, 変位センスは左横ずれ逆断層センス

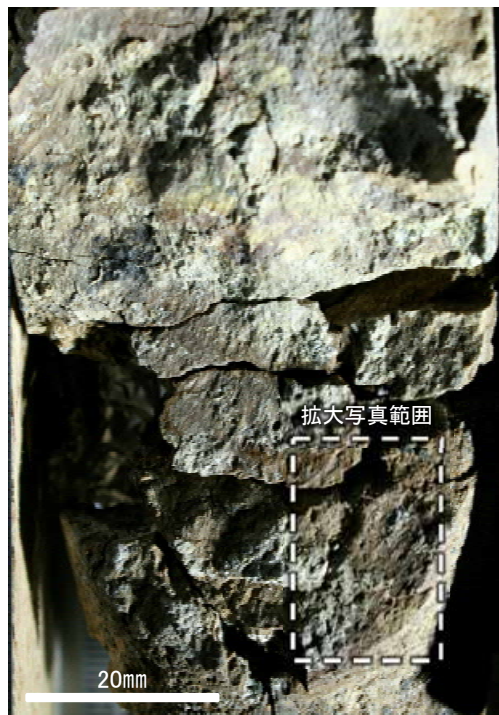
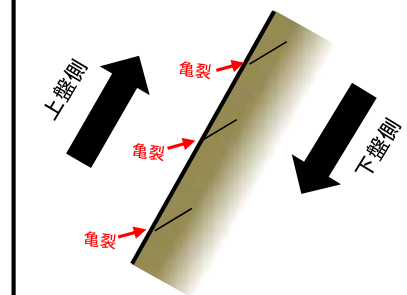
条線観察結果(ボーリング2U-4[深度39.45m])(下盤側)



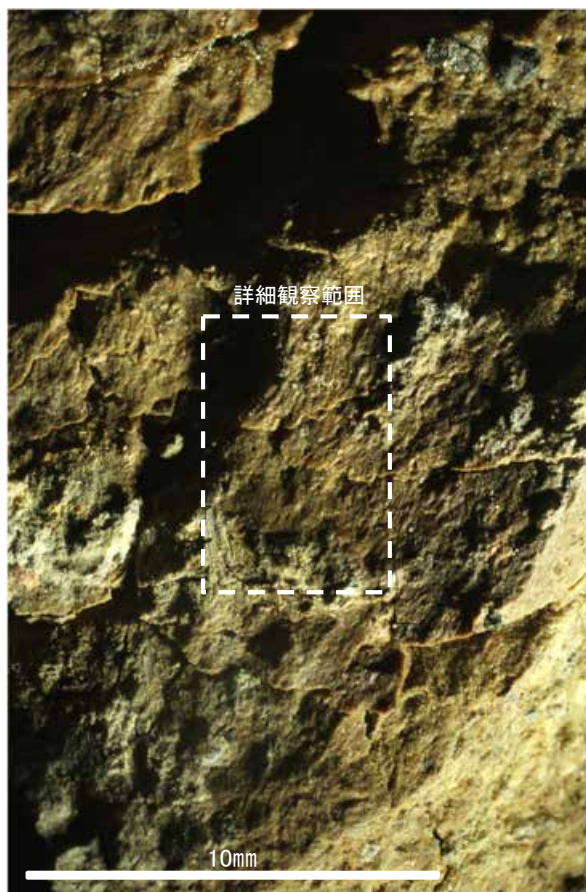
概念図

※走向は真北で示す。

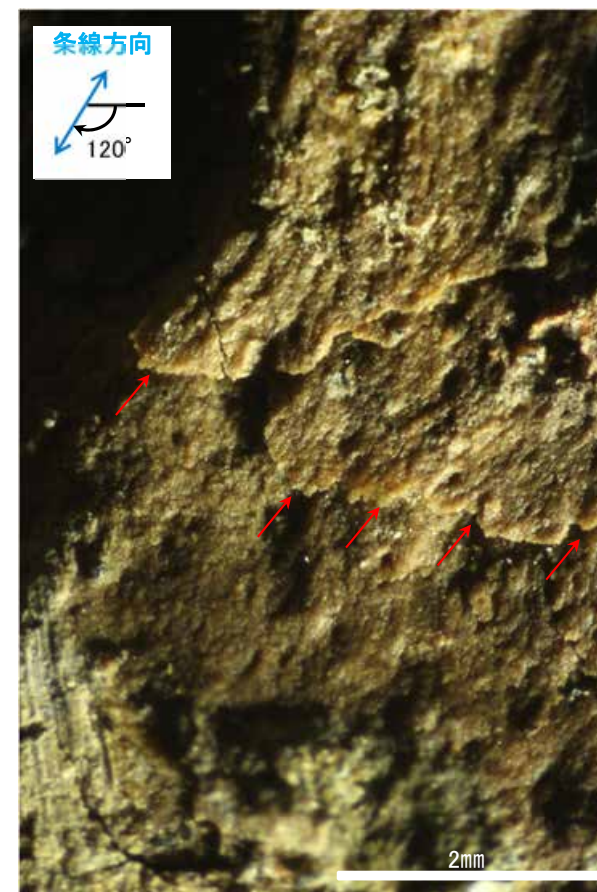
条線方向及びリーデルせん断から、逆断層センスを示す。



観察面写真



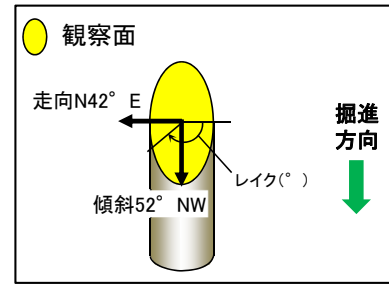
観察面拡大写真



詳細観察写真

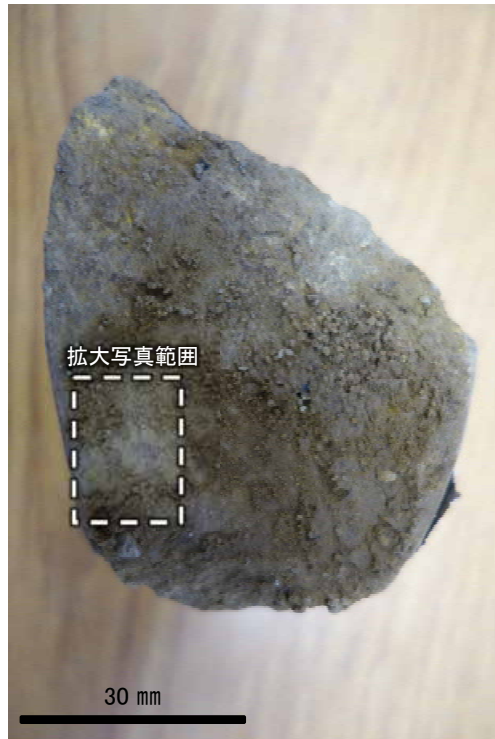
・条線のレイクは120° R, 変位センスは左横ずれ逆断層センス

条線観察結果(ボーリングG-9.2-1[深度63.18m])(下盤側)

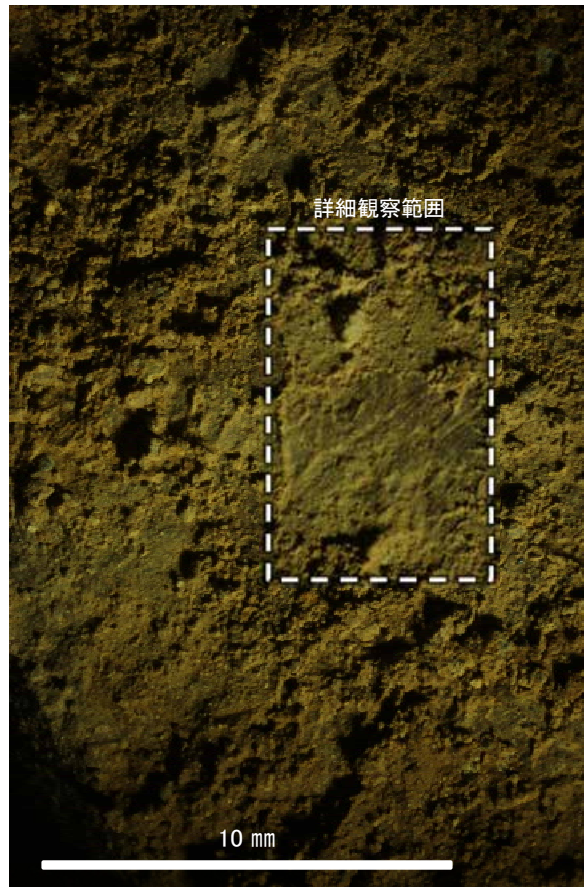


概念図

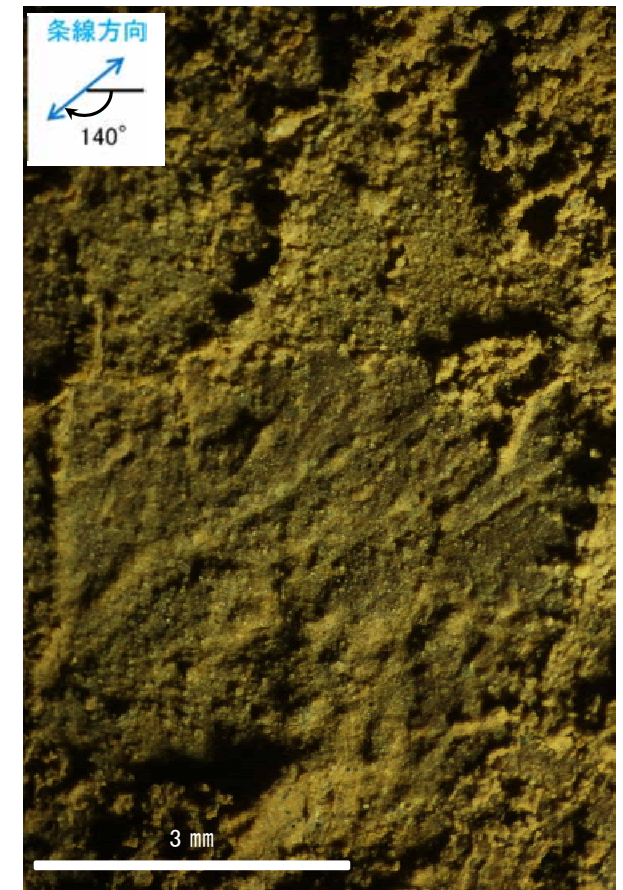
※走向は真北で示す。



観察面写真



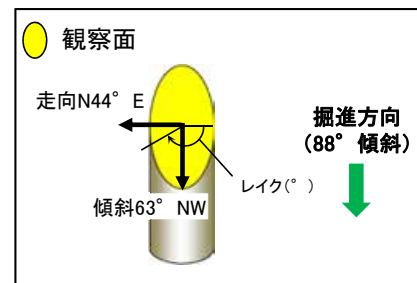
観察面拡大写真



詳細観察写真

・条線のレイクは140° R, 変位センスは不明

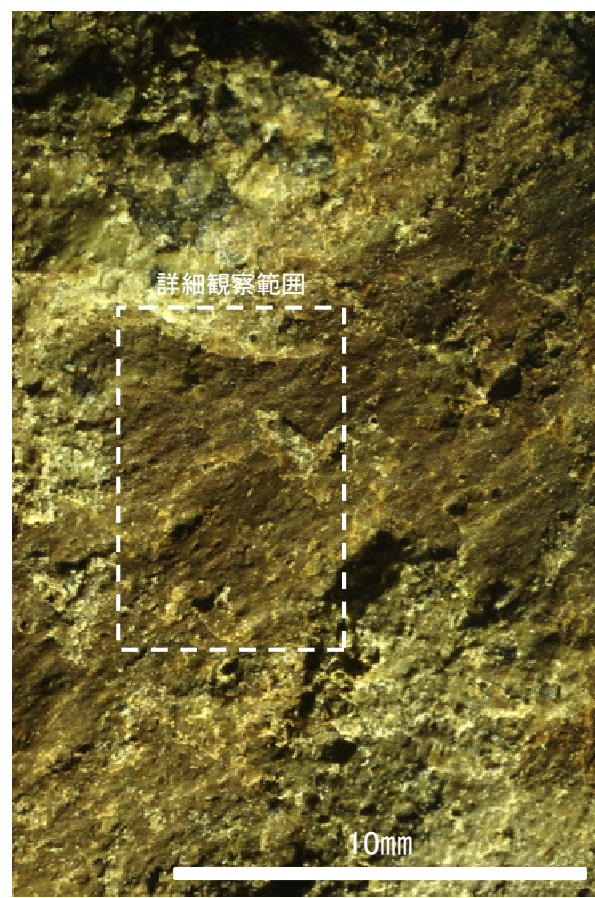
条線観察結果(ボーリングF-9.3-4[深度66.55m])(下盤側)



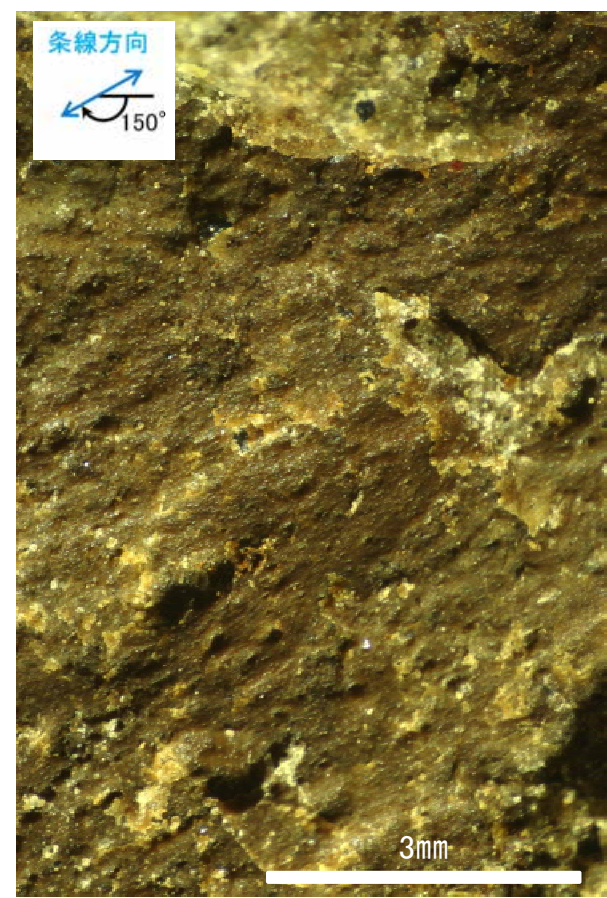
概念図
※走向は真北で示す。



観察面写真



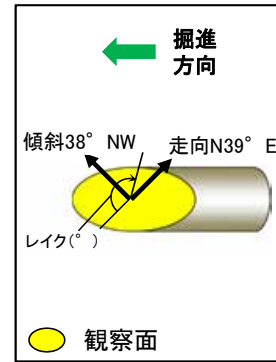
観察面拡大写真



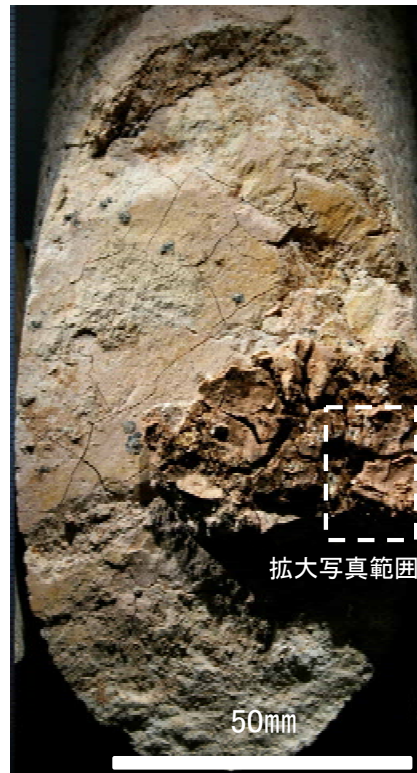
詳細観察写真

・条線のレイクは150° R, 変位センスは不明

条線観察結果(水平ボーリングNo.3[深度25.35m])(下盤側)



概念図
※走向は真北で示す。



観察面写真



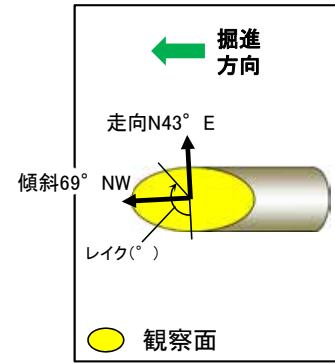
観察面拡大写真



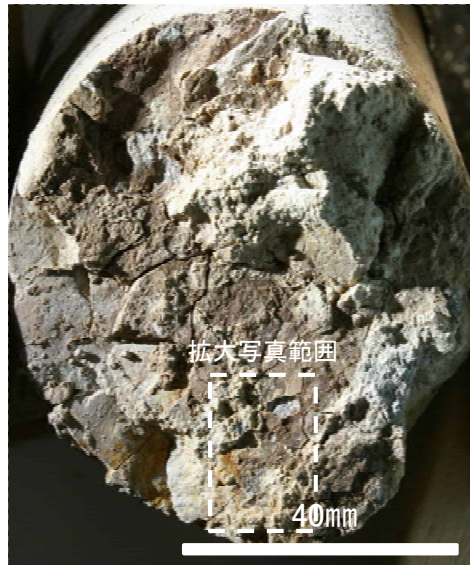
詳細観察写真

・条線のレイクは150° R, 変位センスは不明

条線観察結果(水平ボーリングNo.4[深度10.85m])(下盤側)



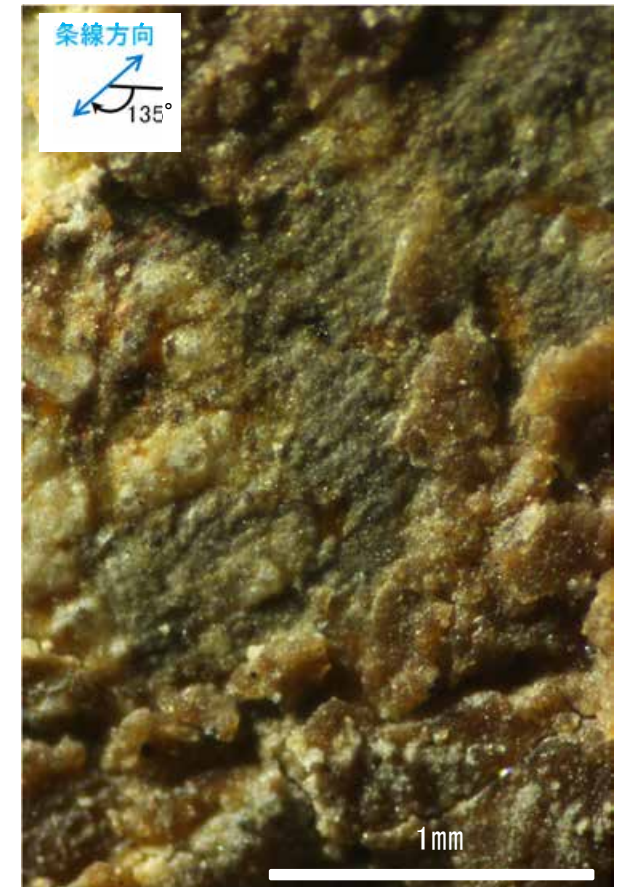
概念図
※走向は真北で示す。



観察面写真



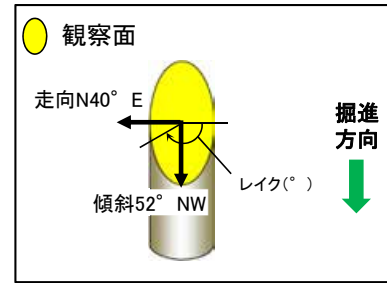
観察面拡大写真



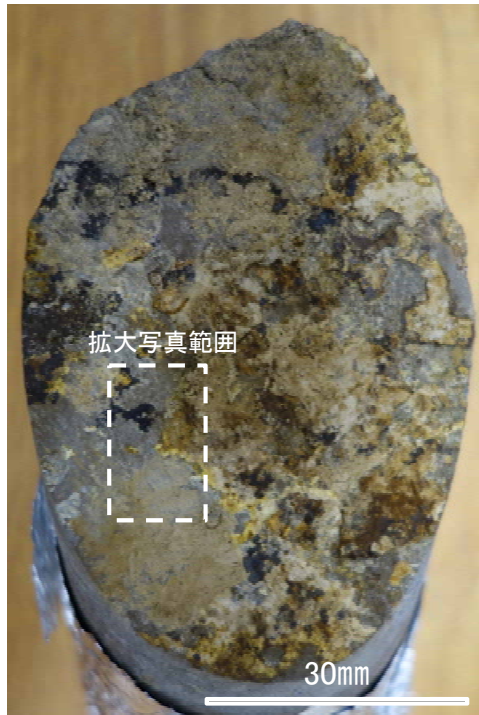
詳細観察写真

・条線のレイクは135° R, 変位センスは不明

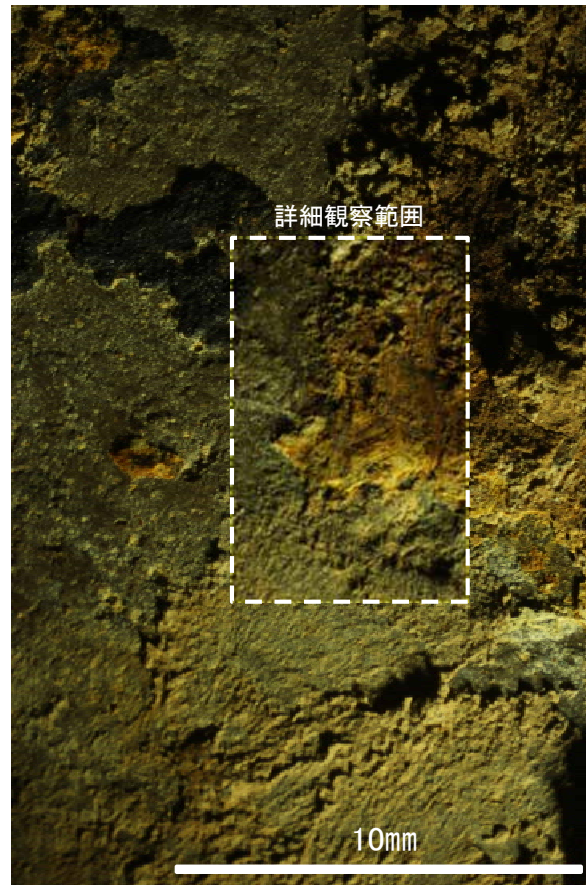
条線観察結果(ボーリングG-9.3-2[深度66.52m])(下盤側)①



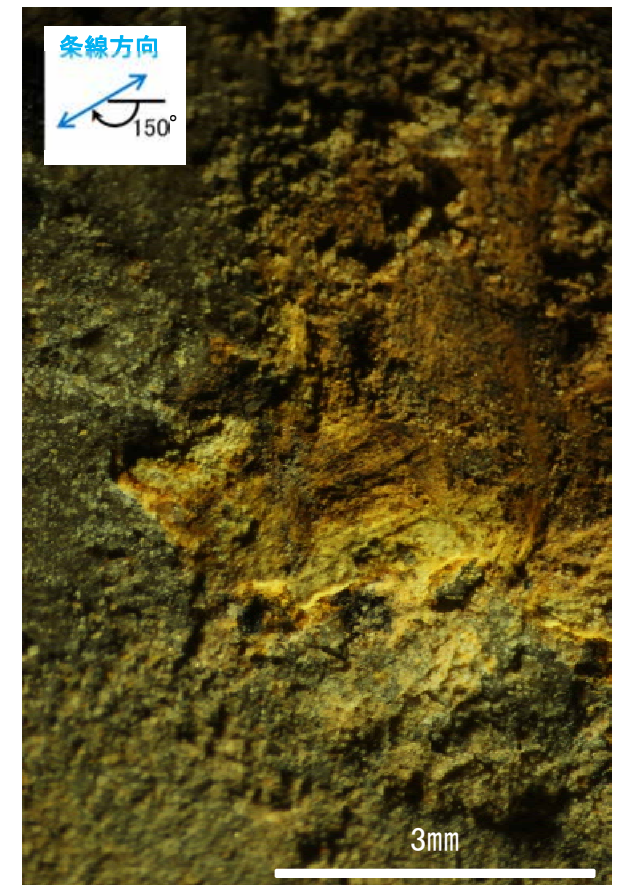
概念図
※走向は真北で示す。



観察面写真



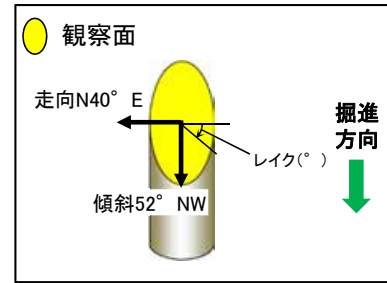
観察面拡大写真



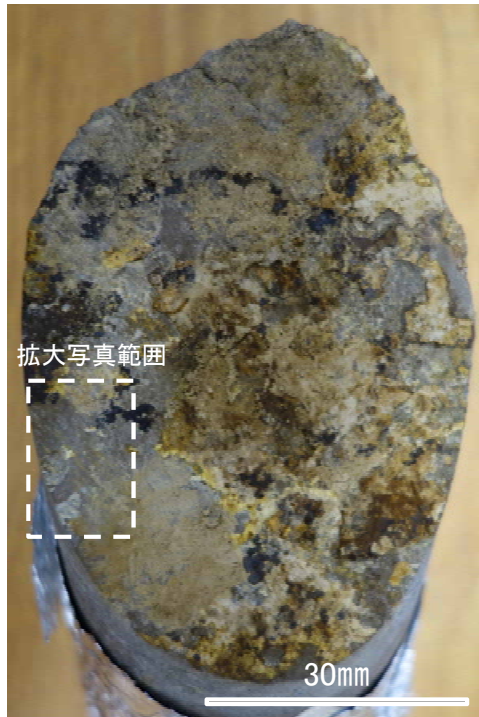
詳細観察写真

・条線のレイクは150° R, 変位センスは不明

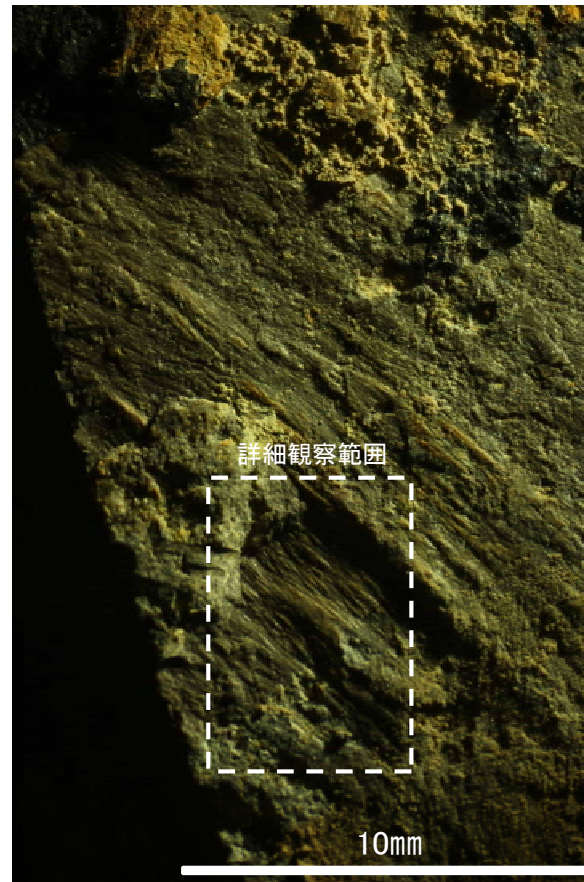
条線観察結果(ボーリングG-9.3-2[深度66.52m])(下盤側)②



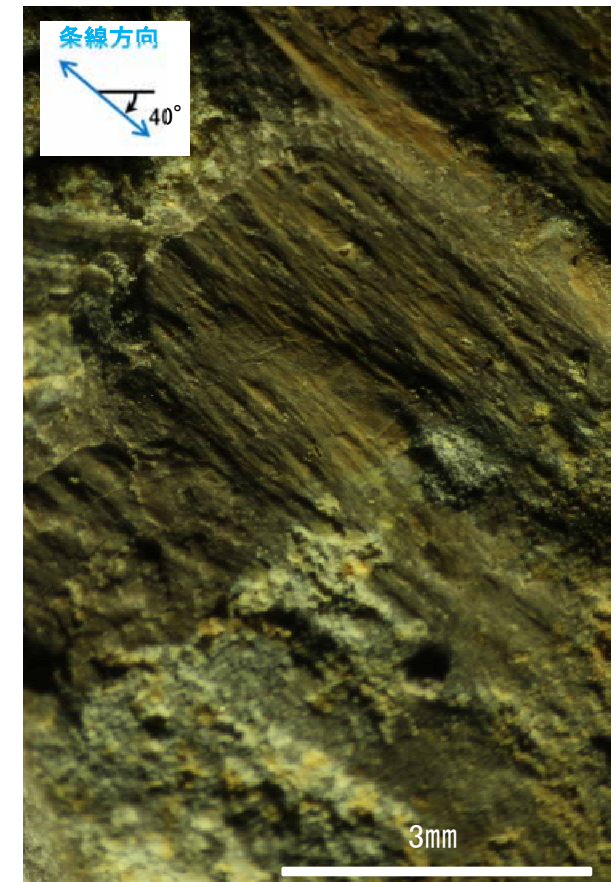
概念図
※走向は真北で示す。



観察面写真



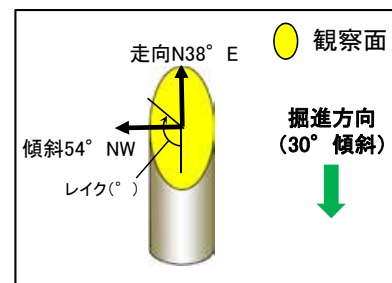
観察面拡大写真



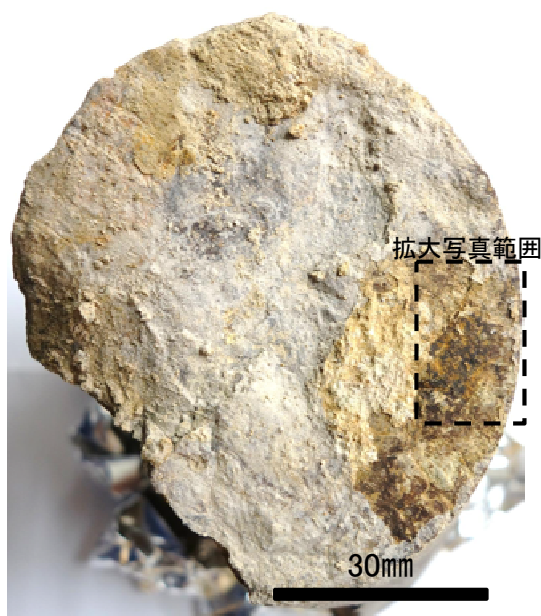
詳細観察写真

・条線のレイクは40° R, 変位センスは不明

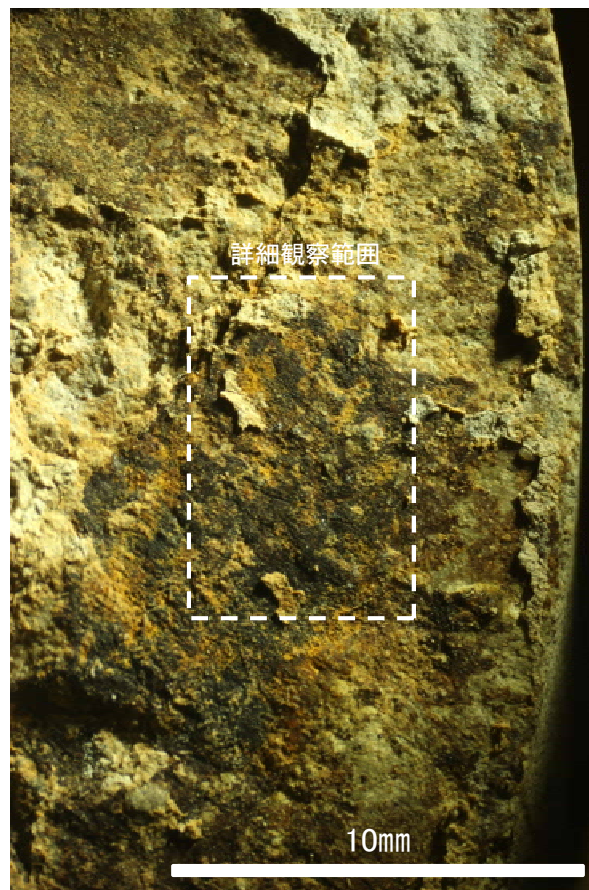
条線観察結果(ボーリングE-8.50' [深度113.10m]) (下盤側)



概念図
※走向は真北で示す。



観察面写真



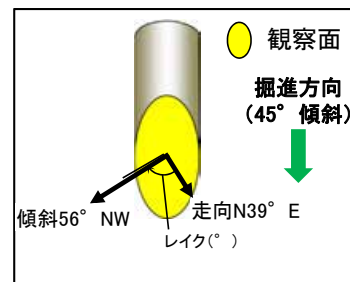
観察面拡大写真



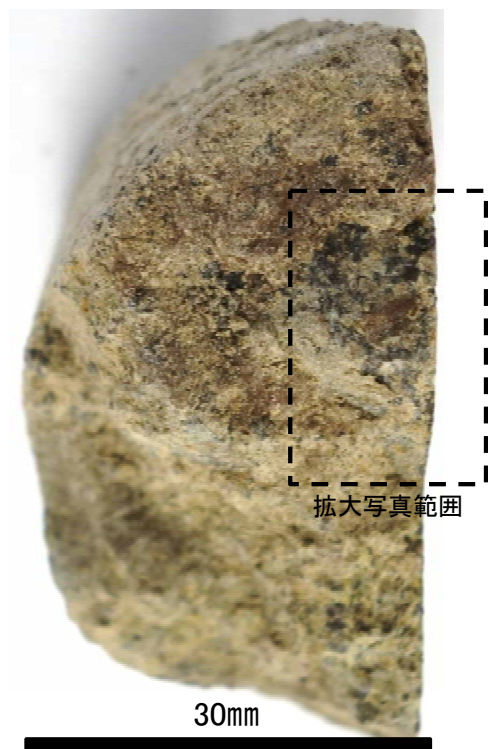
詳細観察写真

・条線のレイクは131° R, 変位センスは不明

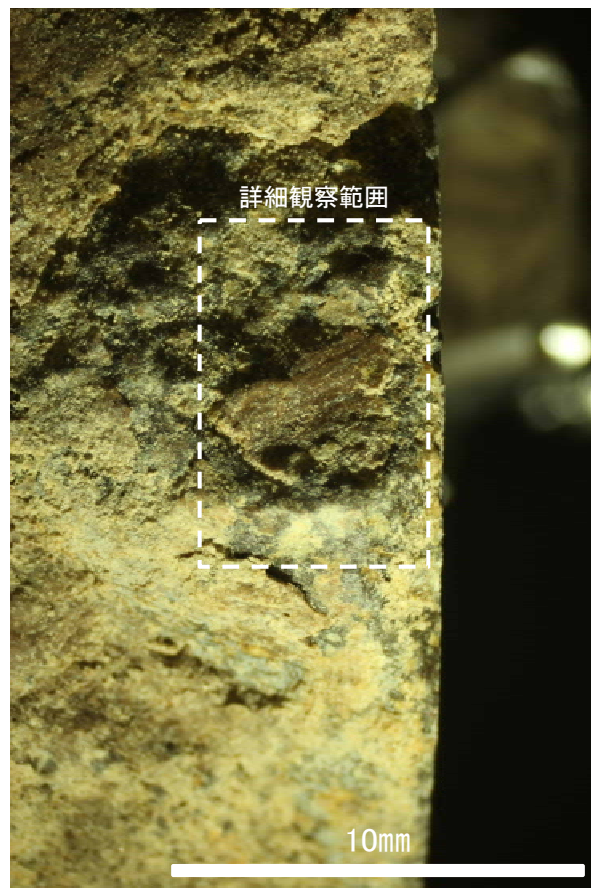
条線観察結果(ボーリングH-6.4[深度94.65m])(上盤側)



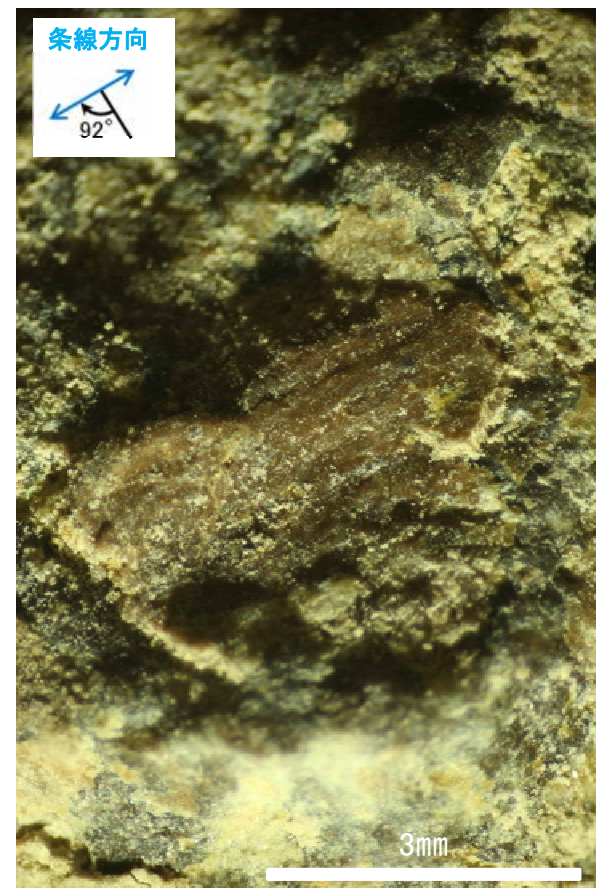
概念図
※走向は真北で示す。



観察面写真



観察面拡大写真

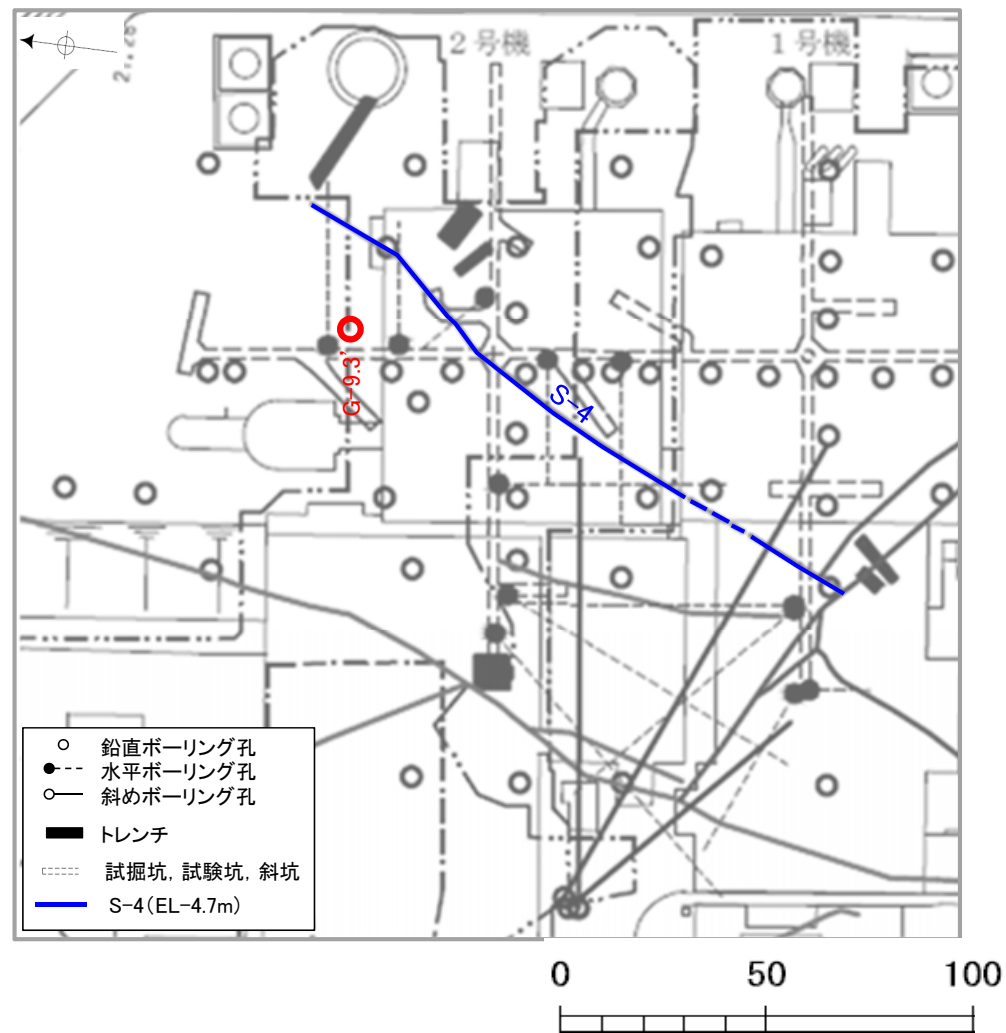


詳細観察写真

・条線のレイクは88° R(下盤側換算), 変位センスは不明

S-4の薄片観察結果

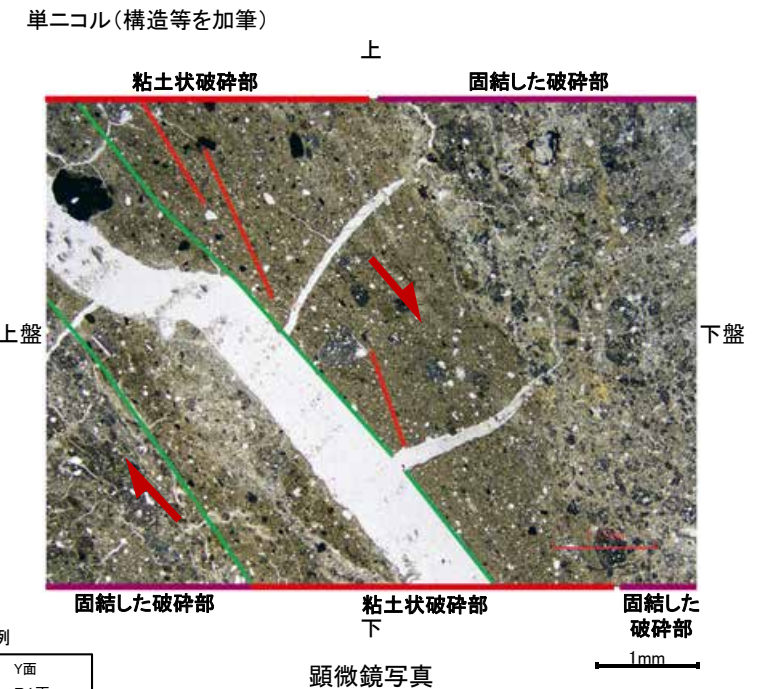
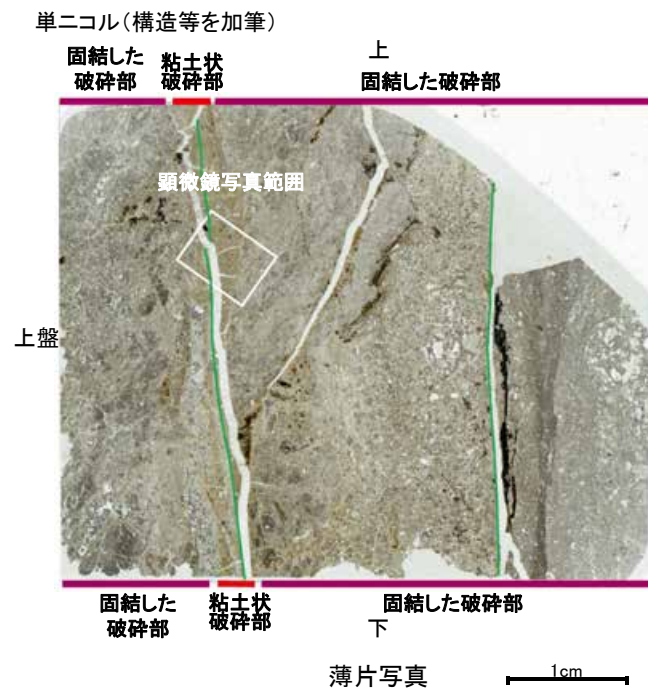
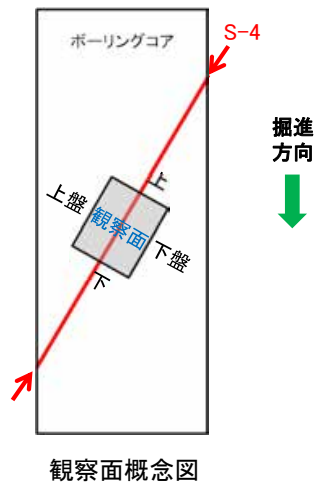
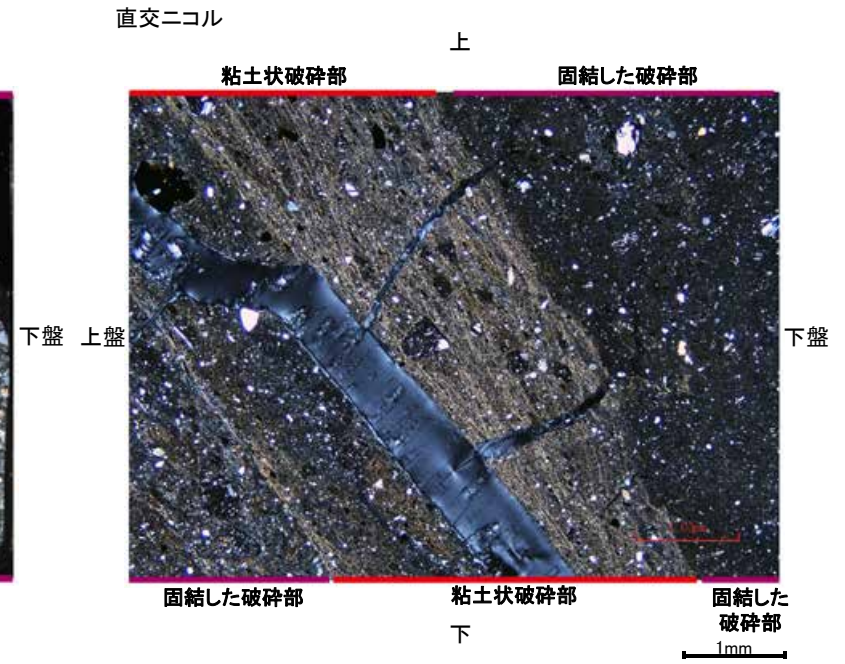
| 試料名 | 走向/傾斜 (走向は真北) | 薄片観察結果 | | |
|---------------------------|------------------|---------------|-------------|-----|
| | | 薄片番号 | 変位センス | |
| ボーリングG-9.3' (深度62.18m) | — | N55° E/59° NW | G-9.3'_130R | 逆断層 |



位置図

S-4の運動方向(薄片観察結果 G-9.3'_130R)

■条線観察結果を踏まえ、
130° Rのレイクでボーリング
コアを切断して作成した薄片
を観察した。



・粘土状破砕部中には明瞭なY面と、それに斜交するように明瞭なR1面が認められることから、上盤(西側)隆起の逆断層センスが推定される。

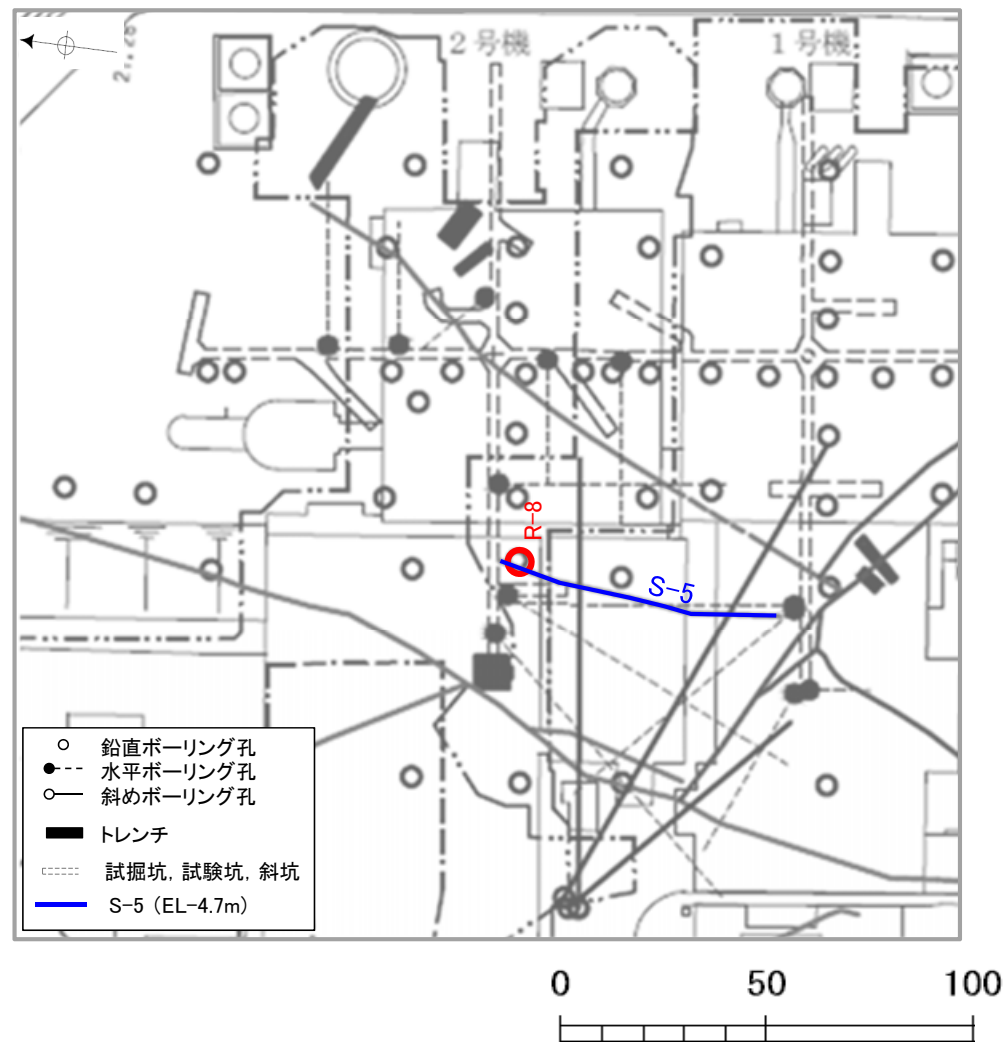


6. S-5の運動方向

S-5の条線観察結果

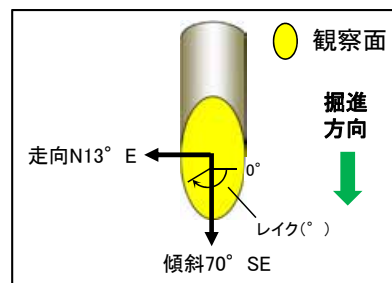
| 試料名 | | 走向/傾斜 (走向は真北) | 条線観察結果 | |
|------------------------|-----|------------------|---------|-------------|
| | | | 条線のレイク※ | 変位センス |
| ボーリングR-8 (深度25.50m) | 上盤側 | N13° E/70° SE | 25° R | (不明) |
| | | | 45° R | 左横ずれ 正断層 |

※ 上盤側で確認したレイクは下盤側に換算して示す



位置図

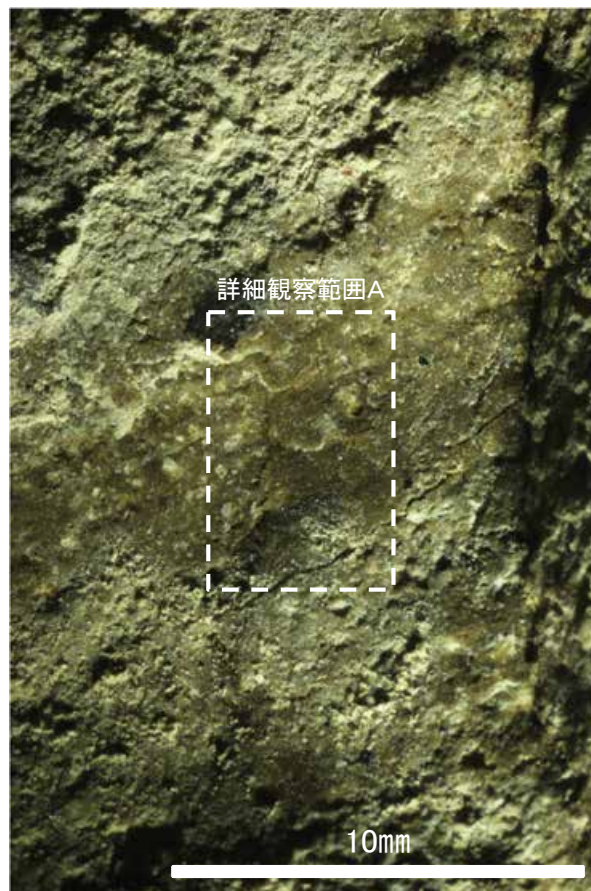
条線観察結果(ボーリングR-8[深度25.50m])(上盤側)①



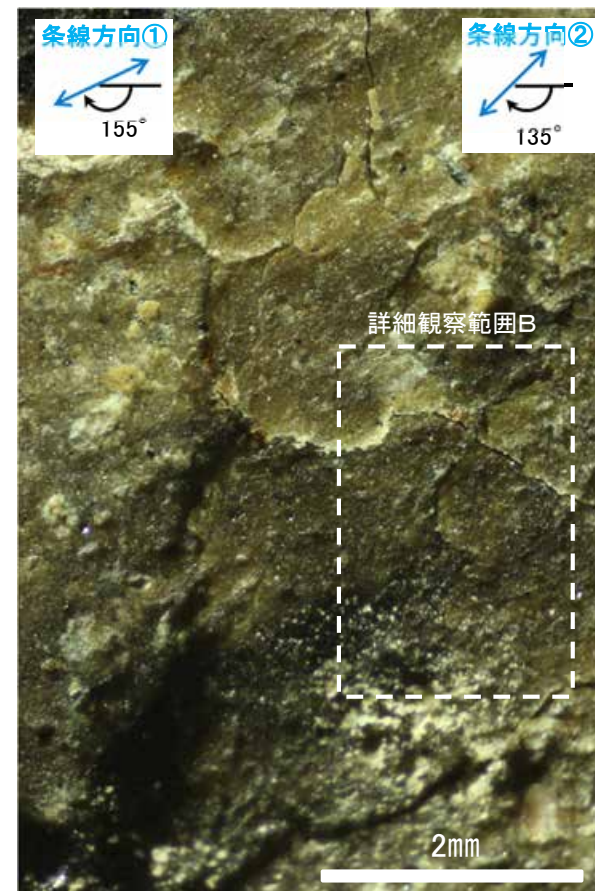
概念図
※走向は真北で示す。



観察面写真



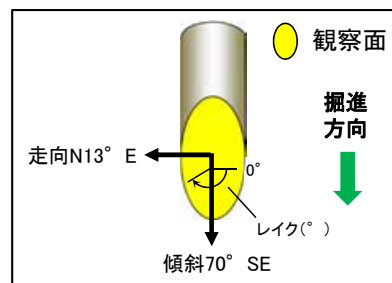
観察面拡大写真



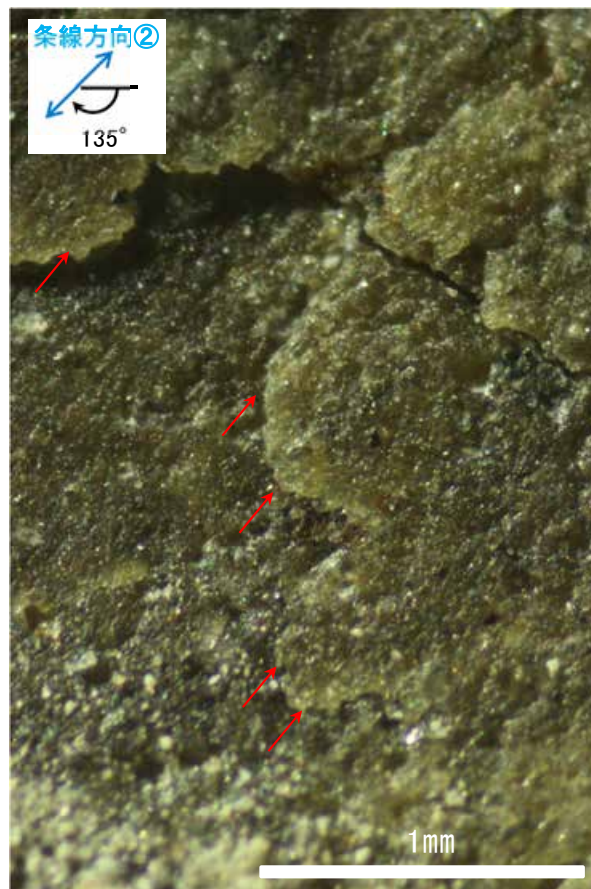
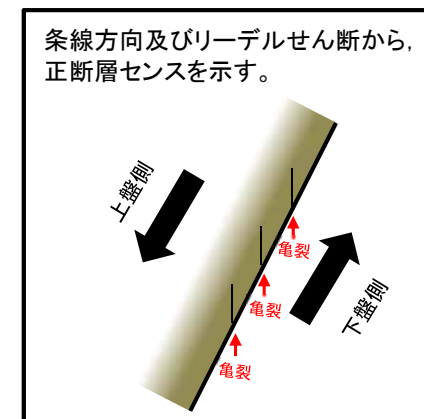
詳細観察写真A

- ・条線①のレイクは25° R (下盤側換算), 変位センスは不明
- ・条線②のレイクは45° R (下盤側換算), 変位センスは左横ずれ正断層センス

条線観察結果(ボーリングR-8[深度25.50m])(上盤側)②



概念図
※走向は真北で示す。

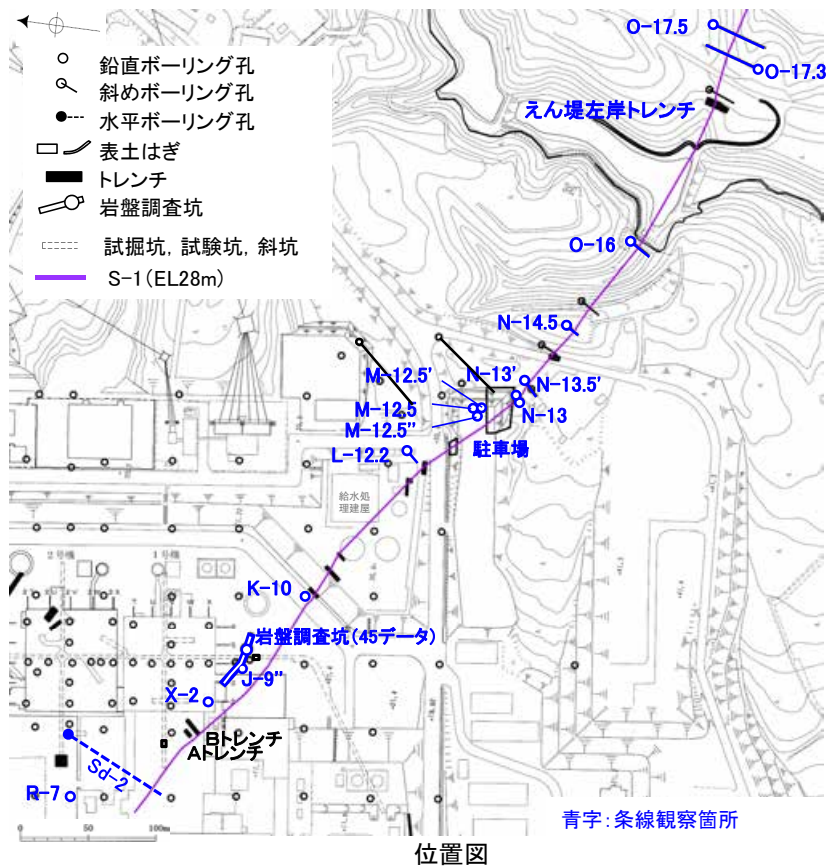


詳細観察写真B

・条線②のレイクは45° R (下盤側換算), 変位センスは左横ずれ正断層センス

7. S-1の運動方向

S-1の条線観察結果



| 調査地点 | 走向/傾斜 (走向は真北) | 条線のレイク※ | 変位センス (条線観察) | 変位センス (薄片観察) | |
|------------------------|------------------|----------------|-----------------|-----------------|---------|
| R-7 深度153.35m | 上盤側 | N62° W/70° NE | 55° R | 右横ずれ逆断層 | — |
| Sd-2(水平ボーリング) 深度62.71m | 下盤側 | N62° W/70° NE | 63° R | 右横ずれ逆断層 | — |
| X-2 深度37.38m | 下盤側 | N40° W/78° NE | 30° R | (不明) | — |
| | | | 80° R | (不明) | — |
| J-9' 深度29.33m | 上盤側 | N83° E/73° NW | 50° R | (不明) | — |
| K-10 深度16.95m | 下盤側 | N69° W/66° NE | 40° R | (不明) | — |
| L-12.2 深度41.93m | 上盤側 | N38° W/79° NE | 40° R | 右横ずれ逆断層 | — |
| M-12.5 深度63.43m | 下盤側 | N62° W/72° NE | 60° R | (不明) | — |
| | | | 45° R | (不明) | — |
| M-12.5' 深度51.65m | 上盤側 | N51° W/76° NE | 40° R | 右横ずれ逆断層 | 右横ずれ逆断層 |
| M-12.5'' 深度50.00m | 上盤側 | N51° W/79° NE | 65° R | (不明) | 右横ずれ逆断層 |
| 駐車場底盤ボーリングNo.1 | 下盤側 | N50° W/77° NE | 20° R | (不明) | — |
| | | | 40° R | (不明) | — |
| 駐車場底盤ボーリングNo.2 | 下盤側 | N46° W/74° NE | 70° R | (不明) | — |
| | | | 20° R | (不明) | — |
| 上盤側 | 105° R | (不明) | — | | |
| N-13 深度11.10m | 下盤側 | N50° W/75° NE | 50° R | (不明) | — |
| N-13' 深度23.39m | 上盤側 | N52° W/69° NE | 60° R | (不明) | — |
| N-13.5' 深度10.90m | 上盤側 | N87° E/73° NW | 90° | 逆断層 | — |
| N-14.5 深度21.31m | 下盤側 | N55° W/84° NE | 56° R | (不明) | — |
| | | | 26° R | (不明) | — |
| O-16 深度20.36m | 下盤側 | N63° NW/87° NE | 51° R | (不明) | — |
| | | | 90° R | (不明) | — |
| えん堤左岸トレンチ 底盤 | 下盤側 | N80° W/86° NE | 110° R | (不明) | — |
| | | | 90° R | (不明) | — |
| O-17.3 深度41.82m | 下盤側 | N75° W/78° NE | 28° R | (不明) | — |
| | | | 63° R | 右横ずれ逆断層 | — |
| O-17.5 深度25.29m | 下盤側 | N76° W/80° NE | 40° R | (不明) | — |

※上盤側で確認したレイクは下盤側に換算して示す

*岩盤調査坑の45データについては、次頁に記載。

S-1の条線観察結果(岩盤調査坑)

| 試料番号 | | 走向/傾斜 (走向は真北) | 条線の レイク* | 変位センス (条線観察) | 変位センス (薄片観察) |
|--------------------|-----|------------------|-------------|-----------------|-----------------|
| 鉛直ボーリング No.6V | 下盤側 | N61° W/77° NE | 40° R | 右横ずれ逆断層 | — |
| | 上盤側 | | 75° R | (不明) | — |
| | | | 40° R | 右横ずれ逆断層 | — |
| 鉛直ボーリング No.7V | 上盤側 | N62° W/68° NE | 35° R | 右横ずれ逆断層 | — |
| 鉛直ボーリング No.8V | 下盤側 | N59° W/76° NE | 50° R | (不明) | — |
| | 上盤側 | | 55° R | (不明) | — |
| | | | 25° R | (不明) | — |
| 鉛直ボーリング No.10V | 下盤側 | N61° W/74° NE | 85° R | 右横ずれ逆断層 | — |
| 鉛直ボーリング No.11V | 下盤側 | N52° W/73° NE | 30° R | (不明) | — |
| | 上盤側 | | 30° R | 右横ずれ逆断層 | — |
| 鉛直ボーリング No.12V | 下盤側 | N56° W/71° NE | 35° R | (不明) | — |
| 鉛直ボーリング No.13V | 下盤側 | N59° W/74° NE | 40° R | (不明) | — |
| | 上盤側 | | 40° R | (不明) | — |
| | | | 60° R | (不明) | — |
| 鉛直ボーリング No.15V | 下盤側 | N58° W/74° NE | 35° R | (不明) | — |
| | 上盤側 | | 65° R | (不明) | — |
| 鉛直ボーリング No.16V | 下盤側 | N60° W/73° NE | 70° R | 右横ずれ逆断層 | — |
| | 上盤側 | | 35° R | (不明) | — |
| 鉛直ボーリング No.17V | 下盤側 | N59° W/74° NE | 35° R | 右横ずれ逆断層 | — |
| 水平ボーリング No.13-2 | 下盤側 | N55° W/70° NE | 30° R | (不明) | — |
| | | | 65° R | (不明) | — |
| 水平ボーリング No.14 | 下盤側 | N68° W/70° NE | 80° R | 右横ずれ逆断層 | — |
| 水平ボーリング No.18-1 | 下盤側 | N50° W/72° NE | 65° R | (不明) | — |
| | 上盤側 | | 20° R | 右横ずれ逆断層 | — |
| 水平ボーリング No.19 | 下盤側 | N52° W/74° NE | 25° R | (不明) | — |

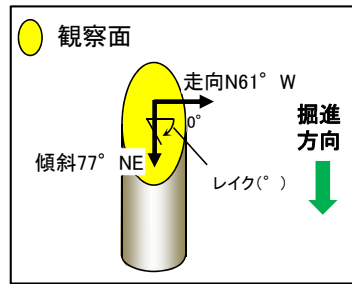
| 試料番号 | | 走向/傾斜 (走向は真北) | 条線の レイク* | 変位センス (条線観察) | 変位センス (薄片観察) |
|-------------------------|-----|------------------|-------------|-----------------|-----------------|
| 水平ボーリング No.20(1) | 下盤側 | N56° W/73° NE | 60° R | (不明) | — |
| | 上盤側 | | 25° R | (不明) | — |
| 水平ボーリング No.20(2) | 下盤側 | N56° W/73° NE | 40° R | 右横ずれ逆断層 | — |
| | | | 40° R | (不明) | — |
| 水平ボーリング No.22-1 | 下盤側 | N62° W/72° NE | 40° R | (不明) | — |
| | 上盤側 | | 50° R | 右横ずれ逆断層 | — |
| 水平ボーリング No.23-1 | 下盤側 | N57° W/72° NE | 60° R | (不明) | 右横ずれ逆断層 |
| 水平ボーリング No.25-1 | 下盤側 | N54° W/78° NE | 40° R | (不明) | — |
| | | | 60° R | (不明) | — |
| 水平ボーリング No.25-2 | 下盤側 | N54° W/78° NE | 40° R | 右横ずれ逆断層 | — |
| 水平ボーリング No.26-1 | 下盤側 | N56° W/71° NE | 25° R | 右横ずれ逆断層 | — |
| | | | 40° R | (不明) | — |
| 水平ボーリング No.27-1 | 下盤側 | N51° W/77° NE | 40° R | 右横ずれ逆断層 | — |
| 水平ボーリング No.27-2 | 上盤側 | N51° W/77° NE | 45° R | (不明) | — |
| | | | 30° R | (不明) | — |
| No.24-2ブロック(1) | 下盤側 | N61° W/73° NE | 35° R | (不明) | — |
| | | | 45° R | 右横ずれ逆断層 | 右横ずれ逆断層 |
| No.24-2ブロック(2) | 下盤側 | N61° W/73° NE | 40° R | 右横ずれ逆断層 | — |
| No.25-2ブロック(1) | 下盤側 | N54° W/78° NE | 40° R | 右横ずれ逆断層 | 右横ずれ逆断層 |
| No.25-2ブロック(2) | 下盤側 | N54° W/78° NE | 40° R | 右横ずれ逆断層 | — |
| 水平ボーリングT-1 (深度3.34m) | 下盤側 | N60° W/68° NE | 25° R | 右横ずれ逆断層 | — |
| 水平ボーリングT-2 (深度2.85m) | 下盤側 | N62° W/65° NE | 40° R | (不明) | — |
| | | | 40° R | (不明) | — |
| 水平ボーリングT-3 (深度2.55m) | 下盤側 | N61° W/67° NE | 75° R | (不明) | — |
| | | | 18° R | (不明) | — |

※上盤側で確認したレイクは下盤側に換算して示す。

■は、条線データが重複しているため、データ数に含めない。

* ボーリング孔名の「No.○」は、切羽の番号を示す。南東側がNo.1切羽で北西側のNo.30切羽まで約1m間隔。

条線観察結果(岩盤調査坑 鉛直ボーリングNo.6V(下盤側)①)

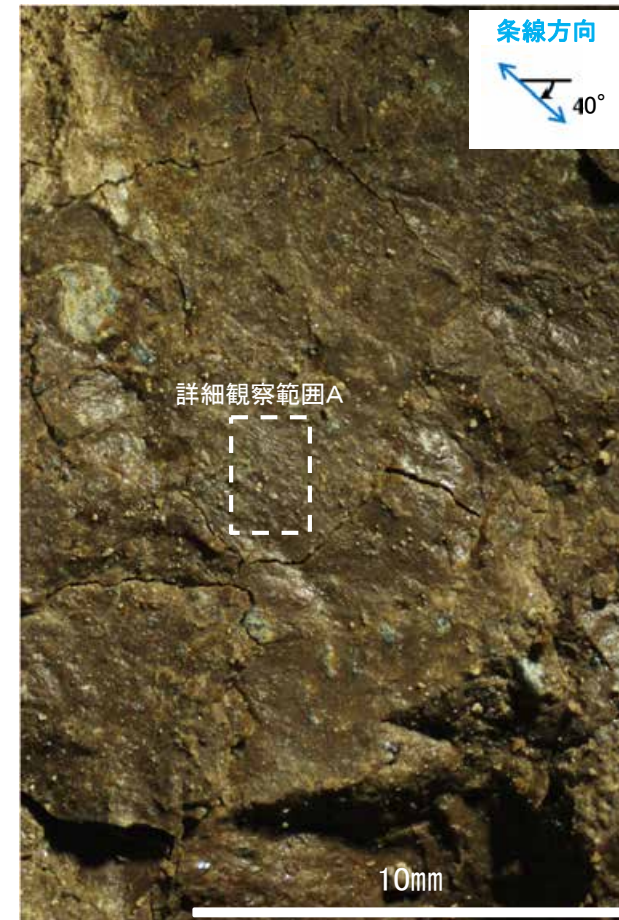


概念図

※走向は真北で示す。

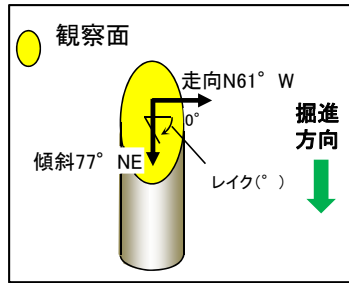


観察面写真



観察面拡大写真

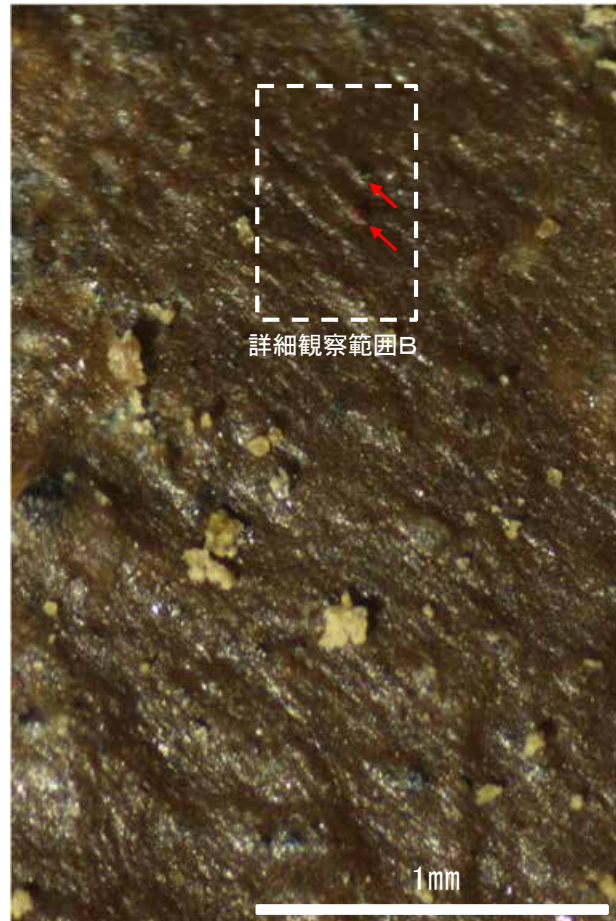
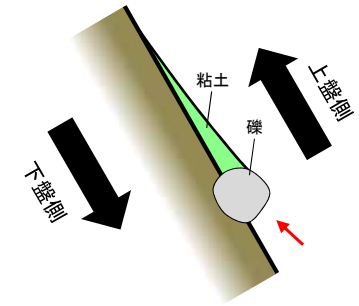
条線観察結果(岩盤調査坑 鉛直ボーリングNo.6V(下盤側)②)



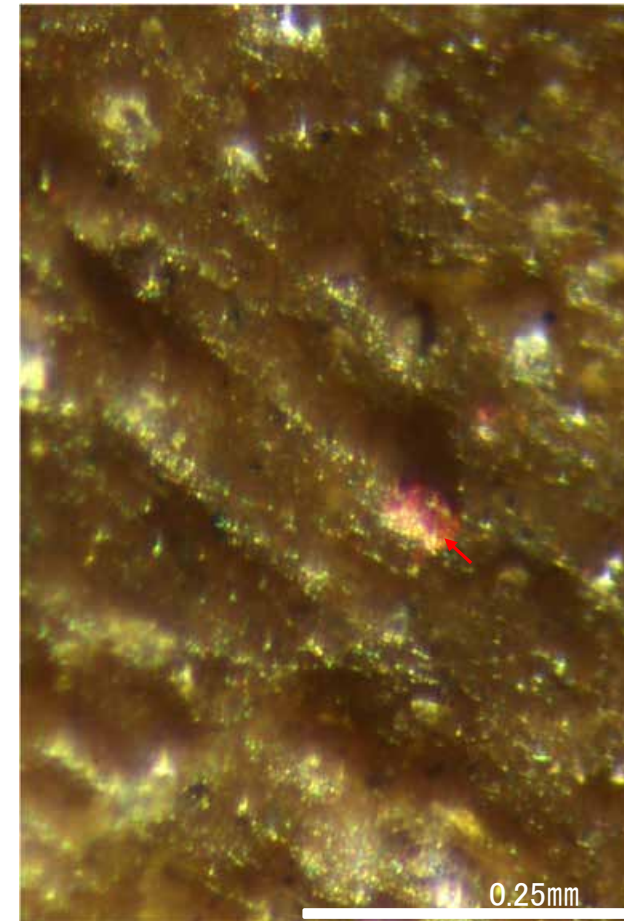
概念図

※走向は真北で示す。

条線方向及び礫周りの粘土の非対称構造から、逆断層センスを示す。



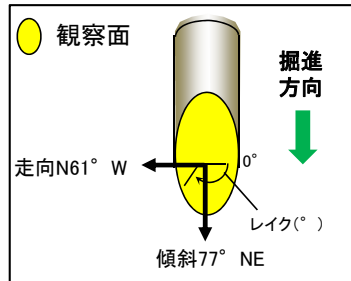
詳細観察写真A



詳細観察写真B

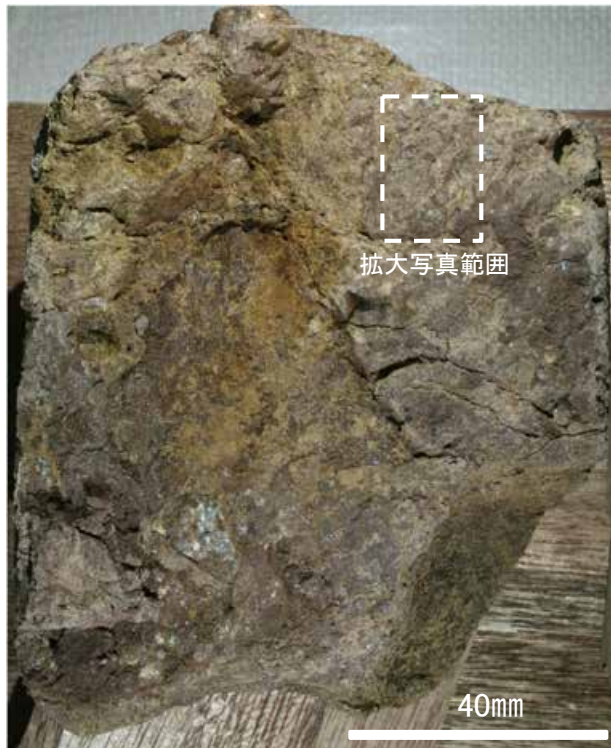
・条線のレイクは40° R, 変位センスは右横ずれ逆断層センス

条線観察結果(岩盤調査坑 鉛直ボーリングNo.6V(上盤側)①)

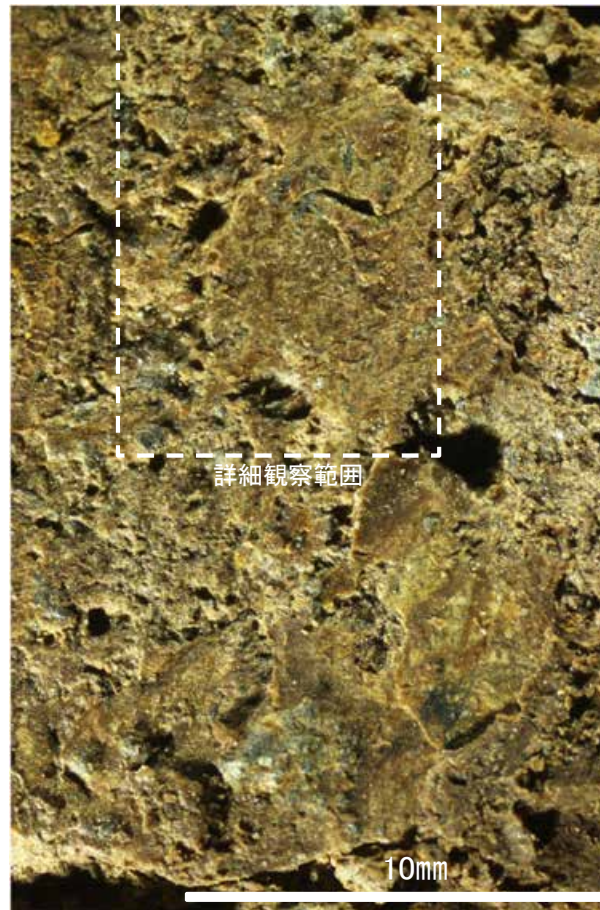


概念図

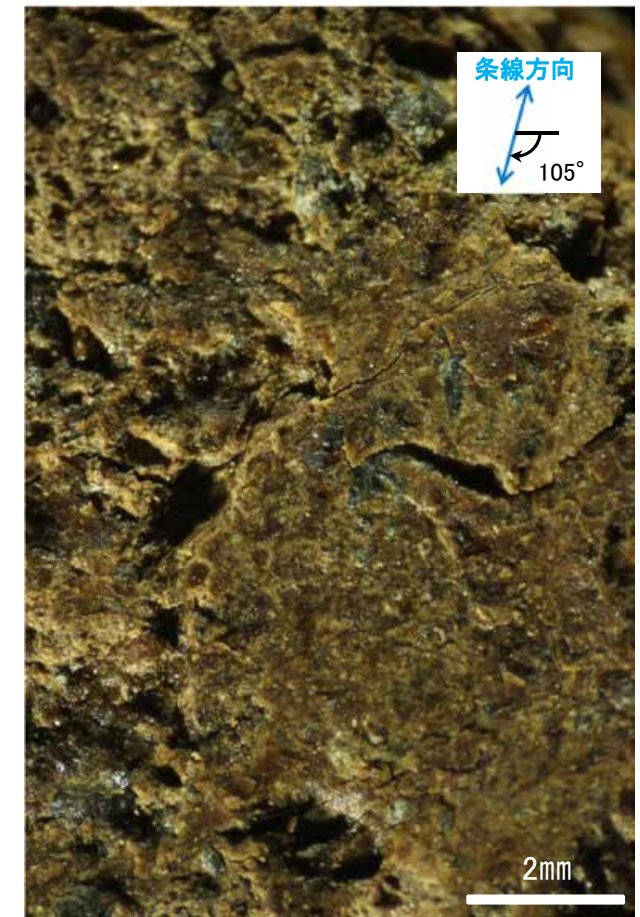
※走向は真北で示す。



観察面写真



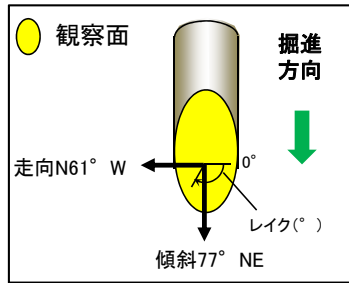
観察面拡大写真



詳細観察写真

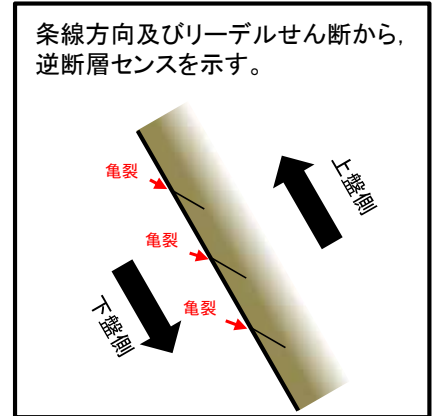
・条線のレイクは75° R(下盤側換算), 変位センスは不明

条線観察結果(岩盤調査坑 鉛直ボーリングNo.6V(上盤側)②)

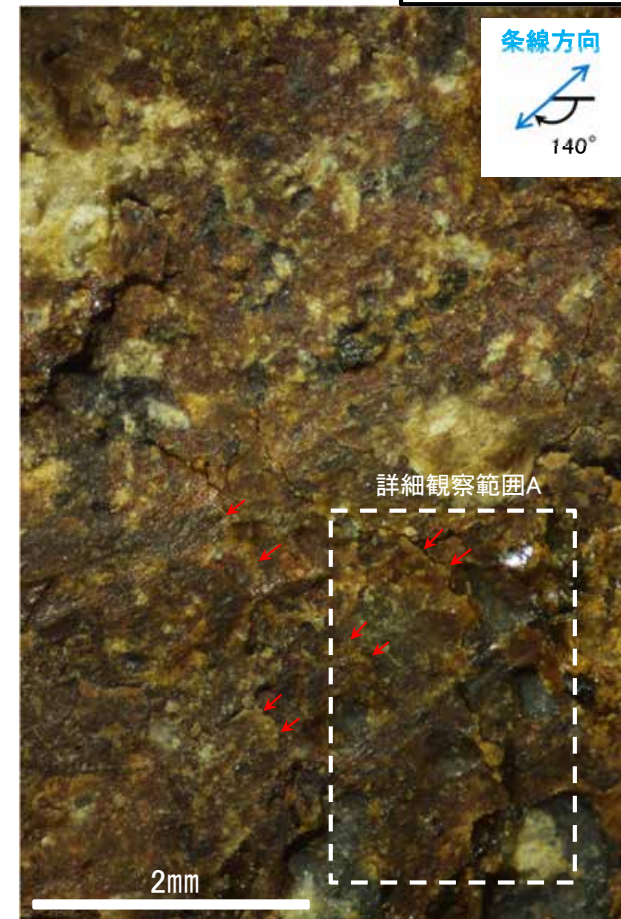


概念図

※走向は真北で示す。



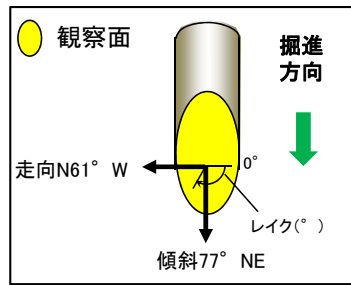
観察面写真



観察面拡大写真

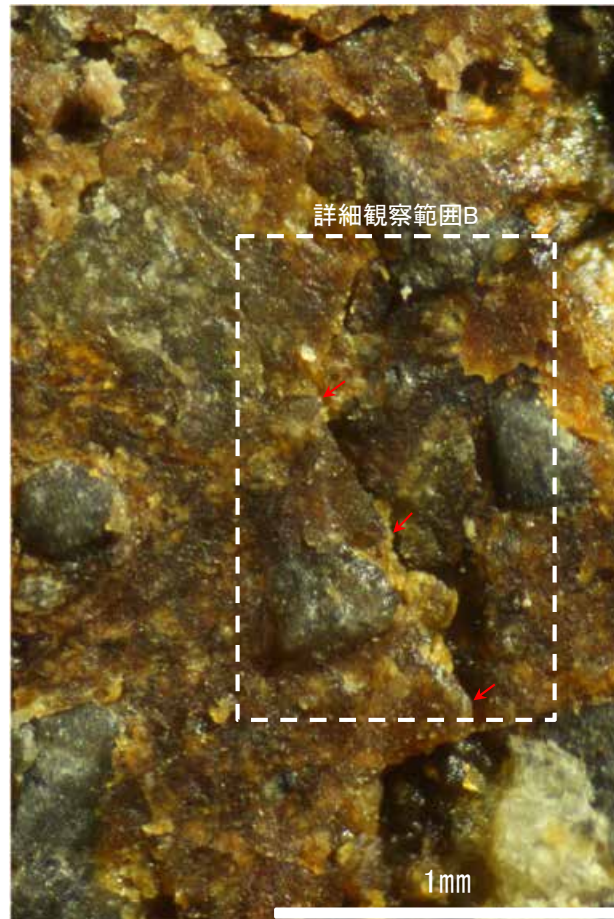
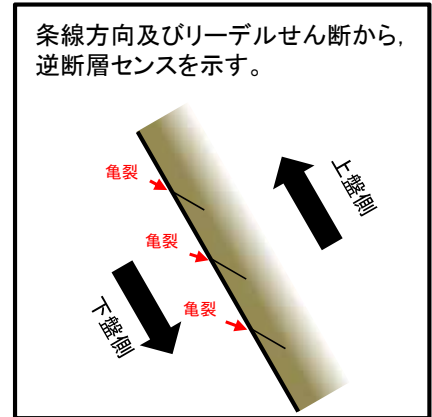
・条線のレイクは40° R (下盤側換算), 変位センスは右横ずれ逆断層センス

条線観察結果(岩盤調査坑 鉛直ボーリングNo.6V(上盤側)③)

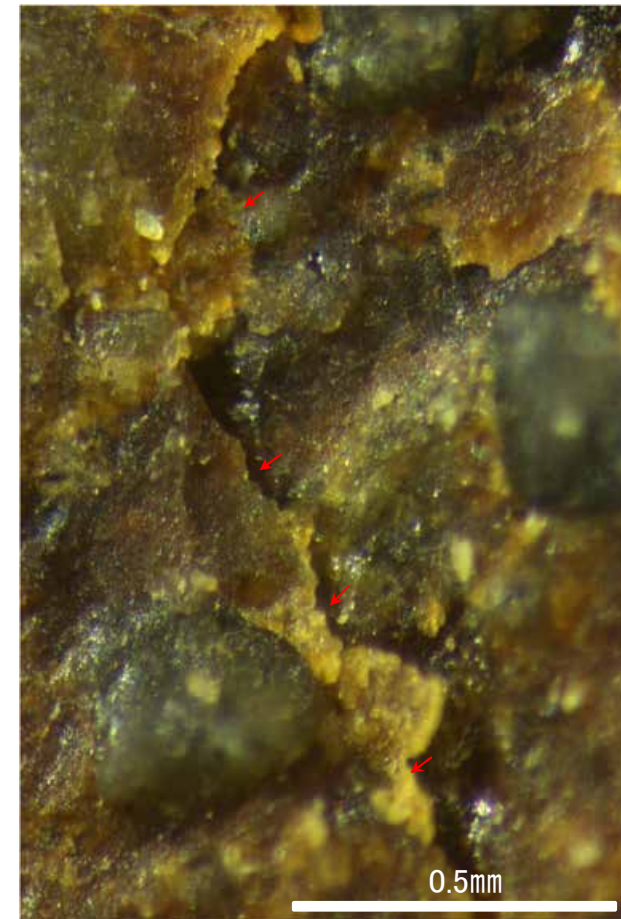


概念図

※走向は真北で示す。



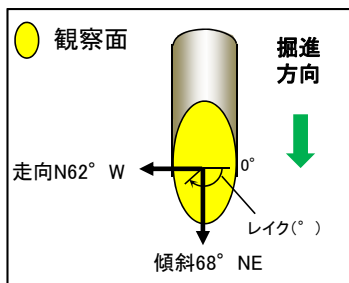
詳細観察写真A



詳細観察写真B

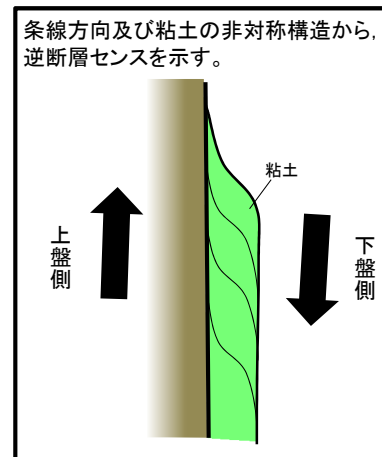
・条線のレイクは40° R (下盤側換算), 変位センスは右横ずれ逆断層センス

条線観察結果(岩盤調査坑 鉛直ボーリングNo.7V(上盤側))



概念図

※走向は真北で示す。



観察面写真



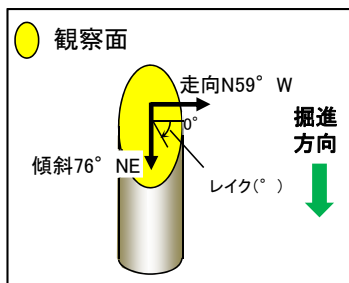
観察面拡大写真



詳細観察写真(A-A'断面)

・条線のレイクは35° R(下盤側換算), 変位センスは右横ずれ逆断層センス

条線観察結果(岩盤調査坑 鉛直ボーリングNo.8V(下盤側))

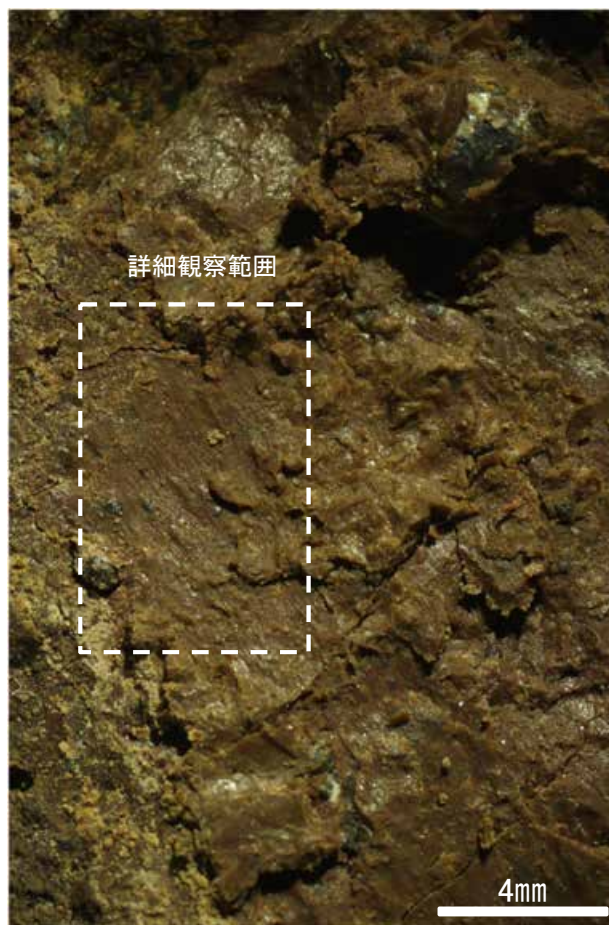


概念図

※走向は真北で示す。



観察面写真



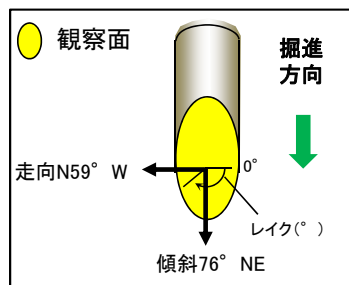
観察面拡大写真



詳細観察写真

・条線のレイクは50° R, 変位センスは不明

条線観察結果(岩盤調査坑 鉛直ボーリングNo.8V(上盤側))

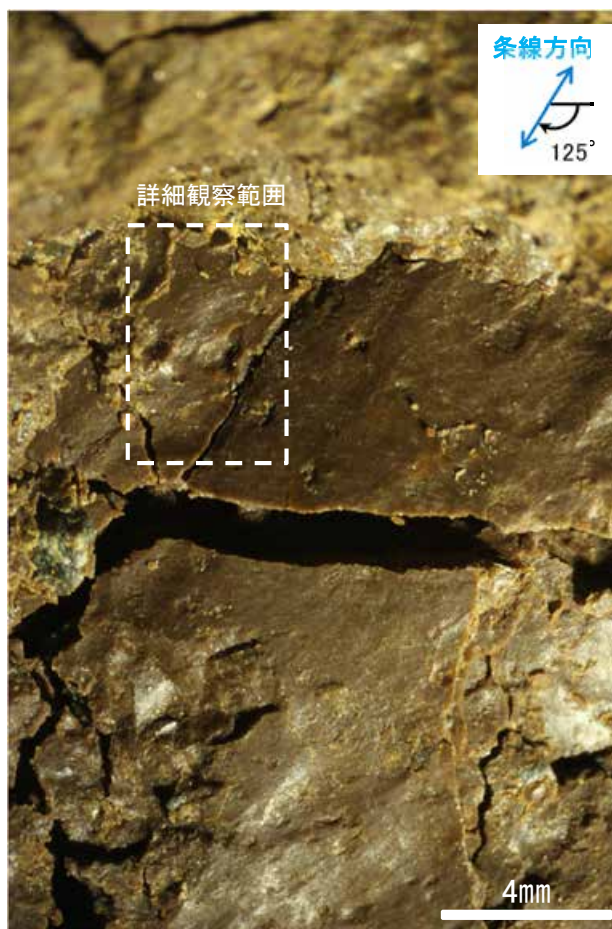


概念図

※走向は真北で示す。

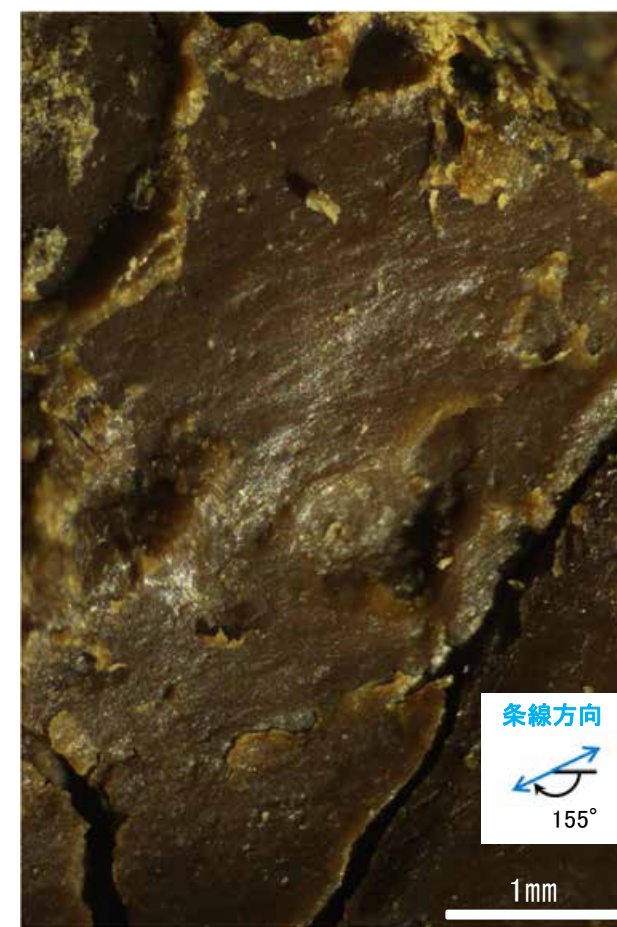


観察面写真



観察面拡大写真

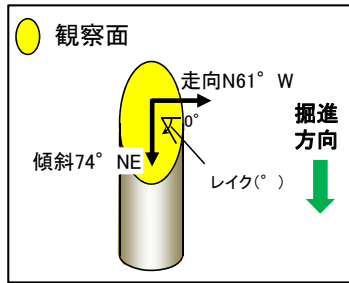
・条線のレイクは55° R (下盤側換算), 変位センスは不明



詳細観察写真

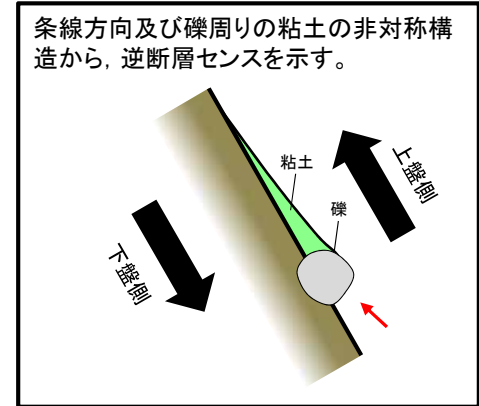
・条線のレイクは25° R (下盤側換算), 変位センスは不明

条線観察結果(岩盤調査坑 鉛直ボーリングNo.10V(下盤側)①)

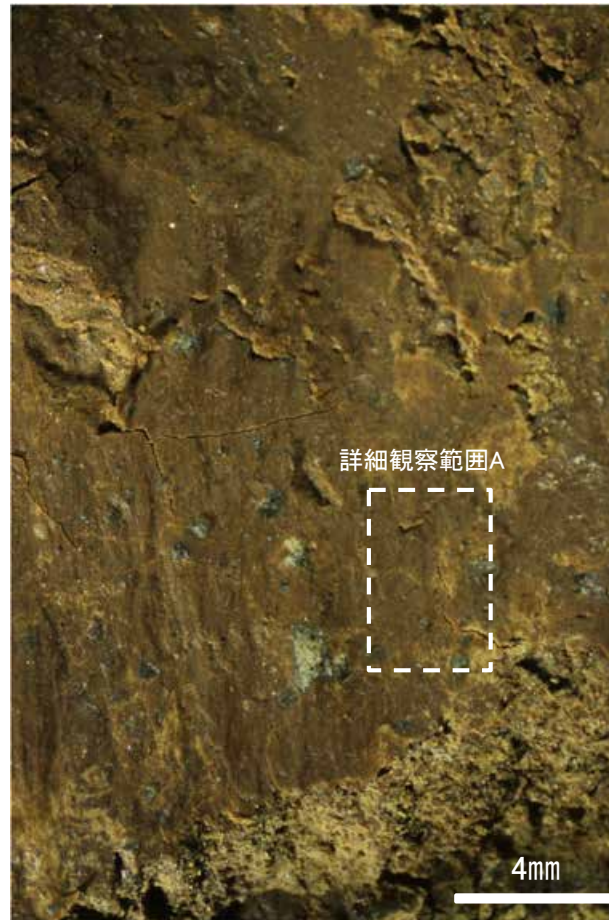


概念図

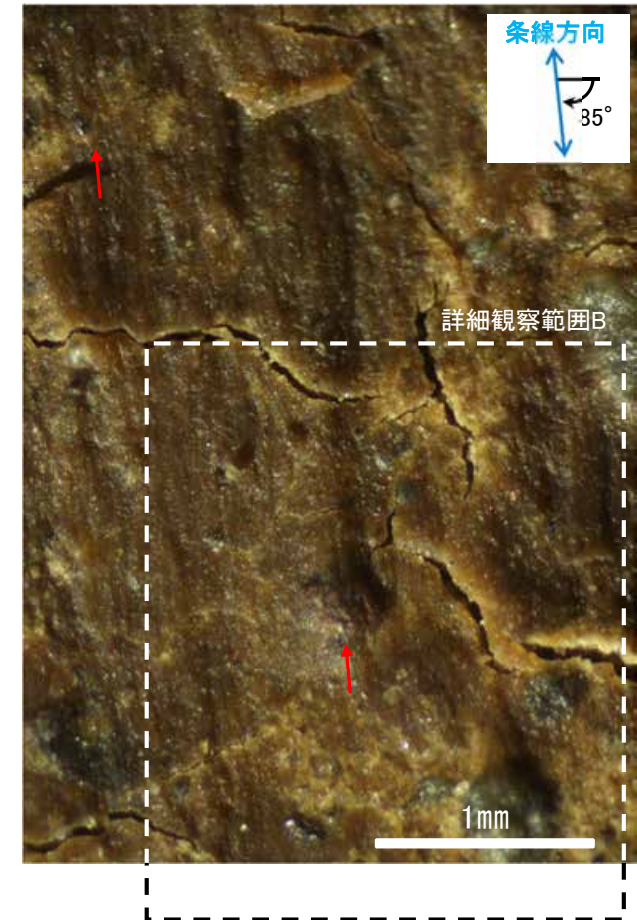
※走向は真北で示す。



観察面写真

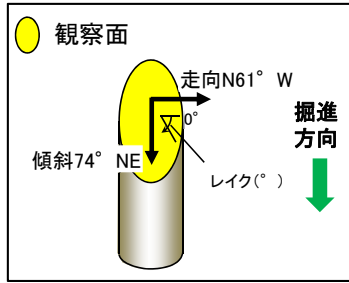


観察面拡大写真



詳細観察写真A

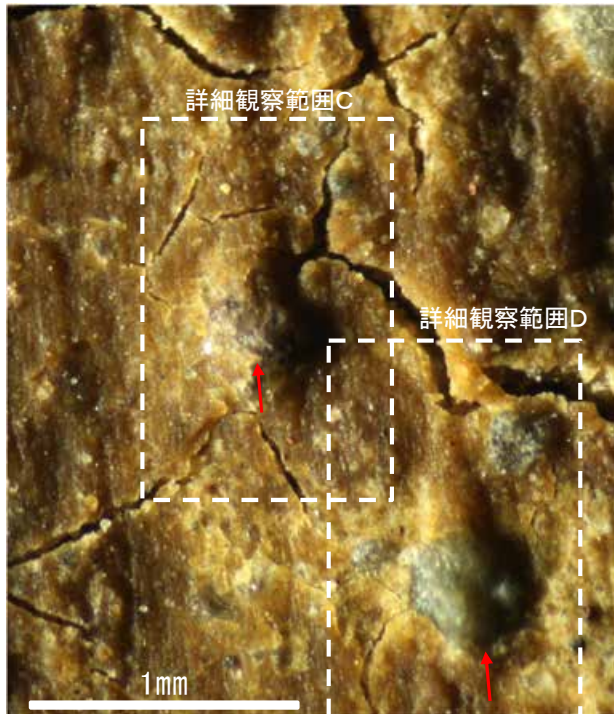
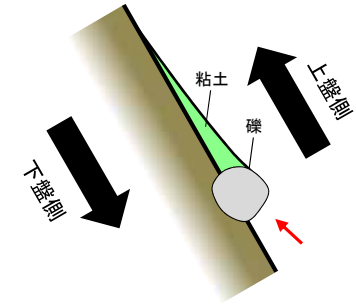
条線観察結果(岩盤調査坑 鉛直ボーリングNo.10V(下盤側)②)



概念図

※走向は真北で示す。

条線方向及び礫周りの粘土の非対称構造から、逆断層センスを示す。



詳細観察写真B



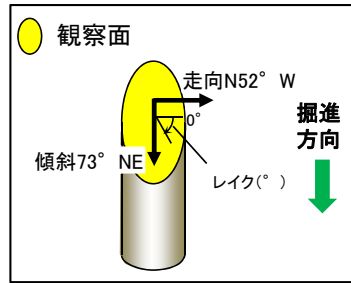
詳細観察写真C



詳細観察写真D

・条線のレイクは85° R, 変位センスは右横ずれ逆断層センス

条線観察結果(岩盤調査坑 鉛直ボーリングNo.11V(下盤側))

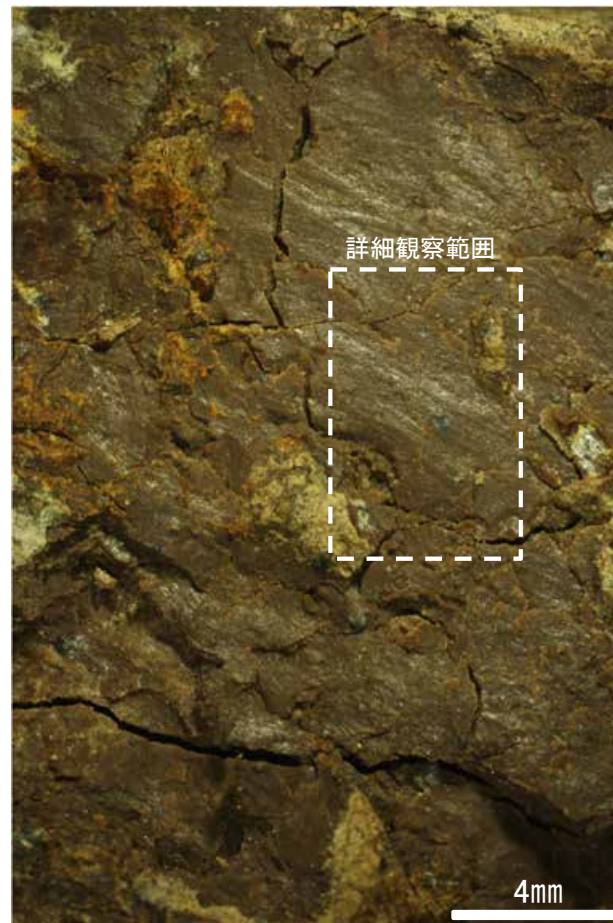


概念図

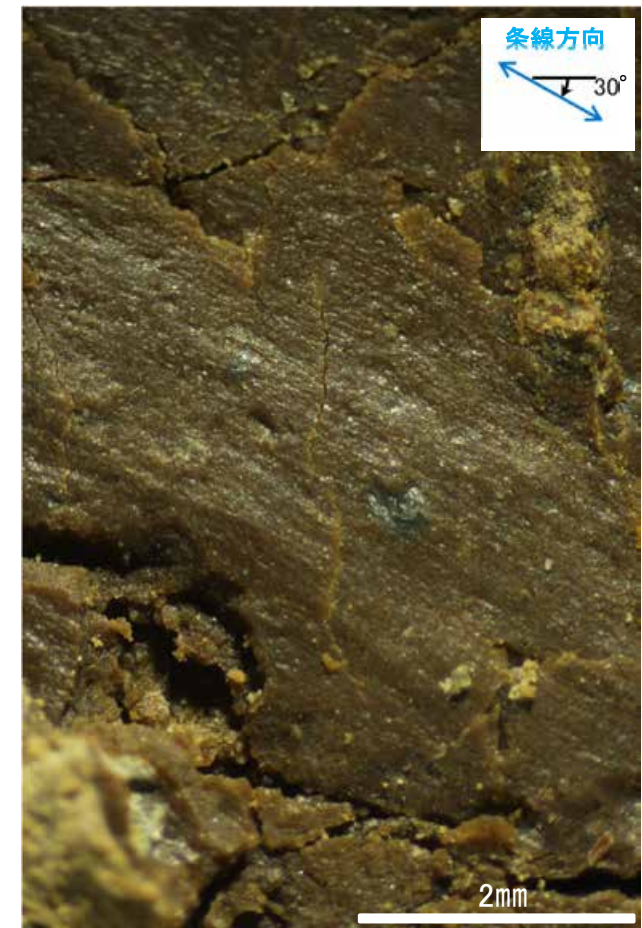
※走向は真北で示す。



観察面写真



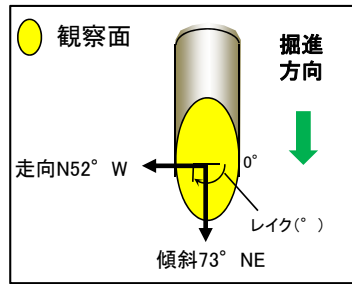
観察面拡大写真



詳細観察写真

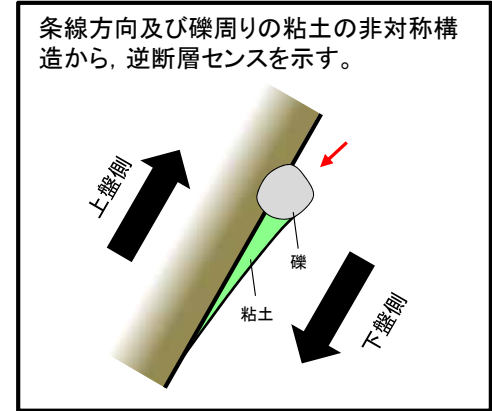
・条線のレイクは30° R, 変位センスは不明

条線観察結果(岩盤調査坑 鉛直ボーリングNo.11V(上盤側)①)

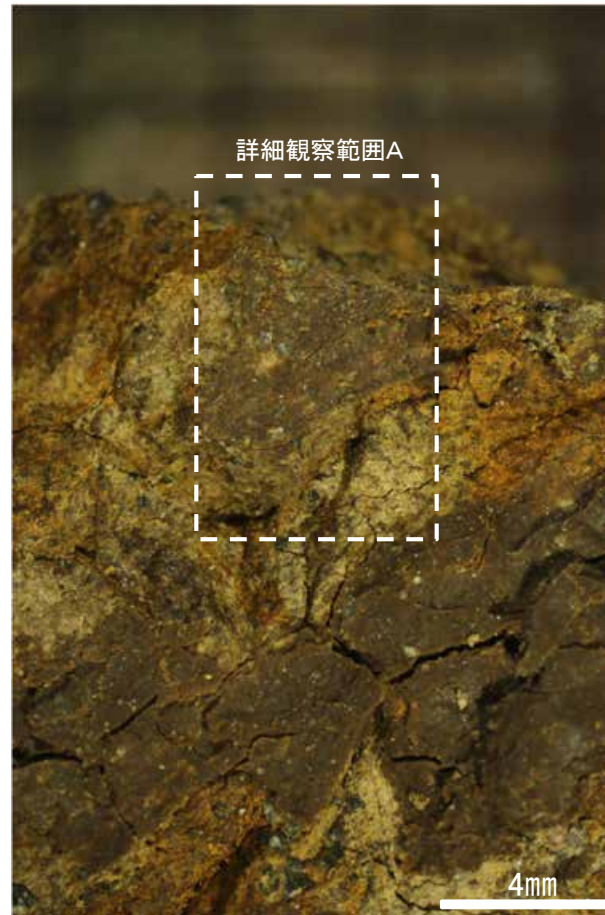


概念図

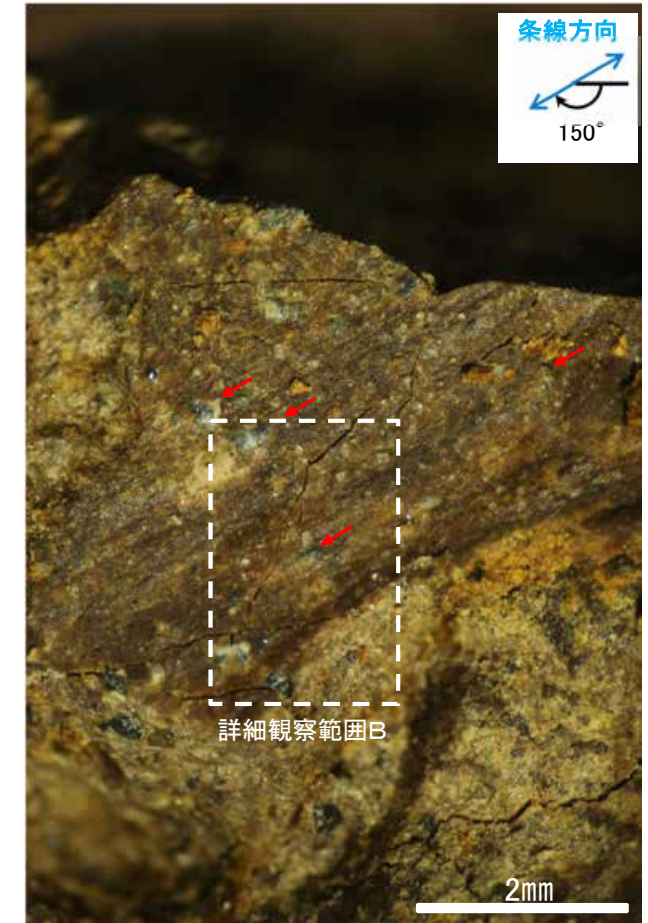
※走向は真北で示す。



観察面写真

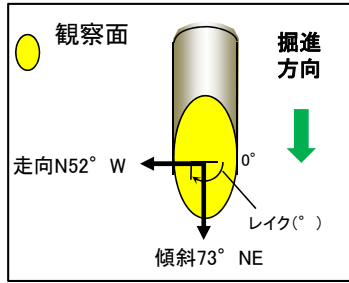


観察面拡大写真



詳細観察写真A

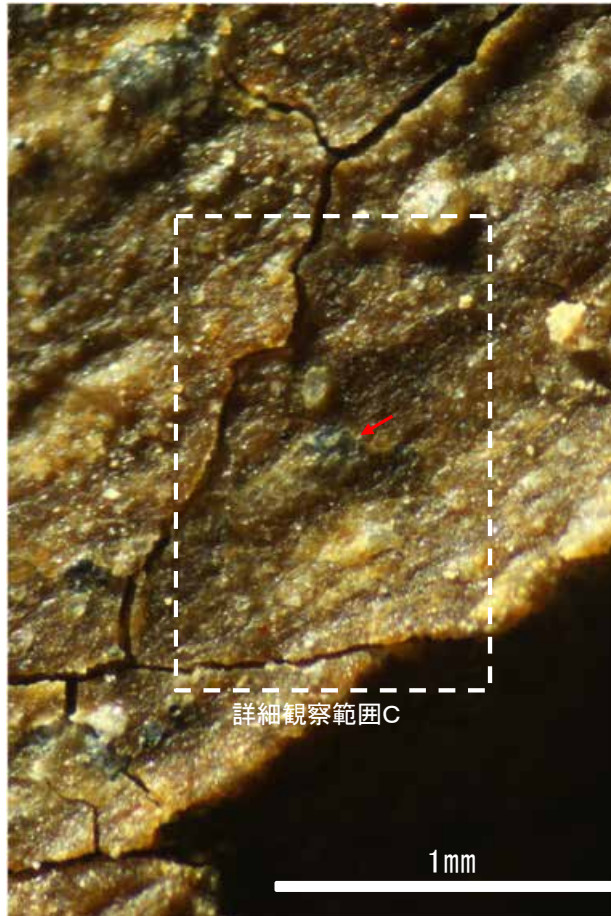
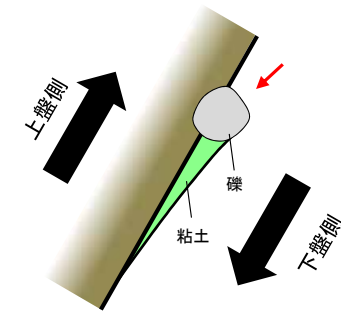
条線観察結果(岩盤調査坑 鉛直ボーリングNo.11V(上盤側)②)



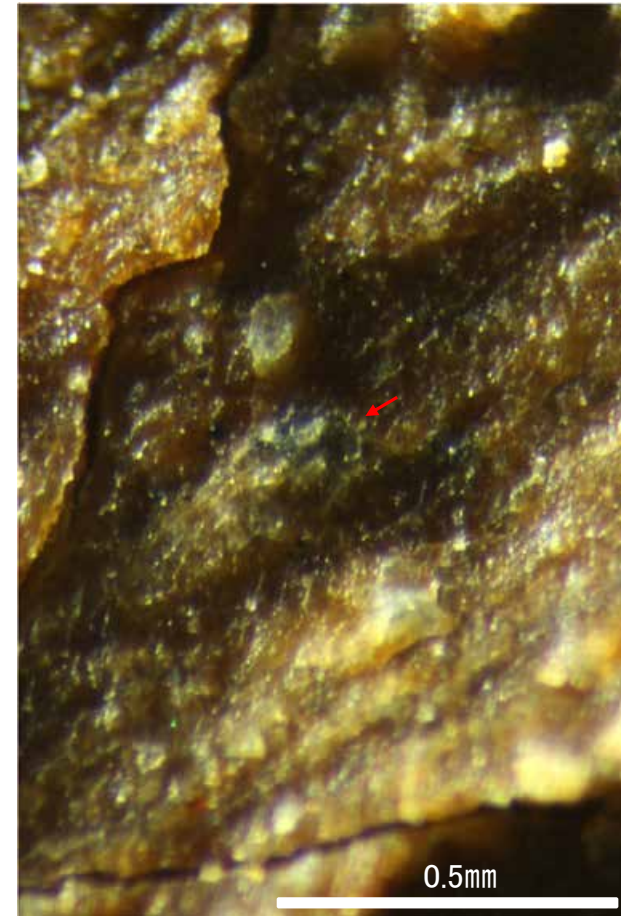
概念図

※走向は真北で示す。

条線方向及び礫周りの粘土の非対称構造から、逆断層センスを示す。



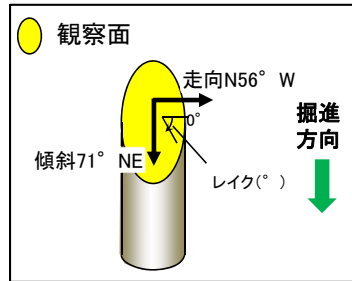
詳細観察写真B



詳細観察写真C

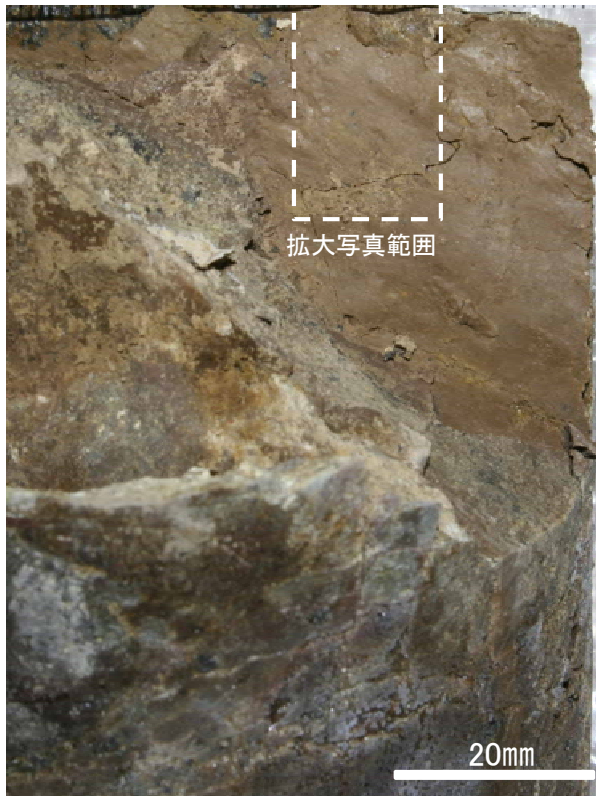
・条線のレイクは30° R (下盤側換算), 変位センスは右横ずれ逆断層センス

条線観察結果(岩盤調査坑 鉛直ボーリングNo.12V(下盤側))

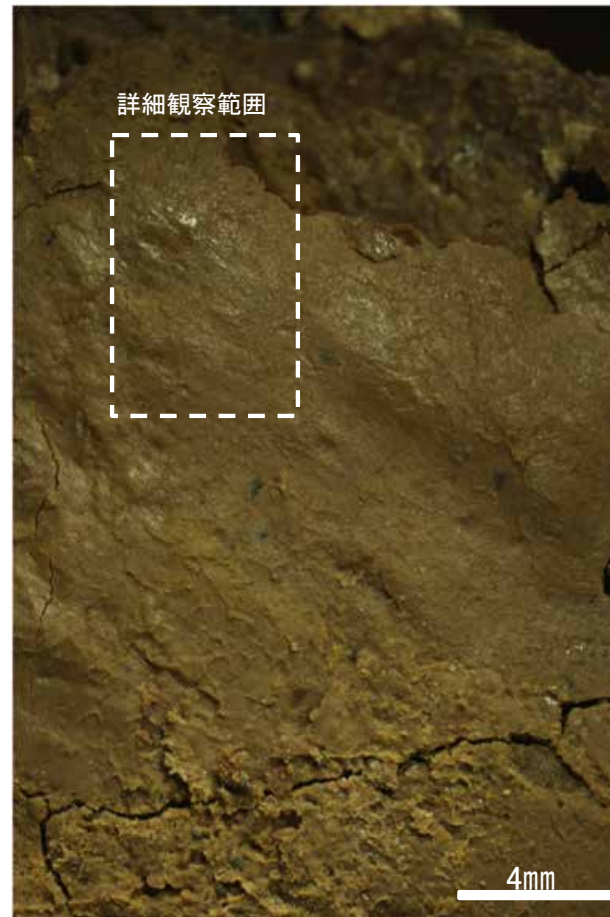


概念図

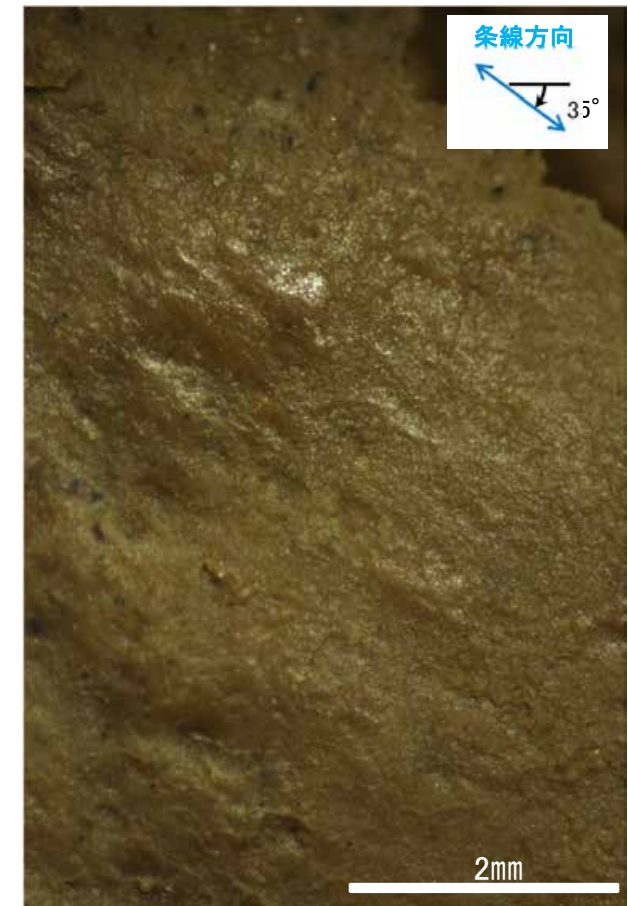
※走向は真北で示す。



観察面写真



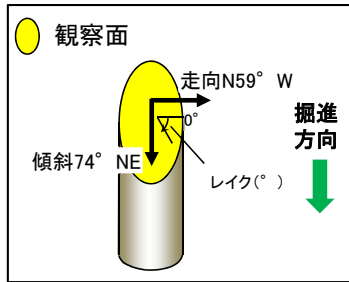
観察面拡大写真



詳細観察写真

・条線のレイクは35° R, 変位センスは不明

条線観察結果(岩盤調査坑 鉛直ボーリングNo.13V(下盤側))

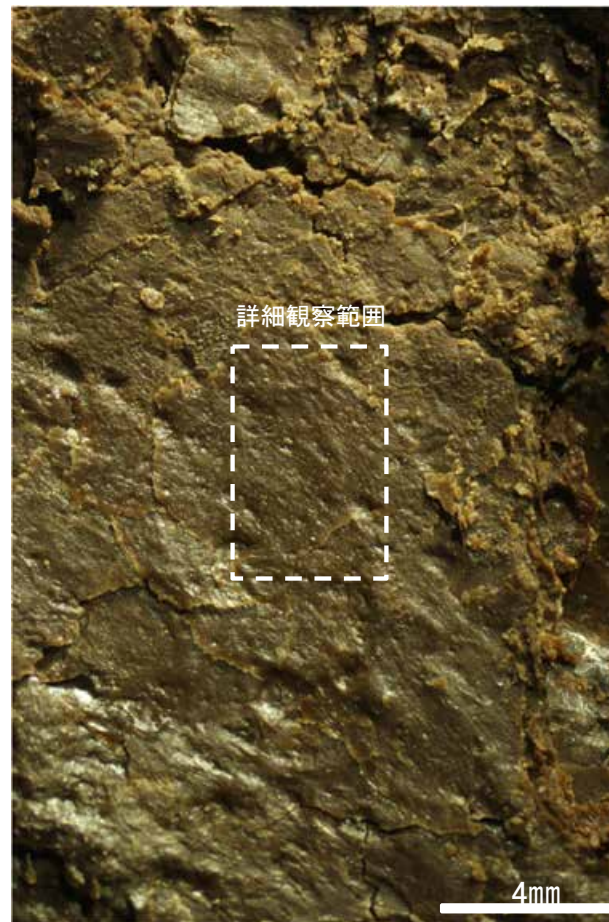


概念図

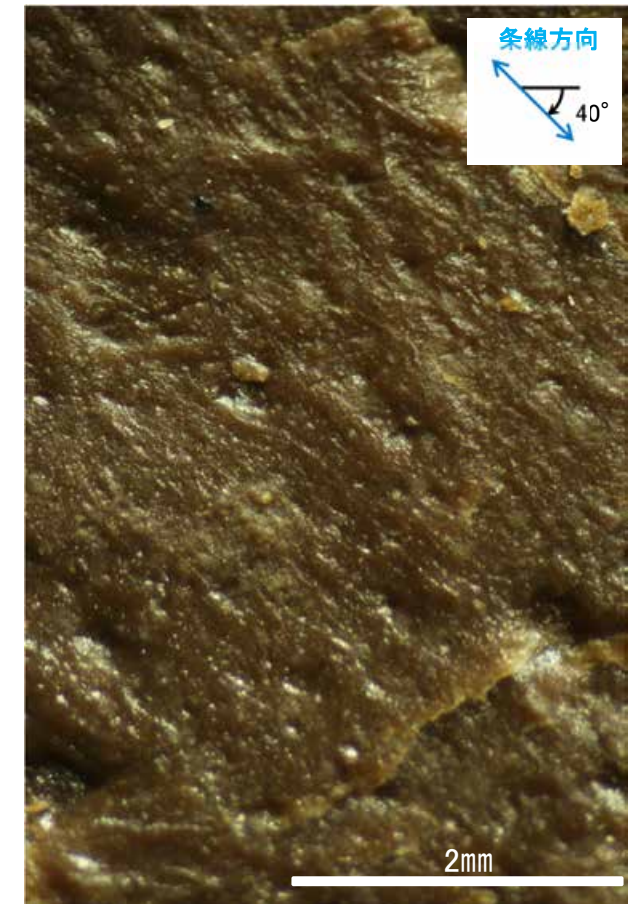
※走向は真北で示す。



観察面写真



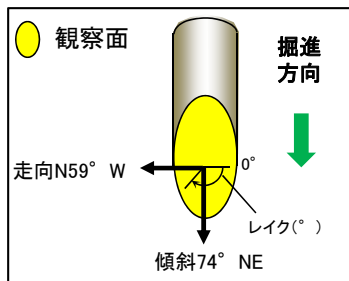
観察面拡大写真



詳細観察写真

・条線のレイクは40° R, 変位センスは不明

条線観察結果(岩盤調査坑 鉛直ボーリングNo.13V(上盤側))

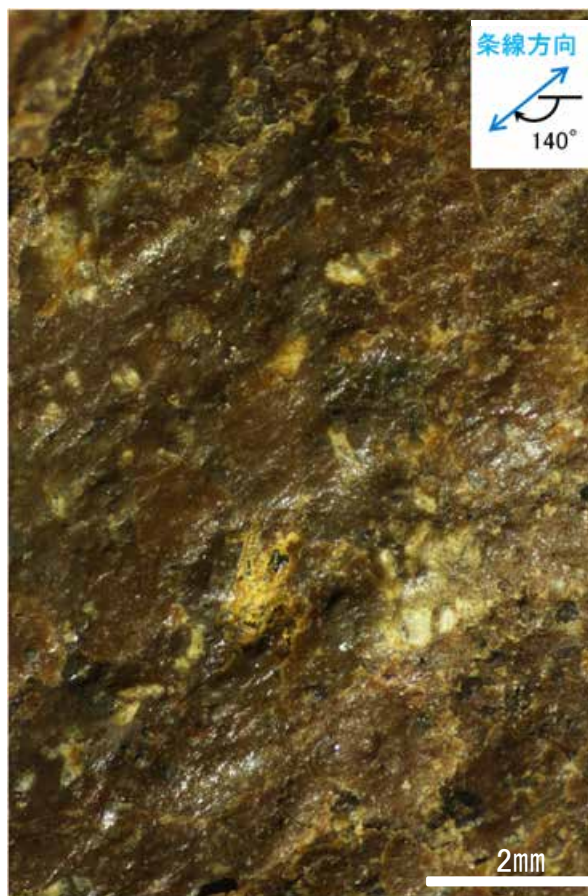


概念図

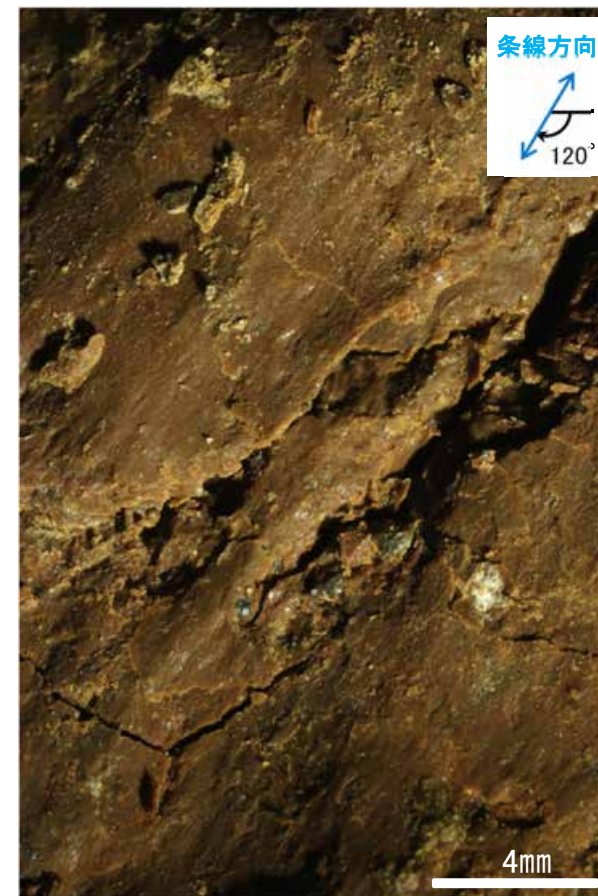
※走向は真北で示す。



観察面写真



観察面拡大写真A

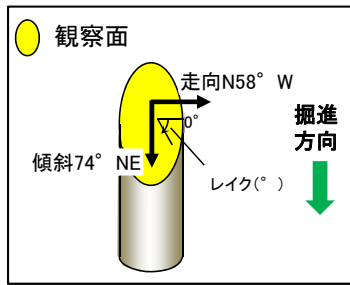


観察面拡大写真B

・条線のレイクは40° R(下盤側換算), 変位センスは不明

・条線のレイクは60° R(下盤側換算), 変位センスは不明

条線観察結果(岩盤調査坑 鉛直ボーリングNo.15V(下盤側))

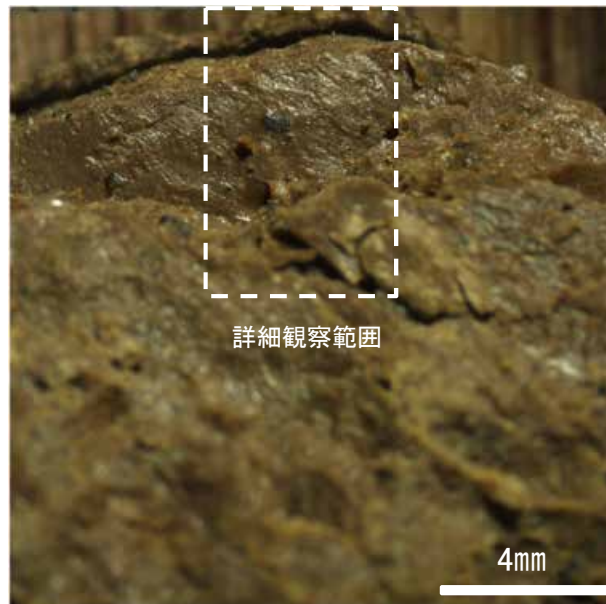


概念図

※走向は真北で示す。



観察面写真



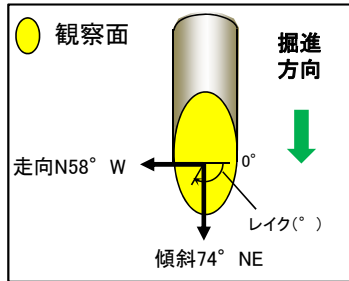
観察面拡大写真



詳細観察写真

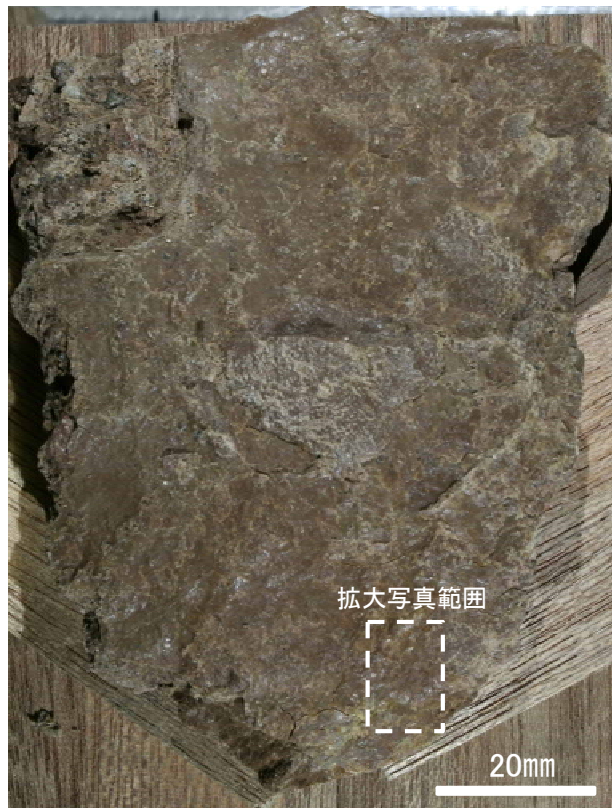
・条線のレイクは35° R, 変位センスは不明

条線観察結果(岩盤調査坑 鉛直ボーリングNo.15V(上盤側))



概念図

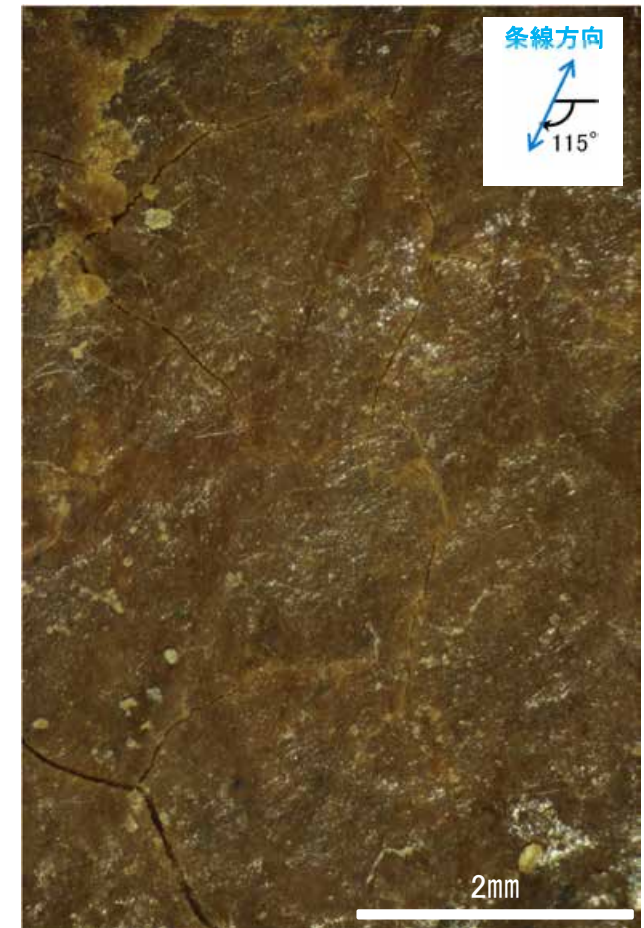
※走向は真北で示す。



観察面写真



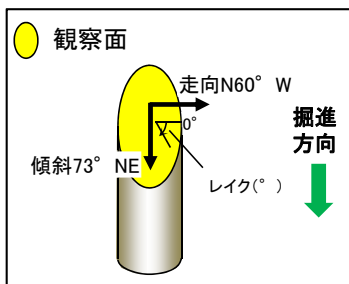
観察面拡大写真



詳細観察写真

・条線のレイクは65° R(下盤側換算), 変位センスは不明

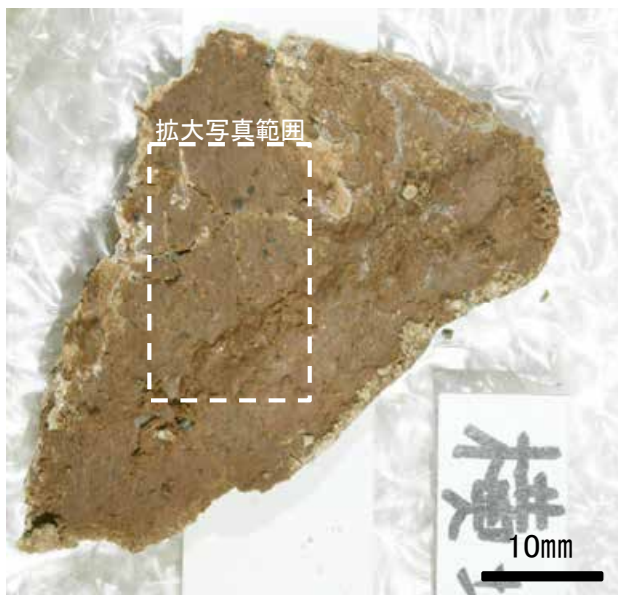
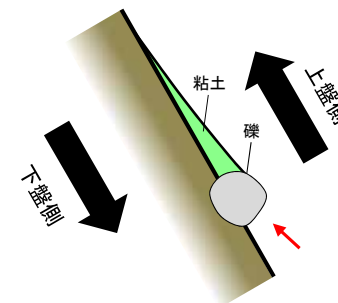
条線観察結果(岩盤調査坑 鉛直ボーリングNo.16V(下盤側))



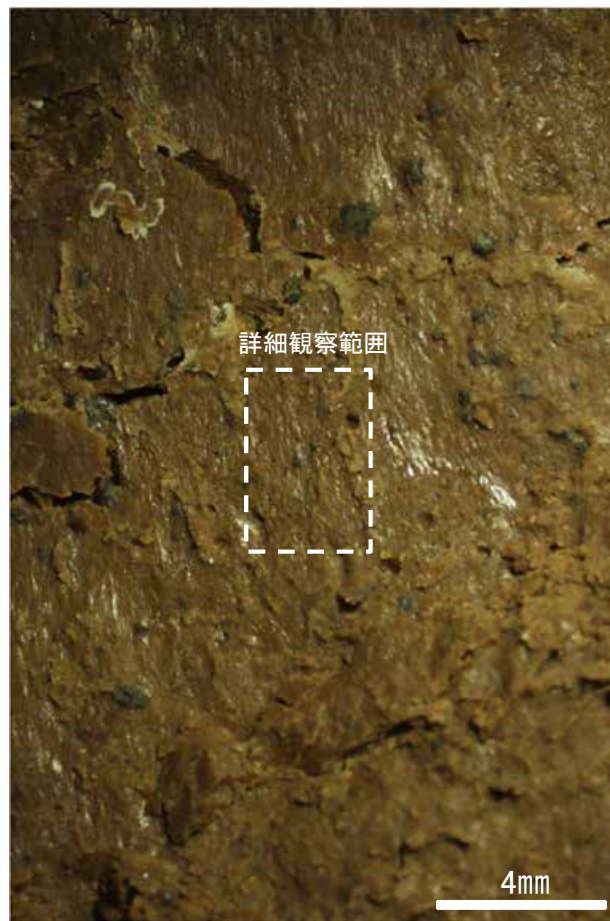
概念図

※走向は真北で示す。

条線方向及び礫周りの粘土の非対称構造から、逆断層センスを示す。



観察面写真



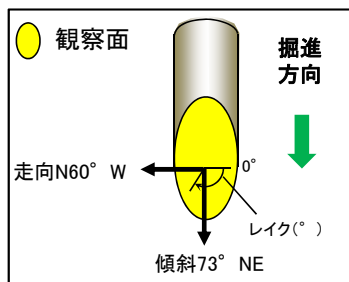
観察面拡大写真



詳細観察写真

・条線のレイクは70° R, 変位センスは右横ずれ逆断層センス

条線観察結果(岩盤調査坑 鉛直ボーリングNo.16V(上盤側))

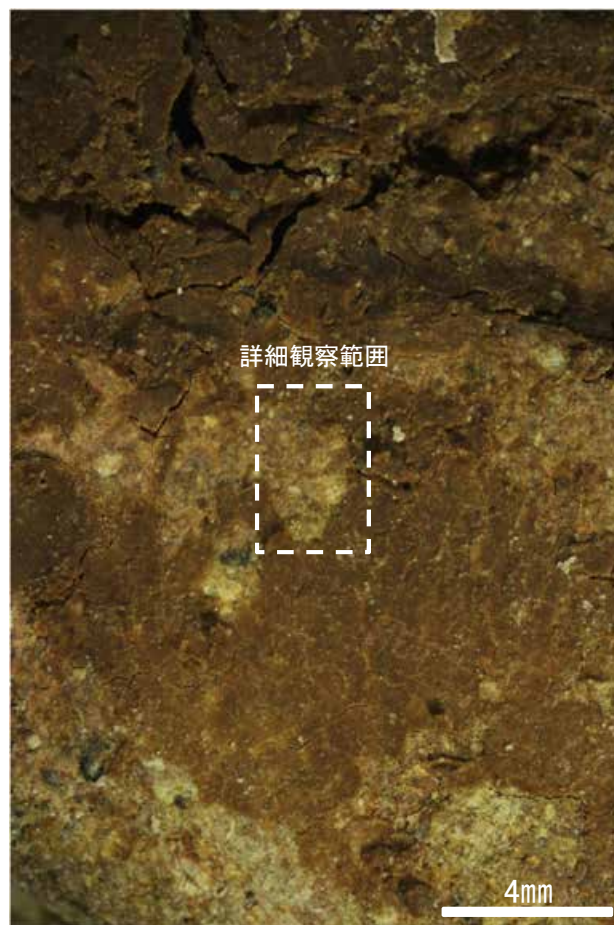


概念図

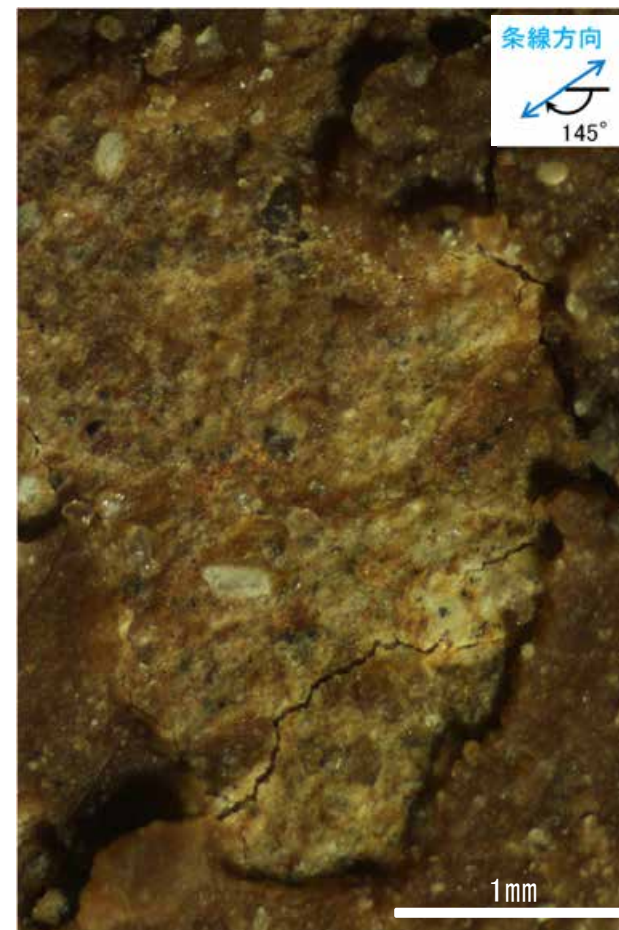
※走向は真北で示す。



観察面写真



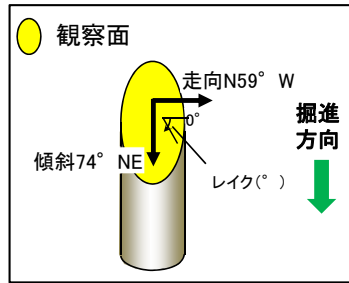
観察面拡大写真



詳細観察写真

・条線のレイクは35° R(下盤側換算), 変位センスは不明

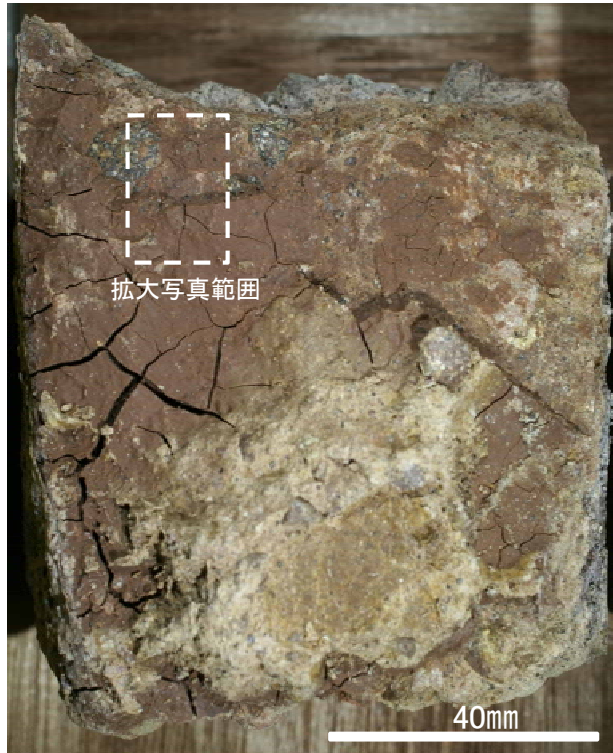
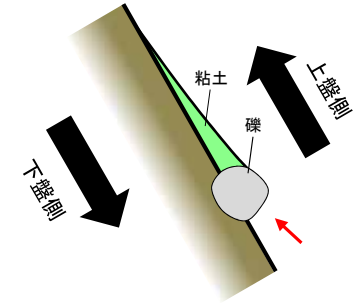
条線観察結果(岩盤調査坑 鉛直ボーリングNo.17V(下盤側)①)



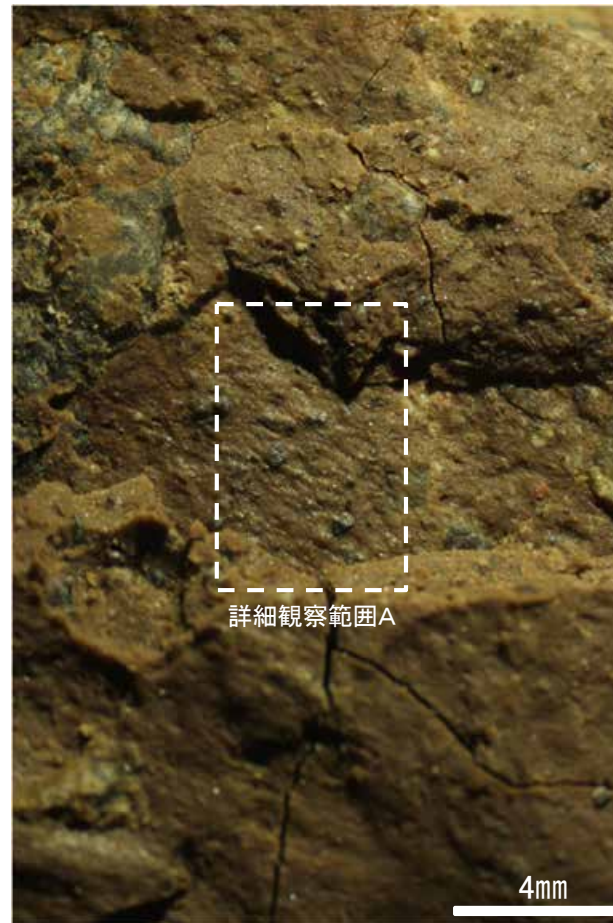
概念図

※走向は真北で示す。

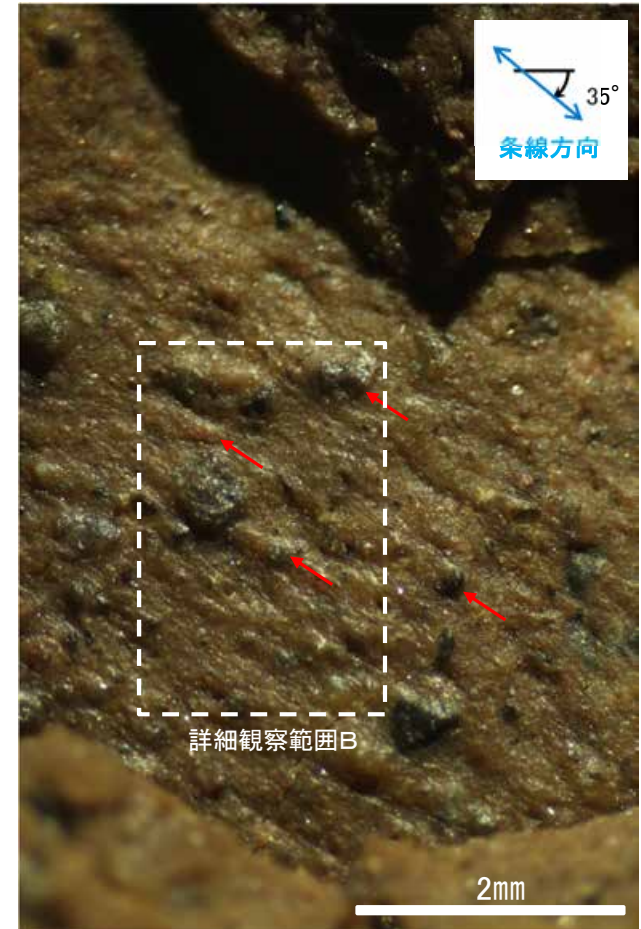
条線方向及び礫周りの粘土の非対称構造から、逆断層センスを示す。



観察面写真

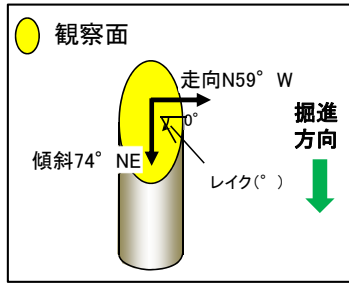


観察面拡大写真



詳細観察写真A

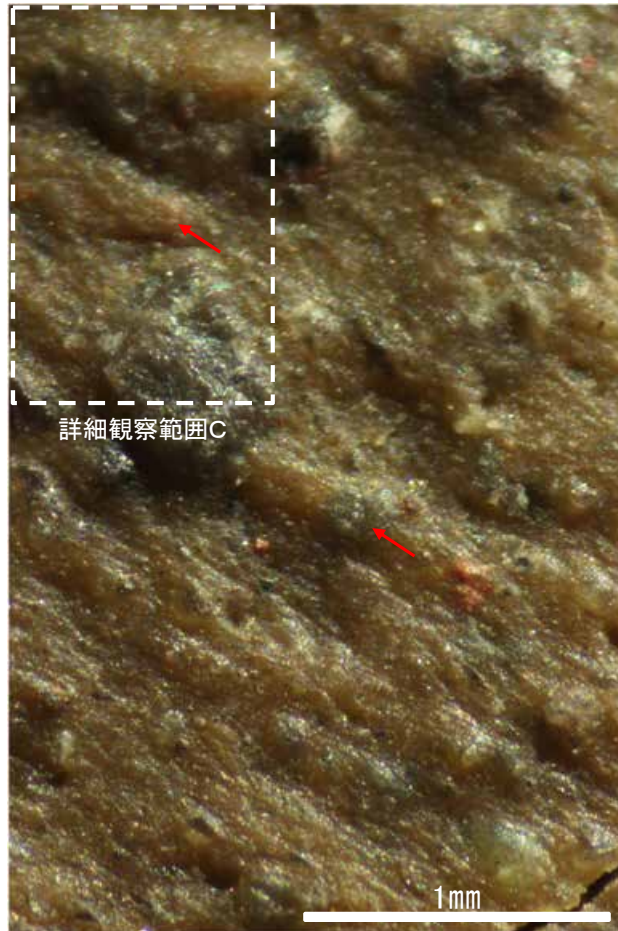
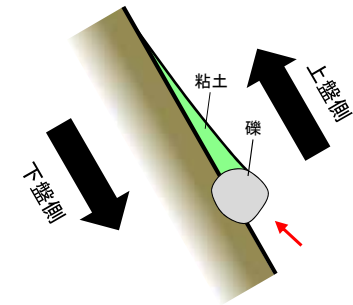
条線観察結果(岩盤調査坑 鉛直ボーリングNo.17V(下盤側)②)



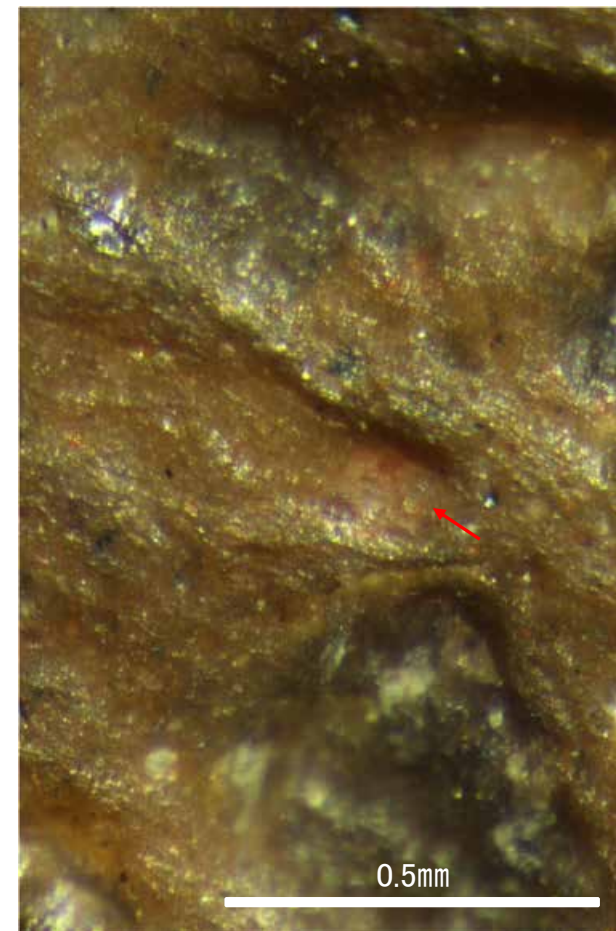
概念図

※走向は真北で示す。

条線方向及び礫周りの粘土の非対称構造から、逆断層センスを示す。



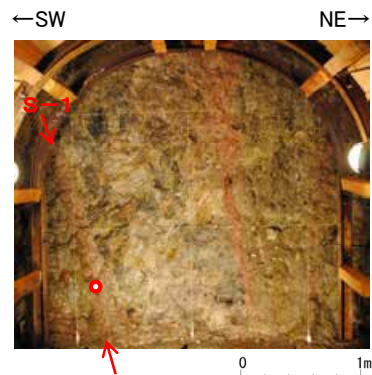
詳細観察写真B



詳細観察写真C

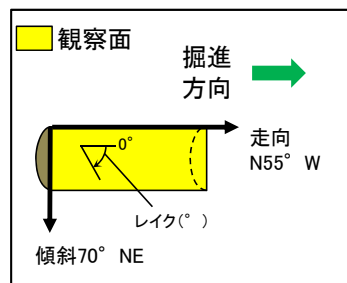
・条線のレイクは35° R, 変位センスは右横ずれ逆断層センス

条線観察結果(岩盤調査坑 水平ボーリングNo.13-2(下盤側)①)



試料採取位置(No.13切羽)

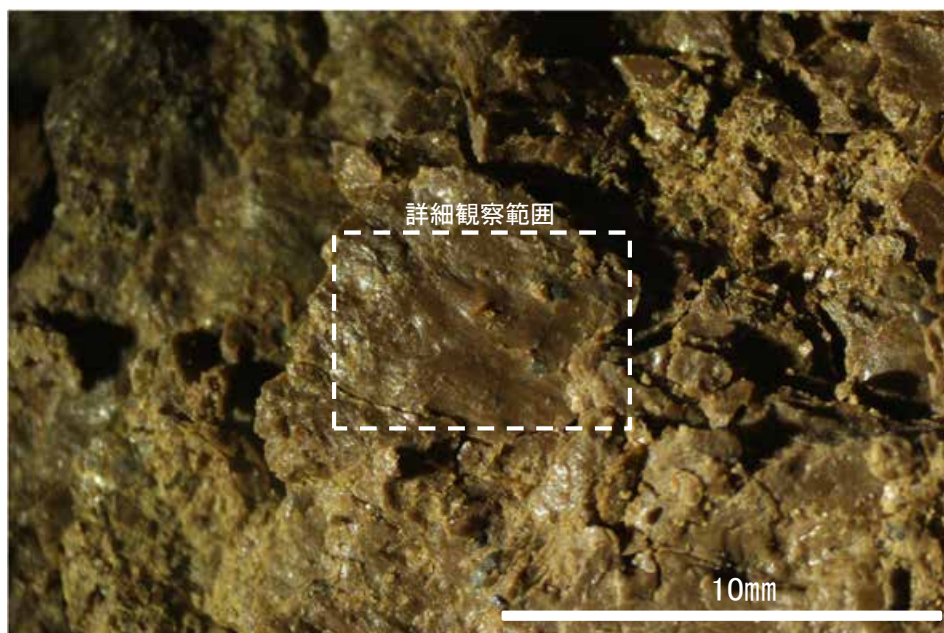
● ボーリング箇所(No.13)



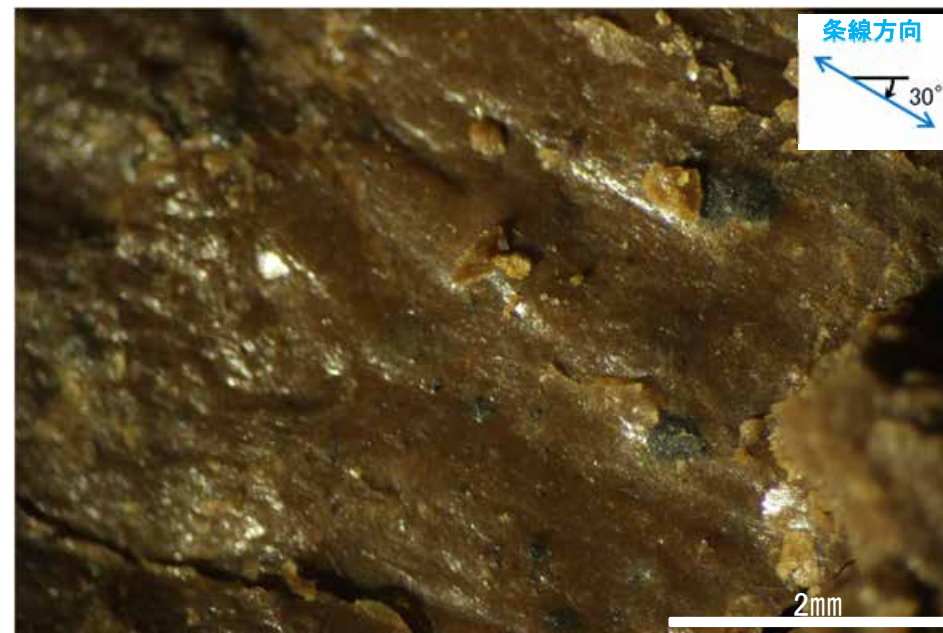
概念図 ※走向は真北で示す。



観察面写真



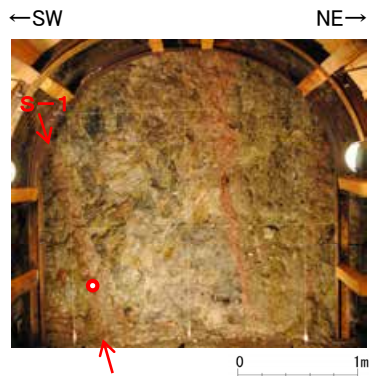
観察面拡大写真



詳細観察写真

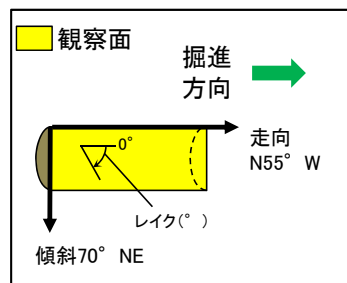
・条線のレイクは30° R, 変位センスは不明

条線観察結果(岩盤調査坑 水平ボーリングNo.13-2(下盤側)②)

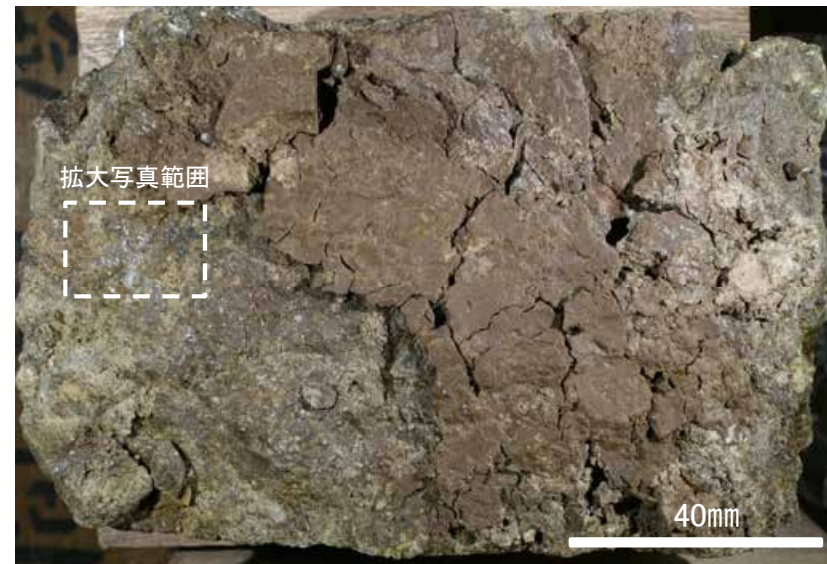


試料採取位置(No.13切羽)

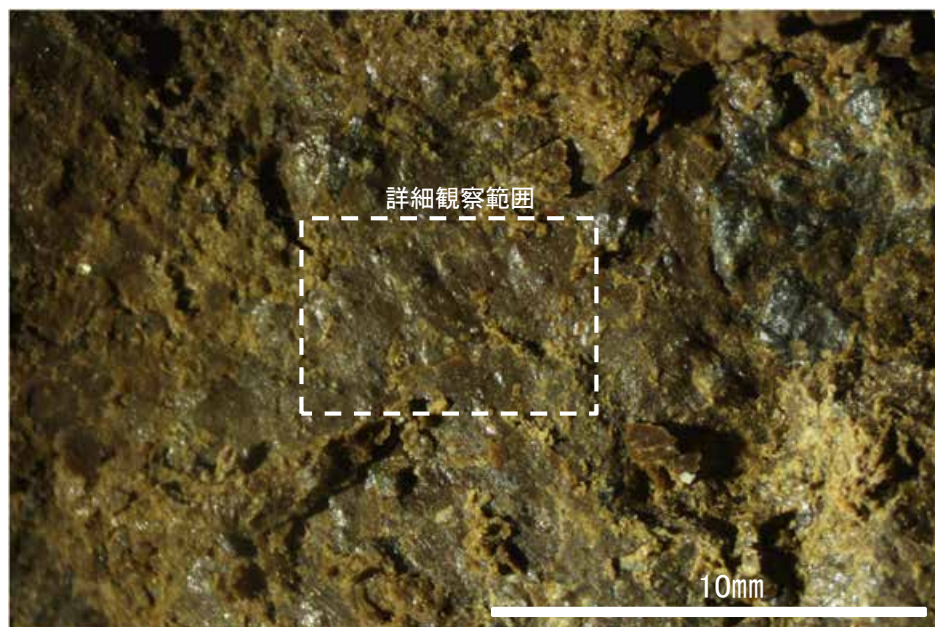
● ボーリング箇所(No.13)



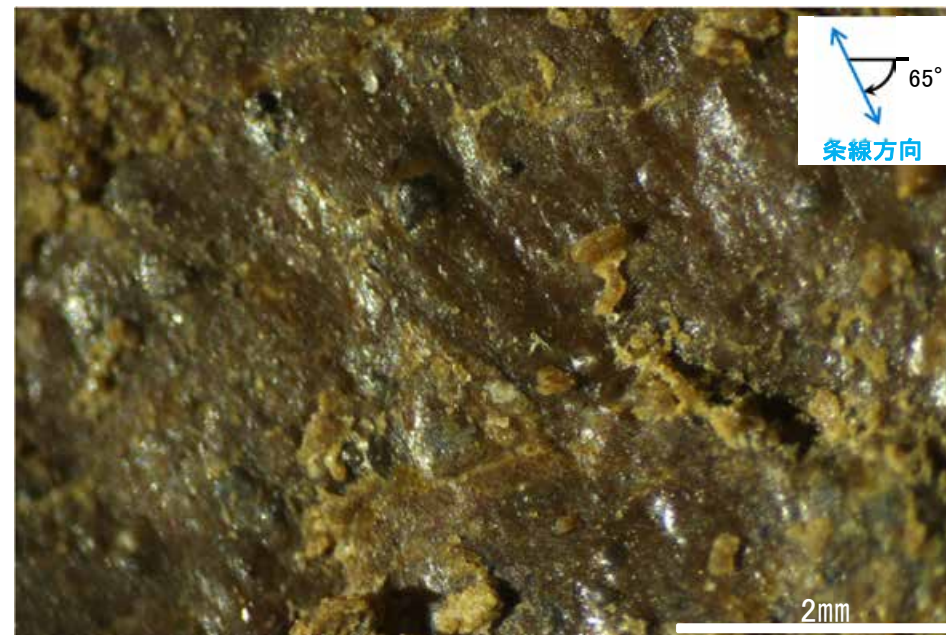
概念図 ※走向は真北で示す。



観察面写真



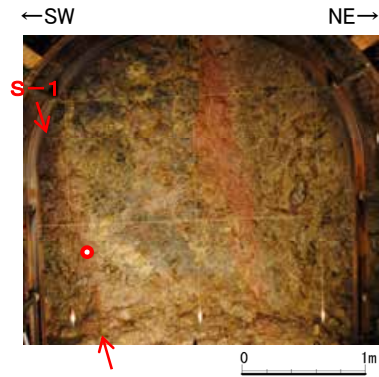
観察面拡大写真



詳細観察写真

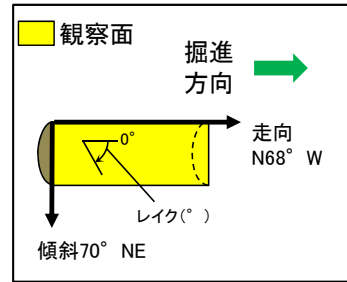
・条線のレイクは65° R, 変位センスは不明

条線観察結果(岩盤調査坑 水平ボーリングNo.14(下盤側)①)

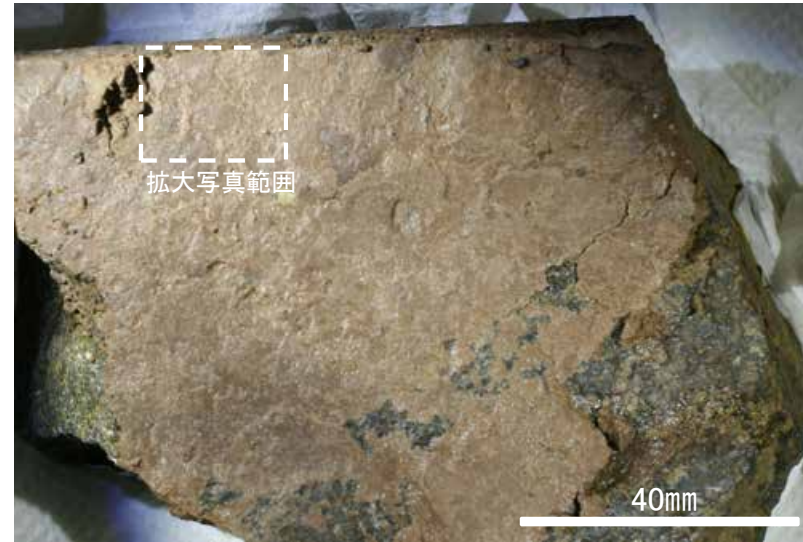


試料採取位置(No.14切羽)

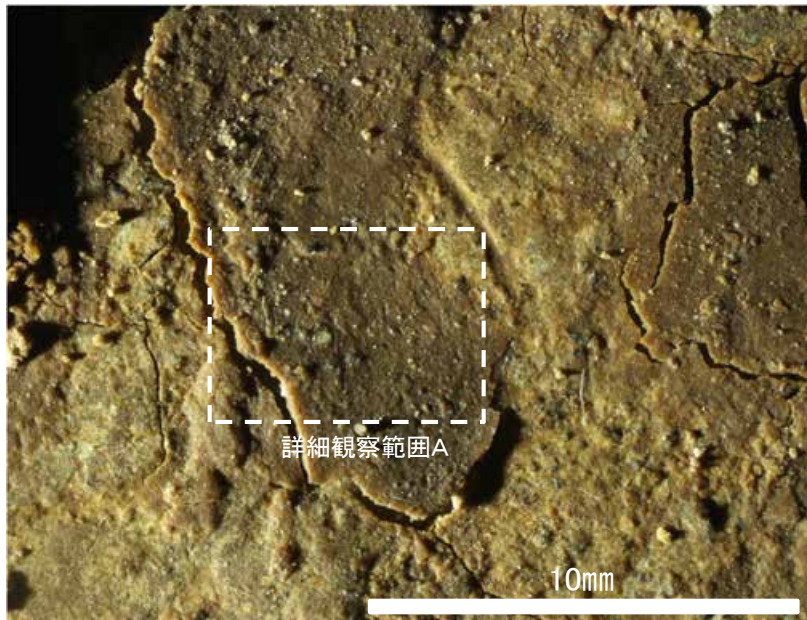
○ ボーリング箇所(No.14)



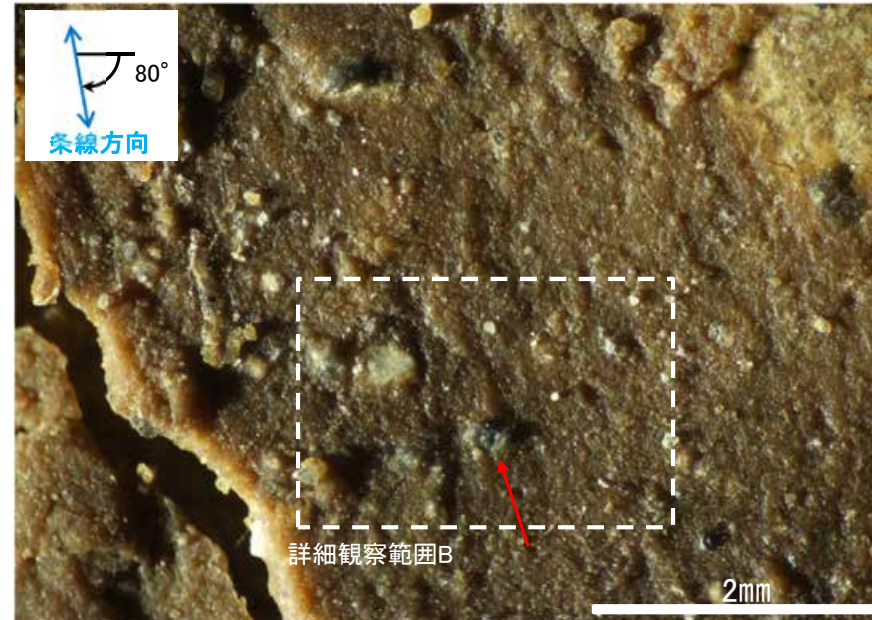
概念図 ※走向は真北で示す。



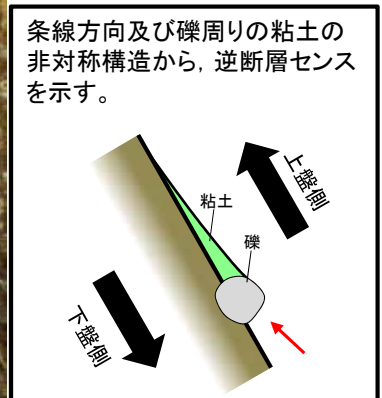
観察面写真



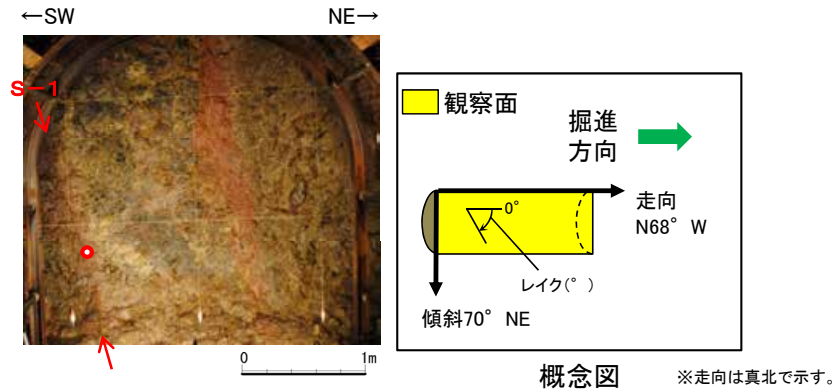
観察面拡大写真



詳細観察写真A

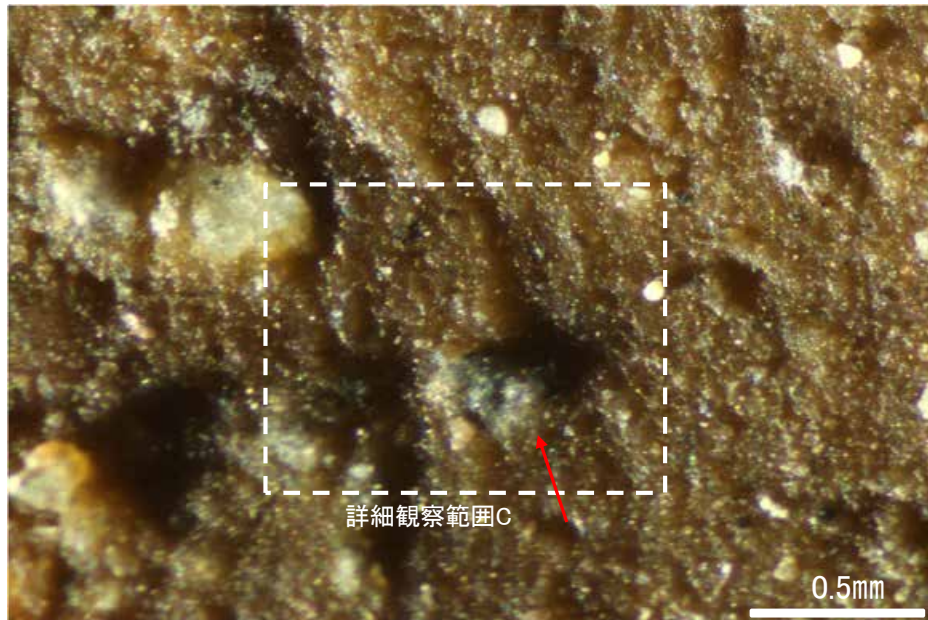


条線観察結果(岩盤調査坑 水平ボーリングNo.14(下盤側)②)

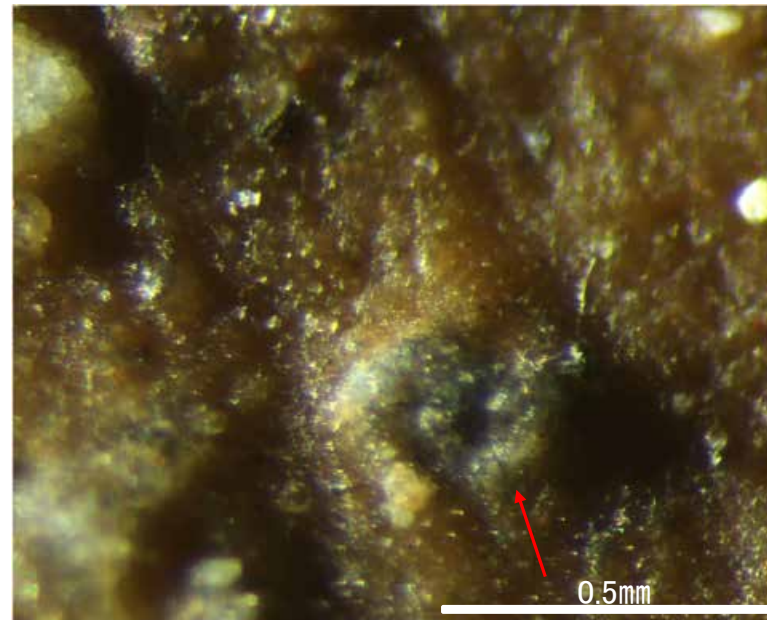


試料採取位置(No.14切羽)

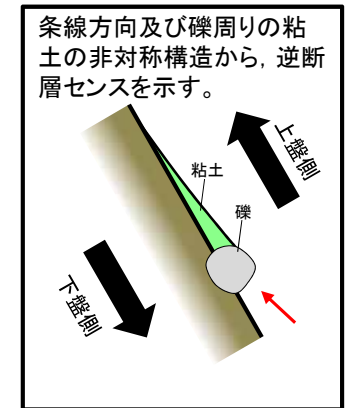
○ ボーリング箇所(No.14)



詳細観察写真B

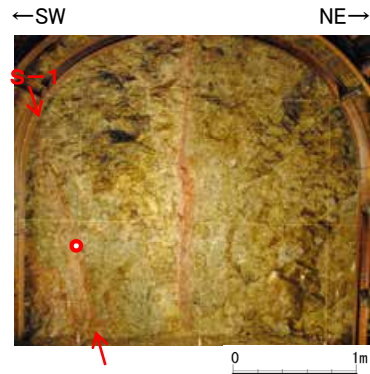


詳細観察写真C



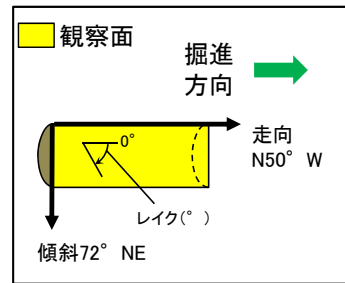
・条線のレイクは80° R, 変位センスは右横ずれ逆断層センス

条線観察結果(岩盤調査坑 水平ボーリングNo.18-1(下盤側))

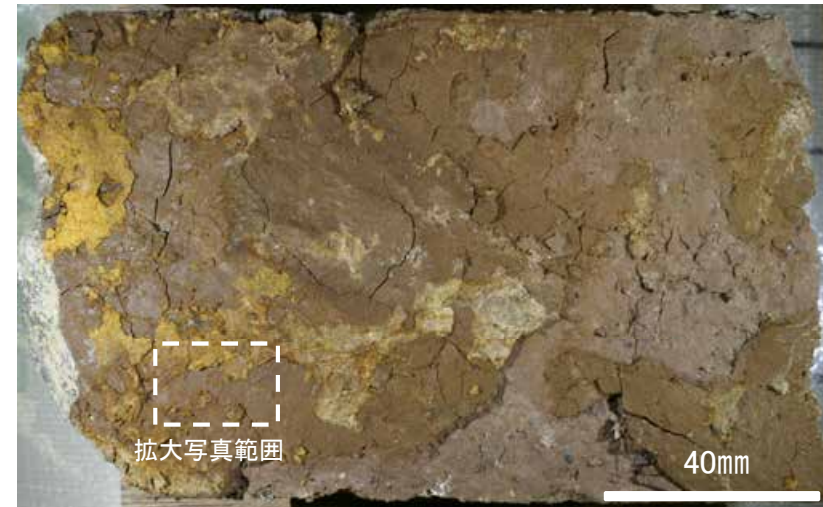


試料採取位置(No.18切羽)

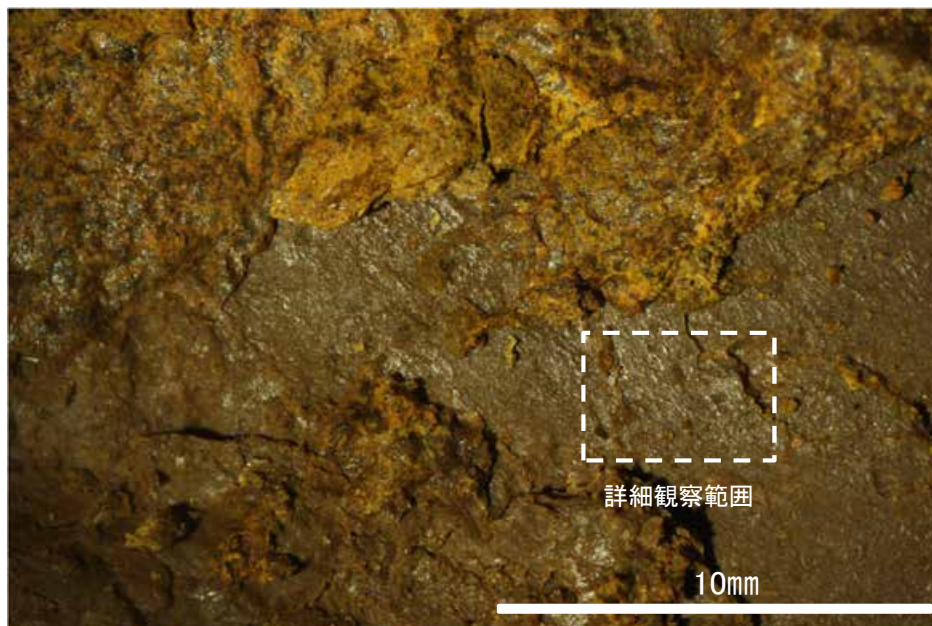
○ ボーリング箇所(No.18-1)



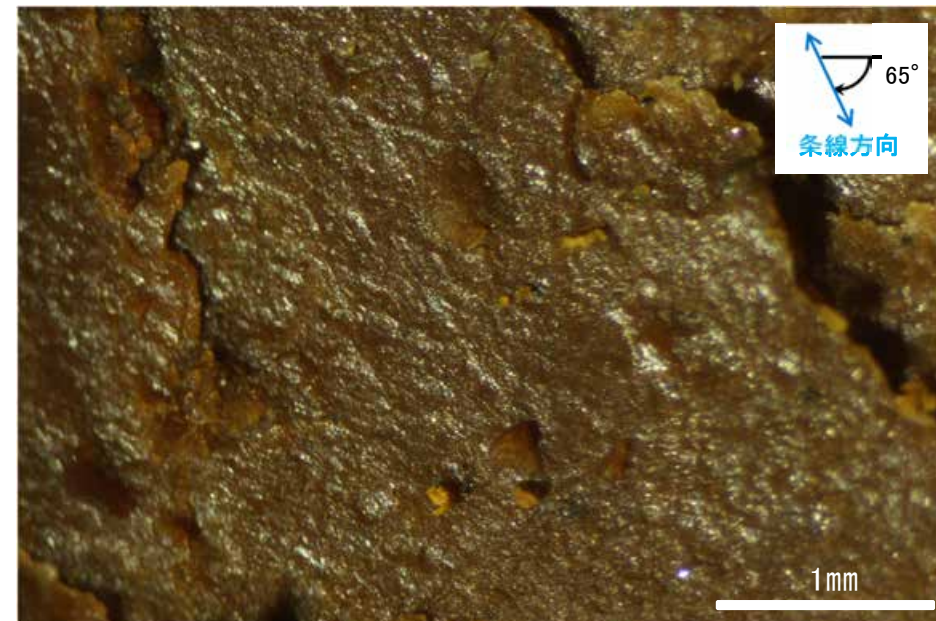
概念図 ※走向は真北で示す。



観察面写真



観察面拡大写真

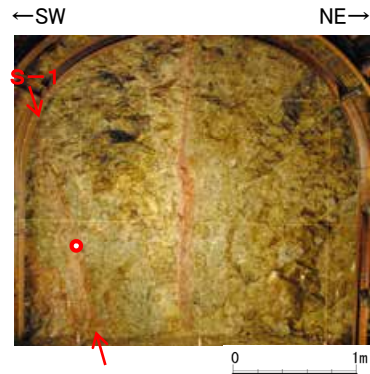


詳細観察写真

※低角度の条線は認められるものの、断続的であることから、人為的にできたものと考えられる。

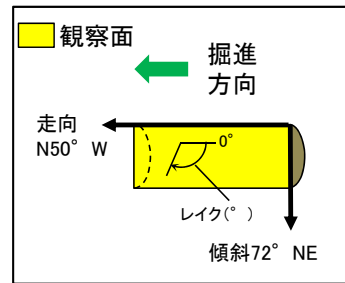
・条線のレイクは65° R, 変位センスは不明

条線観察結果(岩盤調査坑 水平ボーリングNo.18-1(上盤側))

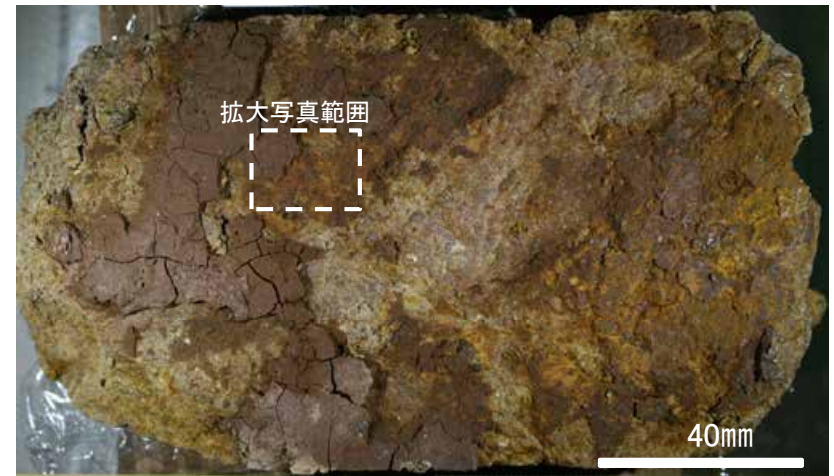


試料採取位置(No.18切羽)

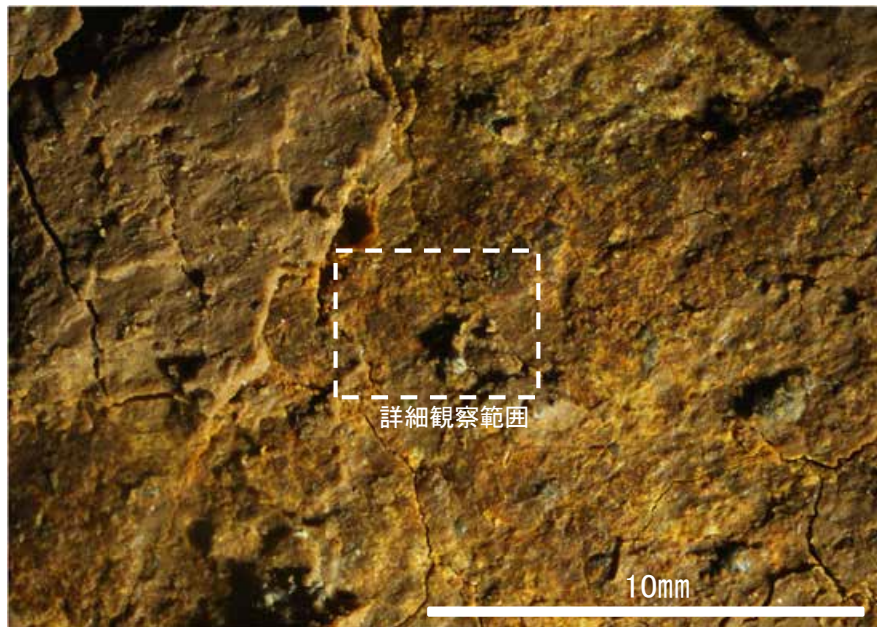
○ ボーリング箇所(No.18-1)



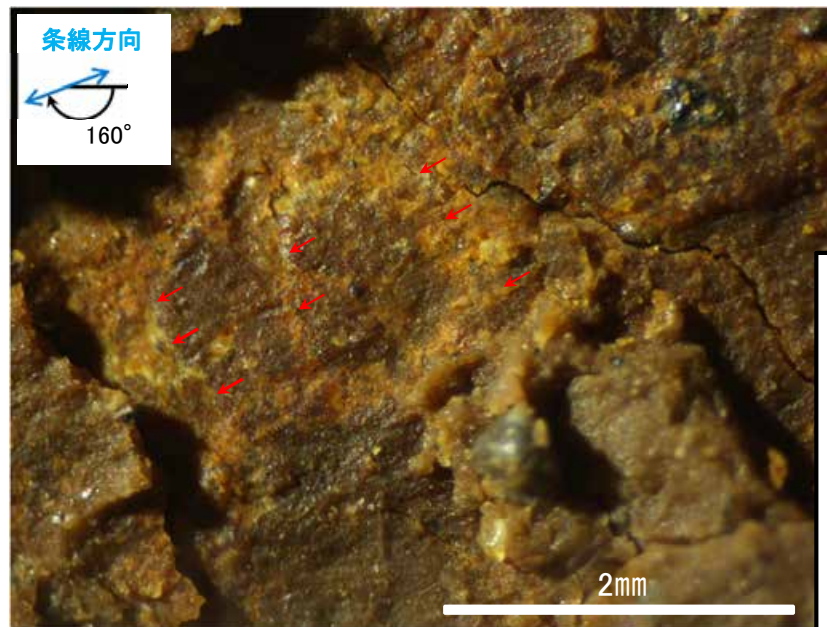
概念図 ※走向は真北で示す。



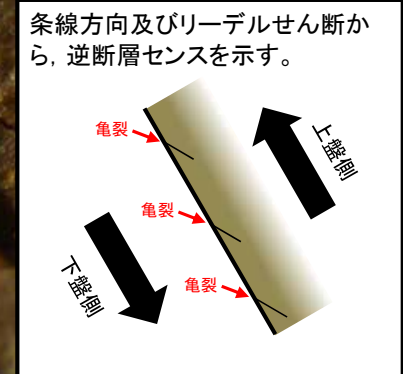
観察面写真



観察面拡大写真

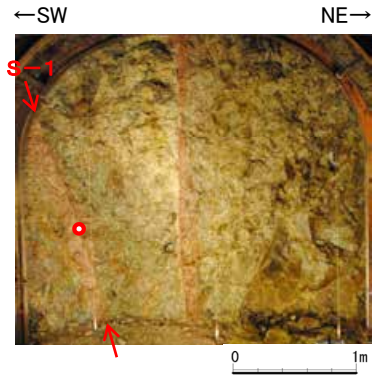


詳細観察写真



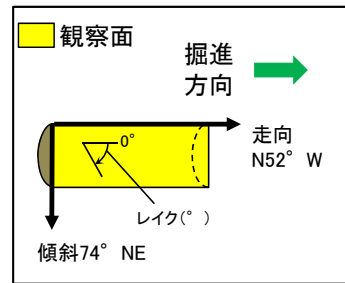
・条線のレイクは 20° R(下盤側換算), 変位センスは右横ずれ逆断層センス

条線観察結果(岩盤調査坑 水平ボーリングNo.19(下盤側))

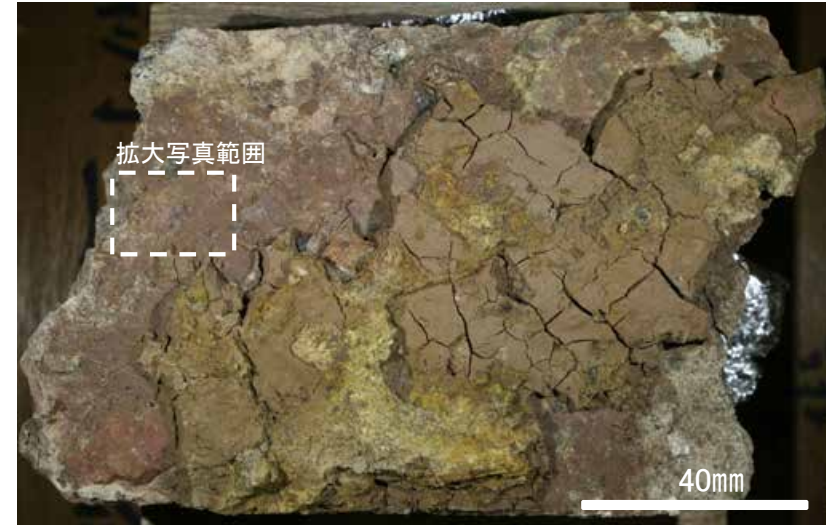


試料採取位置(No.19切羽)

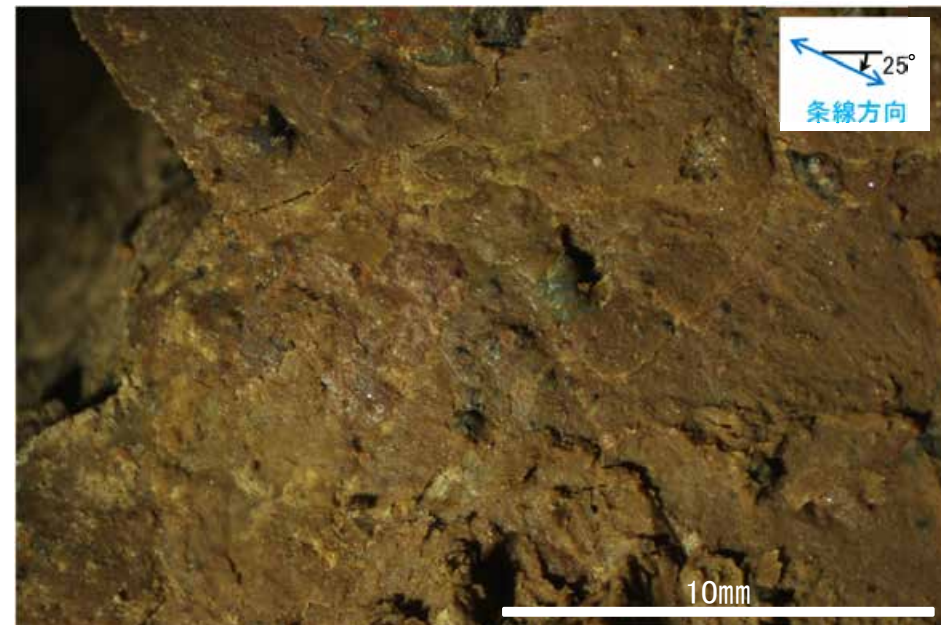
○ ボーリング箇所(No.19)



概念図 ※走向は真北で示す。



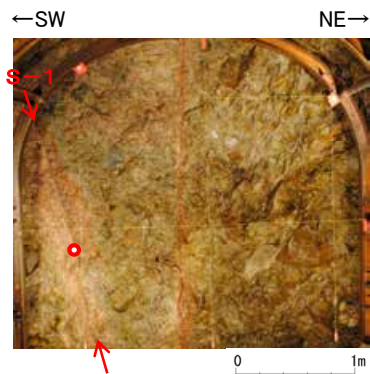
観察面写真



観察面拡大写真

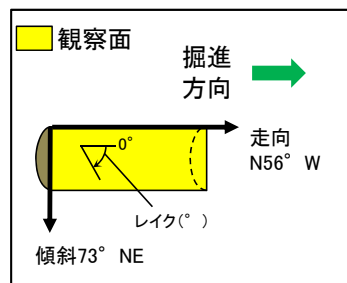
・条線のレイクは25° R, 変位センスは不明

条線観察結果(岩盤調査坑 水平ボーリングNo.20(1)(下盤側))

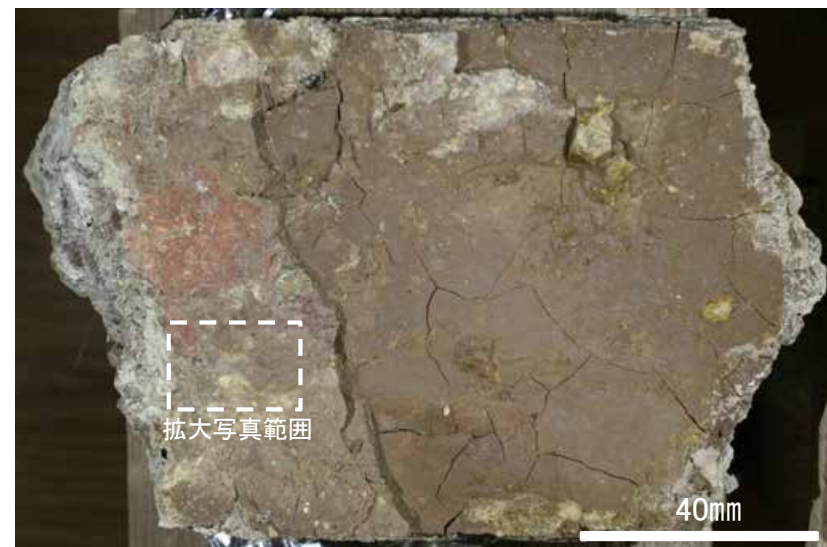


試料採取位置(No.20切羽)

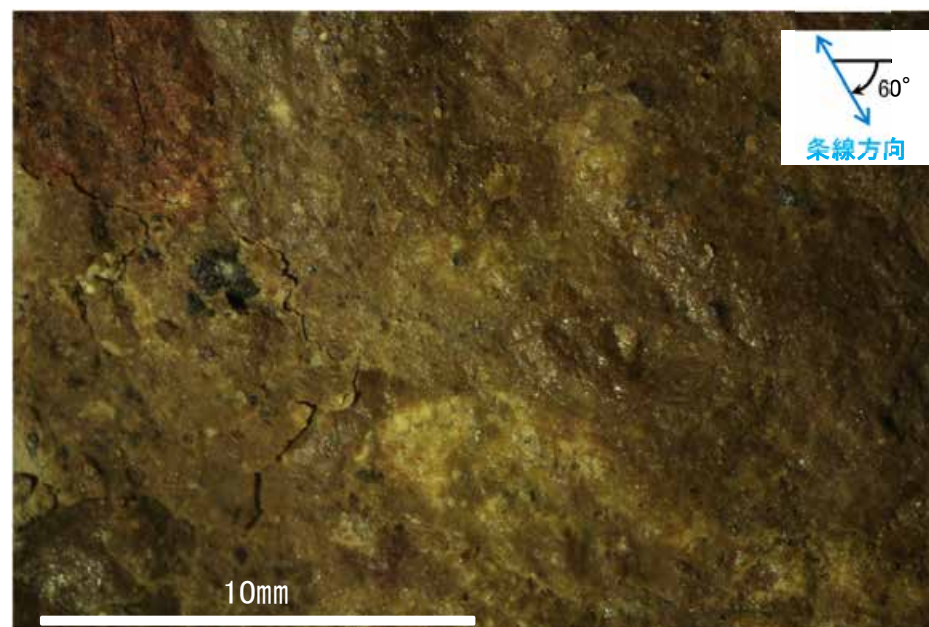
○ ボーリング箇所(No.20)



概念図 ※走向は真北で示す。



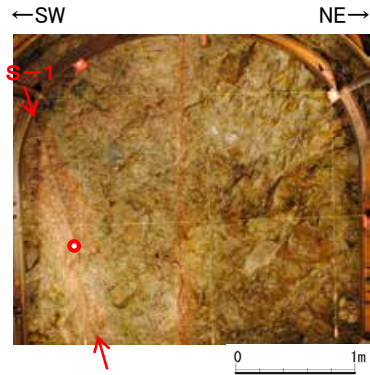
観察面写真



観察面拡大写真

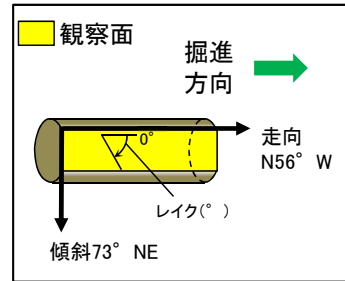
・条線のレイクは60° R, 変位センスは不明

条線観察結果(岩盤調査坑 水平ボーリングNo.20(2)(下盤側)①)

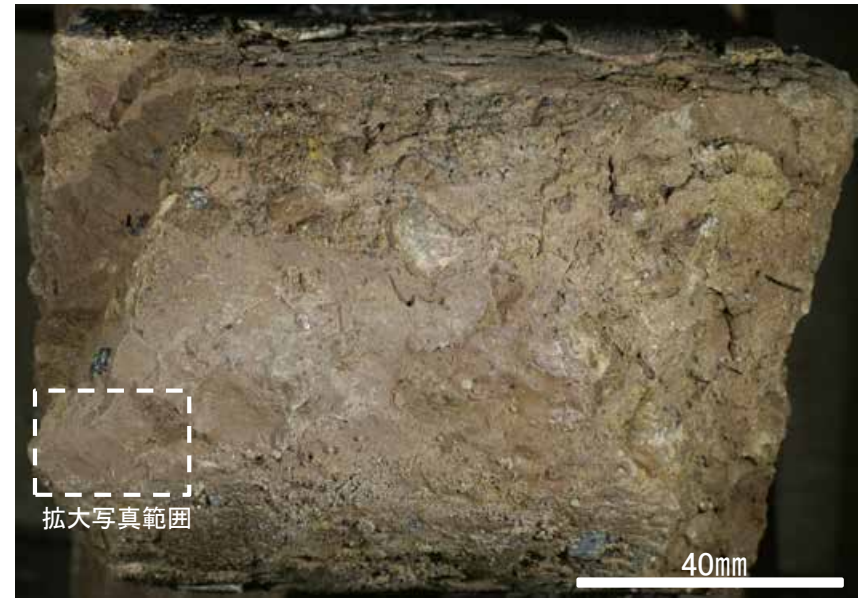


試料採取位置(No.20切羽)

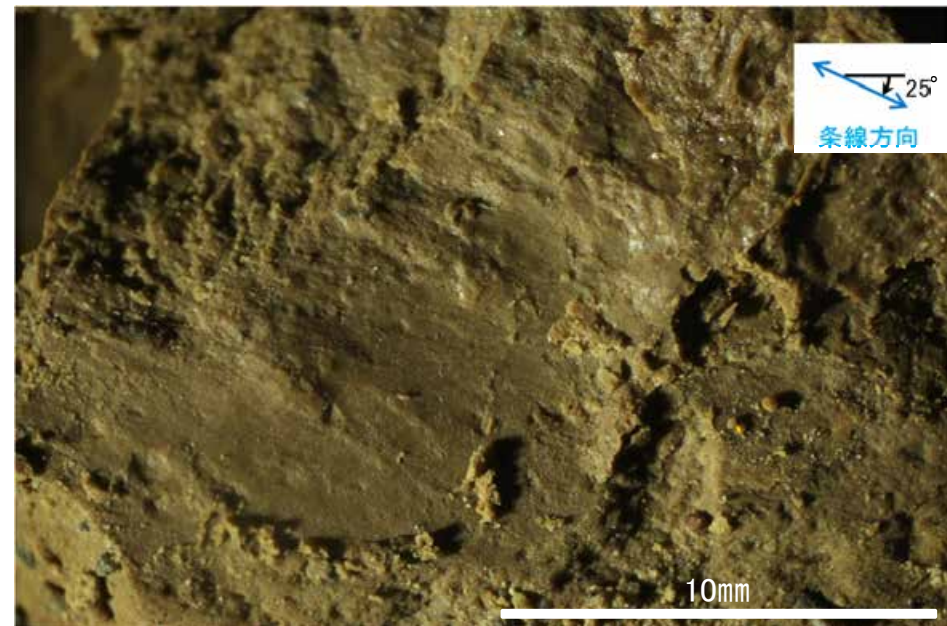
○ ボーリング箇所(No.20)



概念図 ※走向は真北で示す。



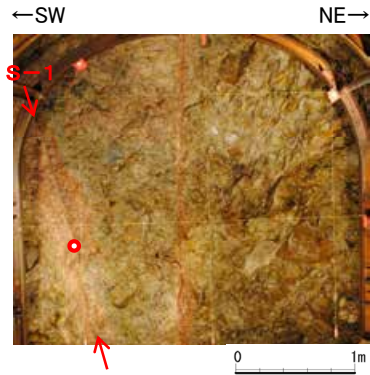
観察面写真



観察面拡大写真

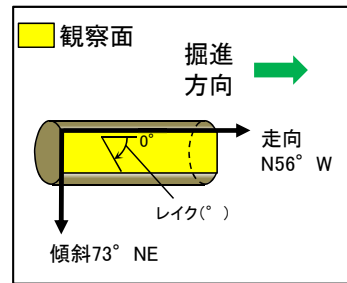
・条線のレイクは25° R, 変位センスは不明

条線観察結果(岩盤調査坑 水平ボーリングNo.20(2)(下盤側)②)

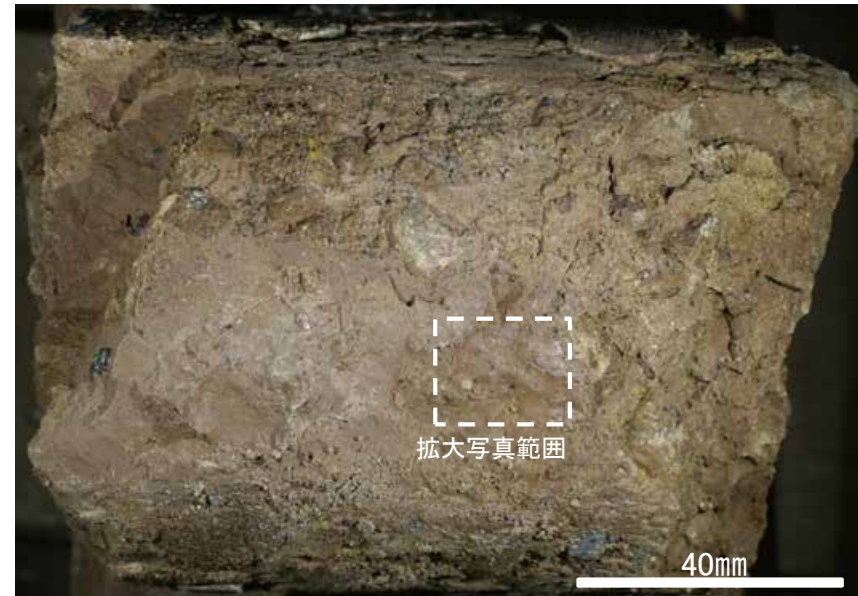


試料採取位置(No.20切羽)

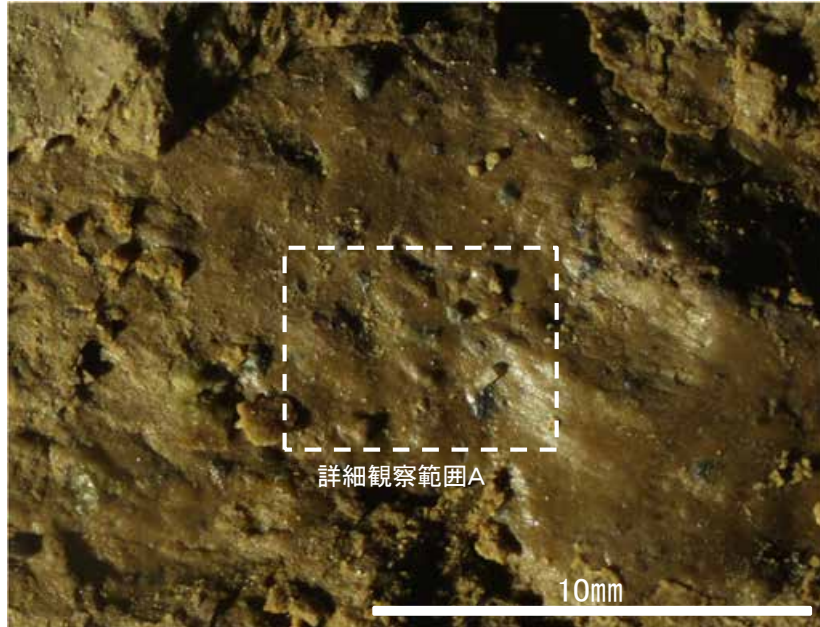
○ ボーリング箇所(No.20)



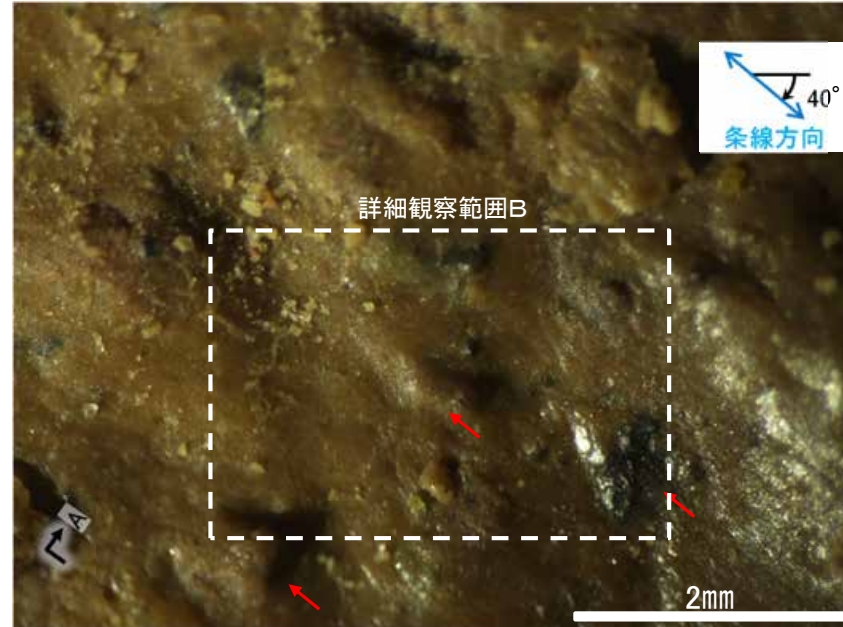
概念図 ※走向は真北で示す。



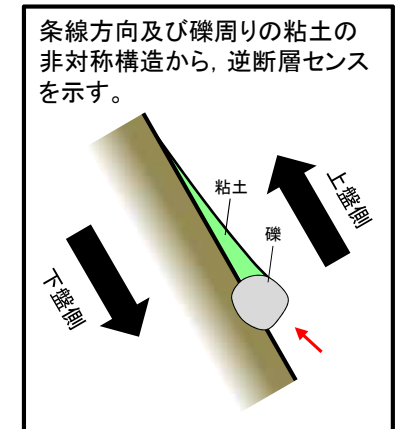
観察面写真



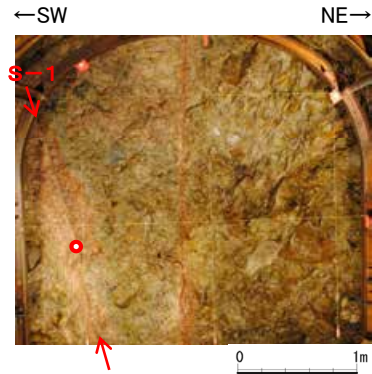
観察面拡大写真



詳細観察写真A

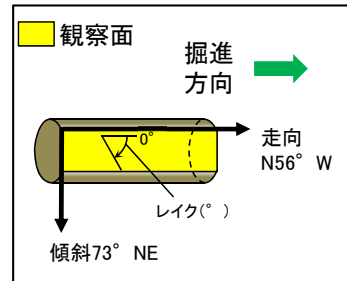


条線観察結果(岩盤調査坑 水平ボーリングNo.20(2)(下盤側)③)

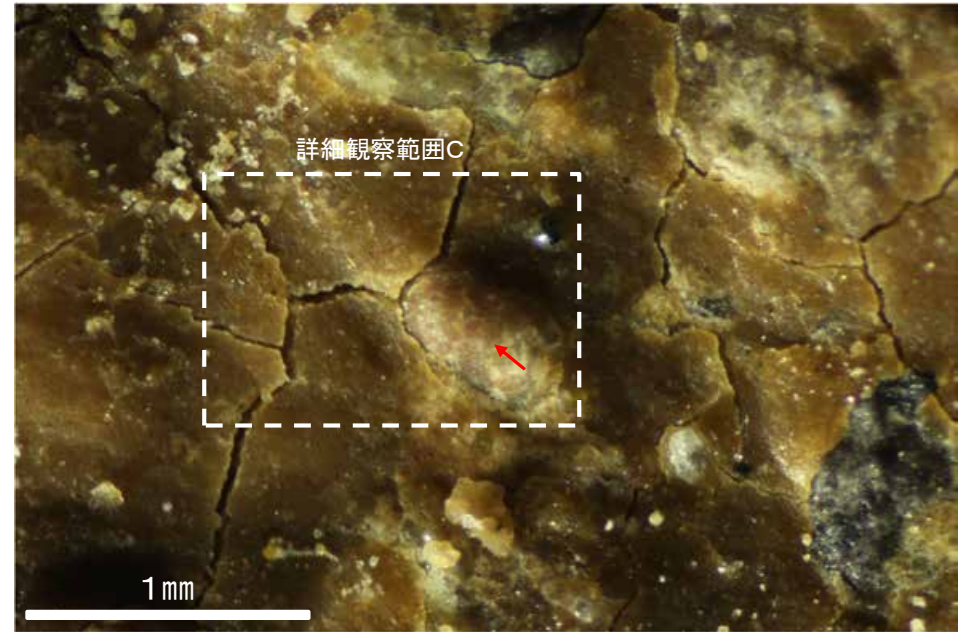


試料採取位置(No.20切羽)

○ ボーリング箇所(No.20)



概念図 ※走向は真北で示す。



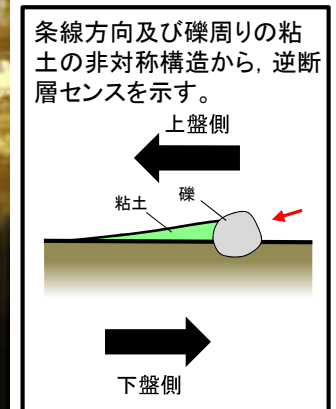
観察面写真B



詳細観察写真C



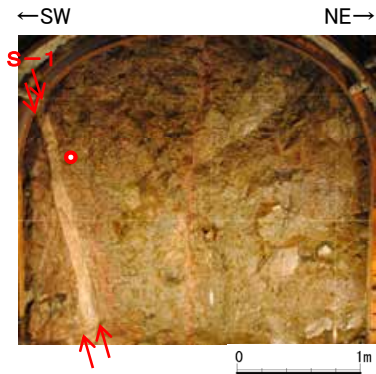
詳細観察写真(A-A'断面)



条線方向及び礫周りの粘土の非対称構造から、逆断層センスを示す。

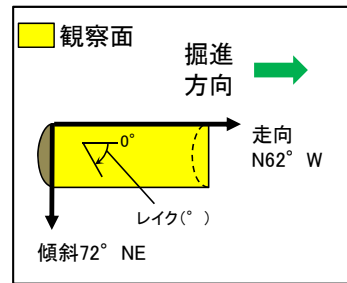
・条線のレイクは40° R, 変位センスは右横ずれ逆断層センス

条線観察結果(岩盤調査坑 水平ボーリングNo.22-1(下盤側))



試料採取位置(No.22切羽)

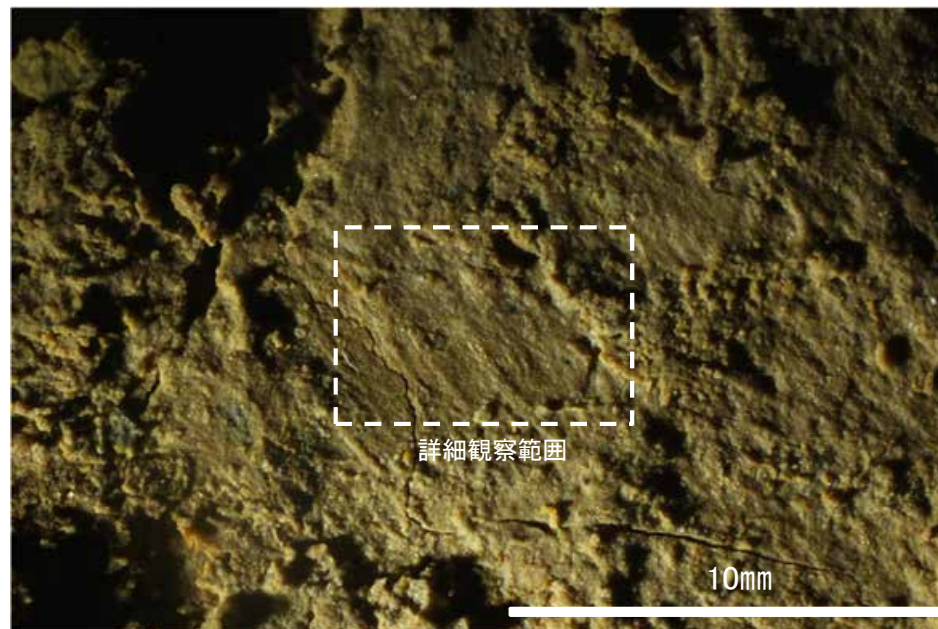
○ ボーリング箇所(No.22-1)



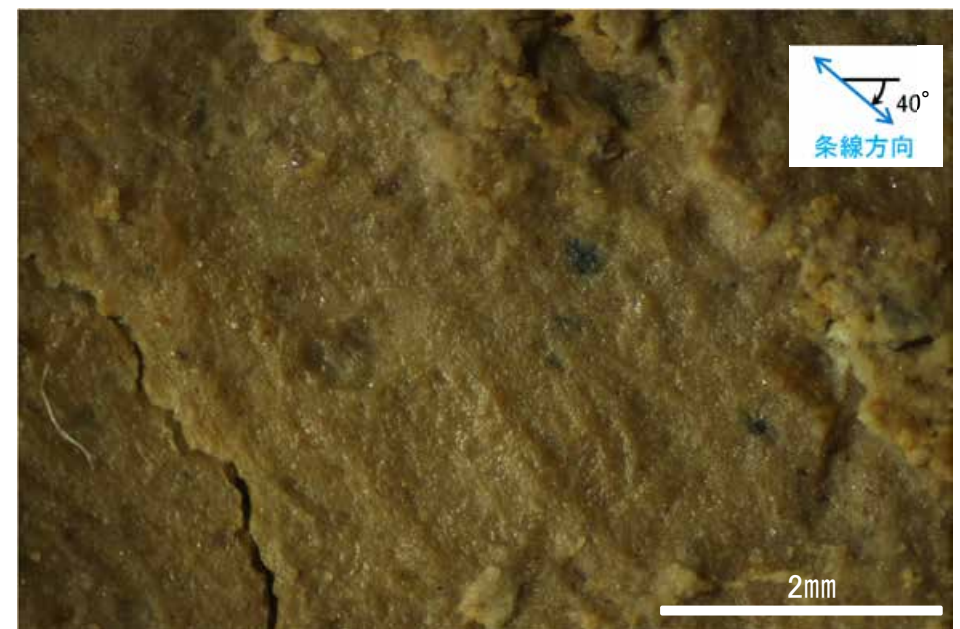
概念図 ※走向は真北で示す。



観察面写真



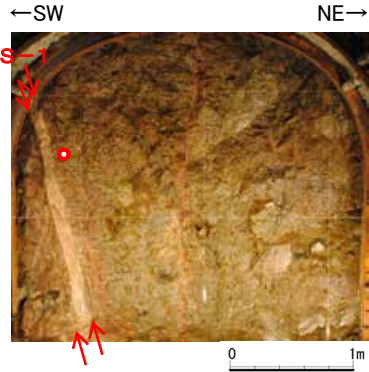
観察面拡大写真



詳細観察写真

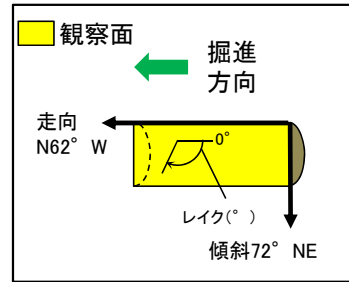
・条線のレイクは40° R, 変位センスは不明

条線観察結果(岩盤調査坑 水平ボーリングNo.22-1(上盤側))

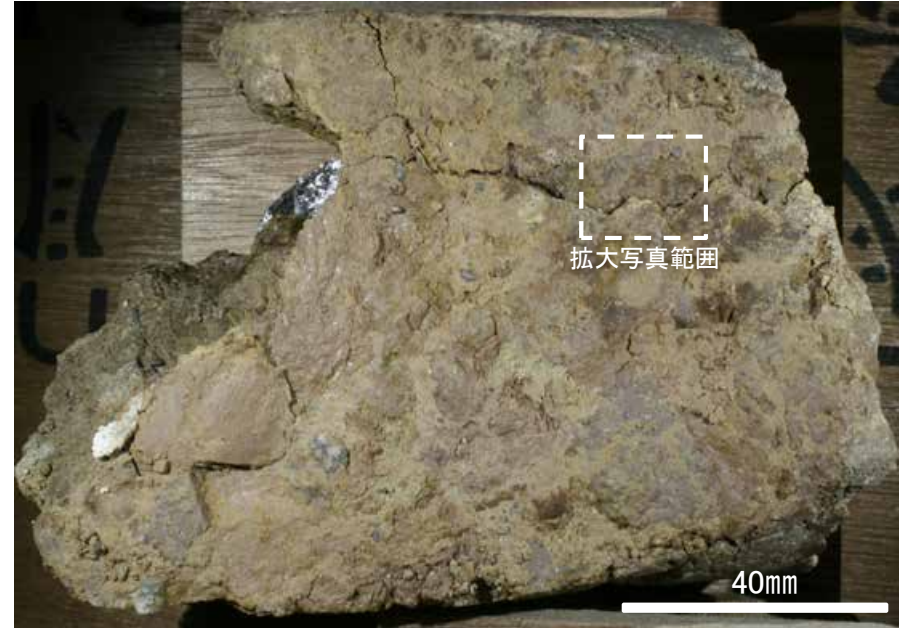


試料採取位置(No.22切羽)

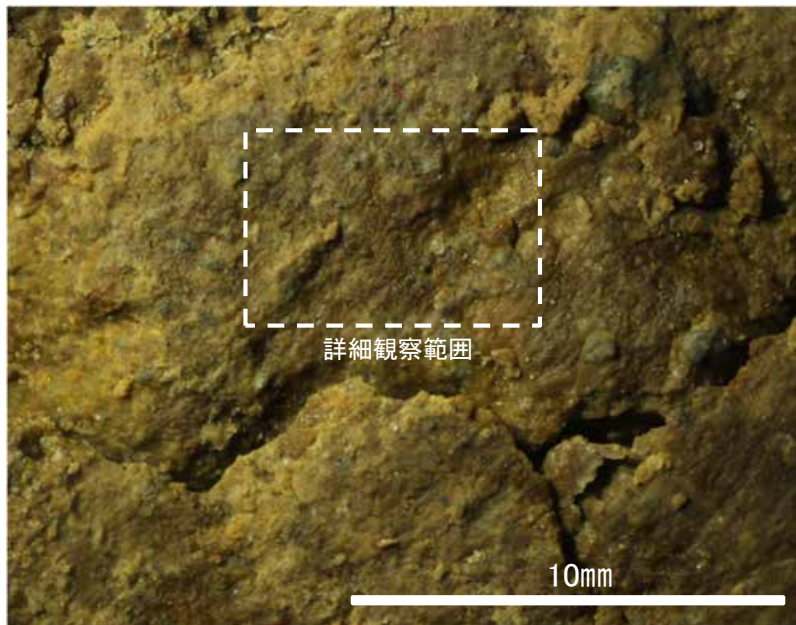
○ ボーリング箇所(No.22-1)



概念図 ※走向は真北で示す。



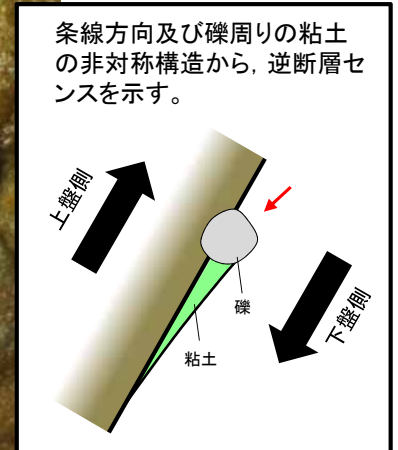
観察面写真



観察面拡大写真

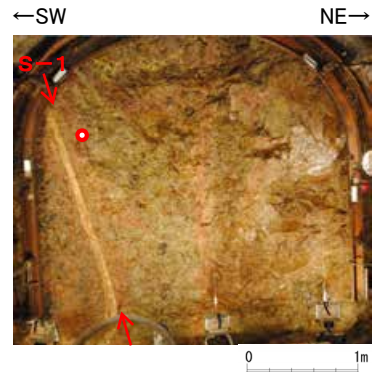


詳細観察写真



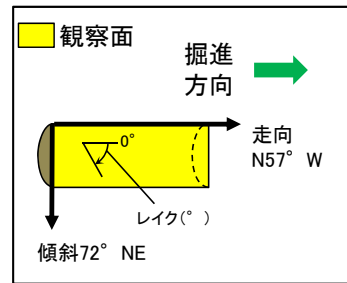
・条線のレイクは50° R(下盤側換算), 変位センスは右横ずれ逆断層センス

条線観察結果(岩盤調査坑 水平ボーリングNo.23-1(下盤側))

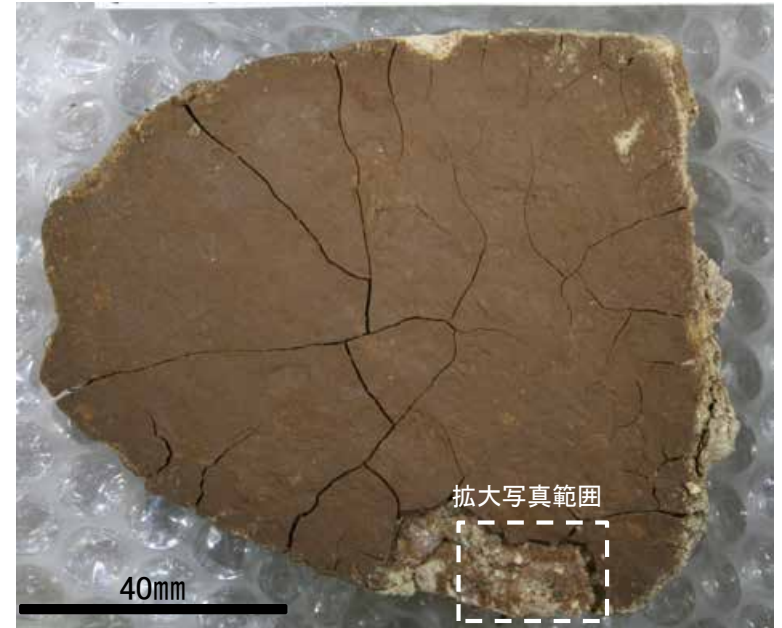


試料採取位置(No.23切羽)

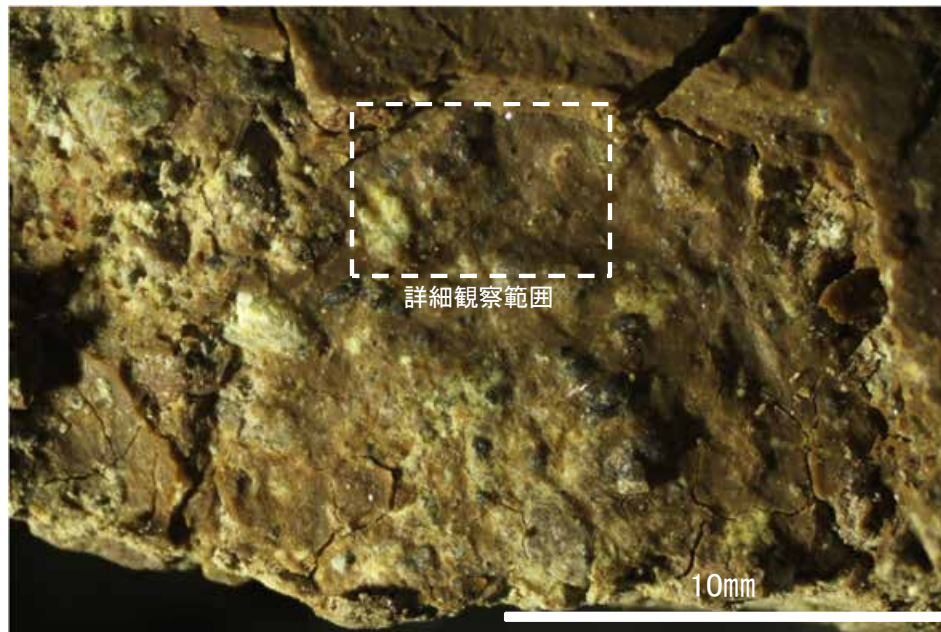
● ボーリング箇所(No.23-1)



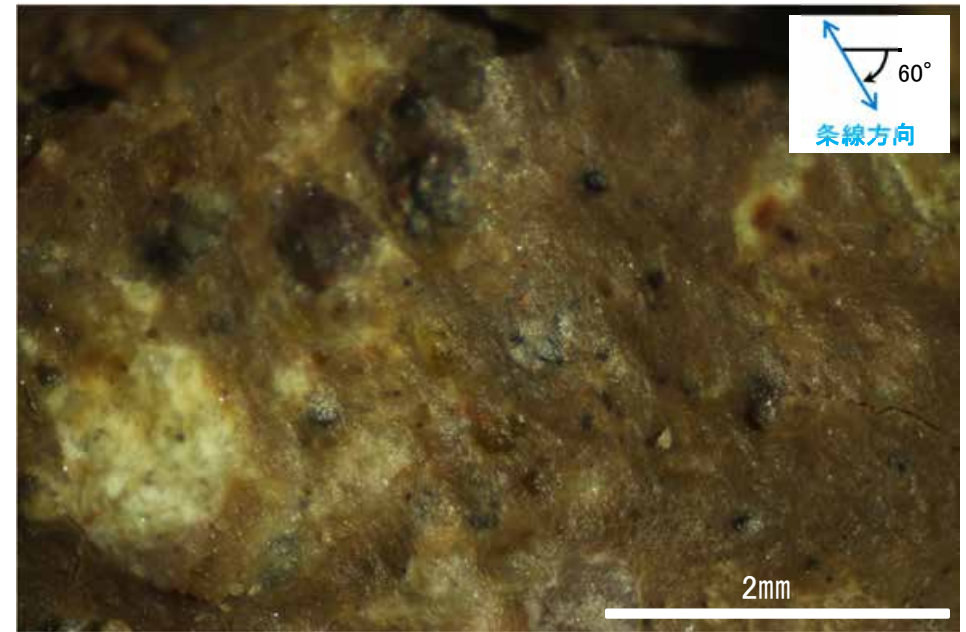
概念図 ※走向は真北で示す。



観察面写真



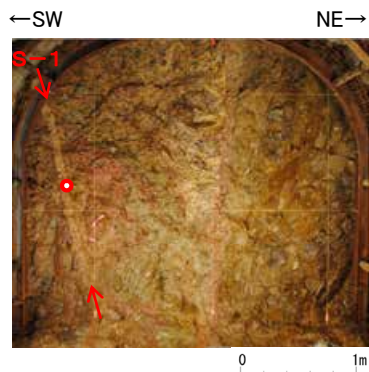
観察面拡大写真



詳細観察写真

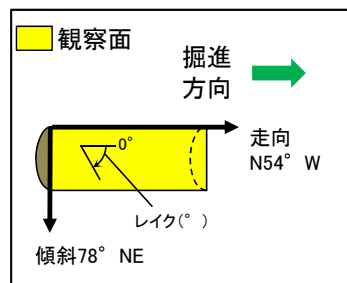
・条線のレイクは60° R, 変位センスは不明

条線観察結果(岩盤調査坑 水平ボーリングNo.25-1(下盤側)①)

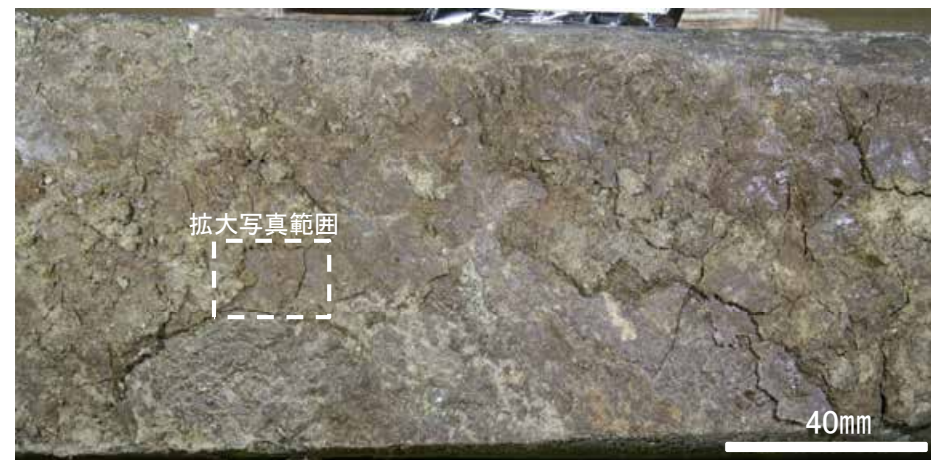


試料採取位置(No.25切羽)

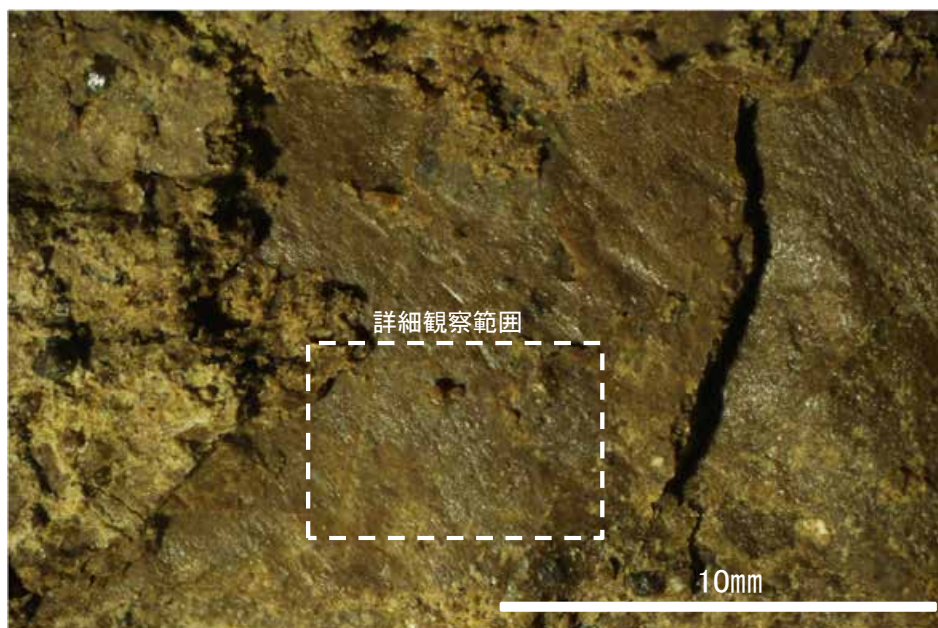
● ボーリング箇所(No.25-1)



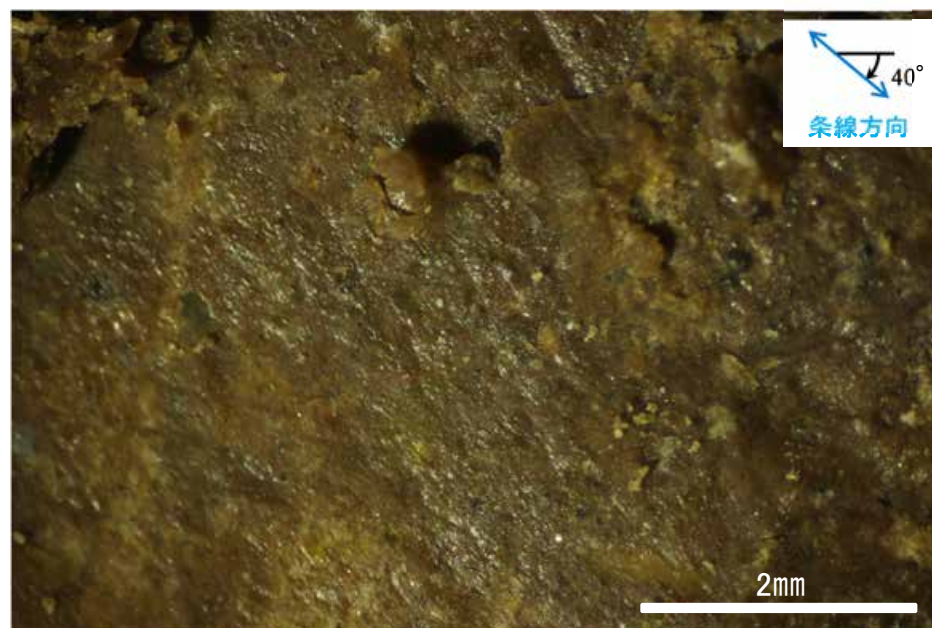
概念図 ※走向は真北で示す。



観察面写真



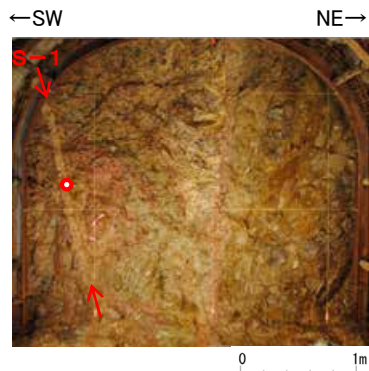
観察面拡大写真



詳細観察写真

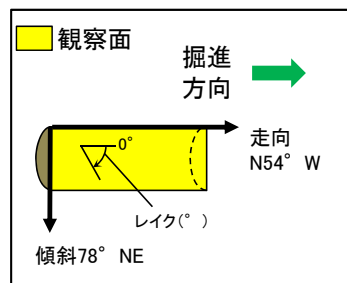
・条線のレイクは40° R, 変位センスは不明

条線観察結果(岩盤調査坑 水平ボーリングNo.25-1(下盤側)②)

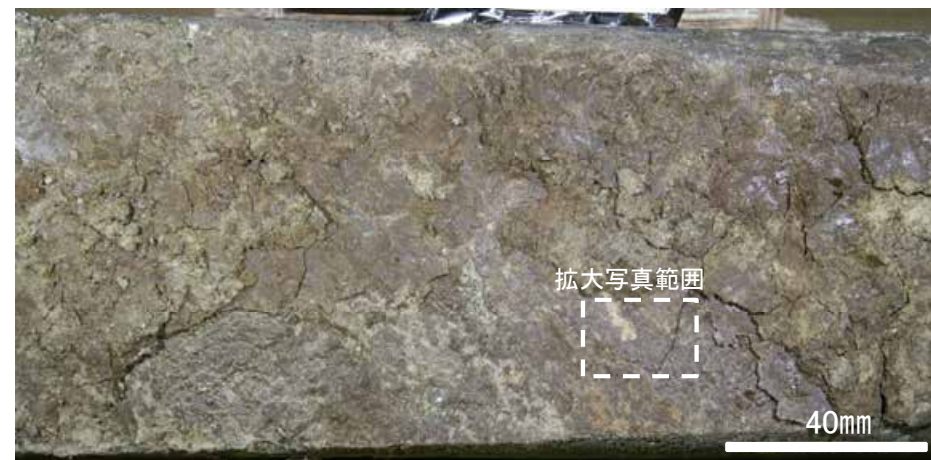


試料採取位置(No.25切羽)

○ ボーリング箇所(No.25-1)



概念図 ※走向は真北で示す。



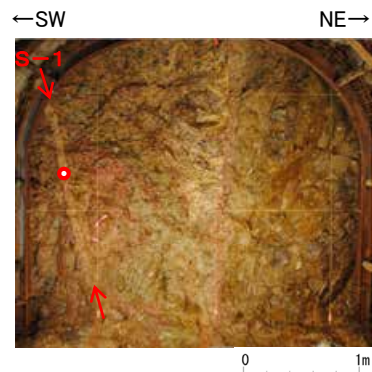
観察面写真



観察面拡大写真

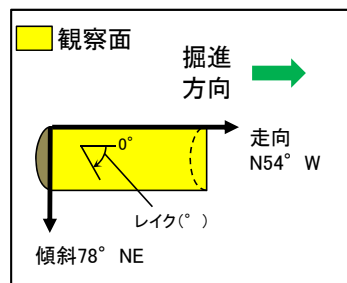
・条線のレイクは60° R, 変位センスは不明

条線観察結果(岩盤調査坑 水平ボーリングNo.25-2(下盤側)①)



試料採取位置(No.25切羽)

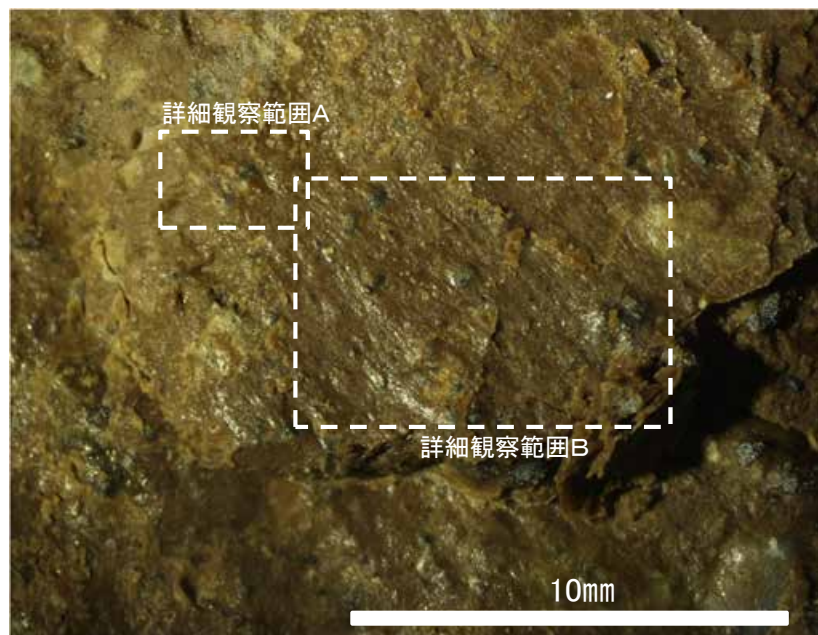
○ ボーリング箇所(No.25-2)



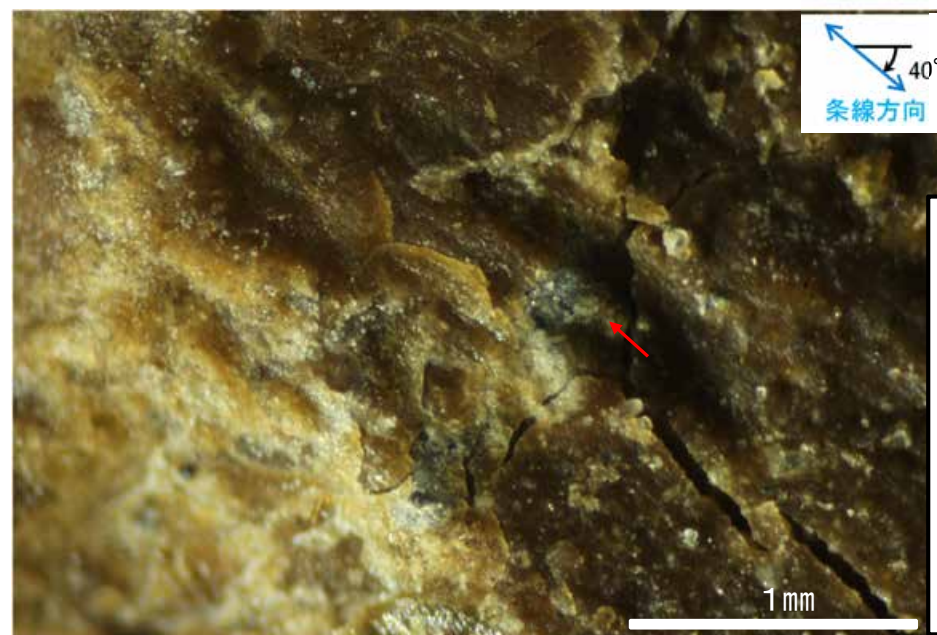
概念図 ※走向は真北で示す。



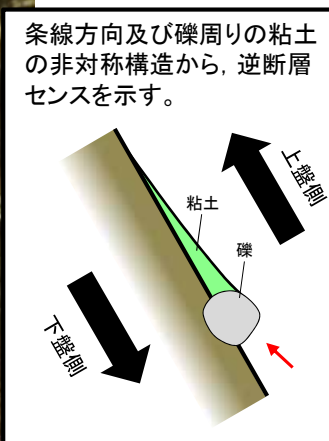
観察面写真



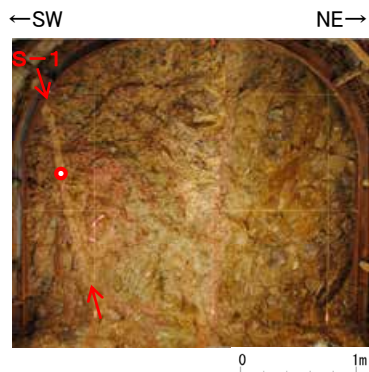
観察面拡大写真



詳細観察写真A

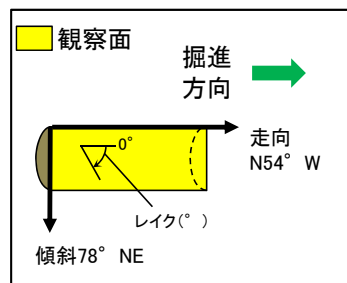


条線観察結果(岩盤調査坑 水平ボーリングNo.25-2(下盤側)②)

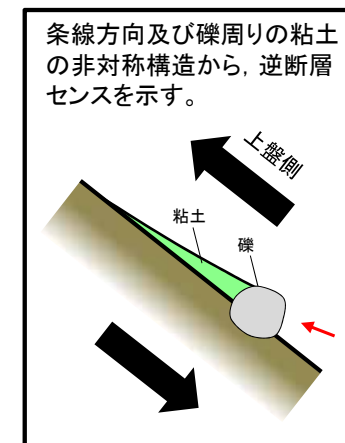


試料採取位置(No.25切羽)

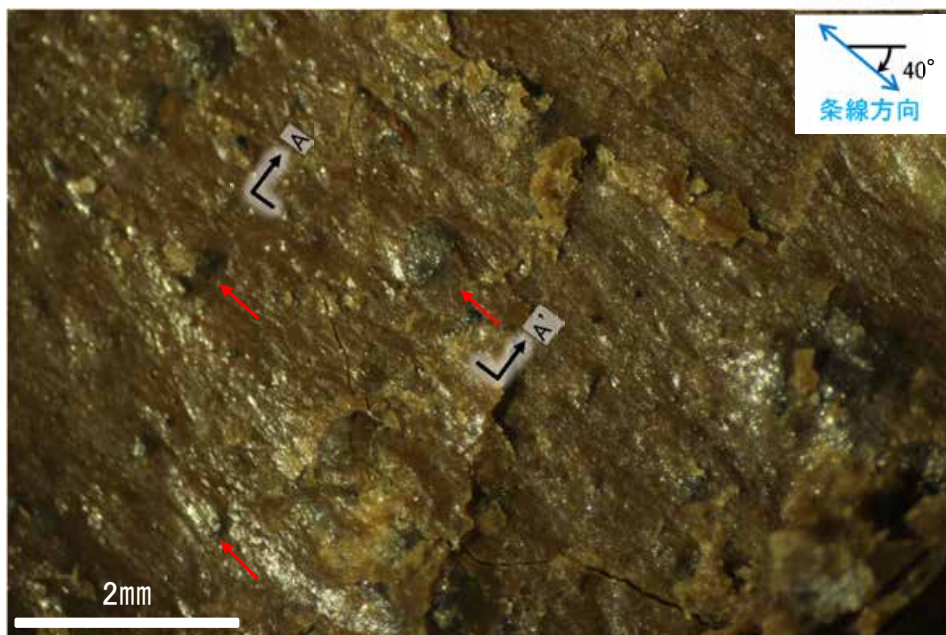
○ ボーリング箇所(No.25-2)



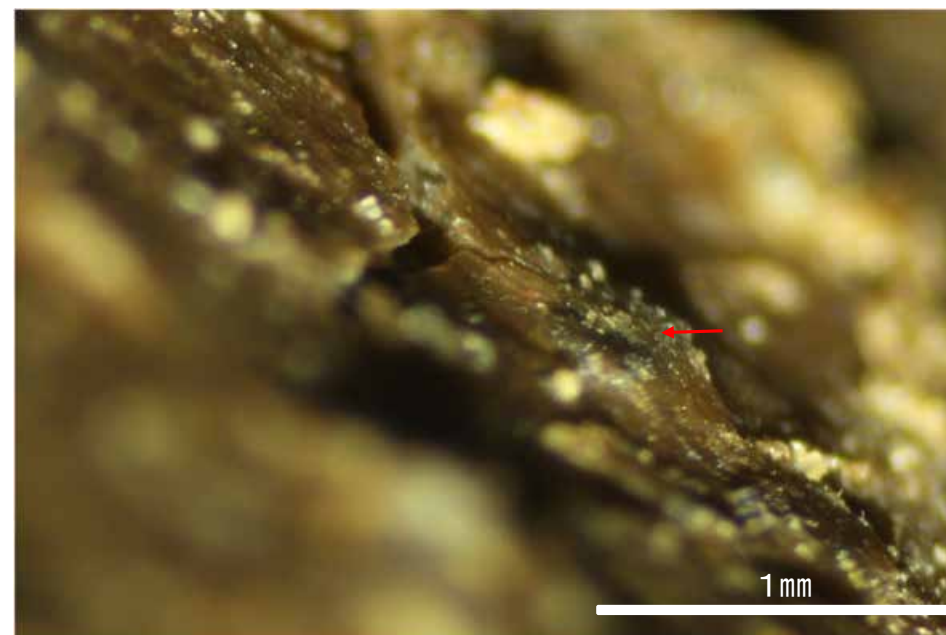
概念図



条線方向及び礫周りの粘土の非対称構造から、逆断層センスを示す。



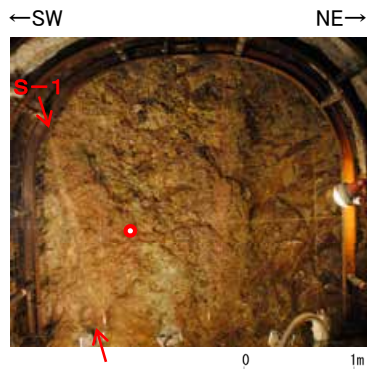
詳細観察写真B



詳細観察写真(A-A'断面)

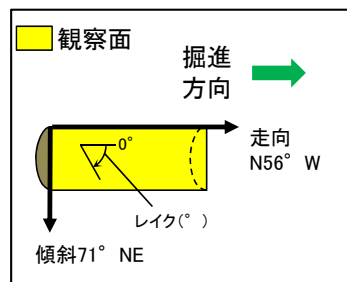
・条線のレイクは40° R, 変位センスは右横ずれ逆断層センス

条線観察結果(岩盤調査坑 水平ボーリングNo.26-1(下盤側)①)

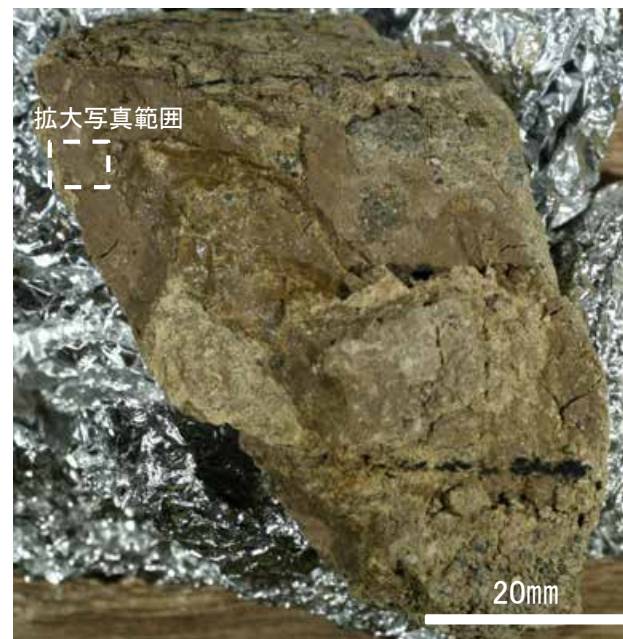


試料採取位置(No.26切羽)

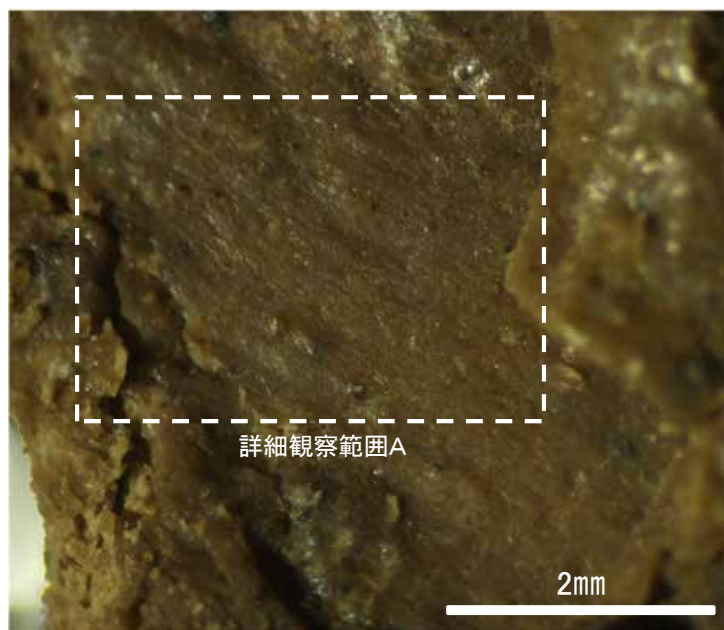
○ ボーリング箇所(No.26-1)



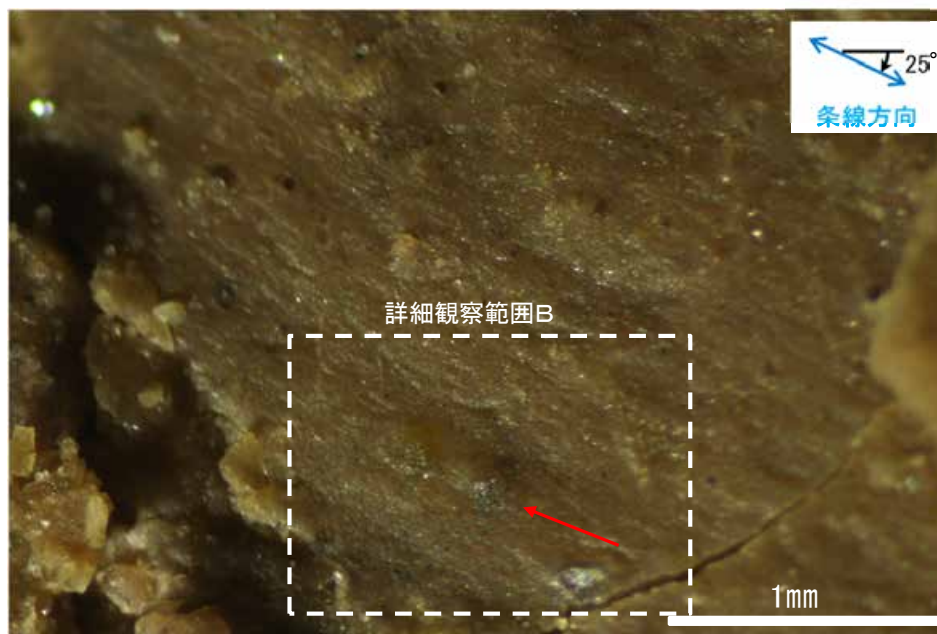
概念図



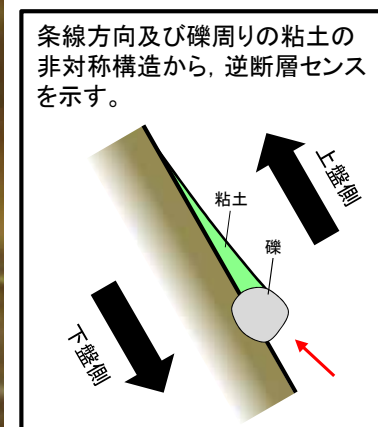
観察面写真



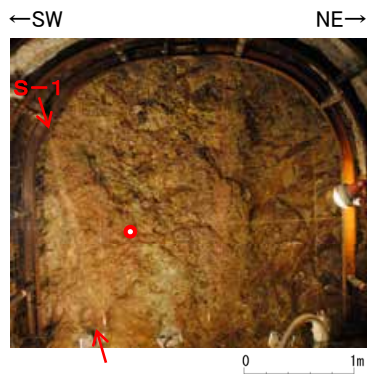
観察面拡大写真



詳細観察写真A

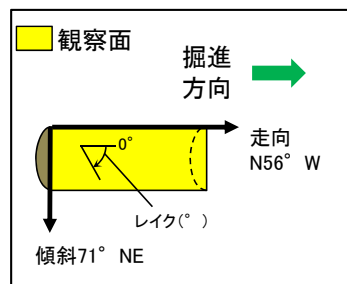


条線観察結果(岩盤調査坑 水平ボーリングNo.26-1(下盤側)②)

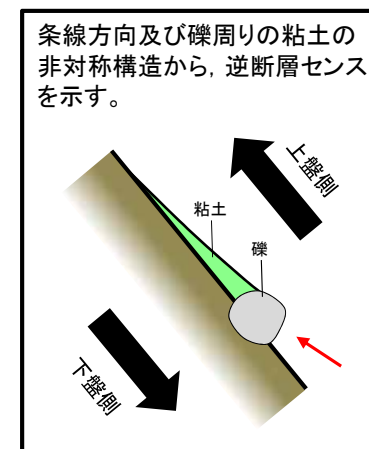


試料採取位置(No.26切羽)

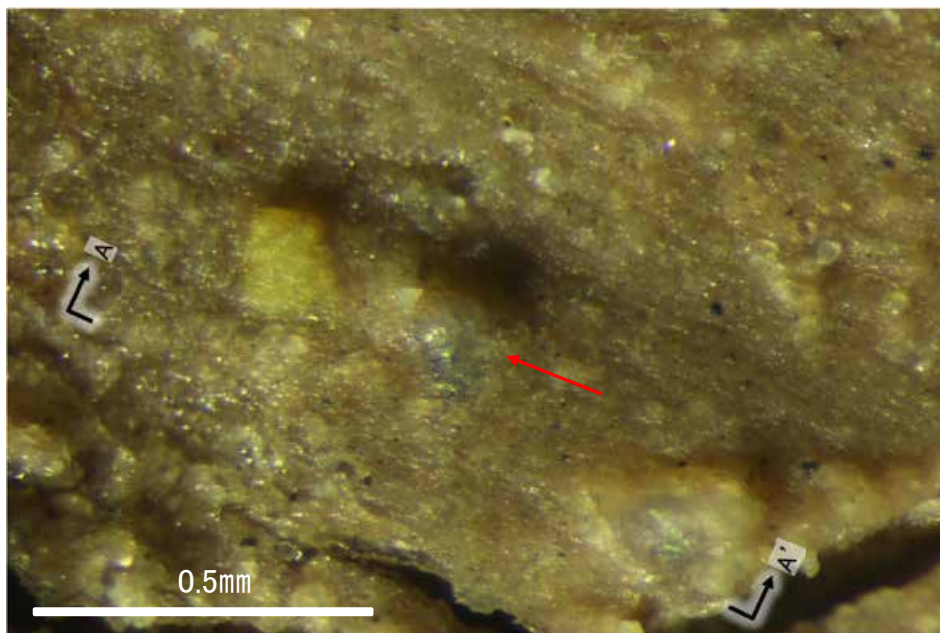
○ ボーリング箇所(No.26-1)



概念図 ※走向は真北で示す。



条線方向及び礫周りの粘土の非対称構造から、逆断層センスを示す。



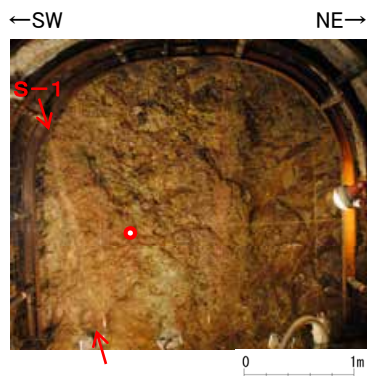
詳細観察写真B



詳細観察写真(A-A'断面)

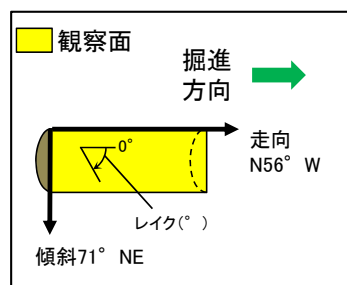
・条線のレイクは25° R, 変位センスは右横ずれ逆断層センス

条線観察結果(岩盤調査坑 水平ボーリングNo.26-1(下盤側)③)

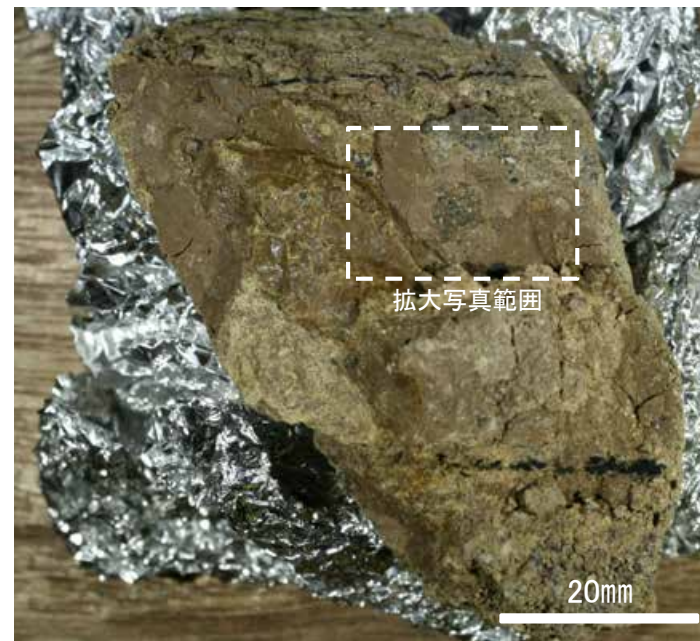


試料採取位置(No.26切羽)

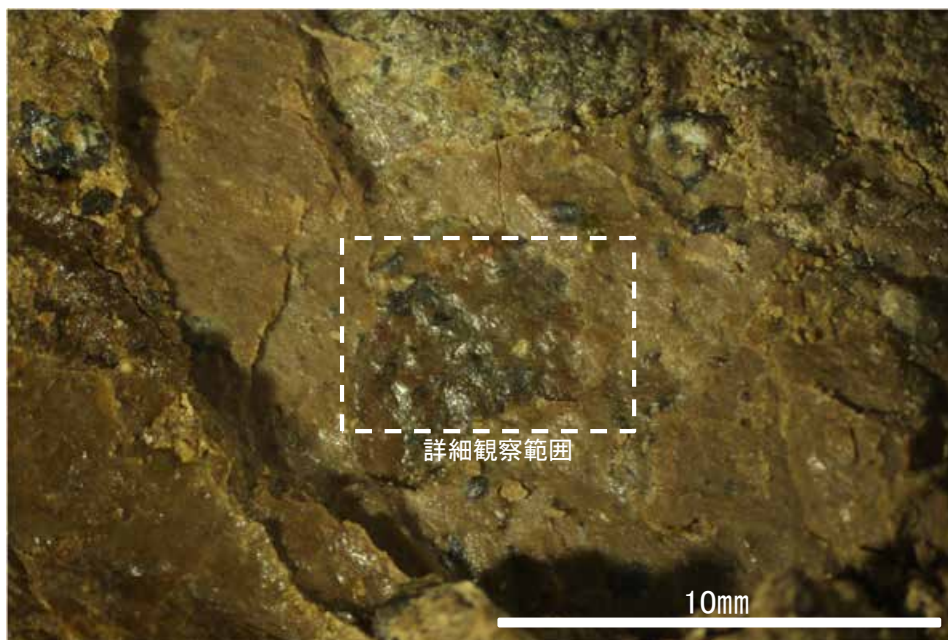
○ ボーリング箇所(No.26-1)



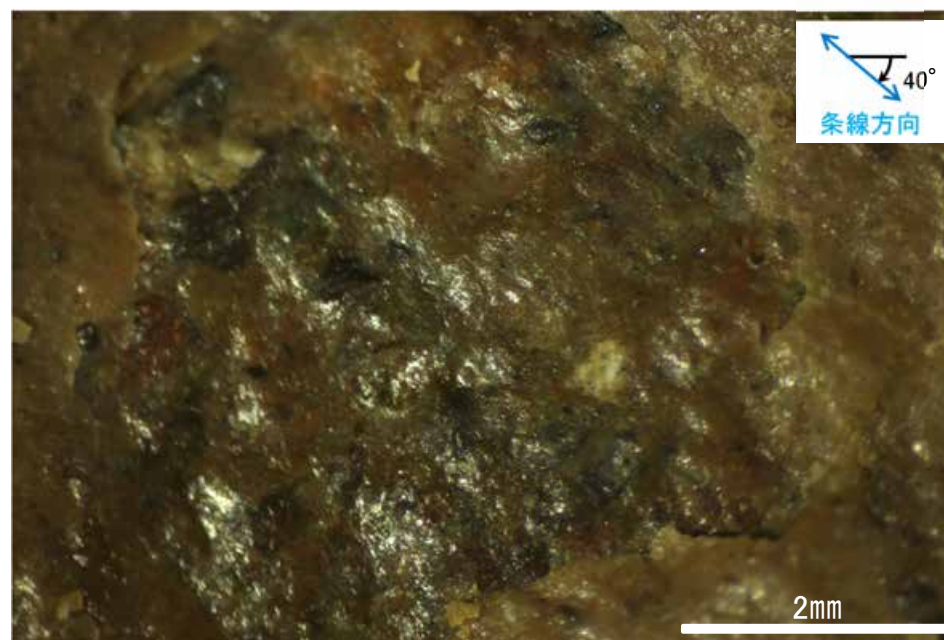
概念図 ※走向は真北で示す。



観察面写真



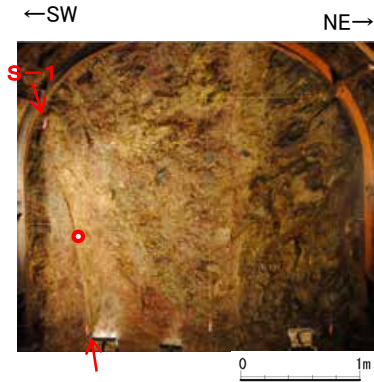
観察面拡大写真



詳細観察写真

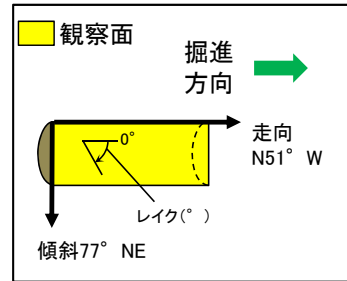
・条線のレイクは40° R, 変位センスは不明

条線観察結果(岩盤調査坑 水平ボーリングNo.27-1(下盤側)①)

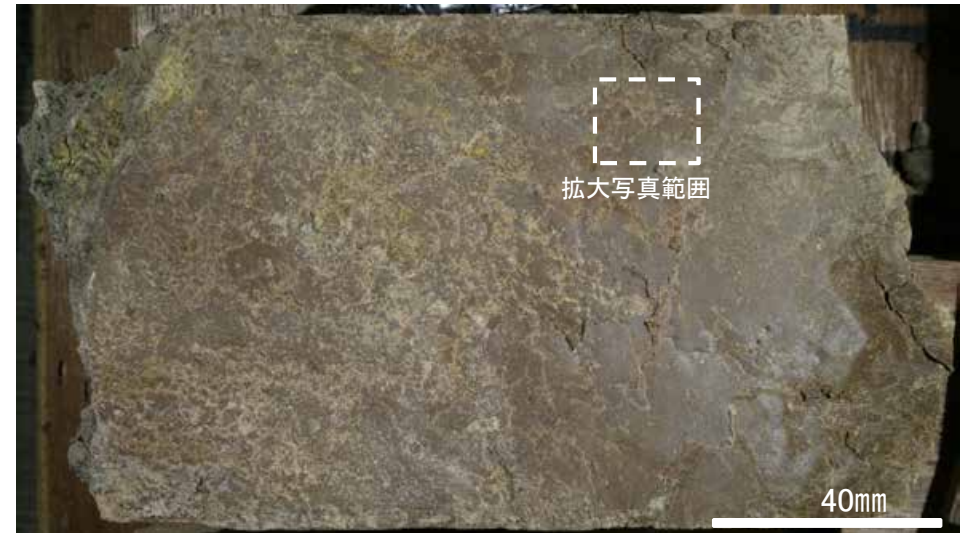


試料採取位置(No.27切羽)

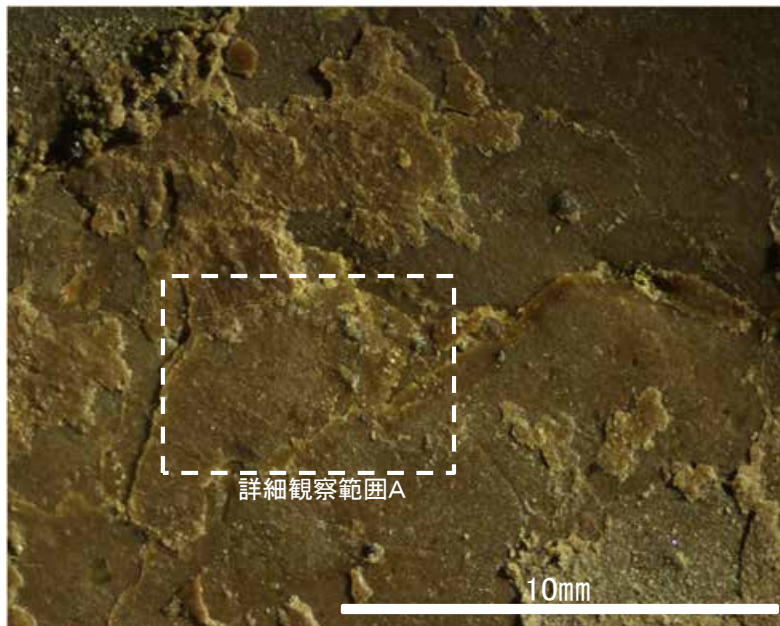
○ ボーリング箇所(No.27-1)



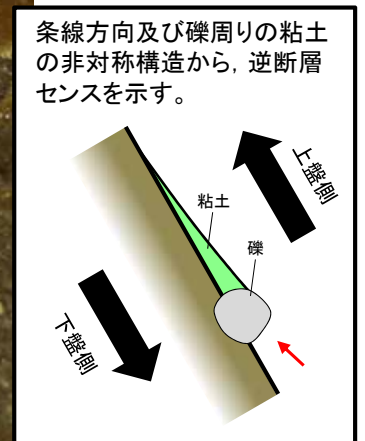
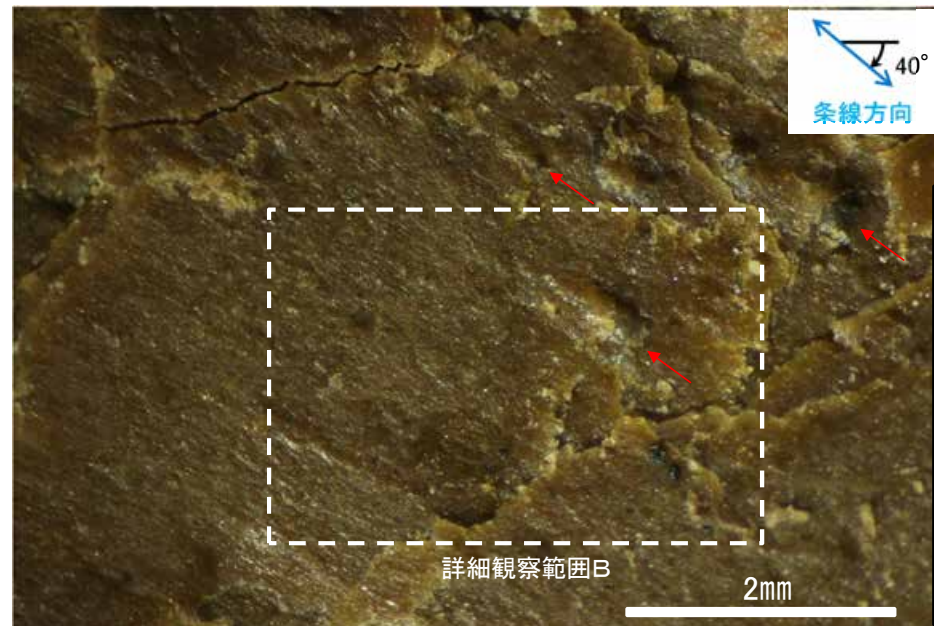
概念図 ※走向は真北で示す。



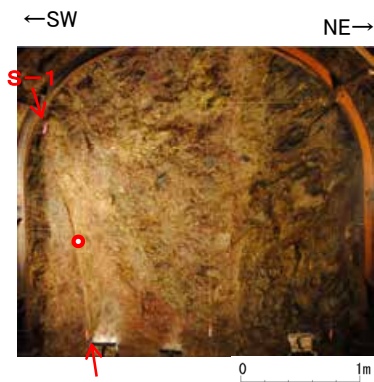
観察面写真



観察面拡大写真

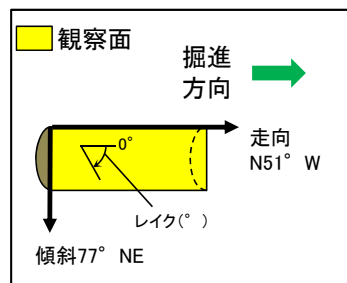


条線観察結果(岩盤調査坑 水平ボーリングNo.27-1(下盤側)②)

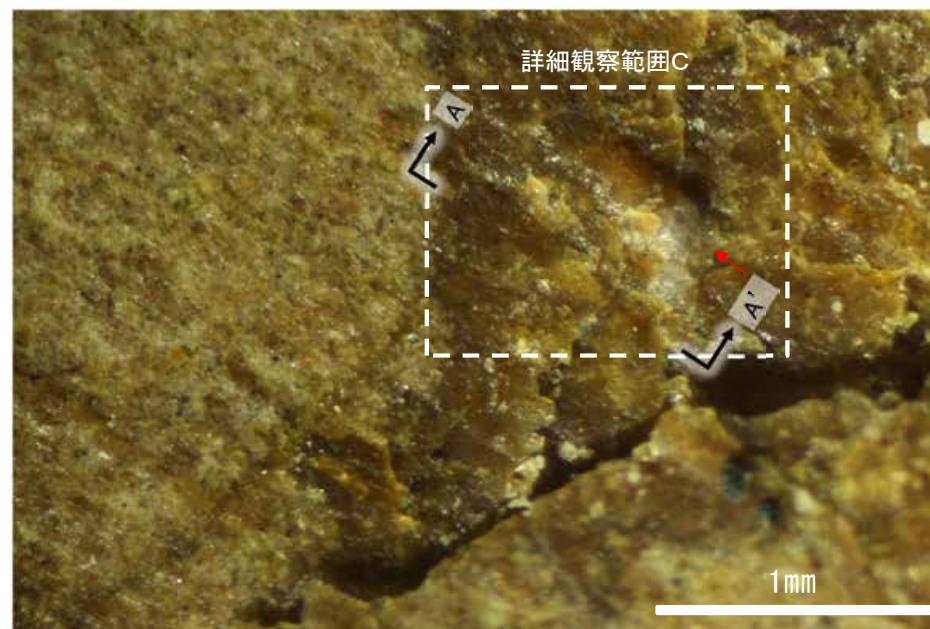


試料採取位置(No.27切羽)

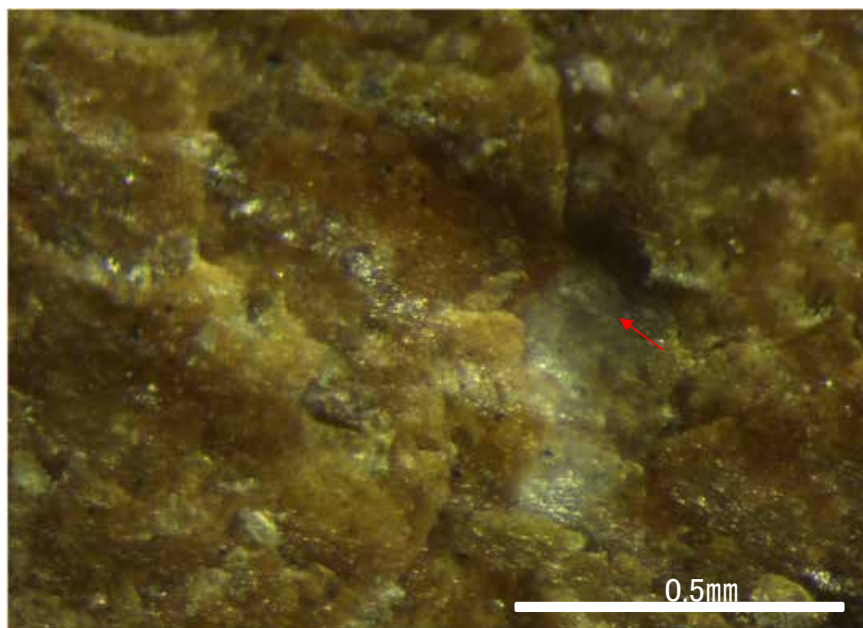
○ ボーリング箇所(No.27-1)



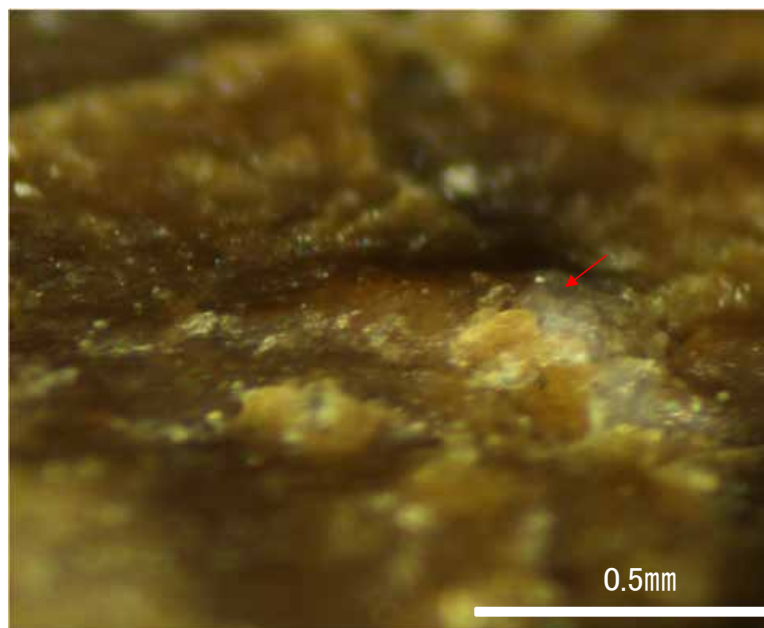
概念図 ※走向は真北で示す。



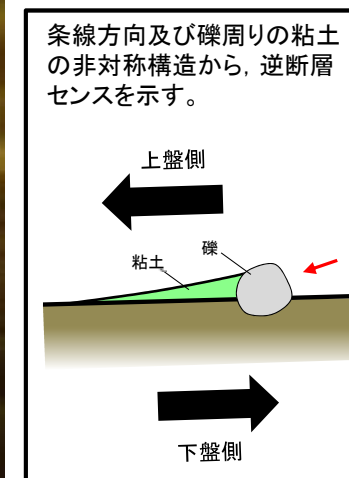
詳細観察写真B



詳細観察写真C



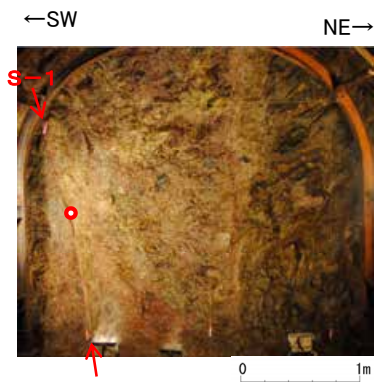
詳細観察写真(A-A'断面)



条線方向及び礫周りの粘土の非対称構造から、逆断層センスを示す。

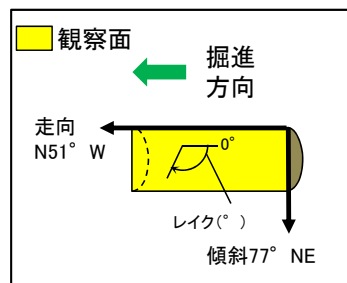
・条線のレイクは40° R, 変位センスは右横ずれ逆断層センス

条線観察結果(岩盤調査坑 水平ボーリングNo.27-2(上盤側)①)

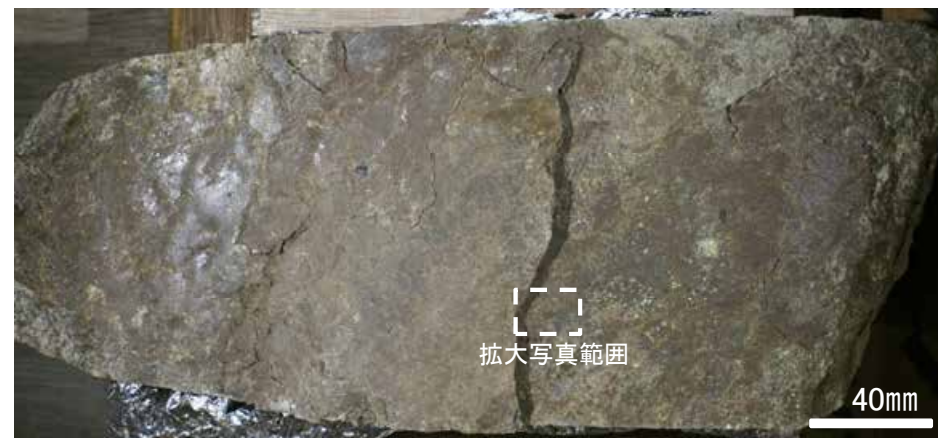


試料採取位置(No.27切羽)

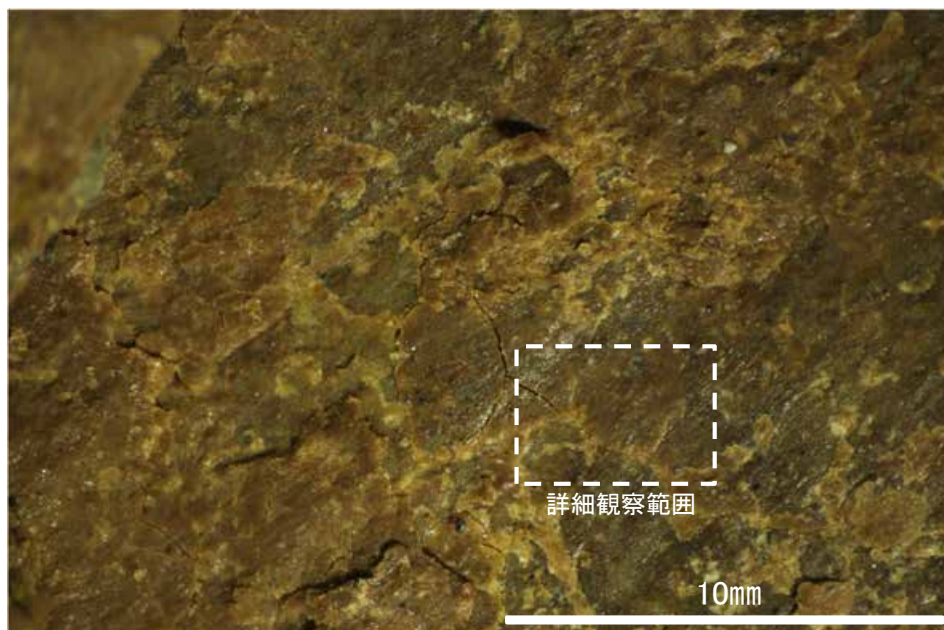
○ ボーリング箇所(No.27-2)



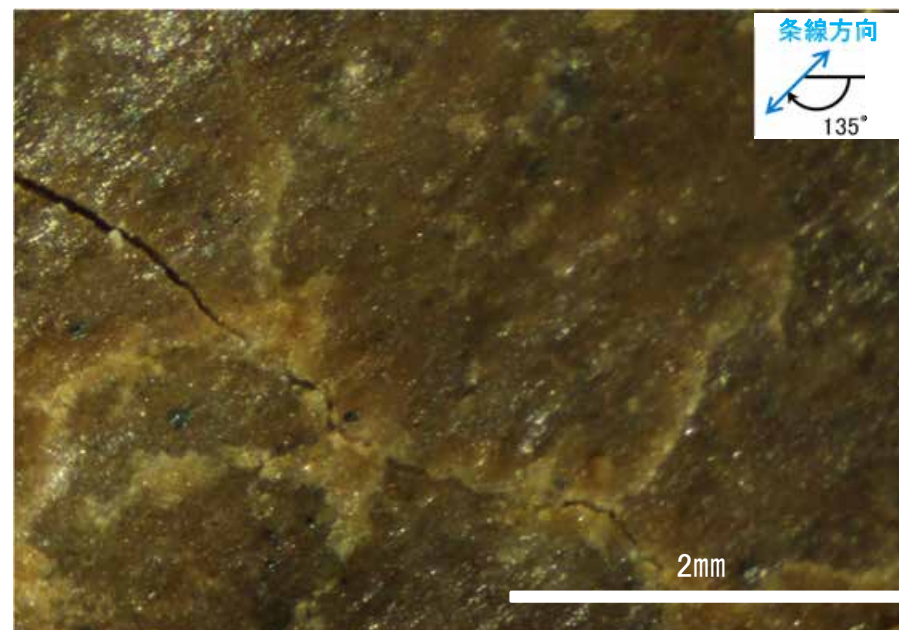
概念図 ※走向は真北で示す。



観察面写真



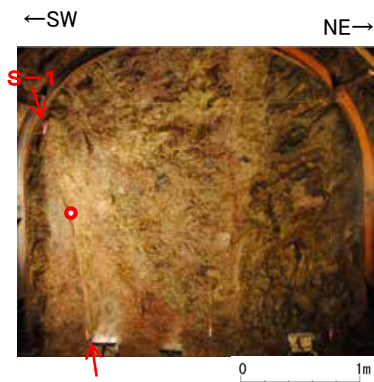
観察面拡大写真



詳細観察写真

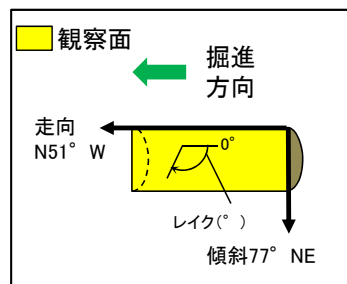
・条線のレイクは45° R(下盤側換算), 変位センスは不明

条線観察結果(岩盤調査坑 水平ボーリングNo.27-2(上盤側)②)



試料採取位置(No.27切羽)

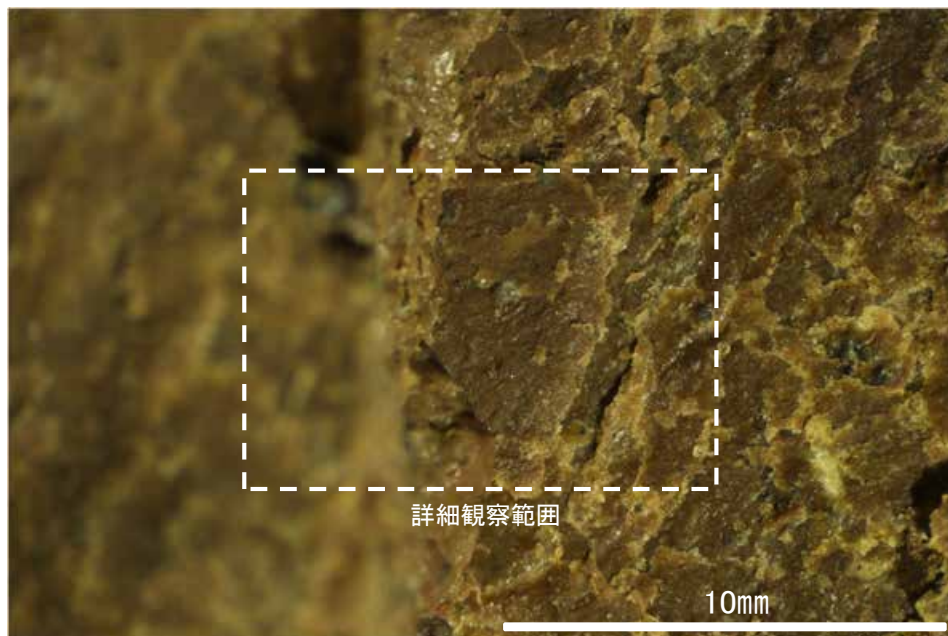
○ ボーリング箇所(No.27-2)



概念図 ※走向は真北で示す。



観察面写真



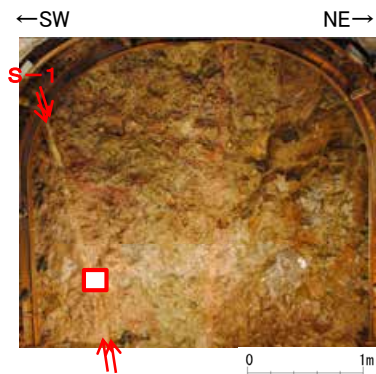
観察面拡大写真



詳細観察写真

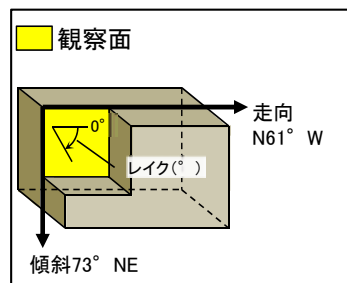
・条線のレイクは 30° R(下盤側換算), 変位センスは不明

条線観察結果(岩盤調査坑 No.24-2ブロック(1)(下盤側)①)



試料採取位置(No.24切羽)

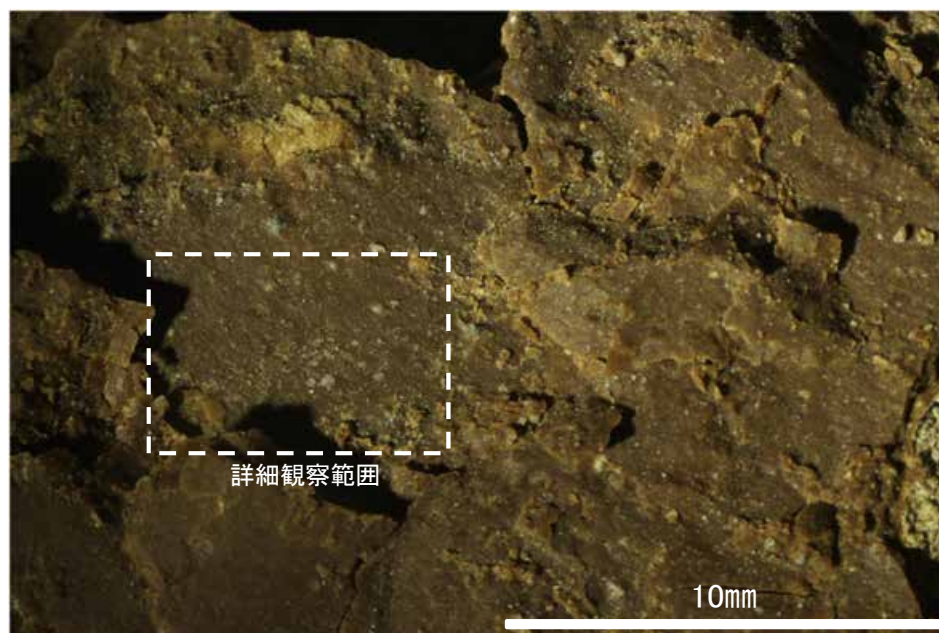
□ 試料採取箇所
(No.24-2ブロック)



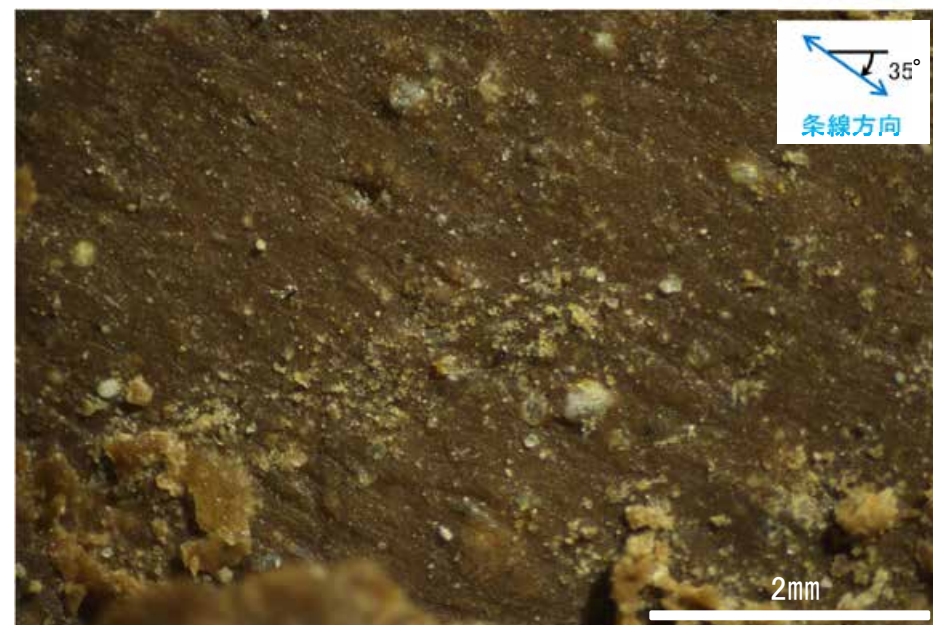
概念図 ※走向は真北で示す。
※走向は真北で示す。



観察面写真



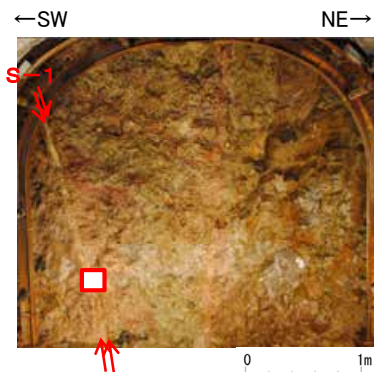
観察面拡大写真



詳細観察写真

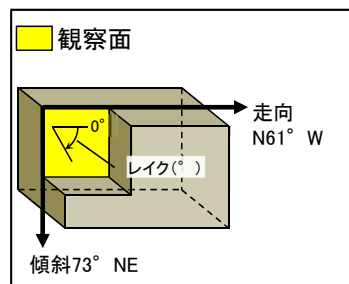
・条線のレイクは35° R, 変位センスは不明

条線観察結果(岩盤調査坑 No.24-2ブロック(1)(下盤側)②)



試料採取位置(No.24切羽)

□ 試料採取箇所
(No.24-2ブロック)



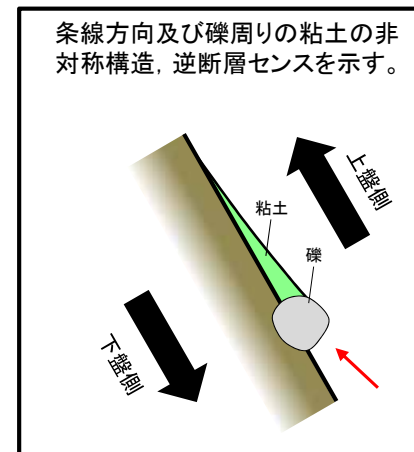
概念図 ※走向は真北で示す。
※走向は真北で示す。



観察面写真



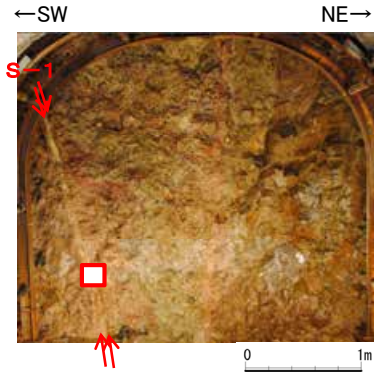
観察面拡大写真



条線方向及び礫周りの粘土の非対称構造、逆断層センスを示す。

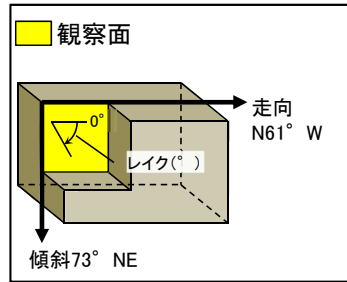
・条線のレイクは45° R, 変位センスは右横ずれ逆断層センス

条線観察結果(岩盤調査坑 No.24-2ブロック(2)(下盤側))



試料採取位置(No.24切羽)

試料採取箇所
(No.24-2ブロック)



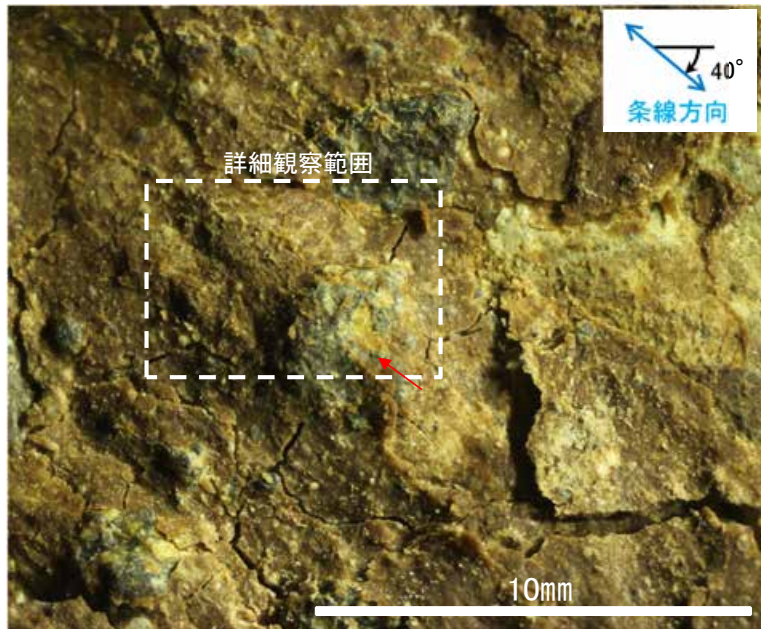
概念図

※走向は真北で示す。

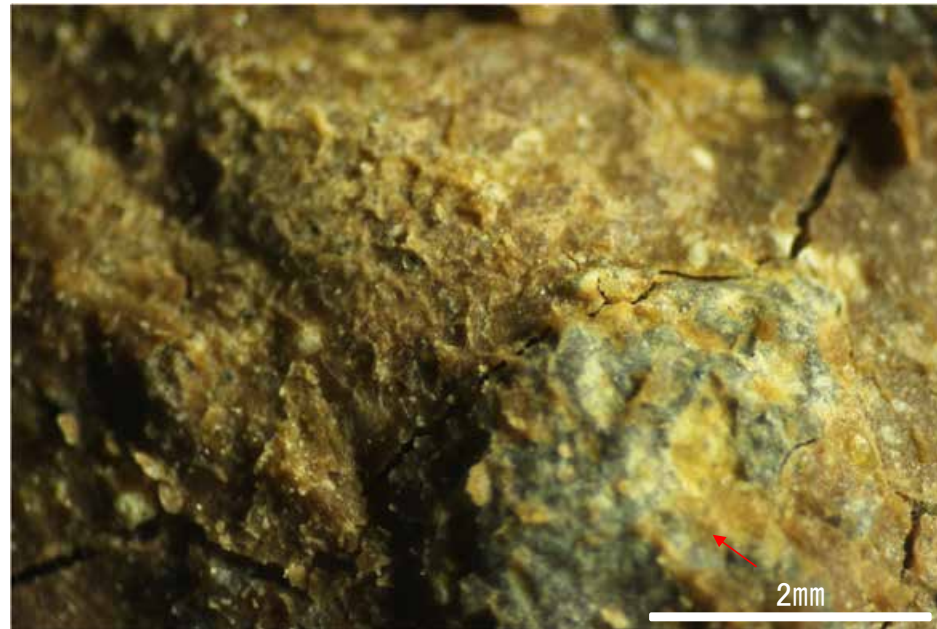
※走向は真北で示す。



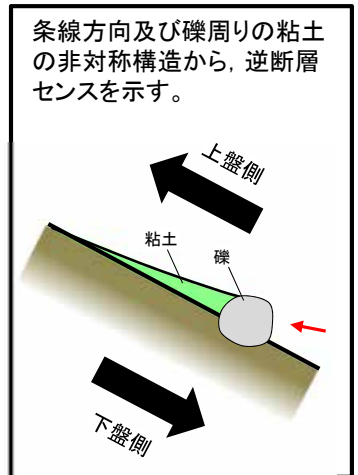
観察面写真



観察面拡大写真

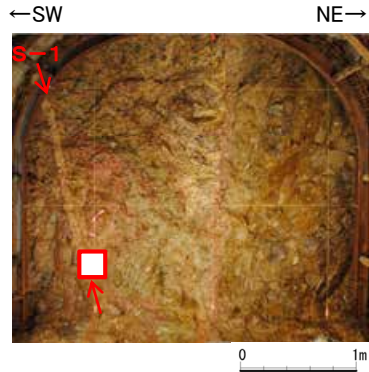


詳細観察写真



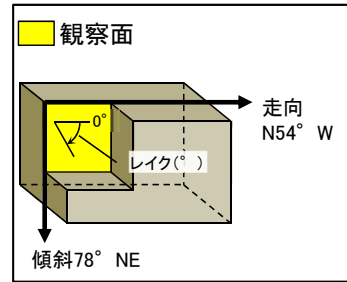
条線方向及び礫周りの粘土の非対称構造から、逆断層センスを示す。

条線観察結果(岩盤調査坑 No.25-2ブロック(1)(下盤側))

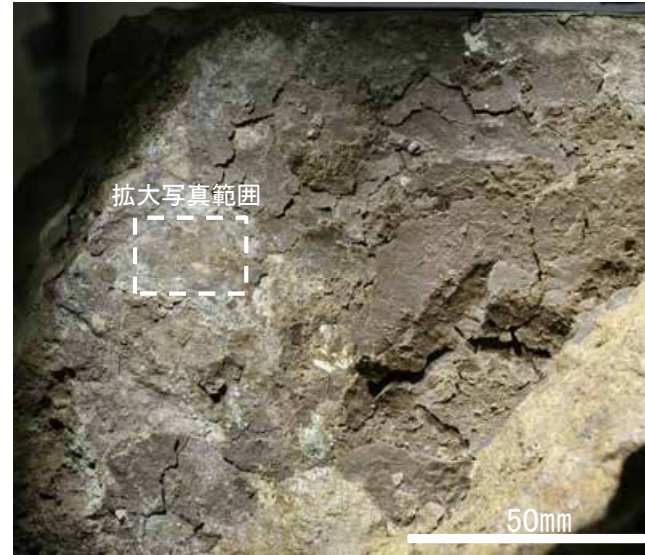


試料採取位置(No.25切羽)

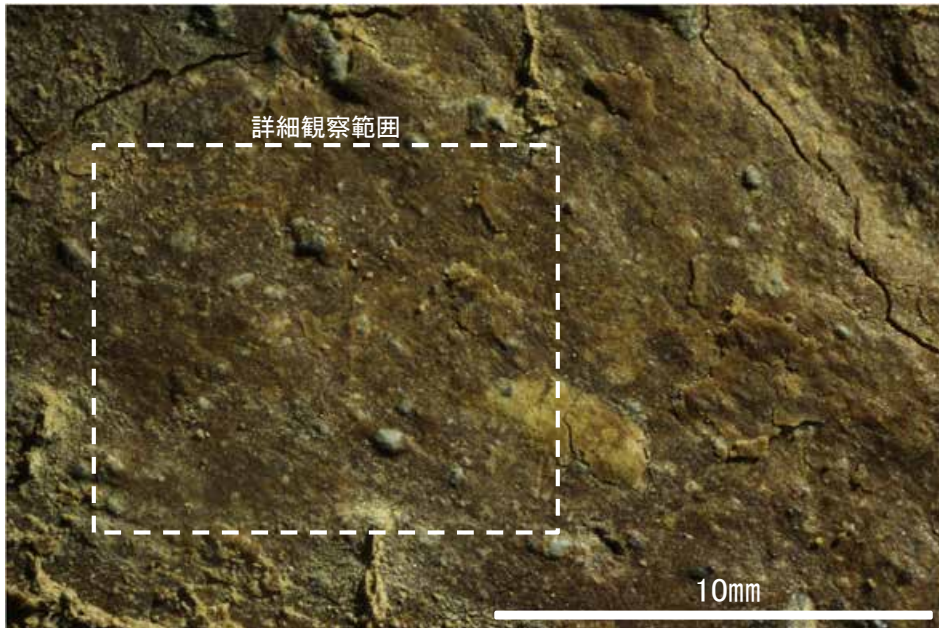
□ 試料採取箇所
(No.25-2ブロック)



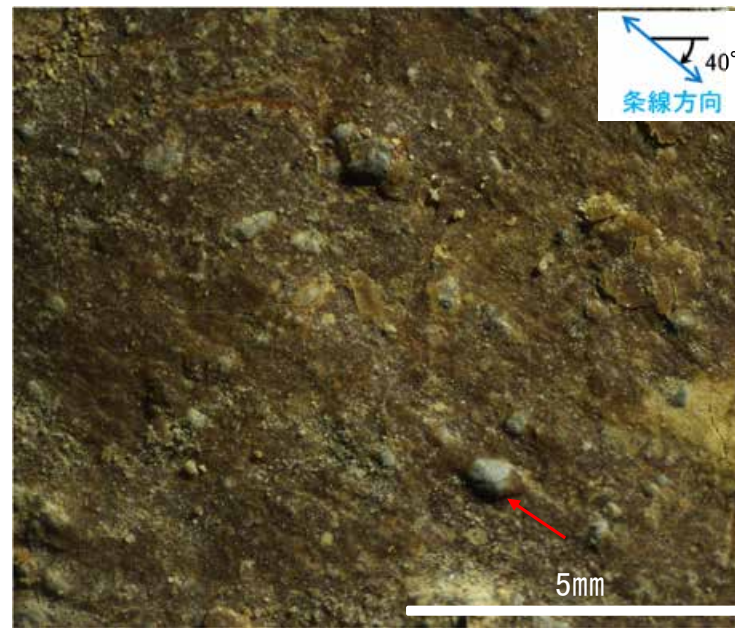
概念図 ※走向は真北で示す。
※走向は真北で示す。



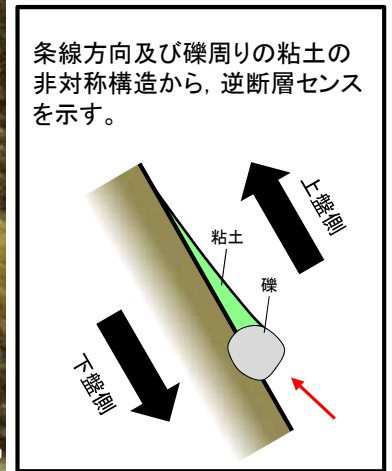
観察面写真



観察面拡大写真

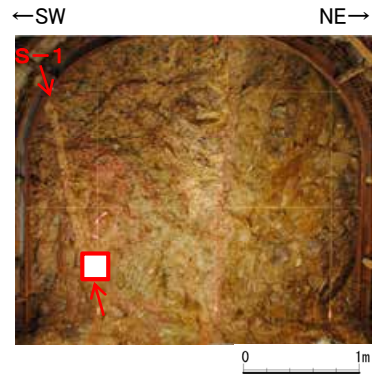


詳細観察写真



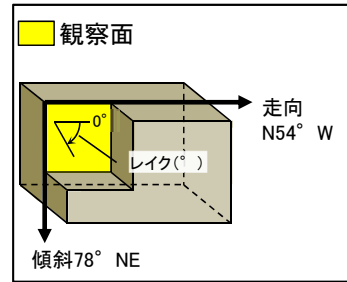
・条線のレイクは40° R, 変位センスは右横ずれ逆断層センス

条線観察結果(岩盤調査坑 No.25-2ブロック(2)(下盤側)①)



試料採取位置(No.25切羽)

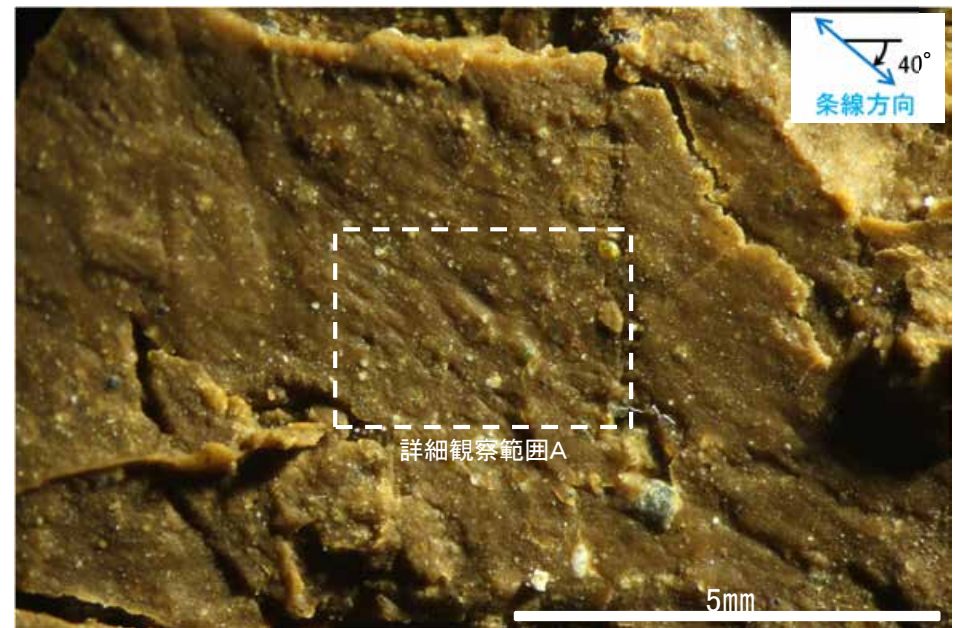
□ 試料採取箇所
(No.25-2ブロック)



概念図 ※走向は真北で示す。
※走向は真北で示す。

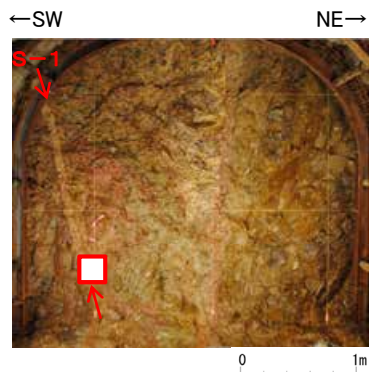


観察面写真



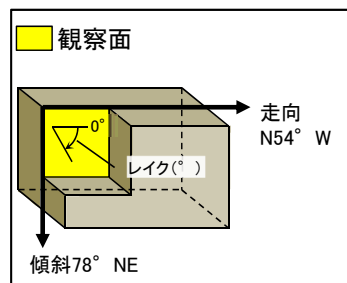
観察面拡大写真

条線観察結果(岩盤調査坑 No.25-2ブロック(2)(下盤側)②)

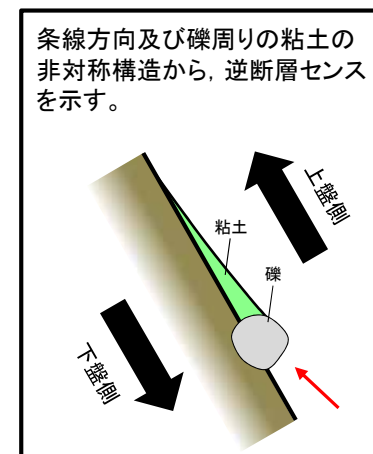


試料採取位置(No.25切羽)

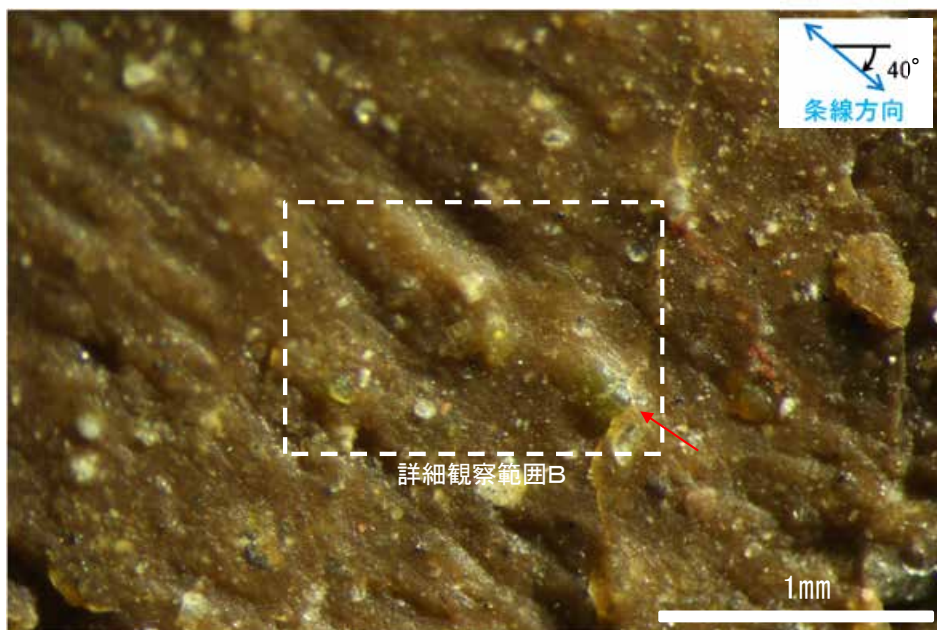
□ 試料採取箇所
(No.25-2ブロック)



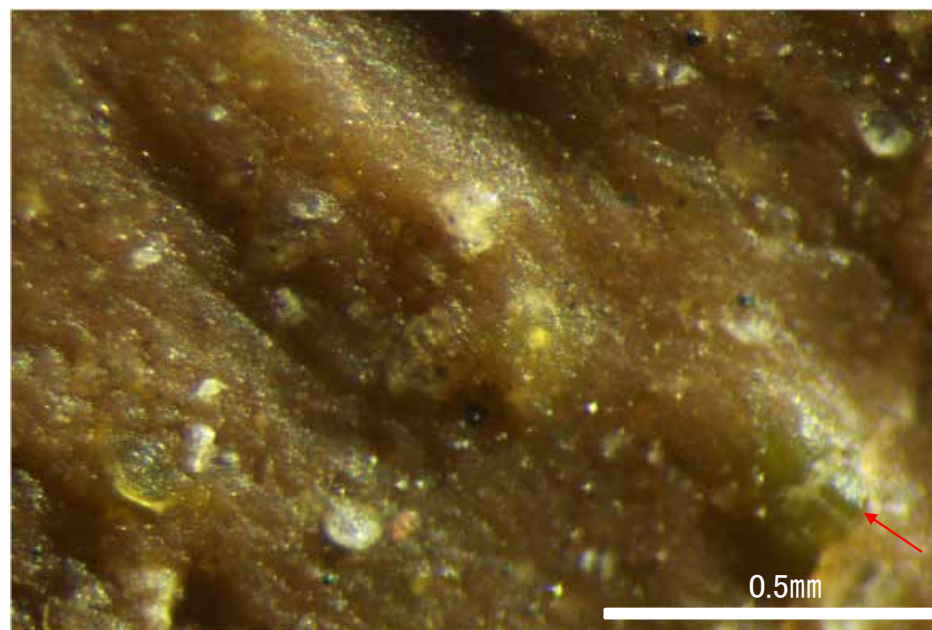
概念図 ※走向は真北で示す。
※走向は真北で示す。



条線方向及び礫周りの粘土の非対称構造から、逆断層センスを示す。



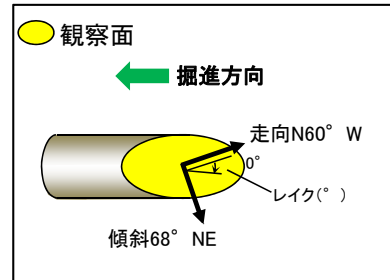
詳細観察写真A



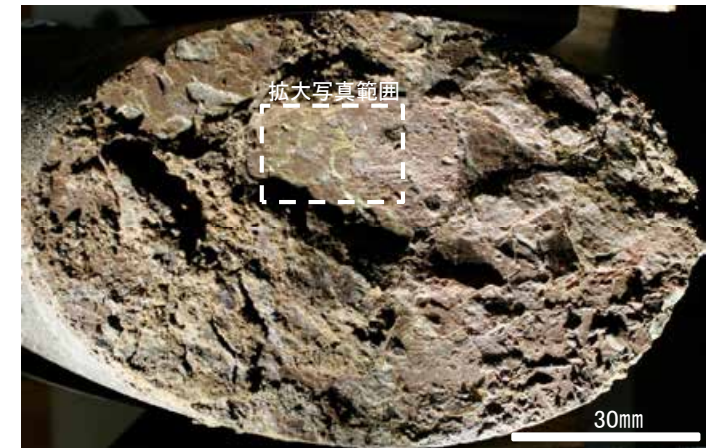
詳細観察写真B

・条線のレイクは40° R, 変位センスは右横ずれ逆断層センス

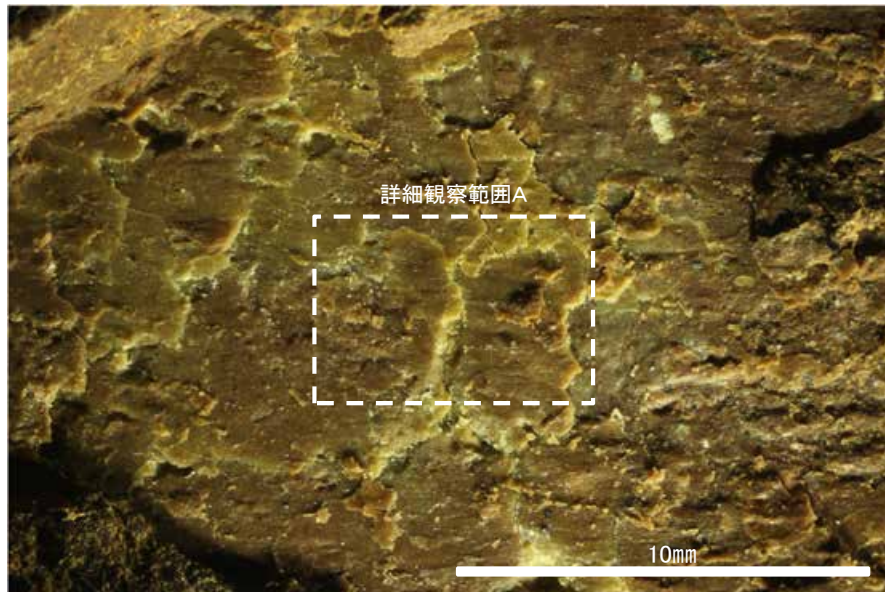
条線観察結果(岩盤調査坑 水平ボーリングT-1[深度3.34m](下盤側)①)



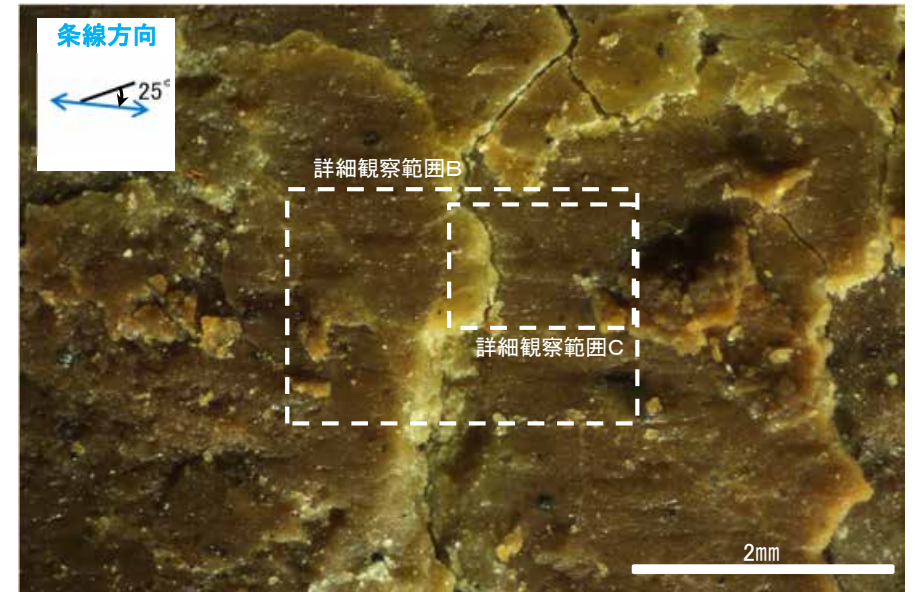
概念図
※走向は真北で示す。



観察面写真

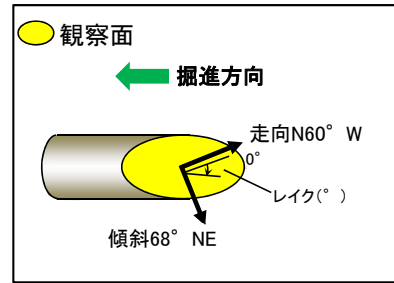


観察面拡大写真

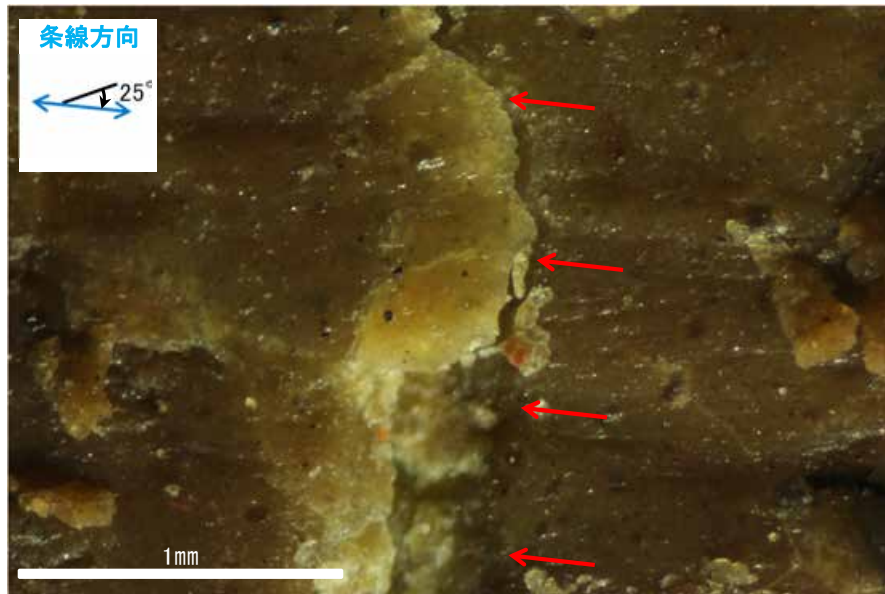
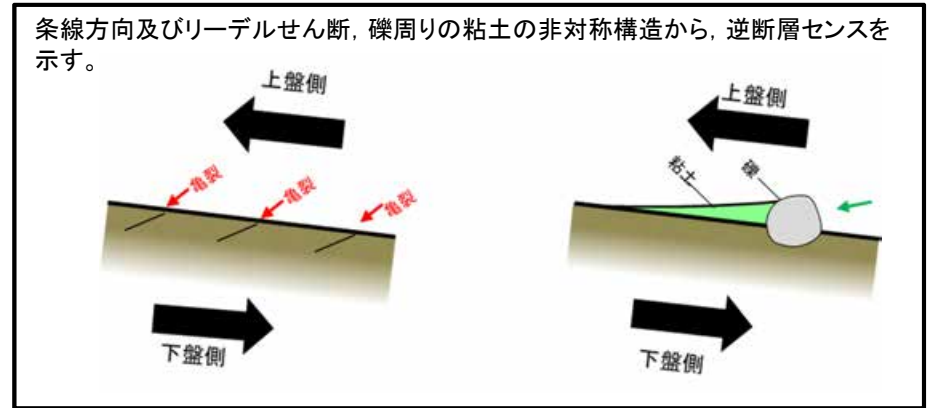


詳細観察写真A

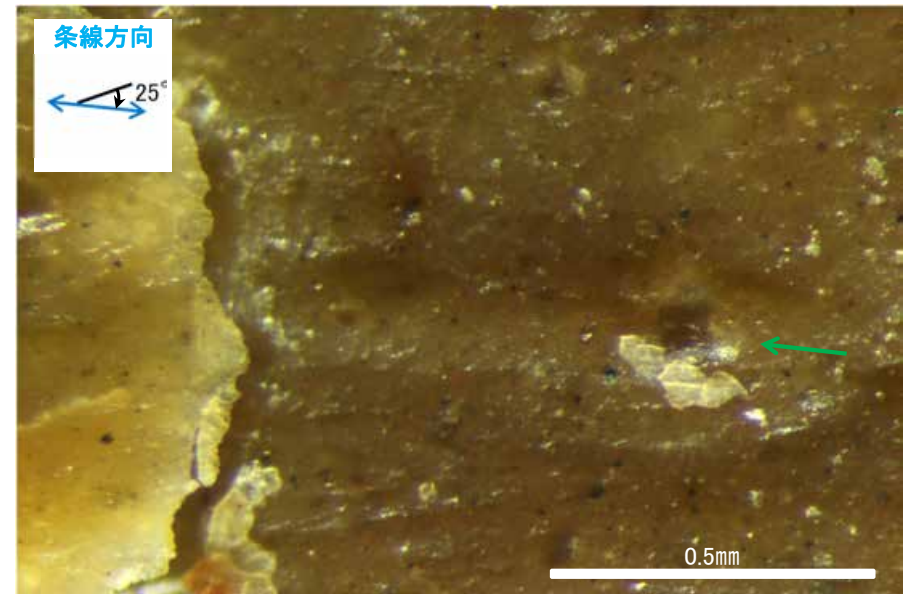
条線観察結果(岩盤調査坑 水平ボーリングT-1[深度3.34m](下盤側)②)



概念図
※走向は真北で示す。



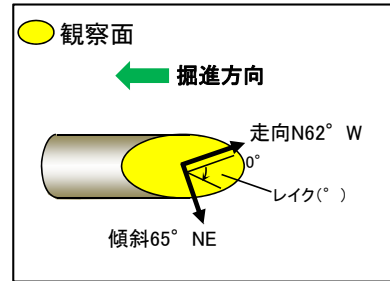
詳細観察写真B



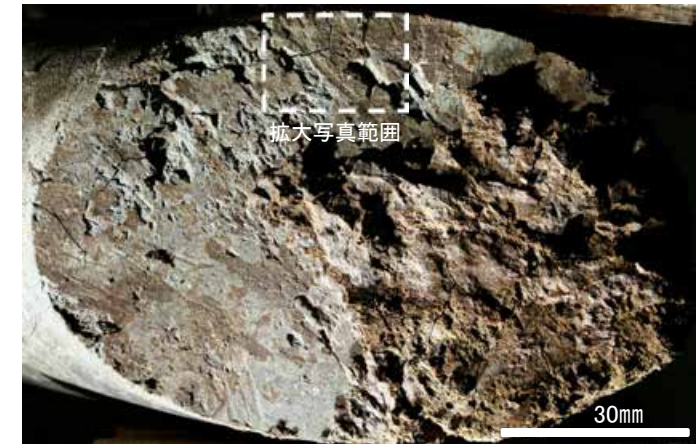
詳細観察写真C

・条線のレイクは25° R, 変位センスは右横ずれ逆断層センス

条線観察結果(岩盤調査坑 水平ボーリングT-2[深度2.85m](下盤側))

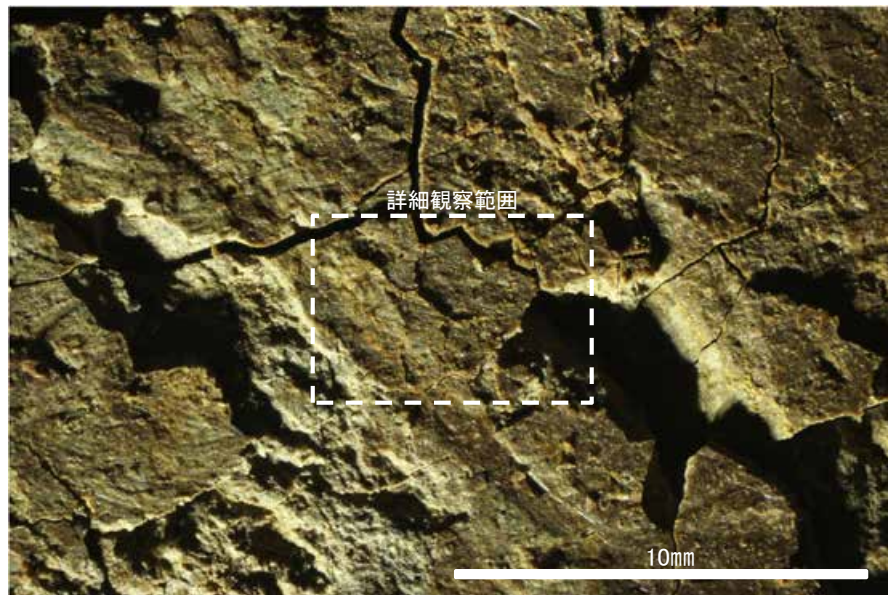


概念図
※走向は真北で示す。

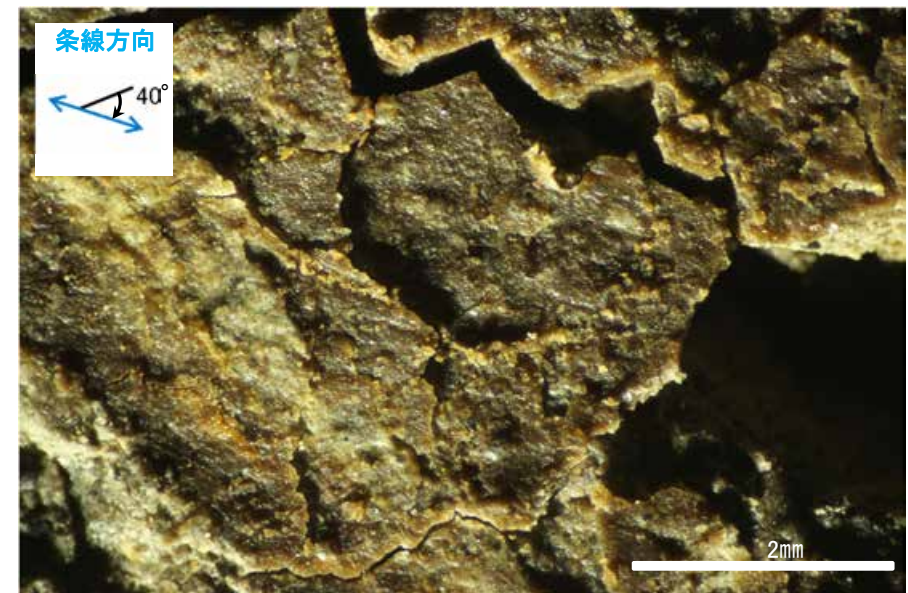


観察面写真

* 高角度の条線が認められるものの、断続的であることから、人為的にできたものと考えられる。



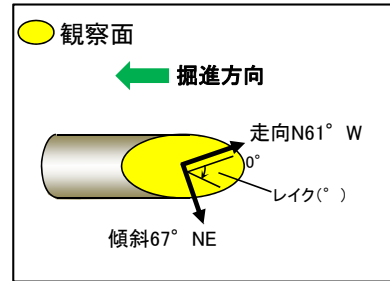
観察面拡大写真



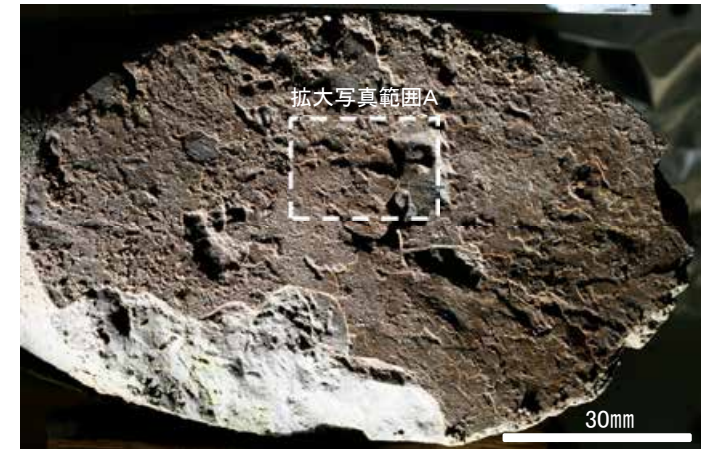
詳細観察写真

・条線のレイクは40° R, 変位センスは不明

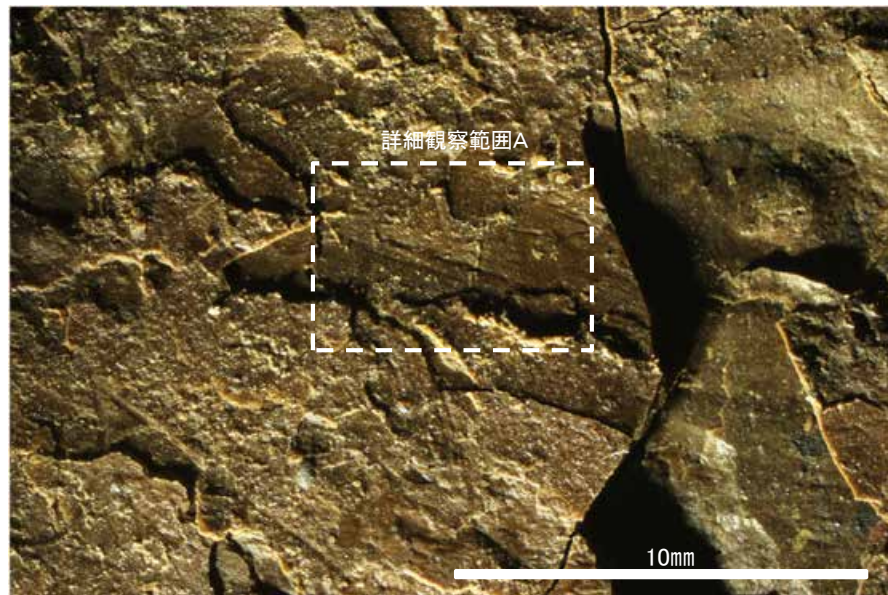
条線観察結果(岩盤調査坑 水平ボーリングT-3[深度2.55m](下盤側)①)



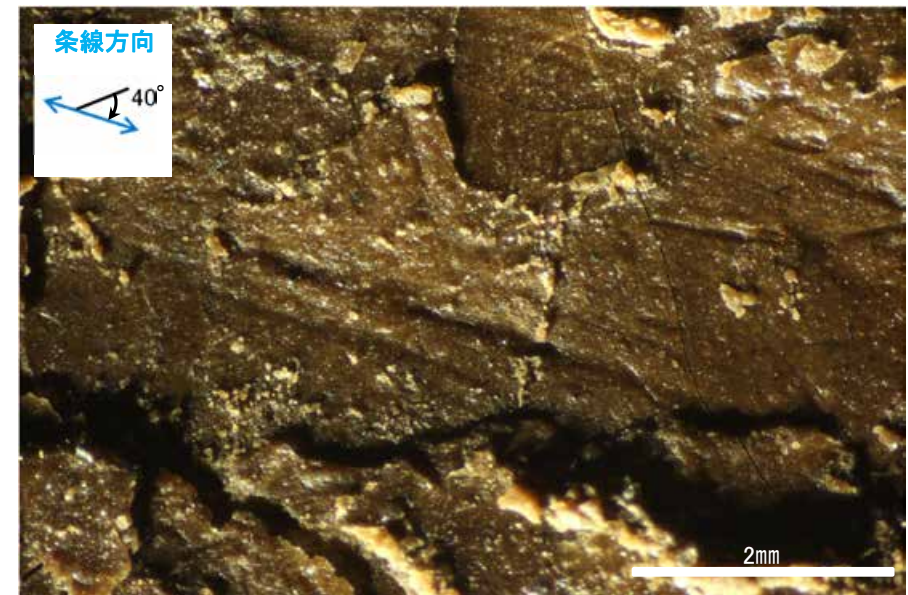
概念図
※走向は真北で示す。



観察面写真



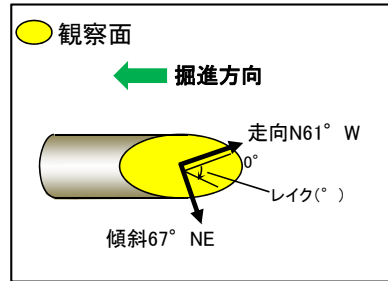
観察面拡大写真A



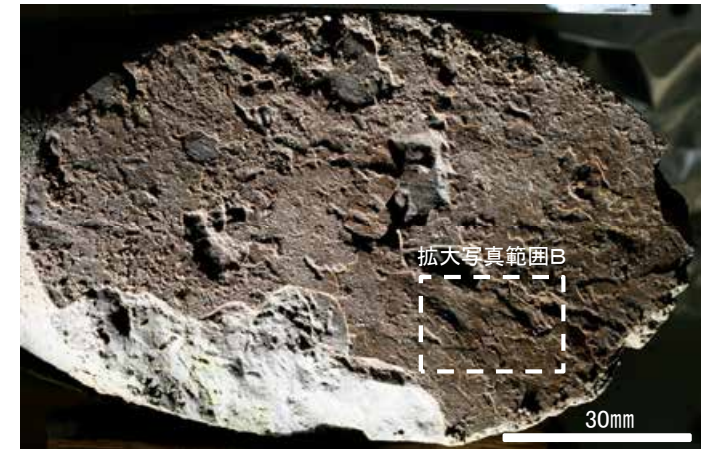
詳細観察写真A

・条線のレイクは40° R, 変位センスは不明

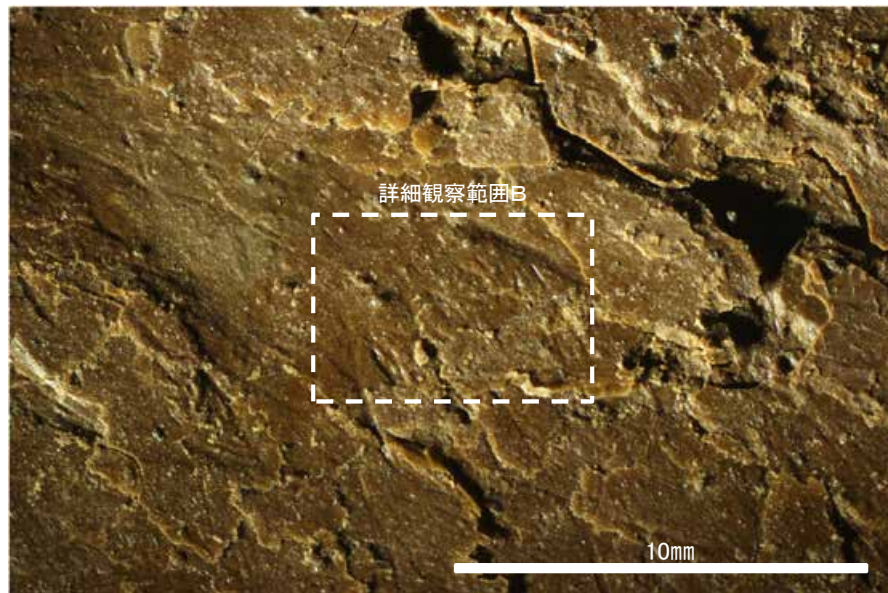
条線観察結果(岩盤調査坑 水平ボーリングT-3[深度2.55m](下盤側)②)



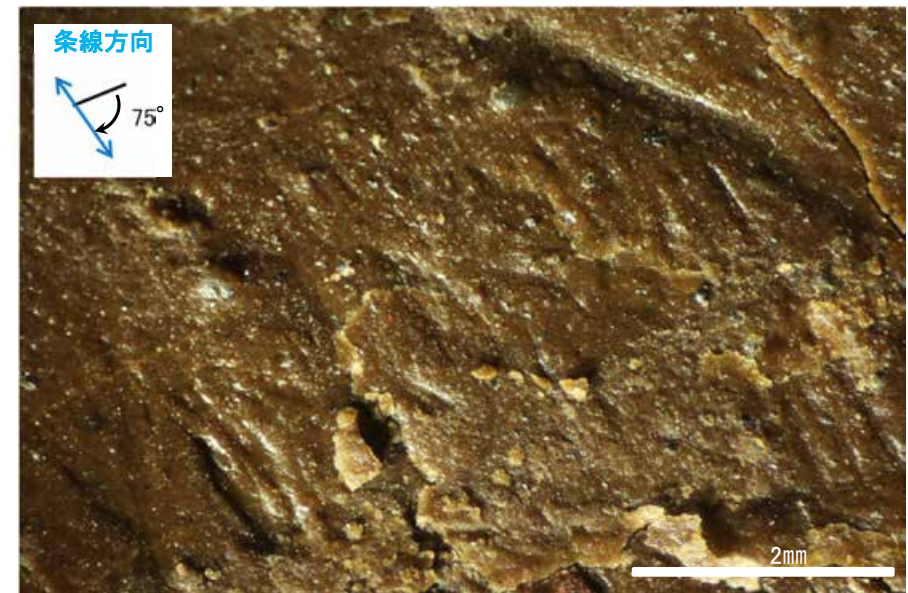
概念図
※走向は真北で示す。



観察面写真



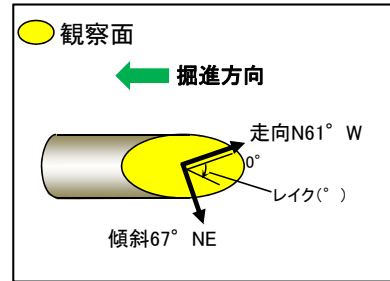
観察面拡大写真B



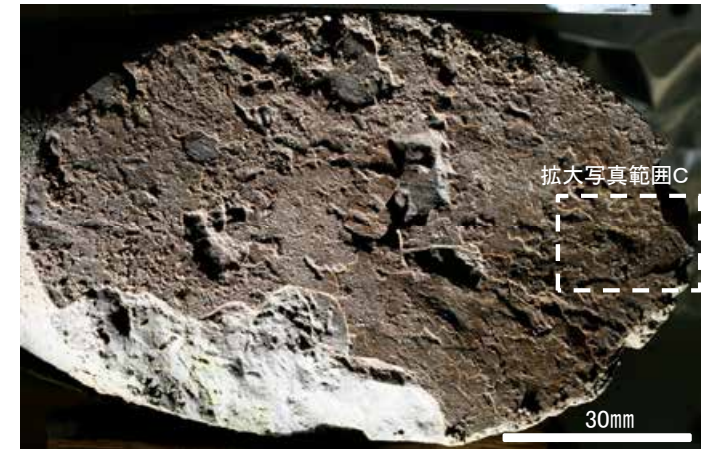
詳細観察写真B

・条線のレイクは75° R, 変位センスは不明

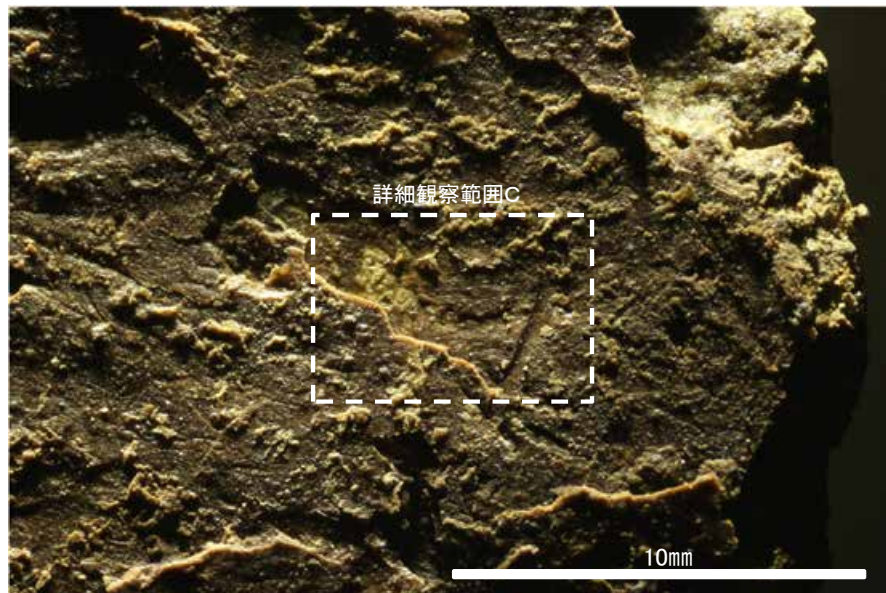
条線観察結果(岩盤調査坑 水平ボーリングT-3[深度2.55m](下盤側)③)



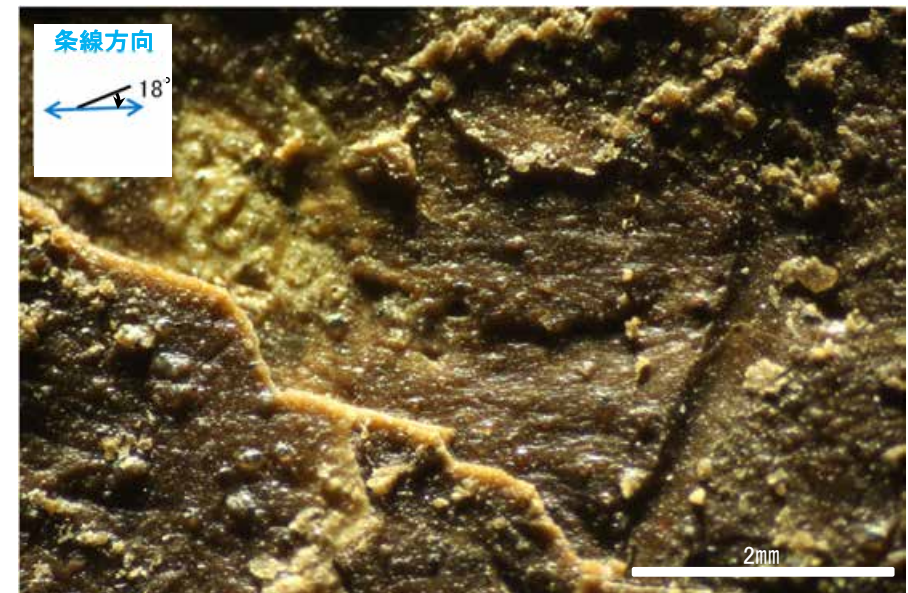
概念図
※走向は真北で示す。



観察面写真



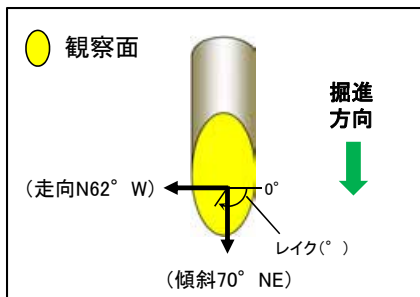
観察面拡大写真C



詳細観察写真C

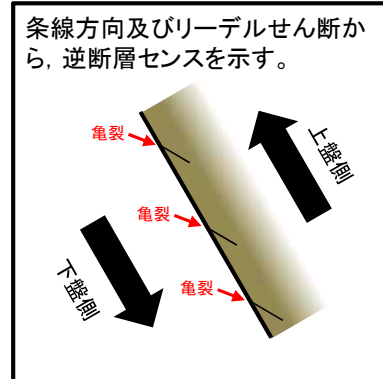
・条線のレイクは18° R, 変位センスは不明

条線観察結果(ボーリングR-7[深度153.35m](上盤側))

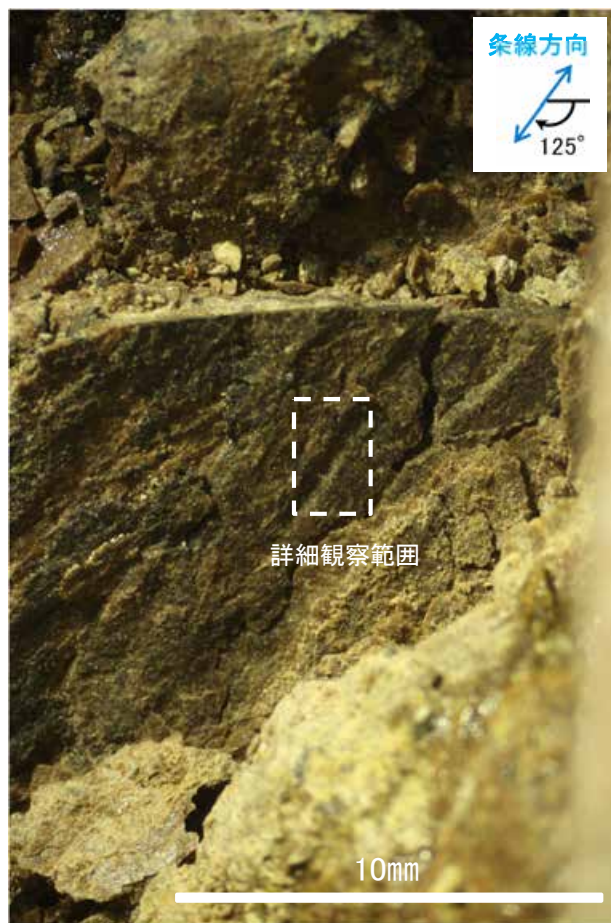


概念図

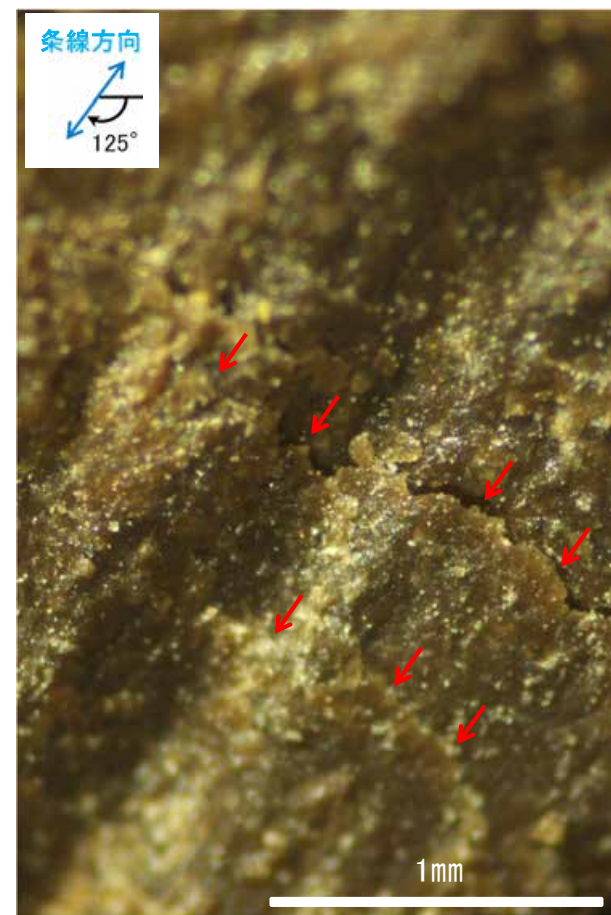
※S-1の走向は基礎掘削底盤の調査結果に基づきN62° Wと仮定した。走向は真北を示す。



コア写真(S-1付近)



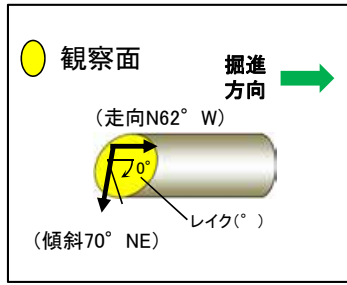
観察面拡大写真



詳細観察写真

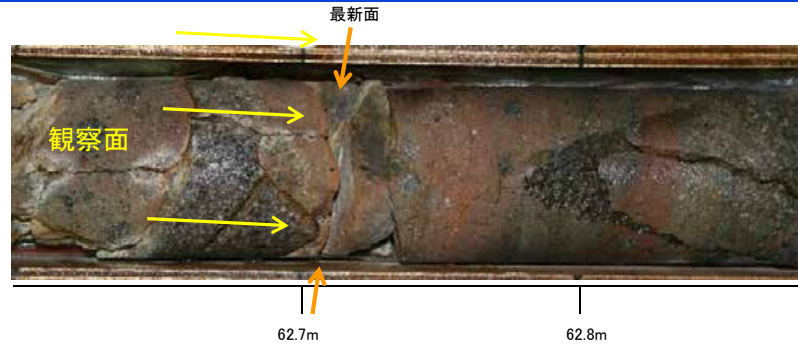
・条線のレイクは55° R(下盤側換算), 変位センスは右横ずれ逆断層センス

条線観察結果(水平ボーリングSd-2[深度62.71m](下盤側))

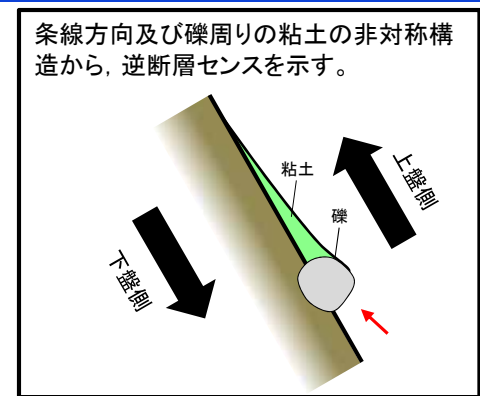


概念図

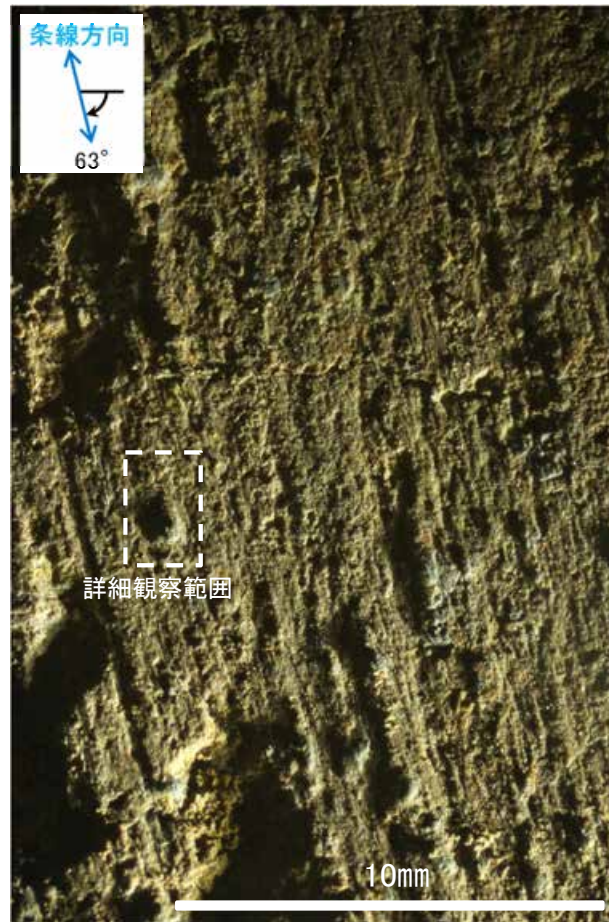
※S-1の走向は基礎掘削底盤の調査結果に基づきN62° Wと仮定した。走向は真北で示す。



コア写真(S-1付近)



観察面写真



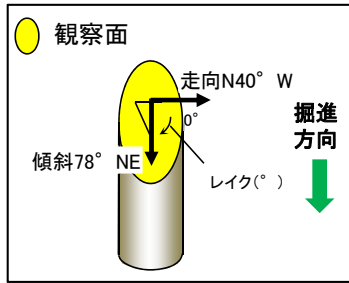
観察面拡大写真



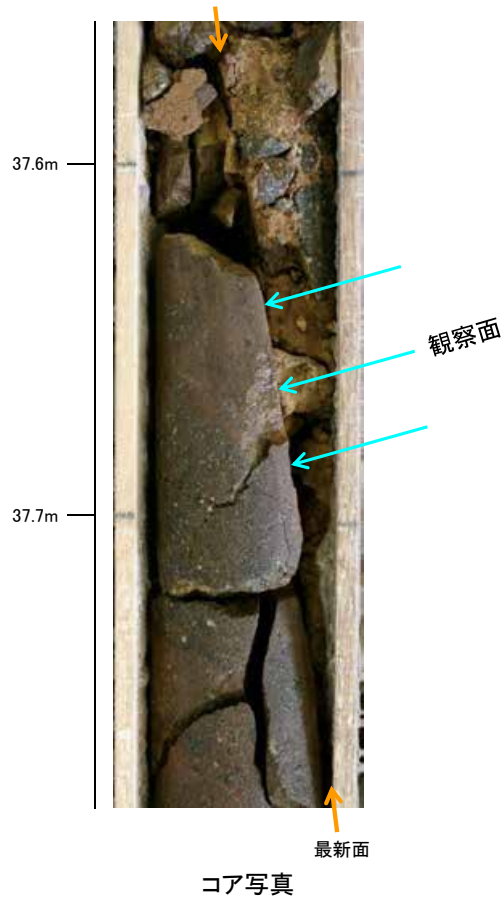
詳細観察写真

・条線のレイクは63° R, 変位センスは右横ずれ逆断層センス

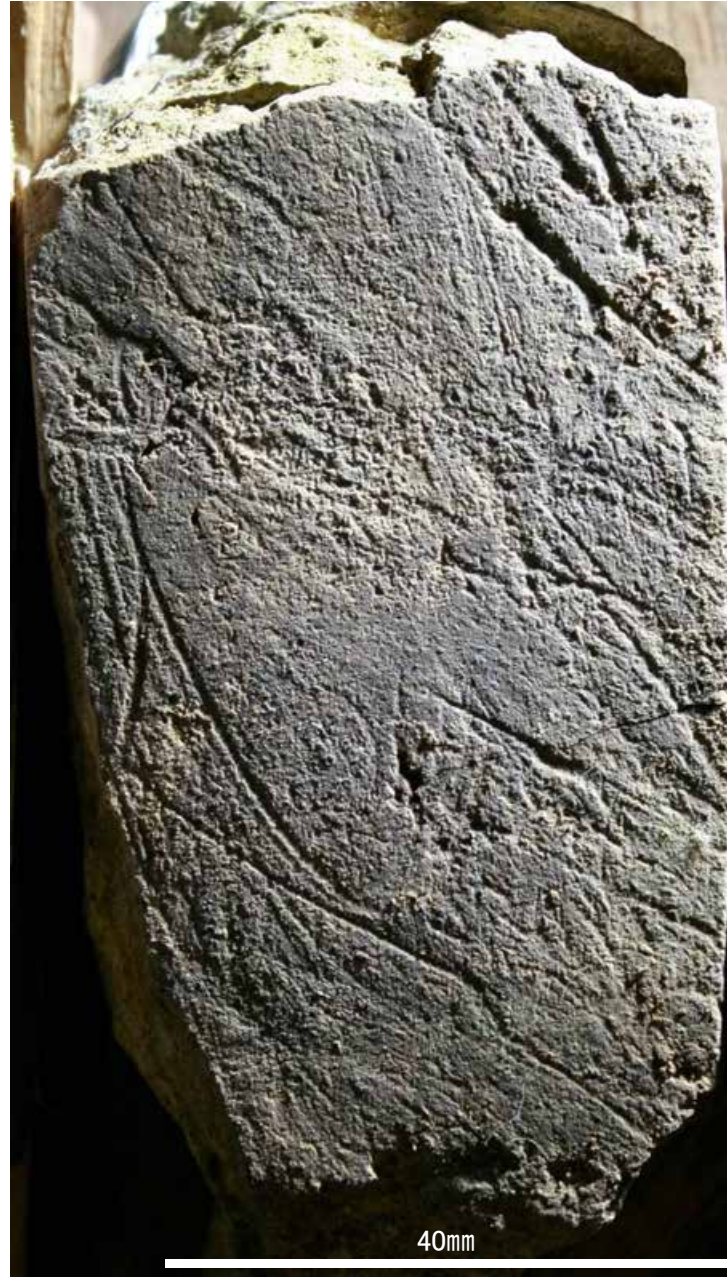
条線観察結果(ボーリングX-2[深度37.38m](下盤側))



概念図
※走向は真北で示す。



コア写真



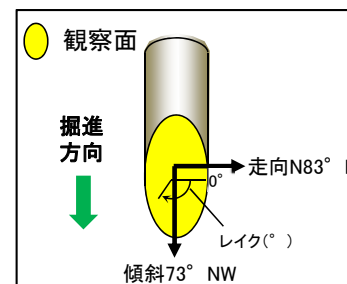
観察面写真



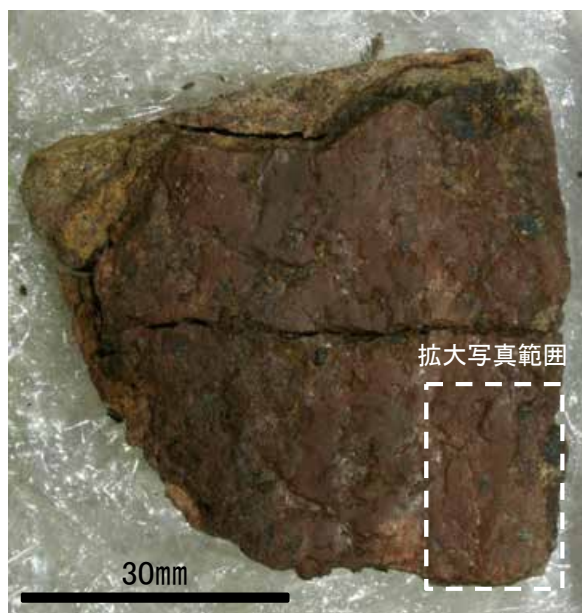
観察面写真(加筆)

・人為的な情報(キズ)も含まれているものの、観察面で認められる条線については、左上から右下に向けて刻されている。

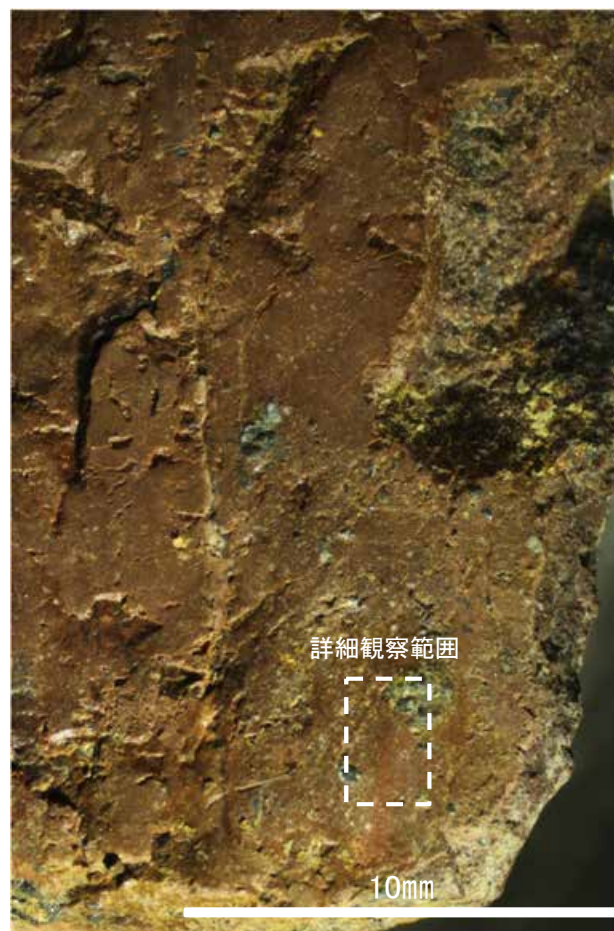
条線観察結果(ボーリングJ-9”[深度29.33m](上盤側))



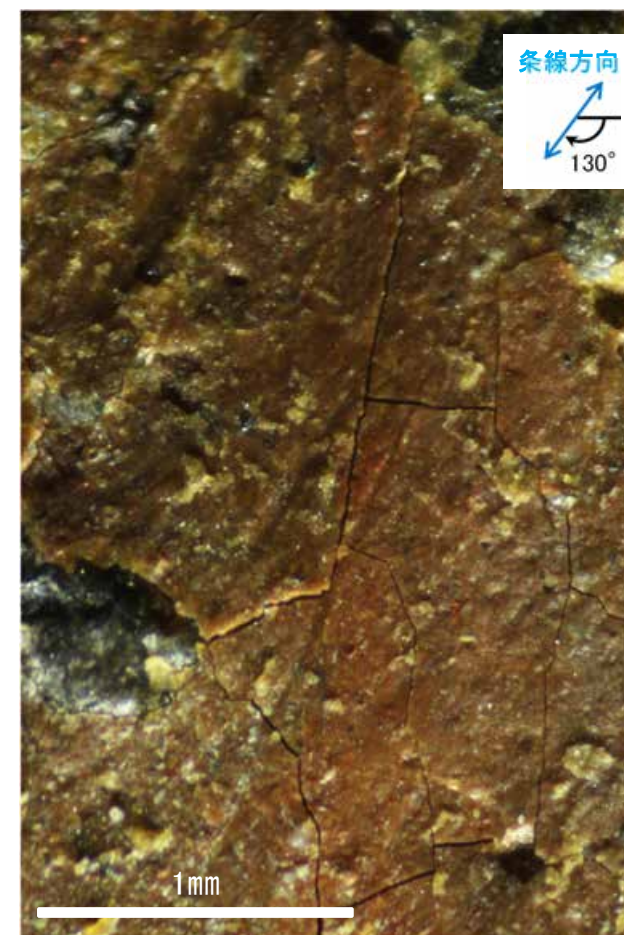
概念図
※走向は真北で示す。



観察面写真



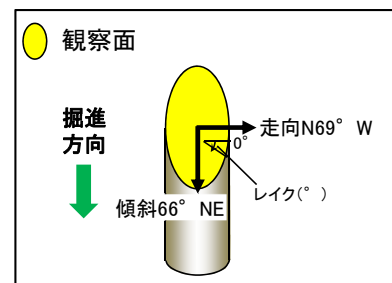
観察面拡大写真



詳細観察写真

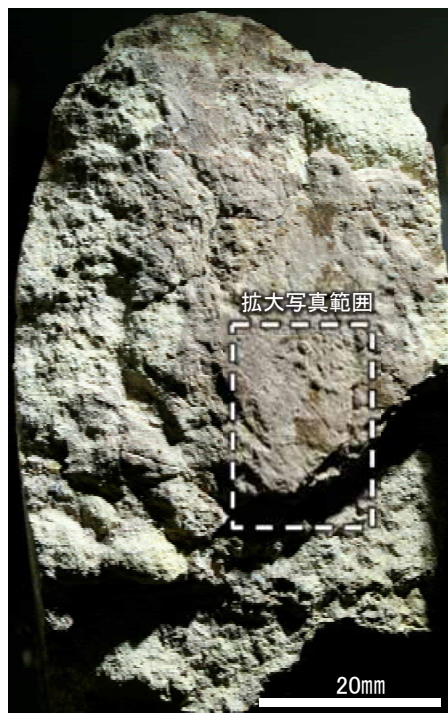
・条線のレイクは50° R(下盤側換算), 変位センスは不明

条線観察結果(ボーリングK-10[深度16.95m](下盤側))

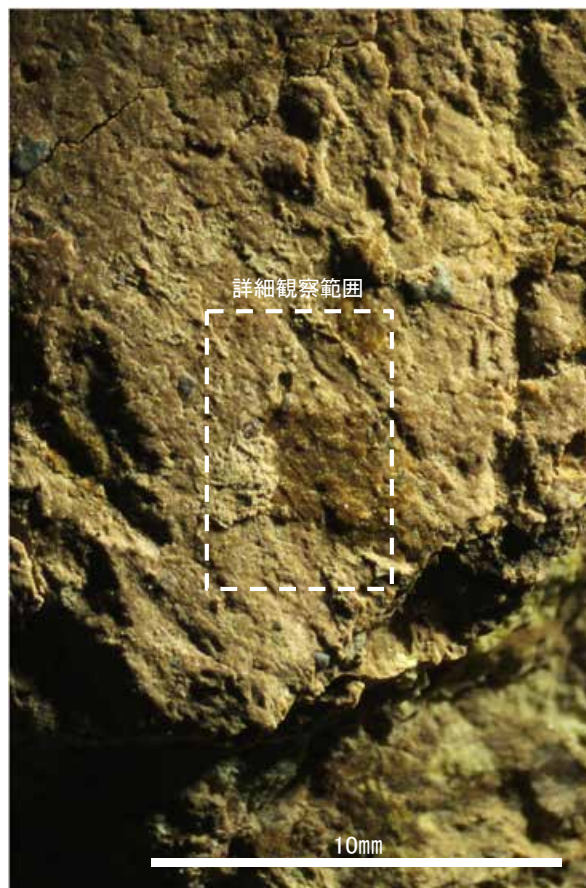


概念図

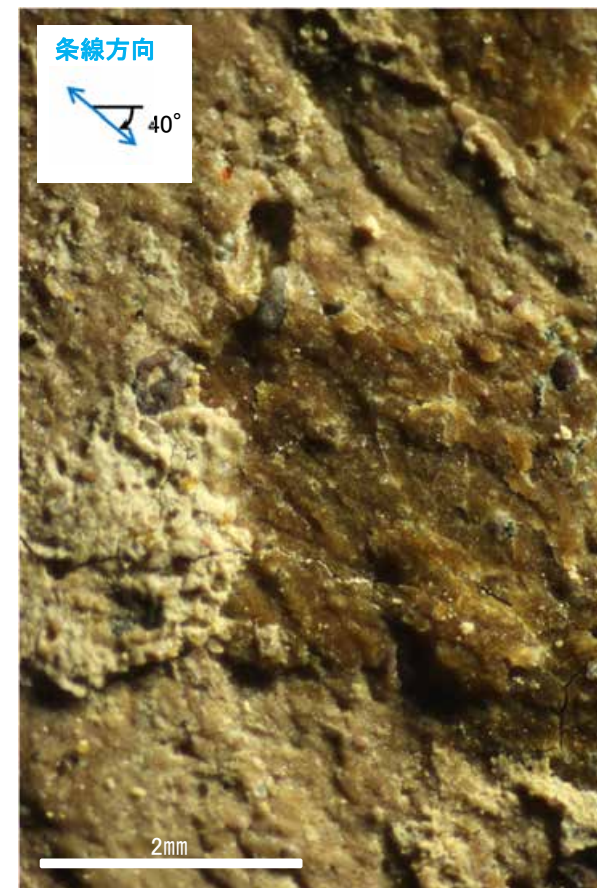
※走向は真北で示す。



観察面写真



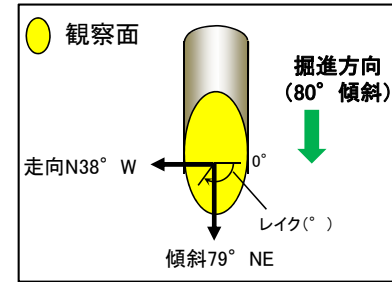
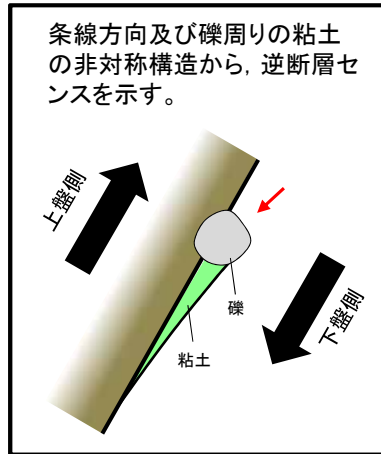
観察面拡大写真



詳細観察写真

・条線のレイクは40° R, 変位センスは不明

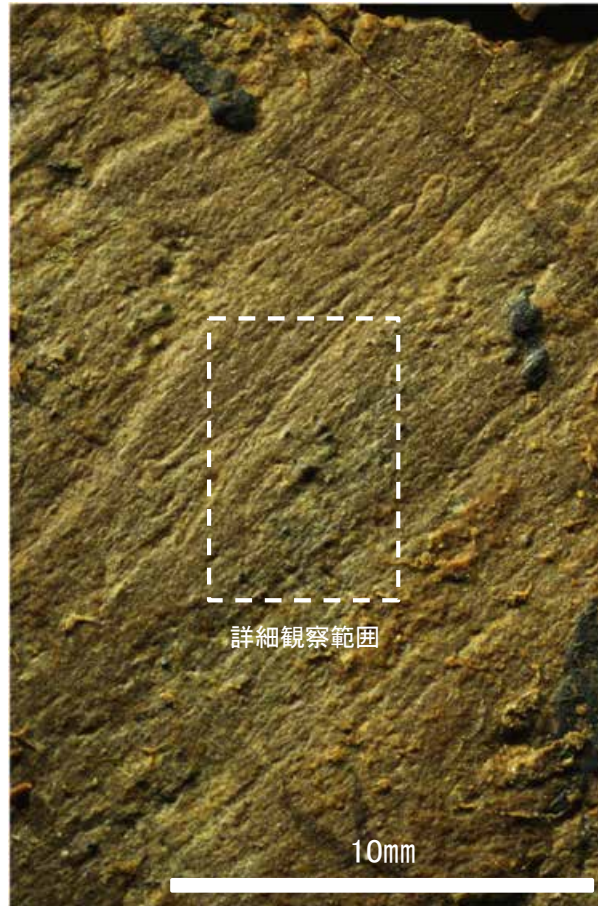
条線観察結果(ボーリングL-12.2 [深度41.93m](上盤側))



概念図
※走向は真北で示す。



観察面写真



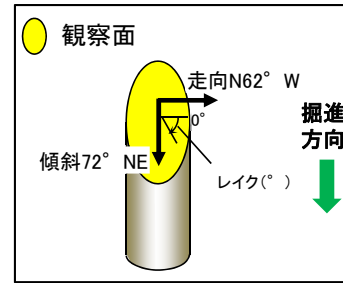
観察面拡大写真



詳細観察写真

・条線のレイクは40° R(下盤側換算), 変位センスは右横ずれ逆断層センス

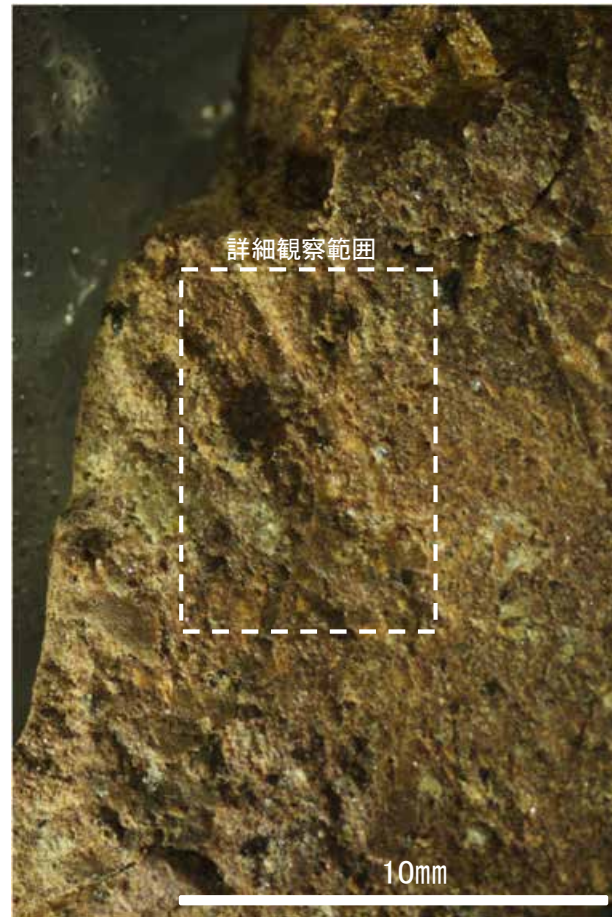
条線観察結果(ボーリングM-12.5[深度63.43m](下盤側)①)



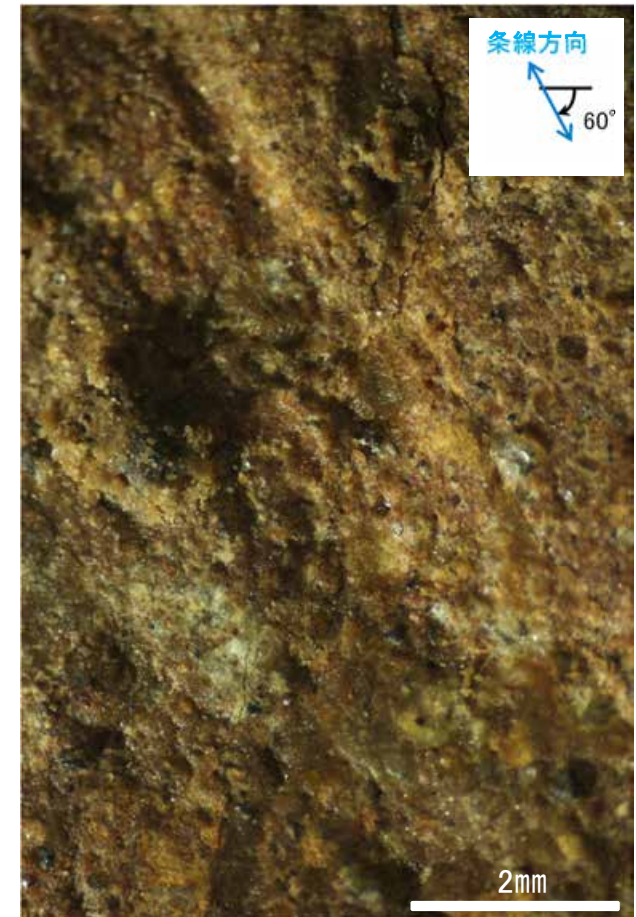
概念図
※走向は真北で示す。



観察面写真



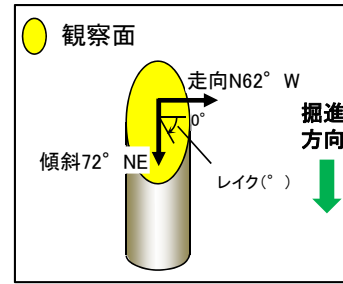
観察面拡大写真



詳細観察写真

・条線のレイクは60° R, 変位センスは不明

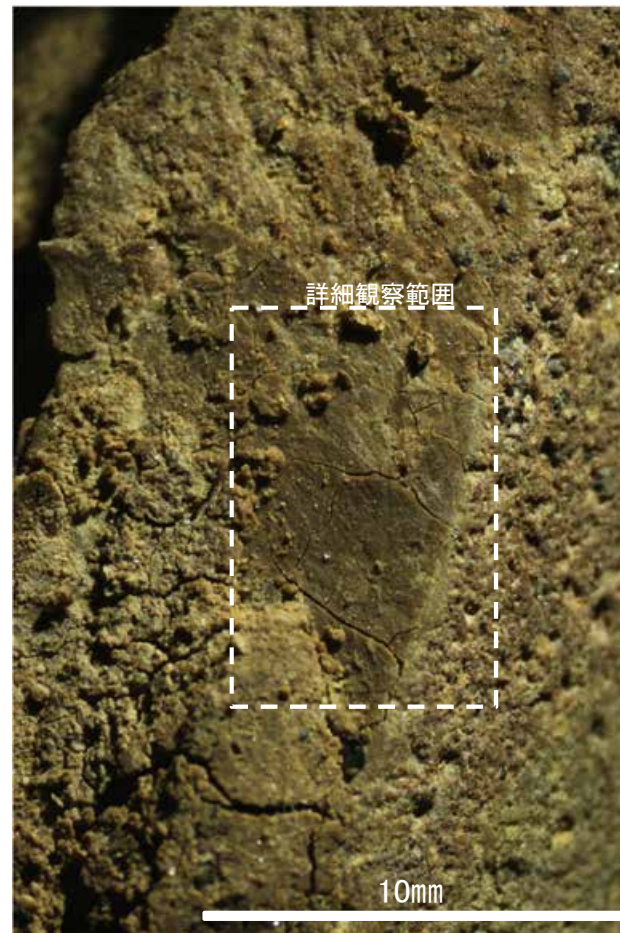
条線観察結果(ボーリングM-12.5[深度63.43m](下盤側)②)



概念図
※走向は真北で示す。



観察面写真



観察面拡大写真

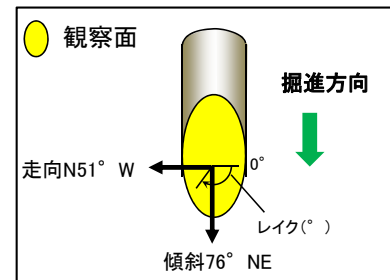
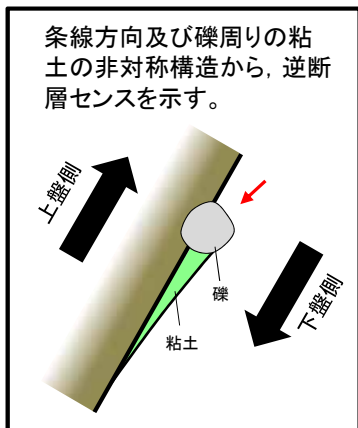


詳細観察写真

※高角度の条線は認められるものの、複数認められないため、人為的にできたものと考えられる。

・条線のレイクは45° R, 変位センスは不明

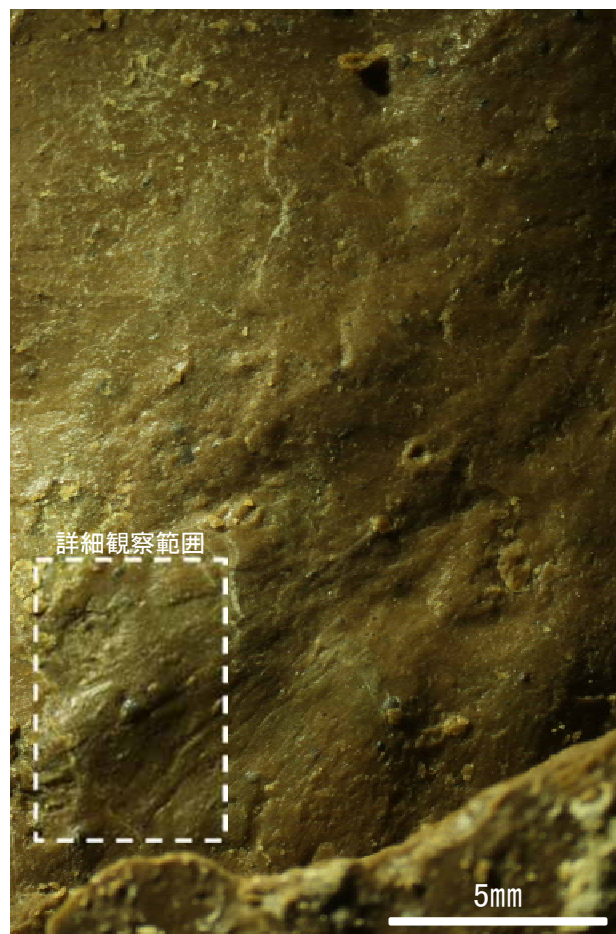
条線観察結果(ボーリングM-12.5' [深度51.65m](上盤側))



概念図
※走向は真北で示す。



観察面写真



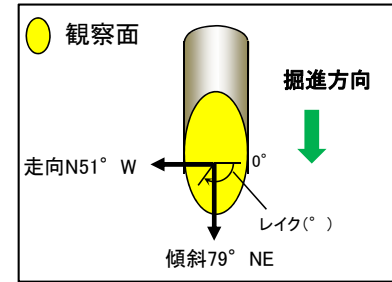
観察面拡大写真



詳細観察写真

・条線のレイクは40° R(下盤側換算), 変位センスは右横ずれ逆断層センス

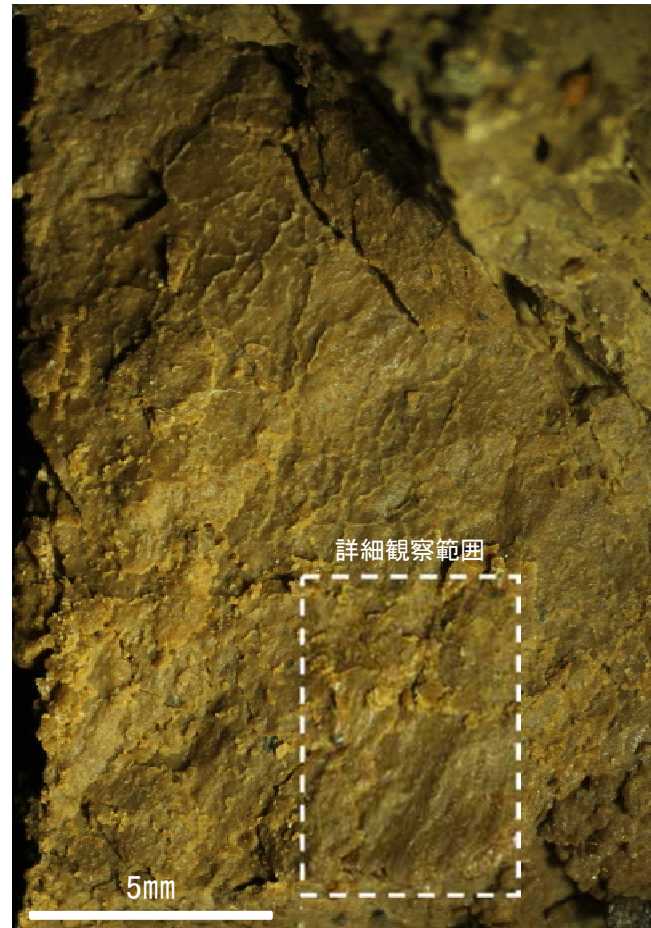
条線観察結果(ボーリングM-12.5' [深度50.00m](上盤側))



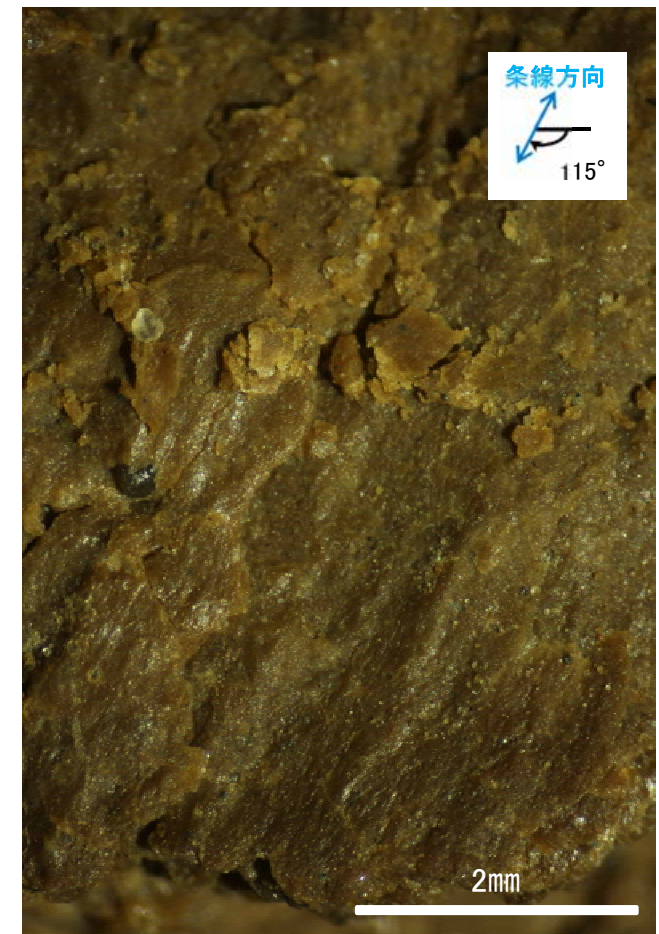
概念図
※走向は真北で示す。



観察面写真



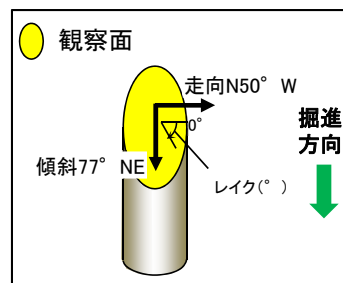
観察面拡大写真



詳細観察写真

・条線のレイクは65° R(下盤側換算), 変位センスは不明

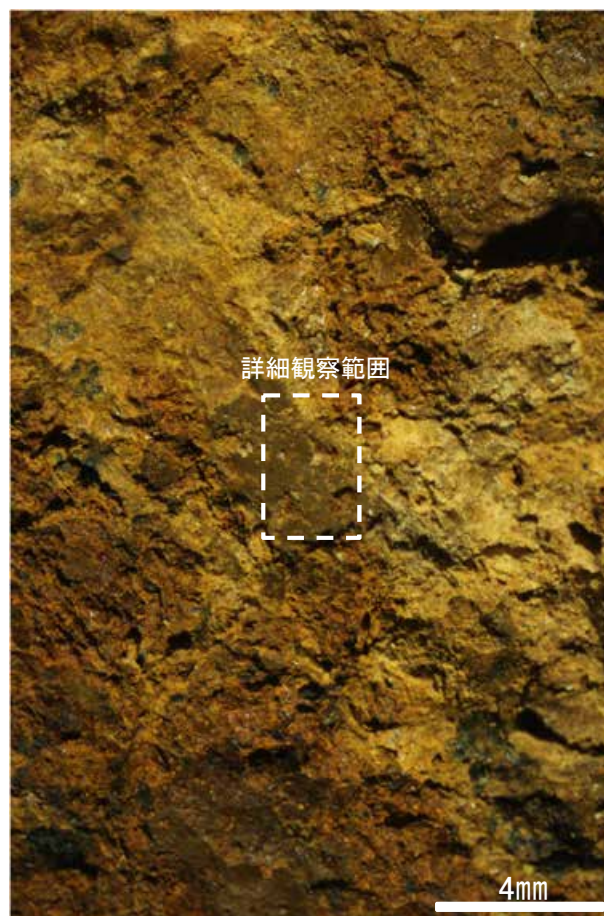
条線観察結果(駐車場底盤ボーリングNo.1(下盤側))



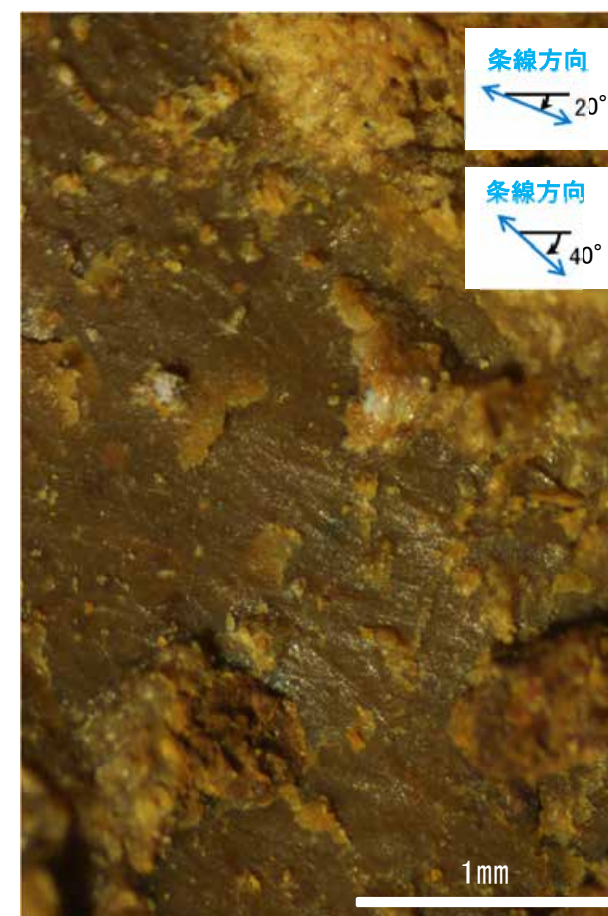
概念図
※走向は真北で示す。



観察面写真



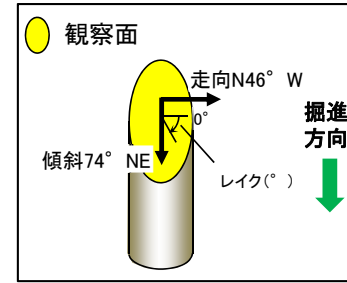
観察面拡大写真



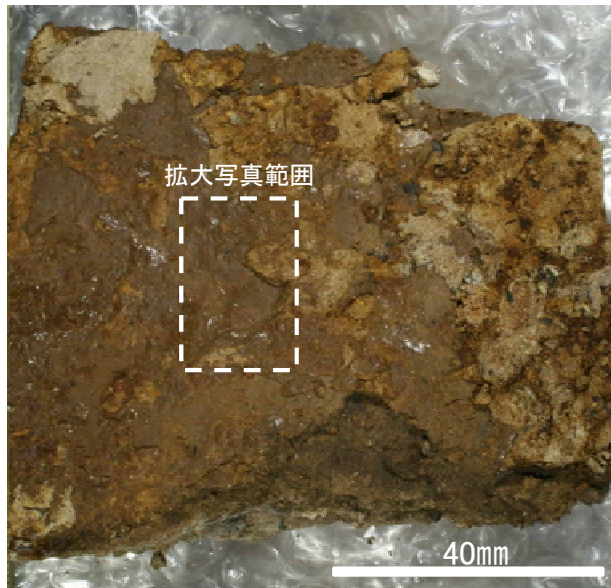
詳細観察写真

・条線のレイクは20° R及び40° R, それぞれ変位センスは不明

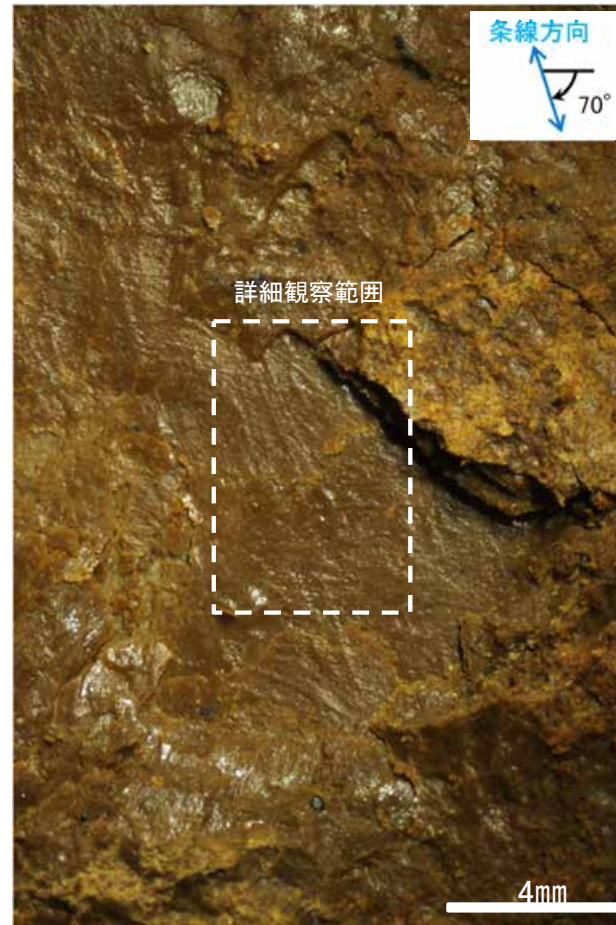
条線観察結果(駐車場底盤ボーリングNo.2(下盤側))



概念図
※走向は真北で示す。

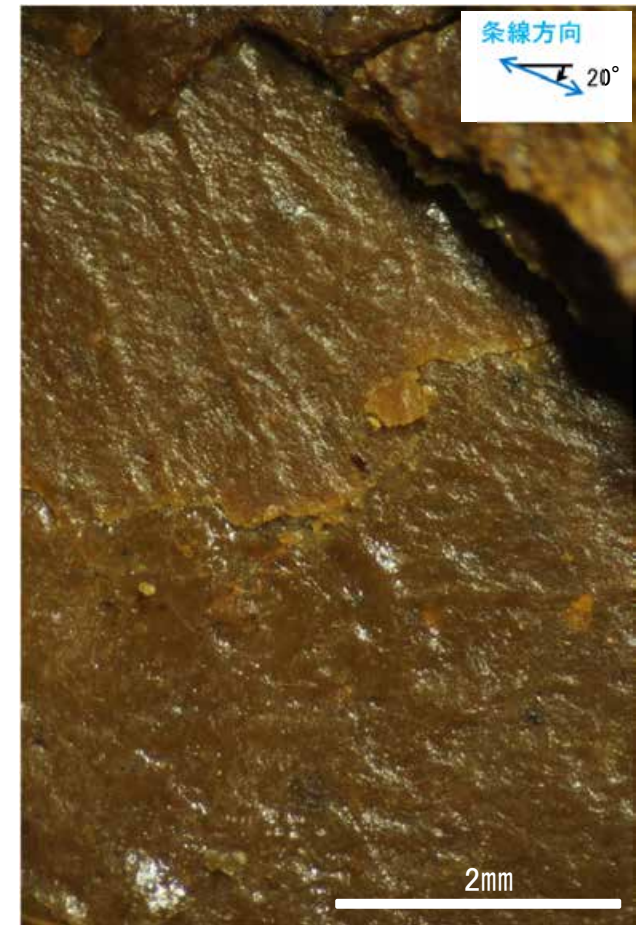


観察面写真



観察面拡大写真

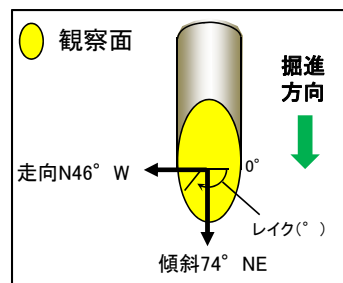
・条線のレイクは70° R, 変位センスは不明



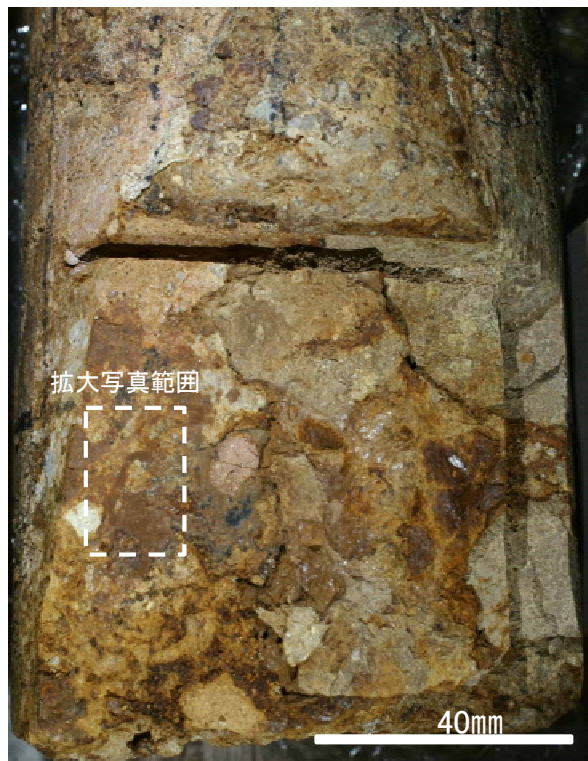
詳細観察写真

・条線のレイクは20° R, 変位センスは不明

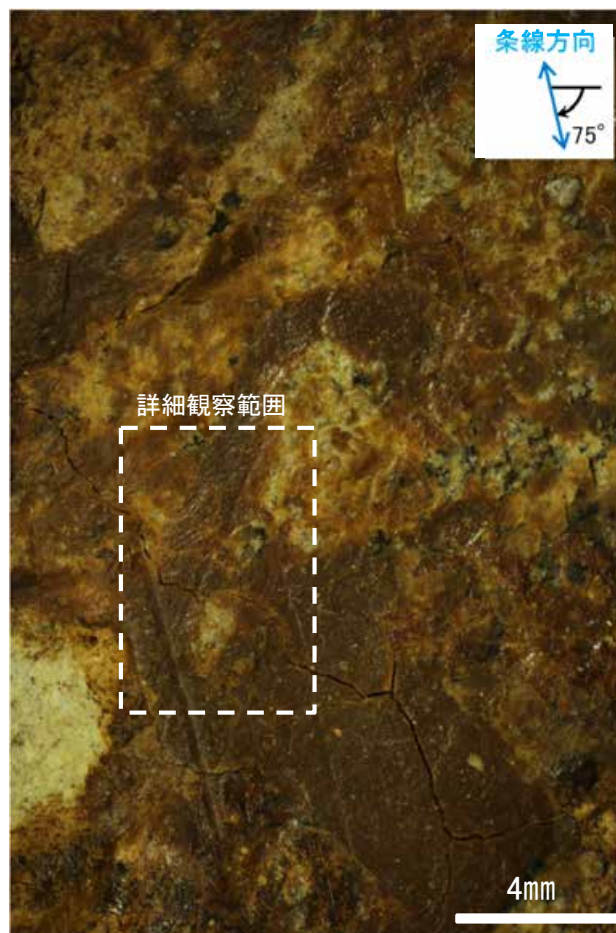
条線観察結果(駐車場底盤ボーリングNo.2(上盤側))



概念図
※走向は真北で示す。



観察面写真



観察面拡大写真

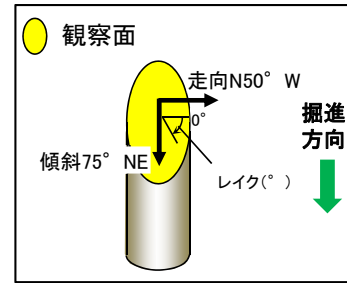
・条線のレイクは105° R(下盤側換算), 変位センスは不明



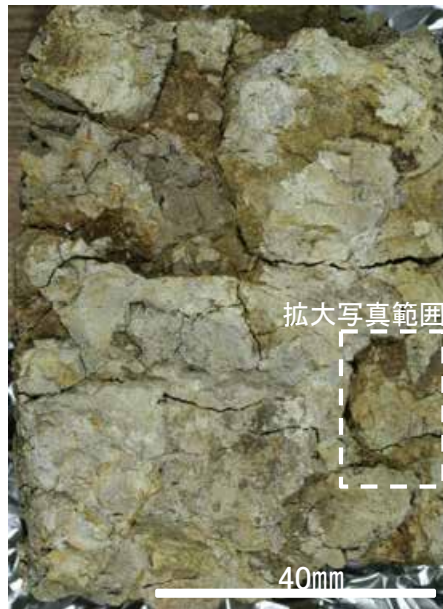
詳細観察写真

・条線のレイクは70° R(下盤側換算), 変位センスは不明

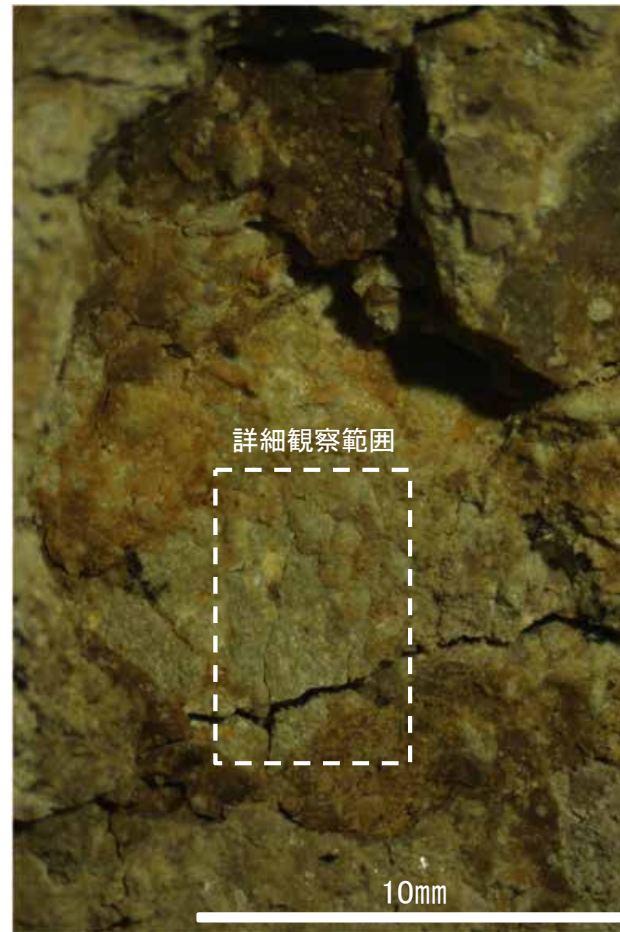
条線観察結果(ボーリングN-13[深度11.10m](下盤側))



概念図
※走向は真北で示す。



観察面写真



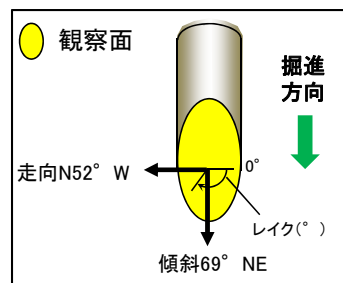
観察面拡大写真



詳細観察写真

・条線のレイクは50° R, 変位センスは不明

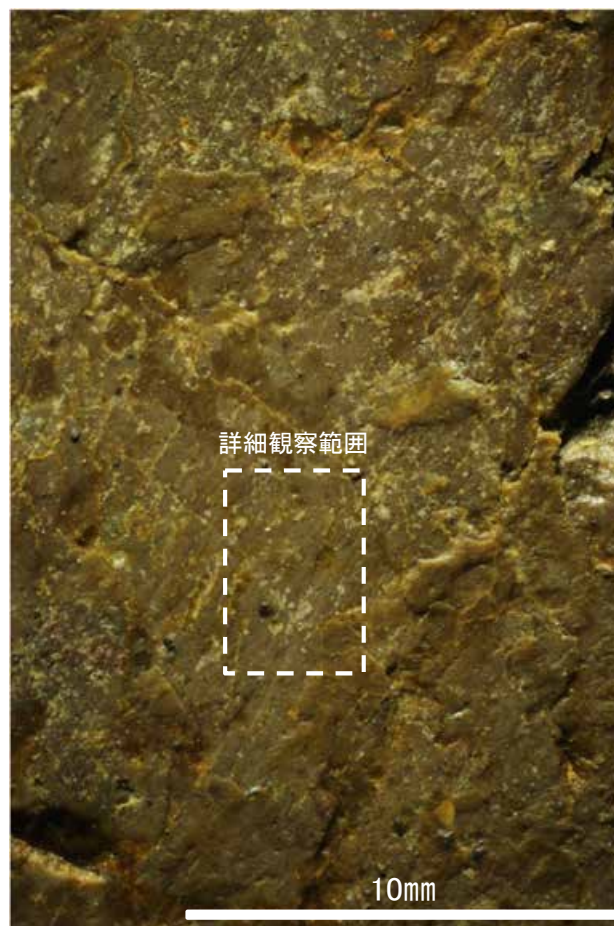
条線観察結果(ボーリングN-13' [深度23.39m](上盤側))



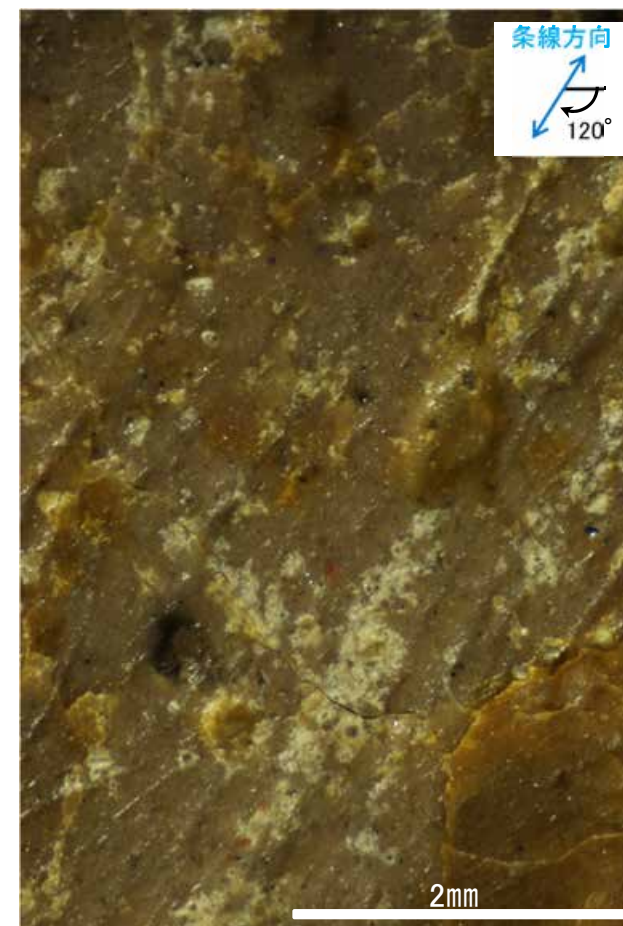
概念図
※走向は真北で示す。



観察面写真



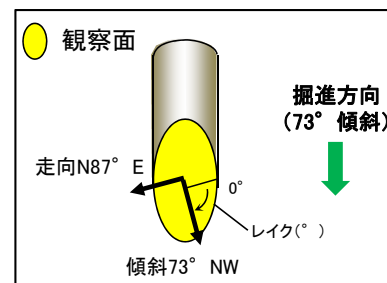
観察面拡大写真



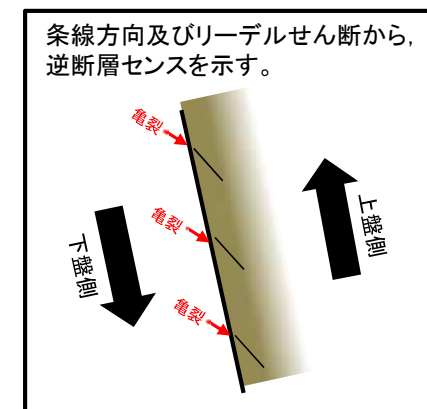
詳細観察写真

・条線のレイクは60° R(下盤側換算), 変位センスは不明

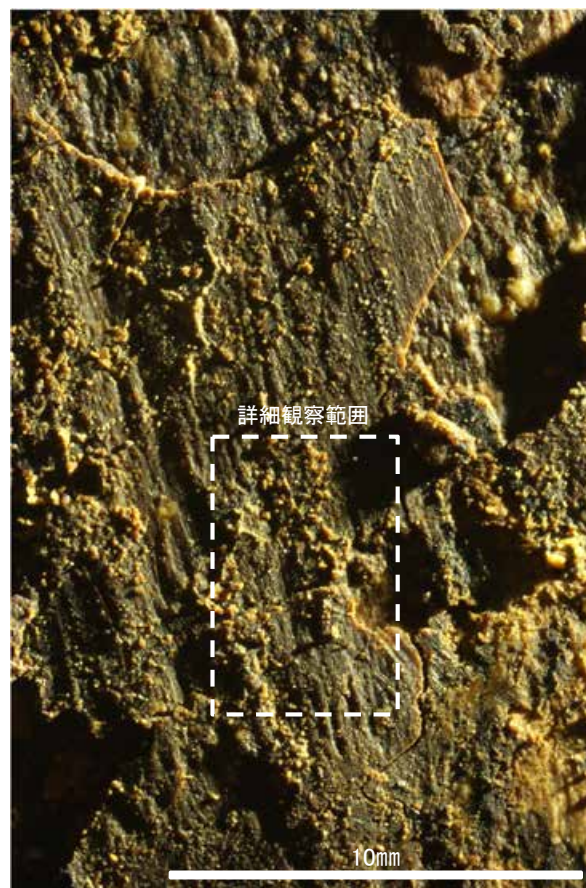
条線観察結果(ボーリングN-13.5'[深度10.90m](上盤側))



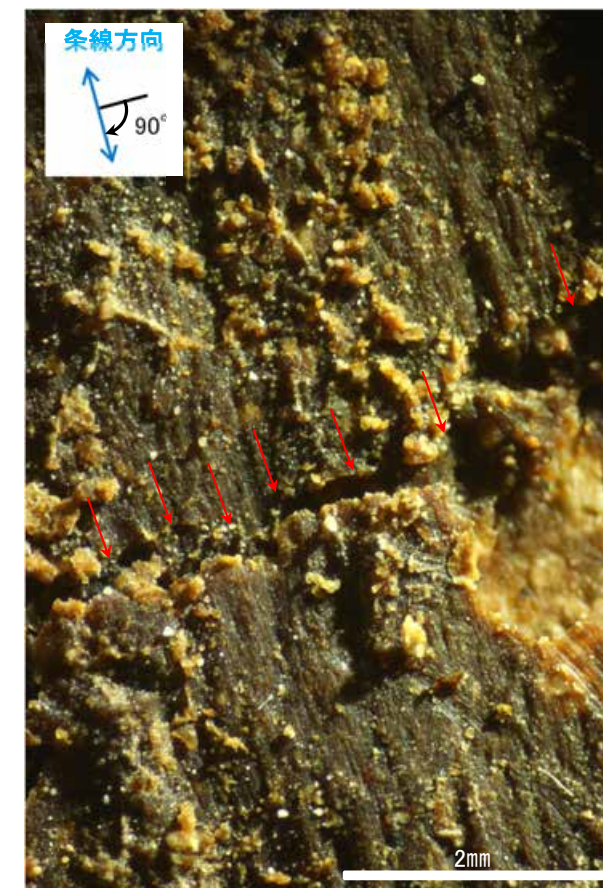
概念図
※走向は真北で示す。



観察面写真



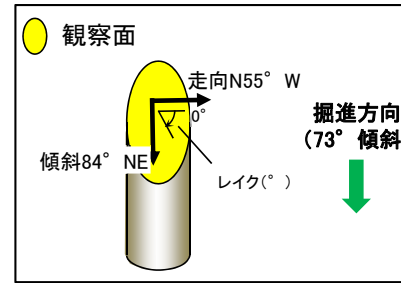
観察面拡大写真



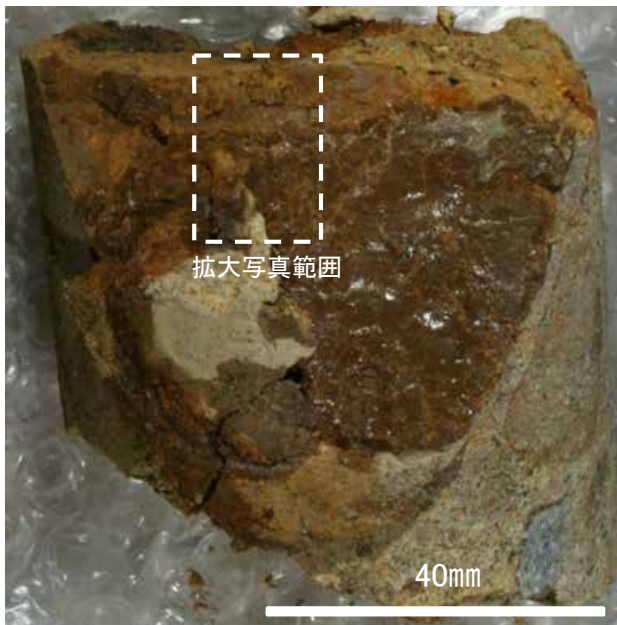
詳細観察写真

・条線のレイクは90° R(下盤側換算), 変位センスは逆断層センス

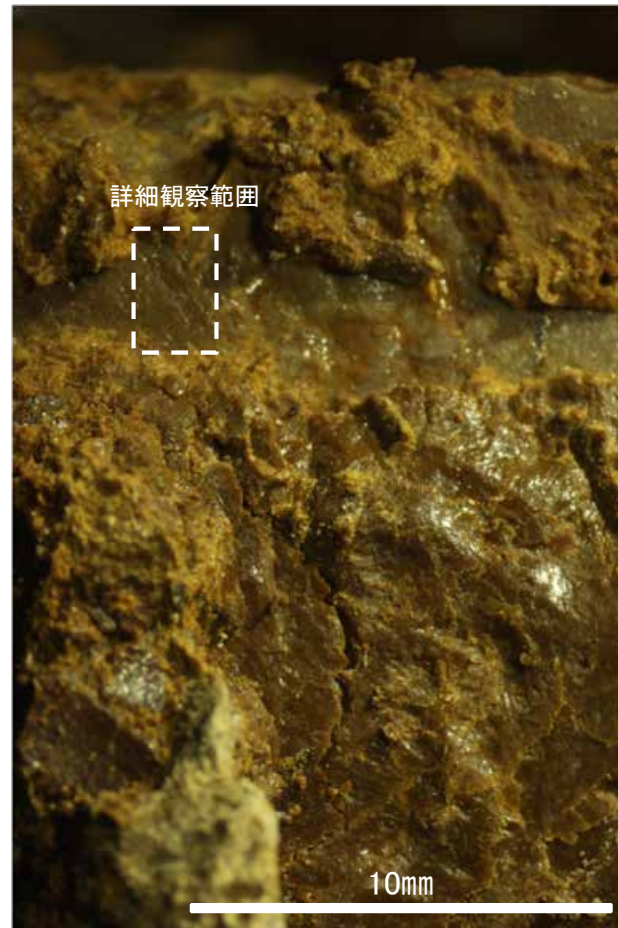
条線観察結果(ボーリングN-14.5[深度21.31m](下盤側)①)



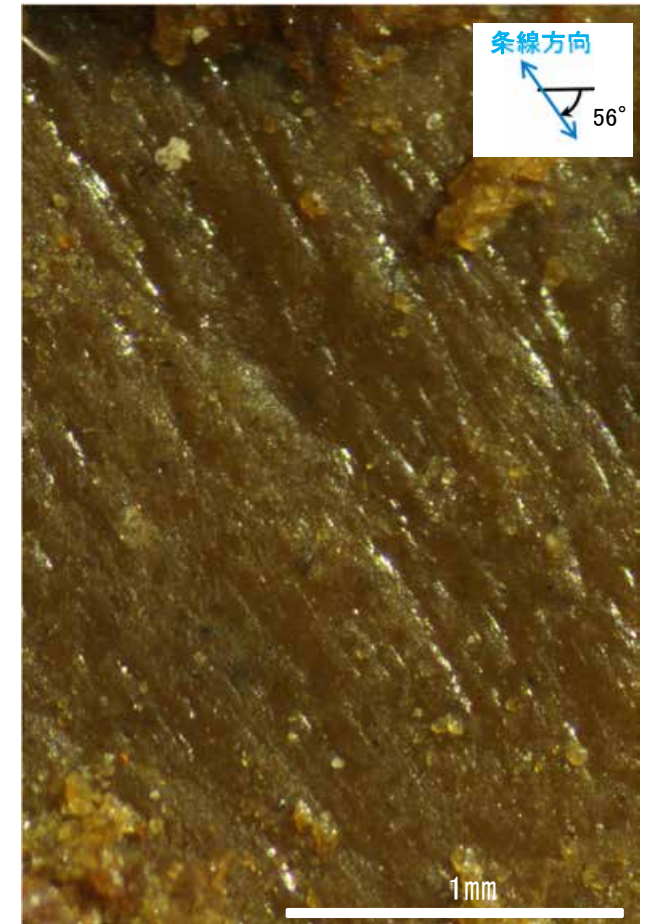
概念図
※走向は真北で示す。



観察面写真



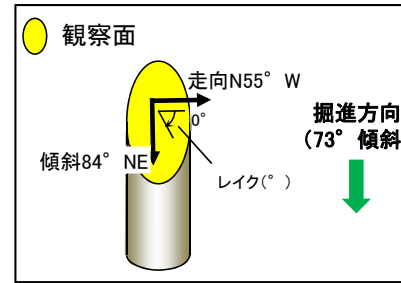
観察面拡大写真



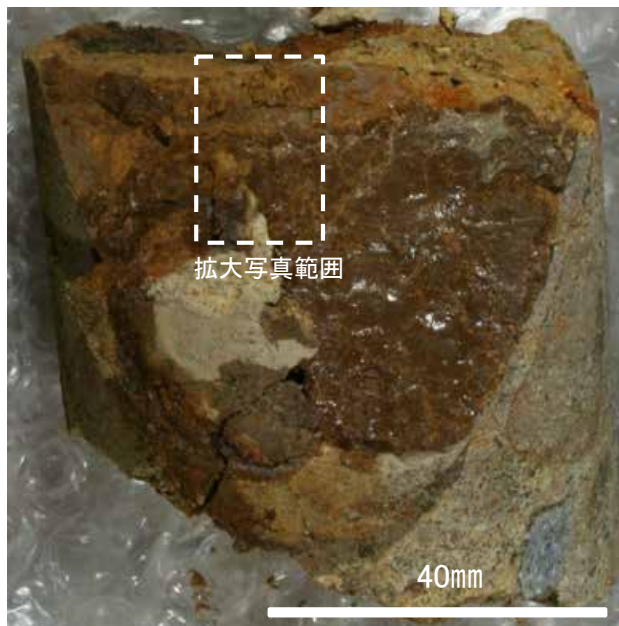
詳細観察写真

・条線のレイクは56° R, 変位センスは不明

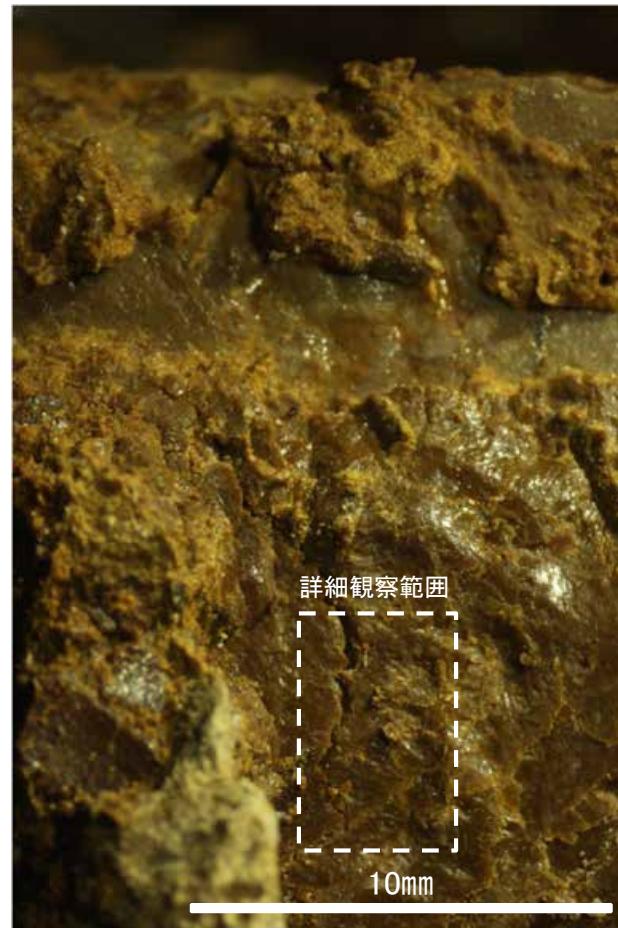
条線観察結果(ボーリングN-14.5[深度21.31m](下盤側)②)



概念図
※走向は真北で示す。



観察面写真



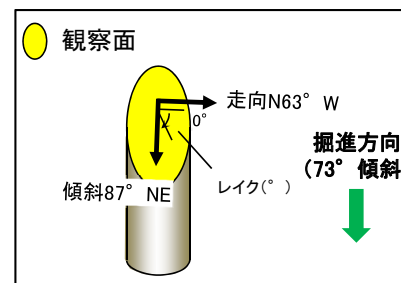
観察面拡大写真



詳細観察写真

・条線のレイクは26° R, 変位センスは不明

条線観察結果(ボーリングO-16[深度20.36m](下盤側))



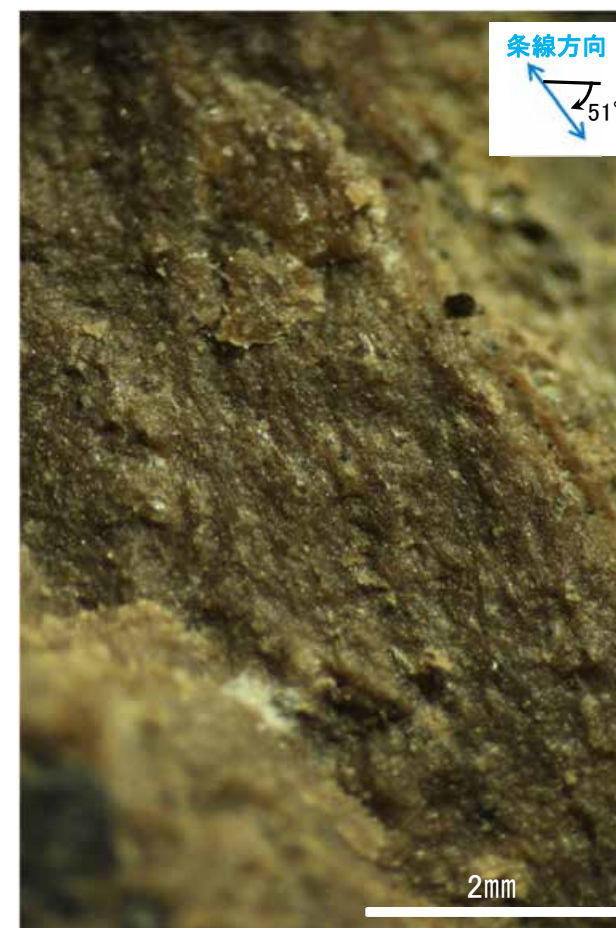
概念図
※走向は真北で示す。



観察面写真



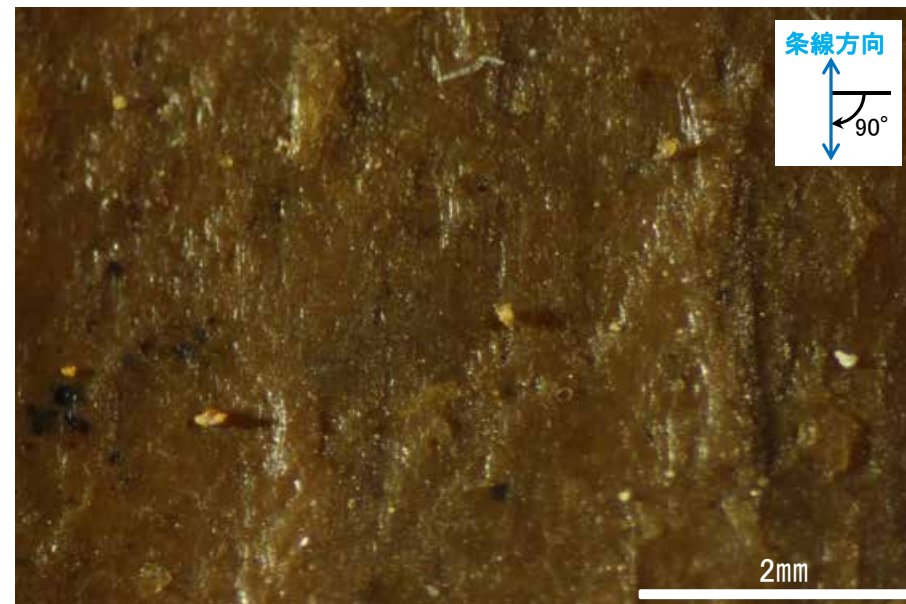
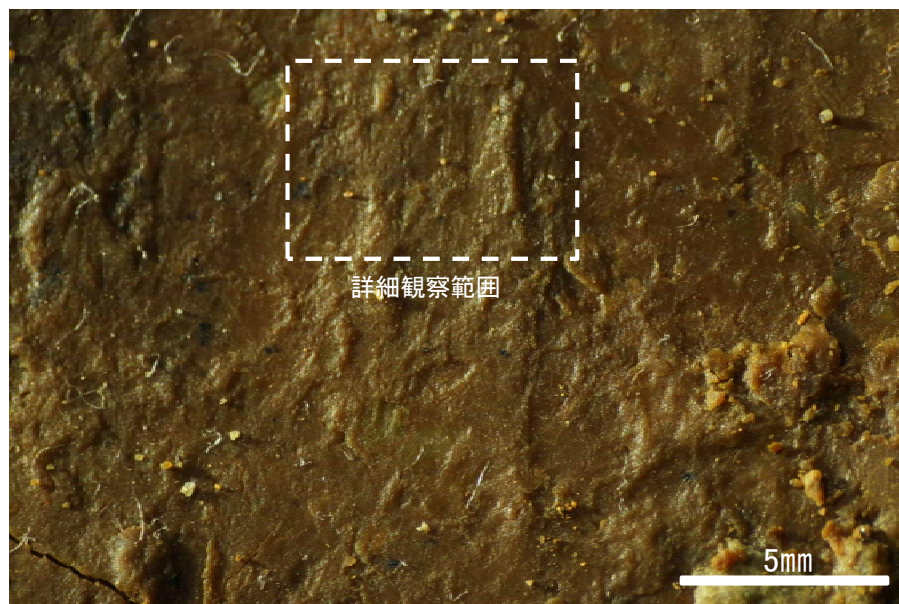
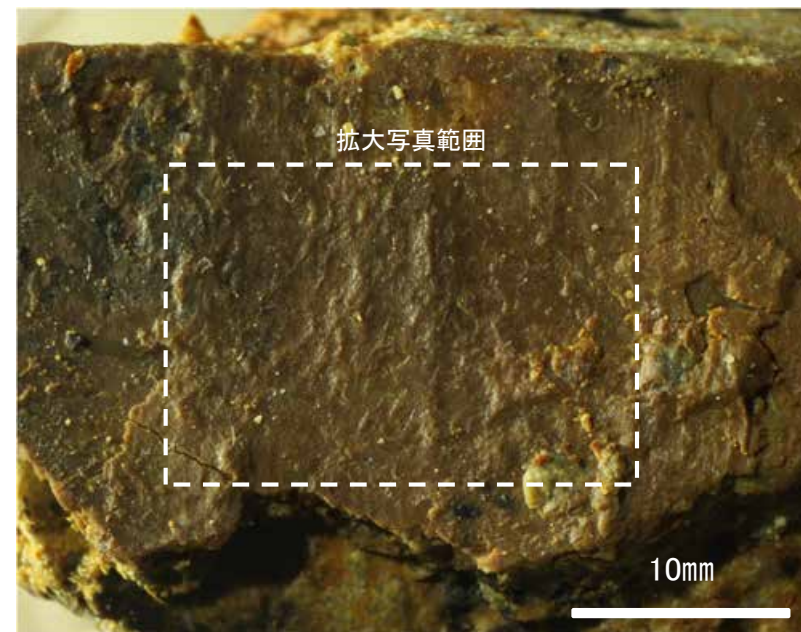
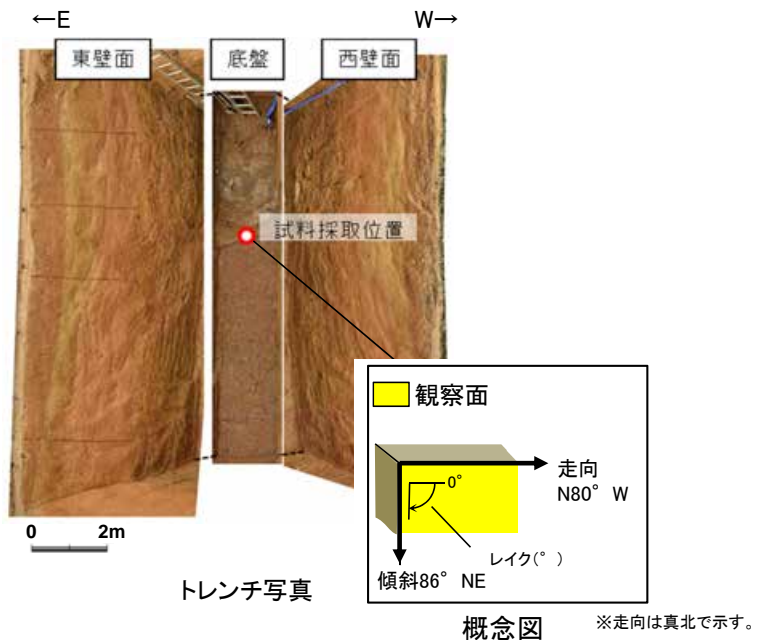
観察面拡大写真



詳細観察写真

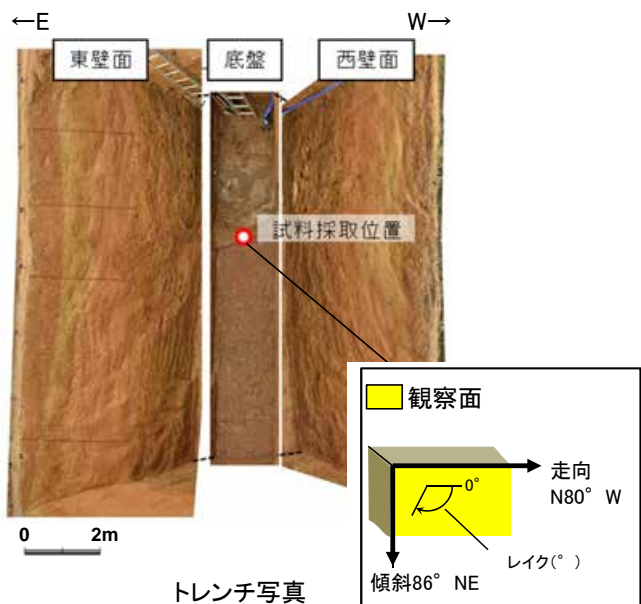
・条線のレイクは51° R, 変位センスは不明

条線観察結果(えん堤左岸トレンチ底盤(下盤側)①)



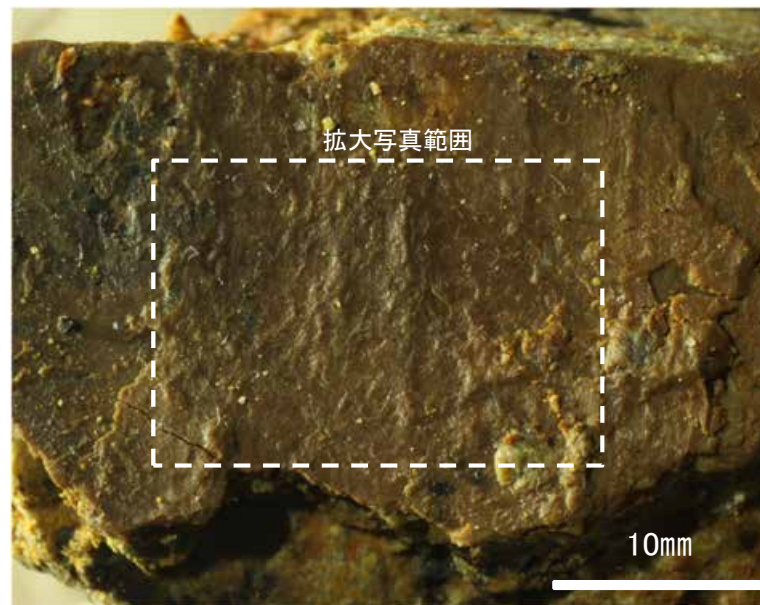
・条線のレイクは90° R, 変位センスは不明

条線観察結果(えん堤左岸トレンチ底盤(下盤側)②)

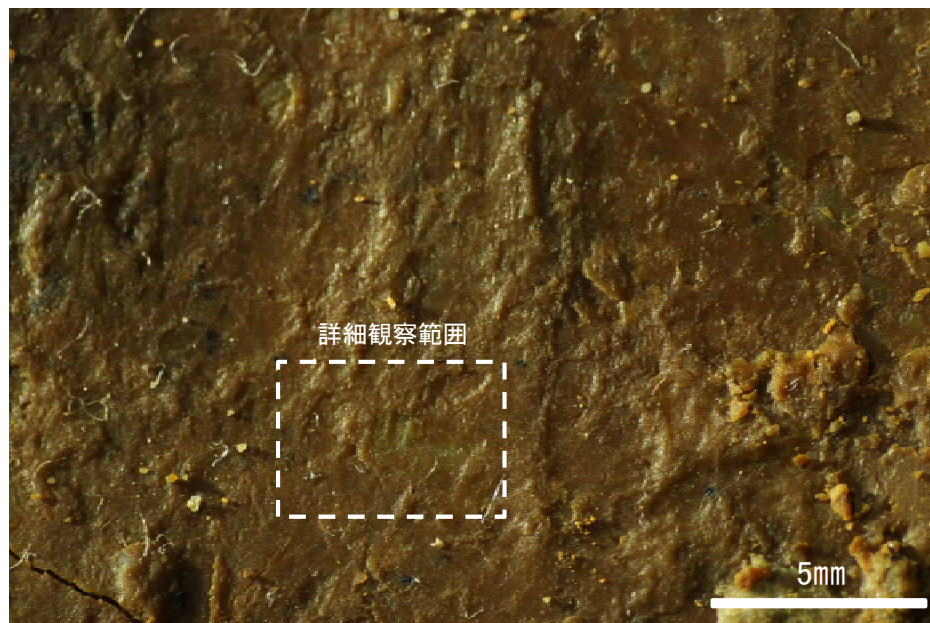


トレンチ写真

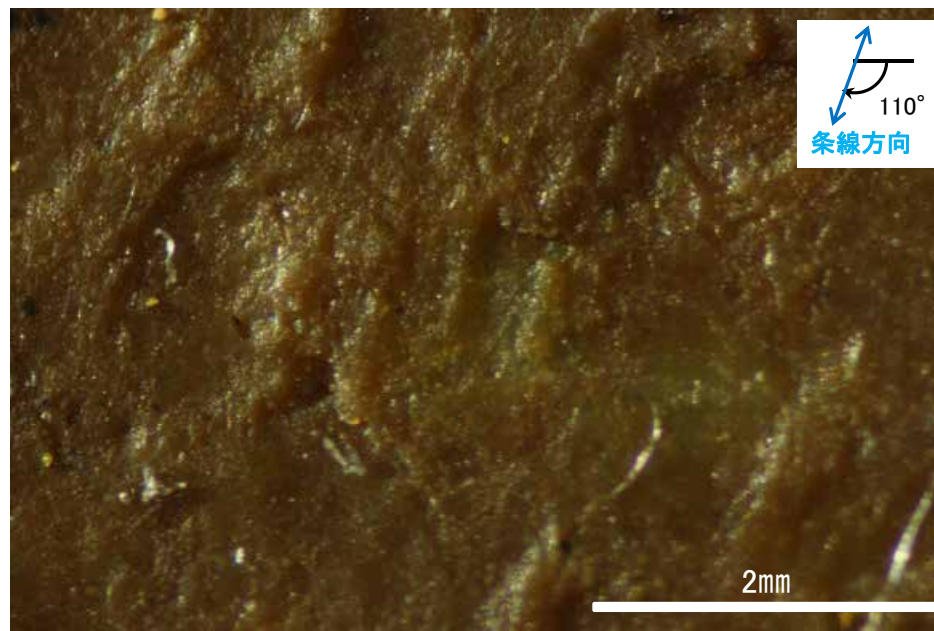
概念図 ※走向は真北で示す。



観察面写真



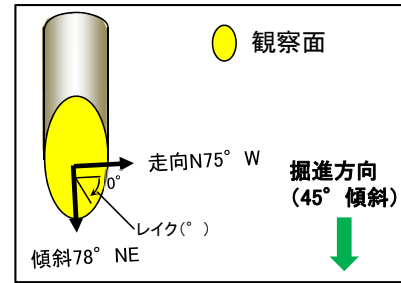
観察面拡大写真



詳細観察写真

・条線のレイクは110° R, 変位センスは不明

条線観察結果(ボーリングO-17.3[深度41.82m](下盤側)①)



概念図

※走向は真北で示す。



観察面写真



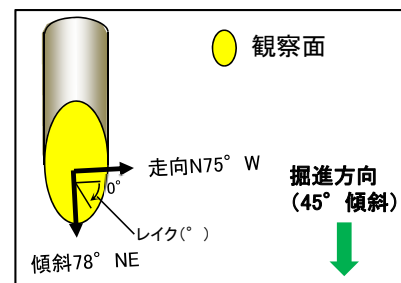
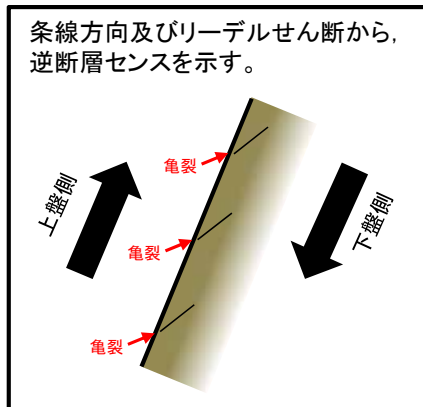
観察面拡大写真



詳細観察写真

・条線のレイクは28° R, 変位センスは不明

条線観察結果(ボーリングO-17.3[深度41.82m](下盤側)②)

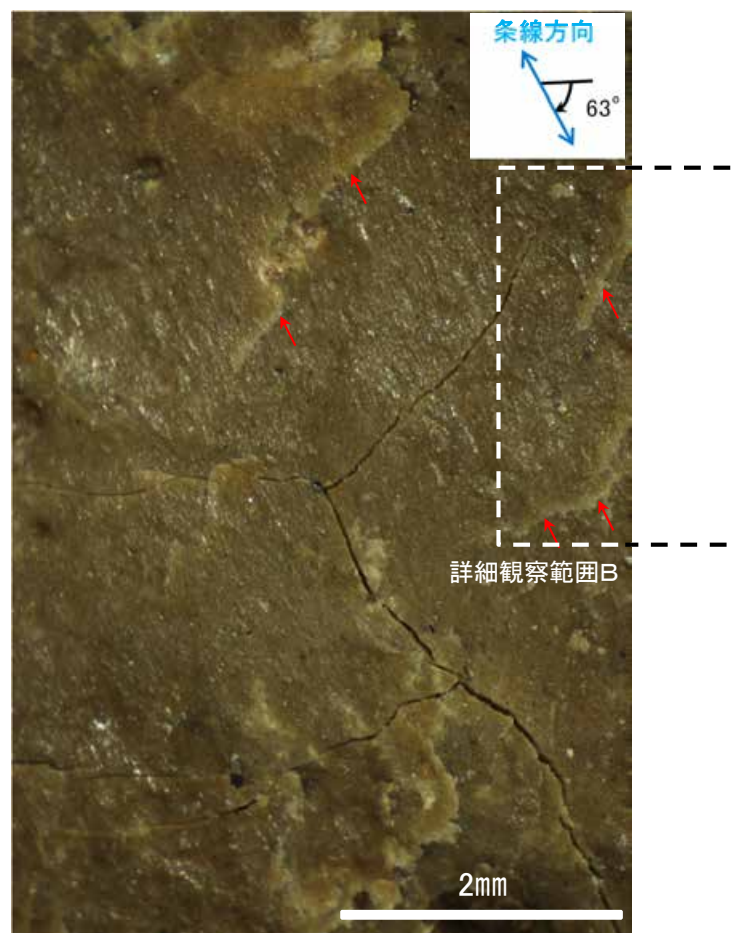


概念図

※走向は真北で示す。

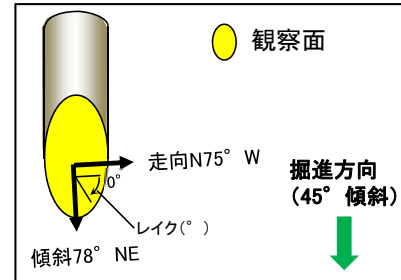
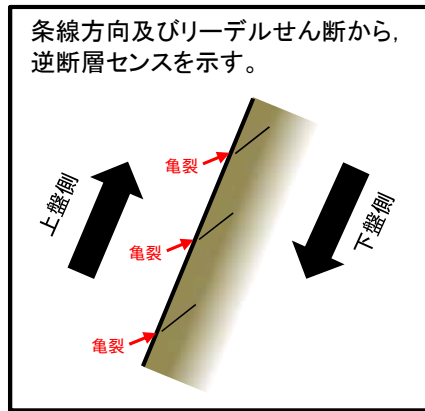


観察面写真



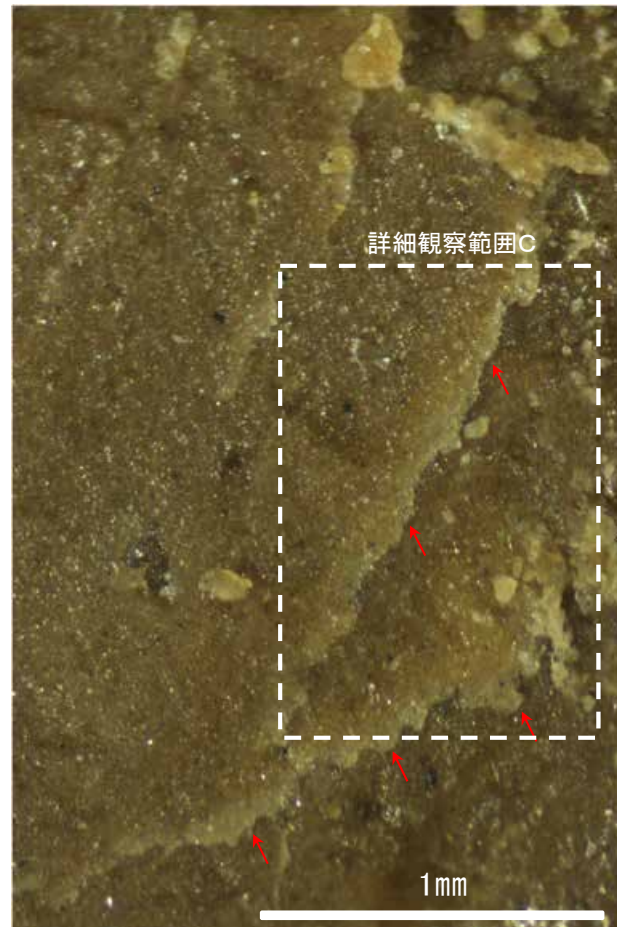
観察面拡大写真

条線観察結果(ボーリングO-17.3[深度41.82m](下盤側)③)

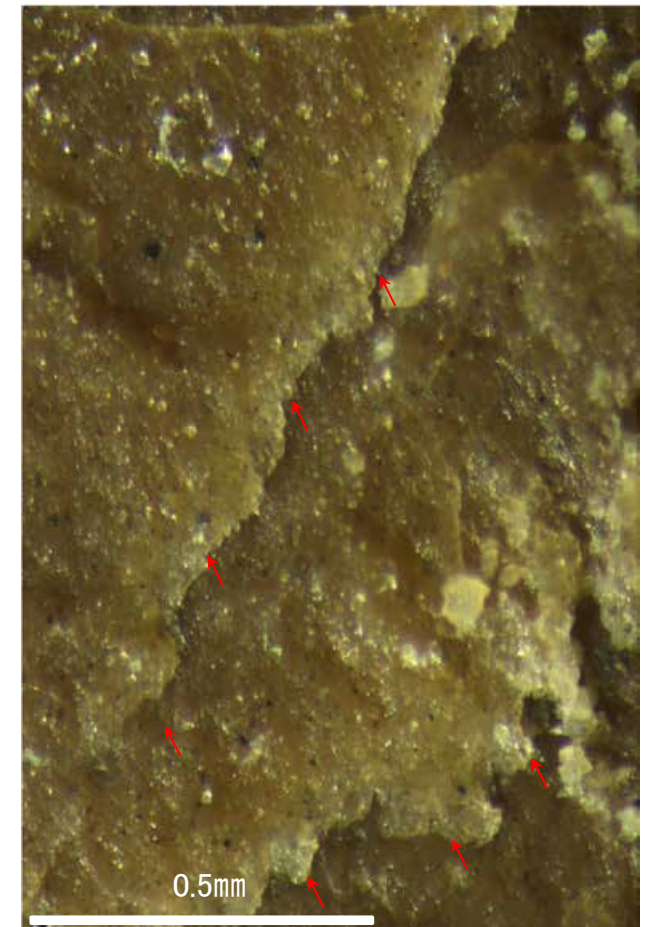


概念図

※走向は真北で示す。



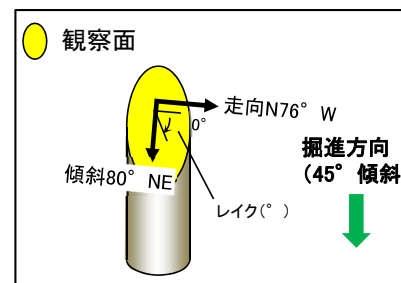
詳細観察写真B



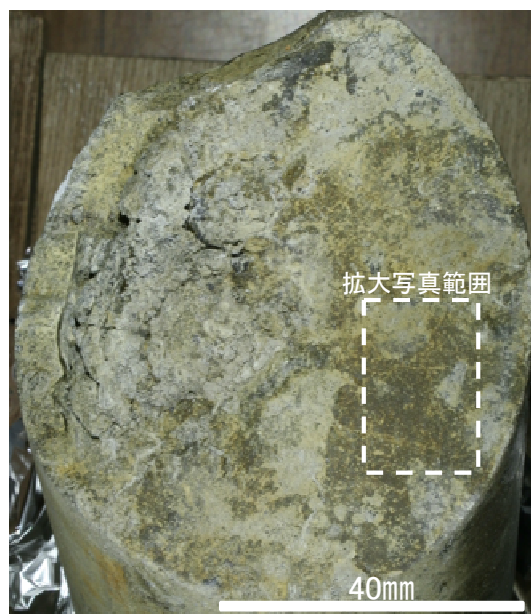
詳細観察写真C

・条線のレイクは63° R, 変位センスは右横ずれ逆断層センス

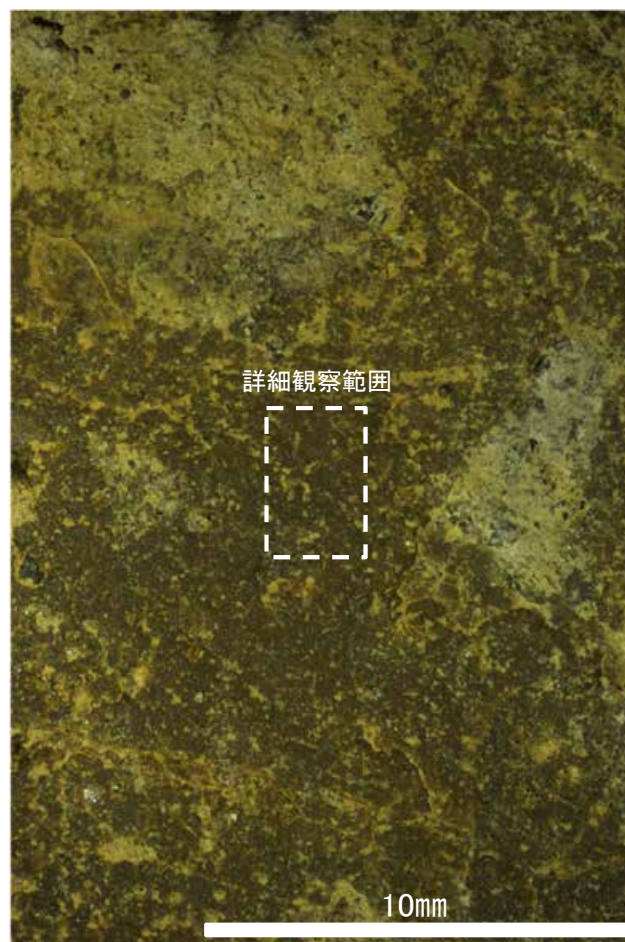
条線観察結果(ボーリングO-17.5[深度25.29m](下盤側))



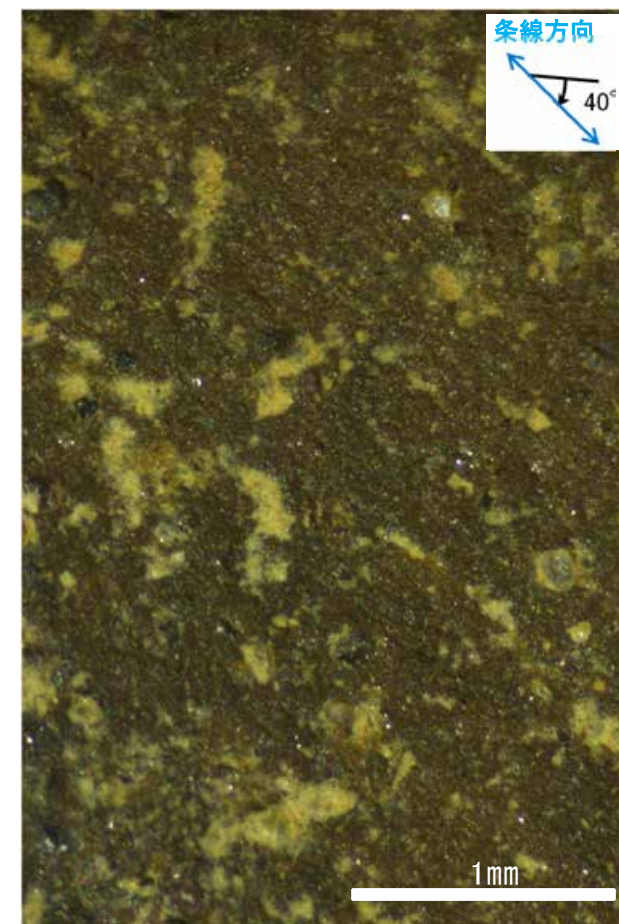
概念図
※走向は真北で示す。



観察面写真



観察面拡大写真



詳細観察写真

・条線のレイクは40° R, 変位センスは不明

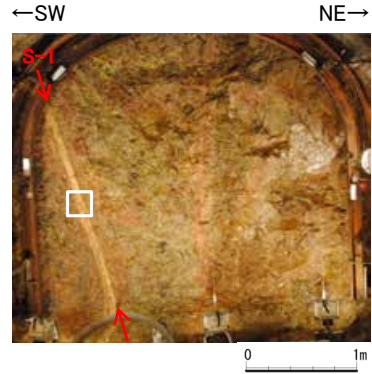
S-1の薄片観察結果



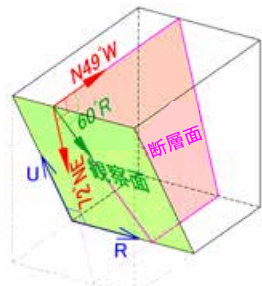
| 調査地点 | 粘土の厚さ(cm) | 走向/傾斜 (走向は真北) | 条線のレイク | 変位センス (条線観察) | 変位センス (薄片観察) |
|-------------------|------------------|------------------|----------------|-----------------|-----------------|
| R-7 深度153.35m | 0.3~0.7 | N62° W/70° NE | 55° R | 右横ずれ逆断層 | — |
| Sd-2(水平ボーリング) | 1 | N62° W/70° NE | 63° R | 右横ずれ逆断層 | — |
| 岩盤調査坑 | 水平ボーリングNo.23-1 | N57° W/72° NE | 60° R | (不明) | 右横ずれ逆断層 |
| | No.24-2ブロック(1) | N61° W/73° NE | 45° R | 右横ずれ逆断層 | 右横ずれ逆断層 |
| | No.25-2ブロック(1) | N54° W/78° NE | 40° R | 右横ずれ逆断層 | 右横ずれ逆断層 |
| X-2 深度37.38m | フィルム状~0.1 | N40° W/78° NE | 30° R 80° R | (不明) (不明) | — — |
| J-9" 深度29.33m | 0.25 | N83° E/73° NW | 50° R | (不明) | — |
| K-10 深度16.95m | フィルム状 | N69° W/66° NE | 40° R | (不明) | — |
| L-12.2 深度41.93m | 0.1~0.15 | N38° W/79° NE | 40° R | 右横ずれ逆断層 | — |
| M-12.5 深度63.43m | フィルム状~0.5 | N62° W/72° NE | 60° R | (不明) | — |
| | | | 45° R | (不明) | — |
| M-12.5' 深度51.65m | 1.4~1.8 | N51° W/76° NE | 40° R | 右横ずれ逆断層 | 右横ずれ逆断層 |
| M-12.5'' 深度50.00m | 0.7~0.9 | N51° W/79° NE | 65° R | (不明) | 右横ずれ逆断層 |
| 駐車場底盤ボーリングNo.1 | 2.5~5 | N50° W/77° NE | 20° R | (不明) | — |
| | | | 40° R | (不明) | — |
| 駐車場底盤ボーリングNo.2 | 3.5~5 1.5~4.5 | N46° W/74° NE | 70° R | (不明) | — |
| | | | 20° R | (不明) | — |
| | | | 105° R | (不明) | — |
| N-13 深度11.10m | 0.1~0.4 | N50° W/75° NE | 50° R | (不明) | — |
| N-13' 深度23.39m | フィルム状~0.2 | N52° W/69° NE | 60° R | (不明) | — |
| N-13.5' 深度10.90m | 0.1~0.4 | N87° E/73° NW | 90° | 逆断層 | — |
| N-14.5 深度21.31m | 0.1~0.2 | N55° W/84° NE | 56° R | (不明) | — |
| | | | 26° R | (不明) | — |
| O-16 深度20.36m | 0.6~1.4 | N63° NW/87° NE | 51° R | (不明) | — |
| えん堤左岸トレンチ 底盤 | 0.25~0.3 | N80° W/86° NE | 90° R | (不明) | — |
| | | | 110° R | (不明) | — |
| O-17.3 深度41.82m | 0.1~0.2 | N75° W/78° NE | 28° R | (不明) | — |
| | | | 63° R | 右横ずれ逆断層 | — |
| O-17.5 深度25.29m | 0.2~0.3 | N76° W/80° NE | 40° R | (不明) | — |

S-1の運動方向(薄片観察結果) -岩盤調査坑水平ボーリングNo.23-1-

■条線観察を実施した水平ボーリングの近傍のブロックを条線観察結果のレイク(60° R)で切断して作成した薄片を観察した。



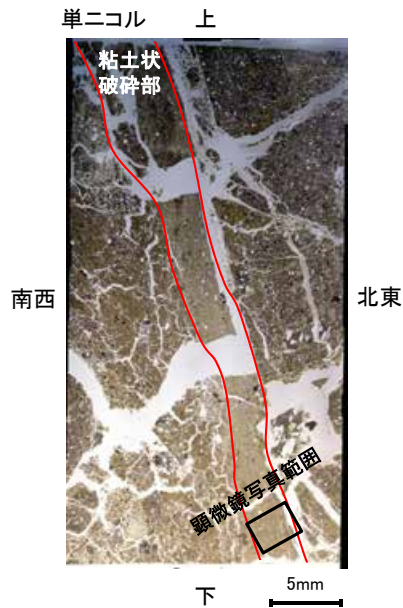
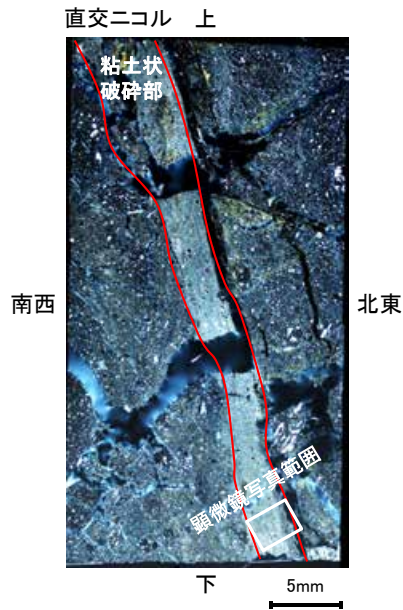
試料採取位置付近(No.23切羽)



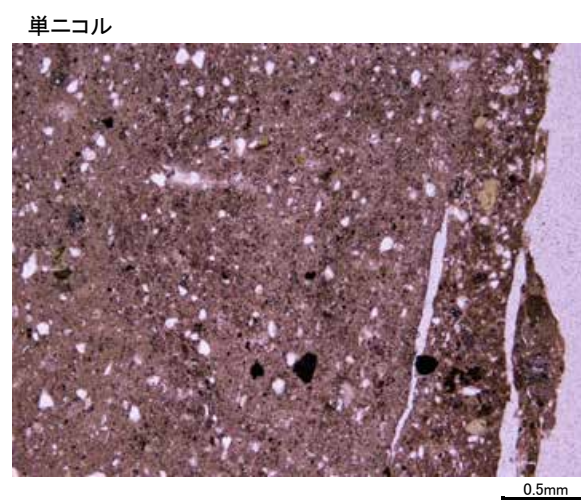
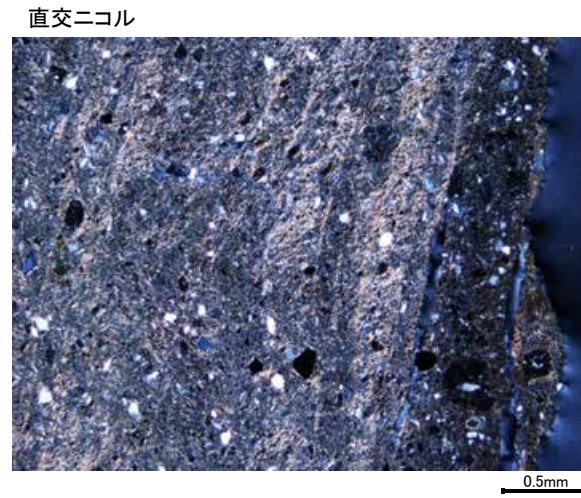
観察面概念図(No.23-1_60R)



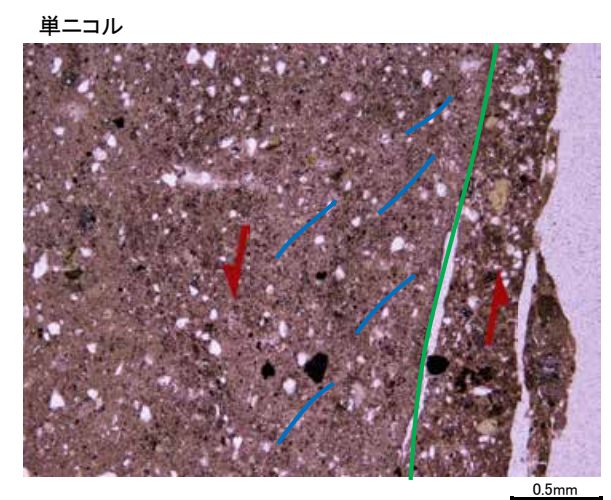
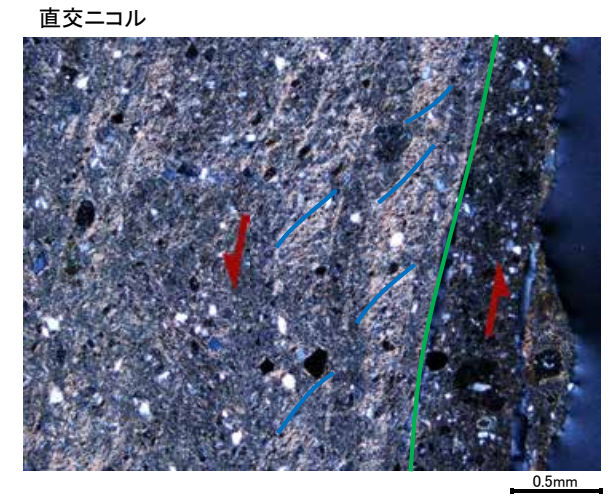
薄片作成位置付近(No.23-1_60R)



薄片写真(S-1等を加筆)



顕微鏡写真



顕微鏡写真(構造等を加筆)

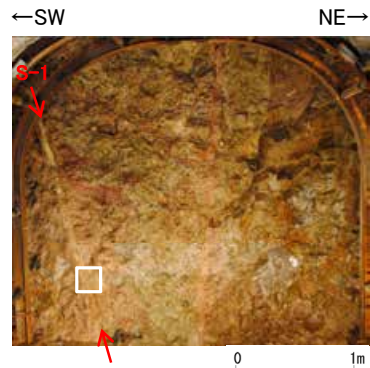
・スメクタイトの配列から想定されるP面より、逆断層センスが推定される。

凡例

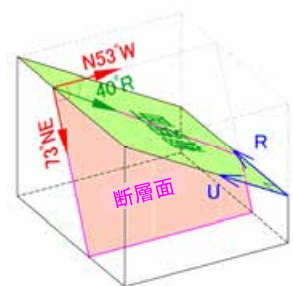
| | |
|--|------|
| | Y面 |
| | P面 |
| | 変位方向 |

S-1の運動方向(薄片観察結果) -岩盤調査坑No.24-2ブロック(1)-

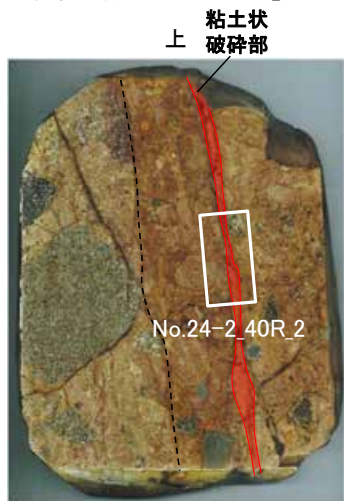
■ 条線観察を実施したブロックを条線観察結果のレイク(40° R)で切断して作成した薄片を観察した。



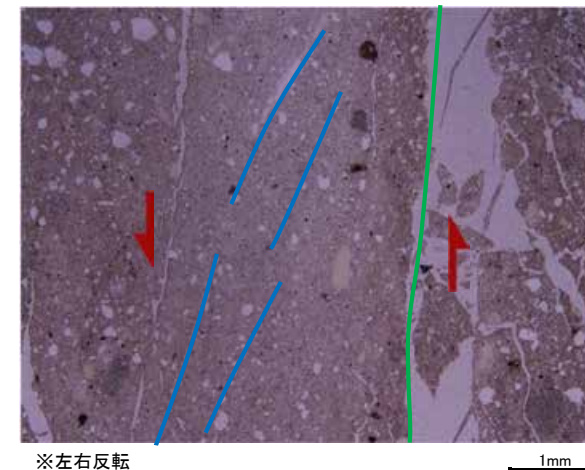
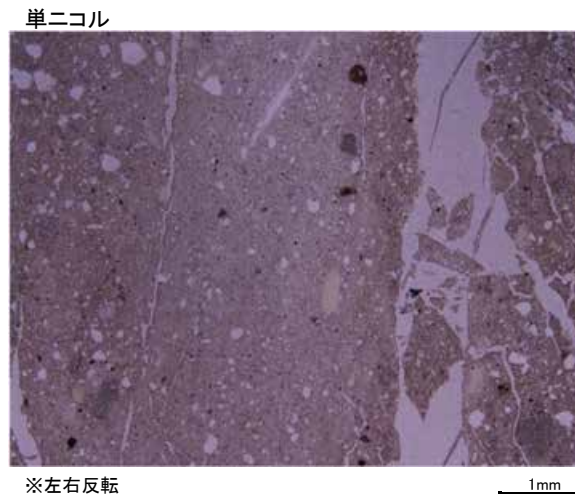
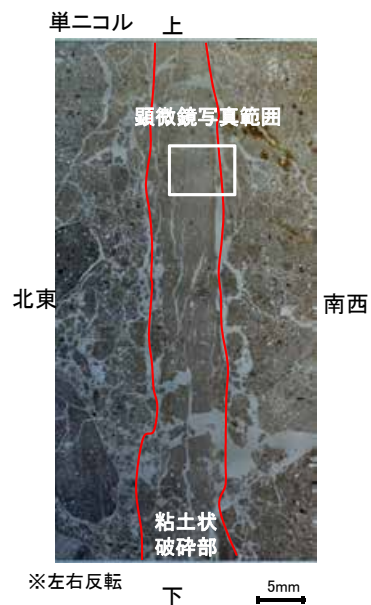
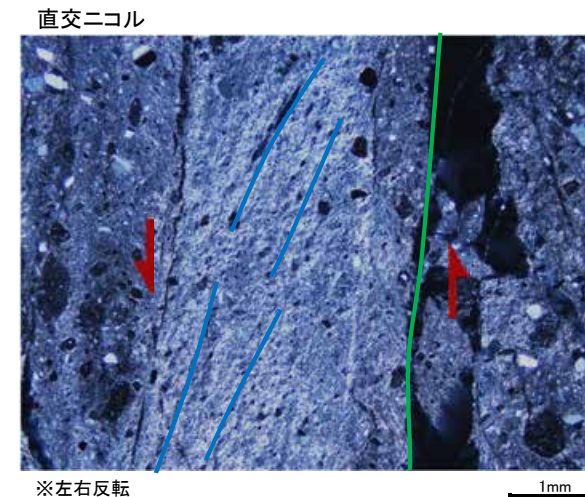
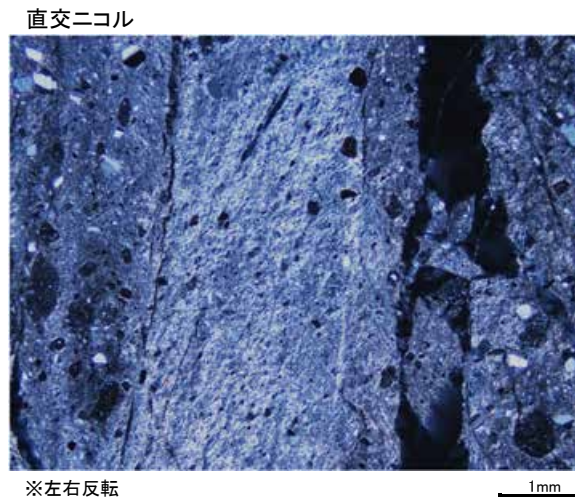
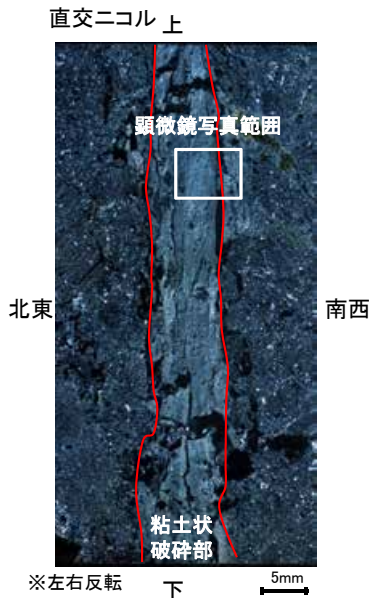
試料採取位置付近(No.24切羽)



観察面概念図(No.24-2_40R)



薄片作成位置付近(No.24-2_40R)



顕微鏡写真

顕微鏡写真(構造等を加筆)

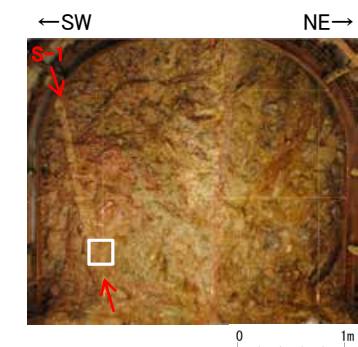
薄片写真(S-1等を加筆)

・スメクタイトの配列から想定されるP面より, 逆断層センスが推定される。

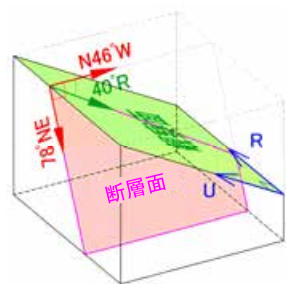


S-1の運動方向(薄片観察結果) -岩盤調査坑No.25-2ブロック(1)-

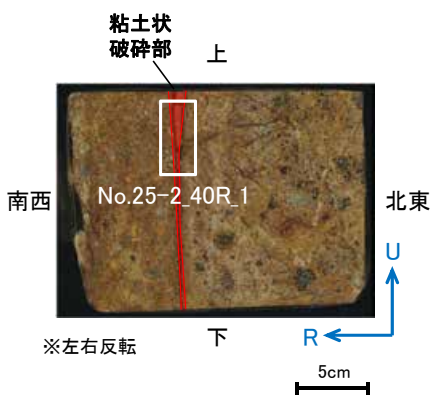
■ 条線観察を実施したブロックを条線観察結果のレイク(40° R)で切断して作成した薄片を観察した。



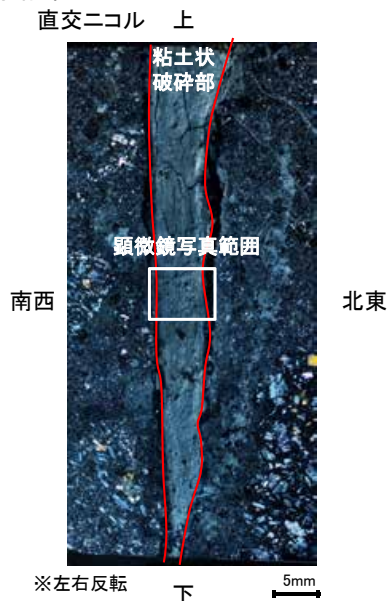
試料採取位置付近(No.25切羽)



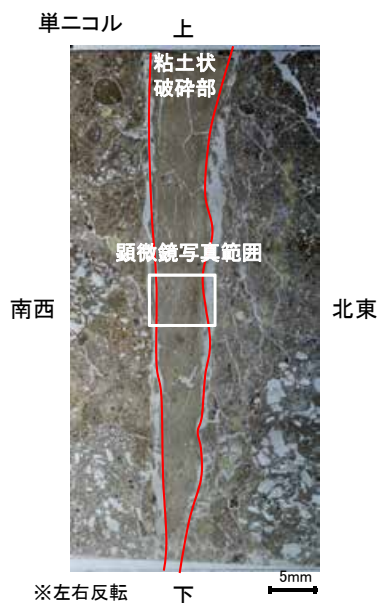
研磨片作成概念図(No.25-2_40R)



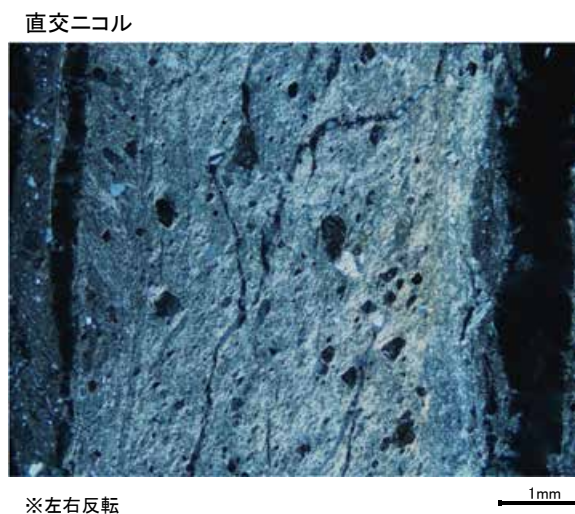
薄片作成位置付近(No.25-2_40R)



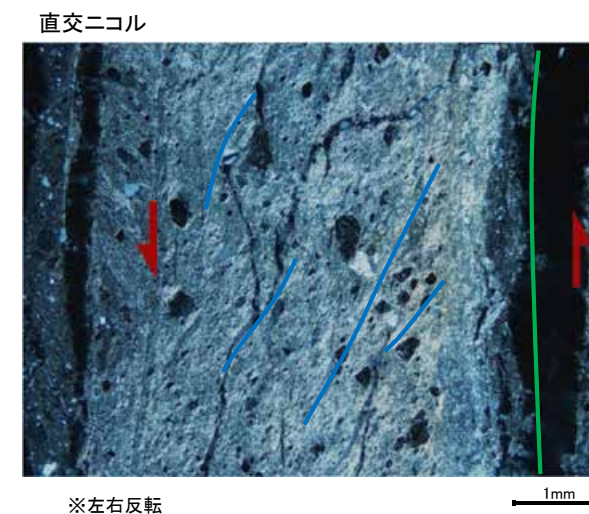
※左右反転 下 5mm



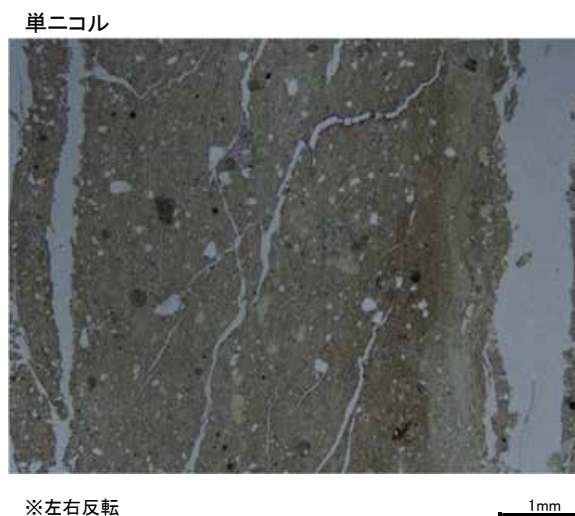
※左右反転 下 5mm
薄片写真(S-1等を加筆)



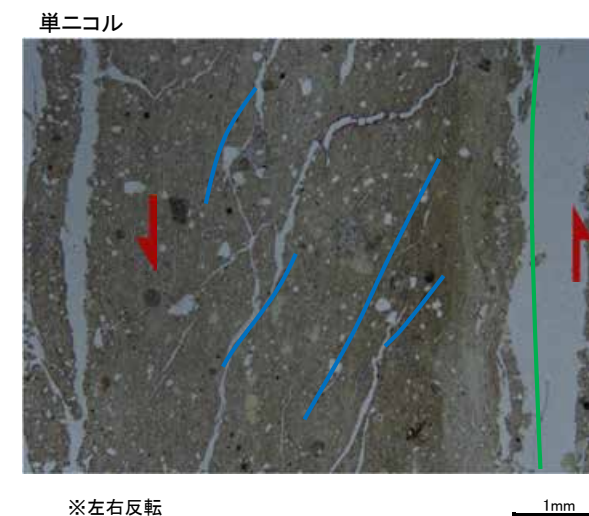
※左右反転



※左右反転



※左右反転



※左右反転

顕微鏡写真

顕微鏡写真(構造等を加筆)

凡例

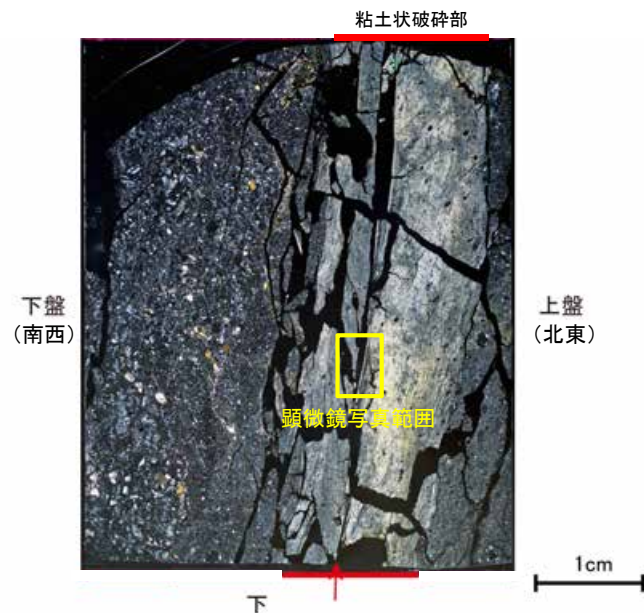
- Y面
- P面
- ↗ 変位方向

・スメクタイトの配列から想定されるP面より, 逆断層センスが推定される。

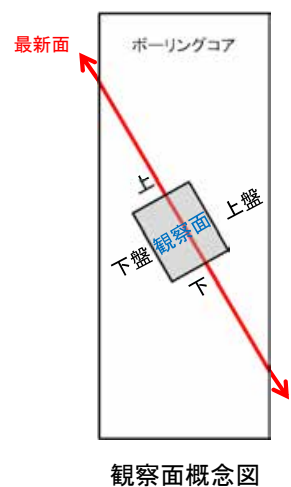
S-1の運動方向(薄片観察結果) -M-12.5'ボーリング-

■条線観察結果を踏まえ、40° Rのレイクでボーリングコアを切断して作成した薄片を観察した。

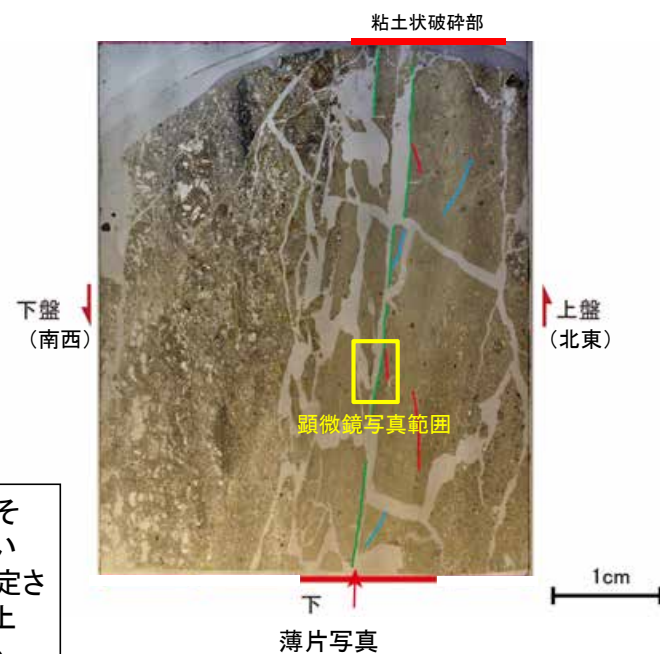
直交ニコル



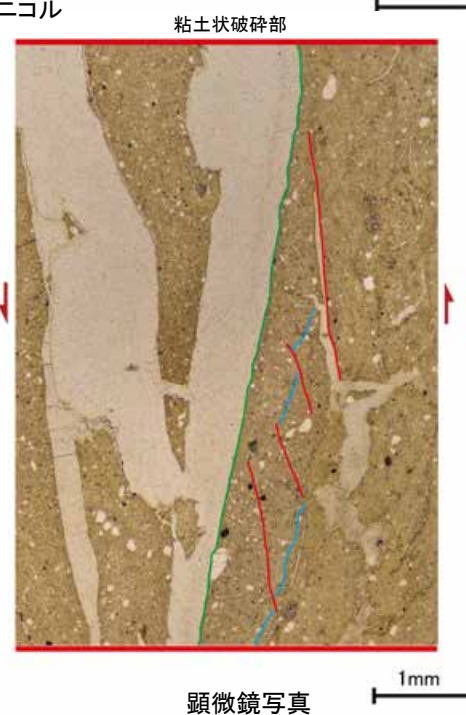
直交ニコル



単ニコル



単ニコル



・粘土状破碎部中には明瞭なY面が認められ、その近傍では粒子の配列や比較的連続性のよい割れ目が認められる。この粒子の配列から想定されるP面や割れ目から想定されるR1面より、上盤(北東側)隆起の逆断層センスが推定される。

凡例
 緑線 Y面
 赤線 R1面
 青線 P面
 赤矢 変位方向

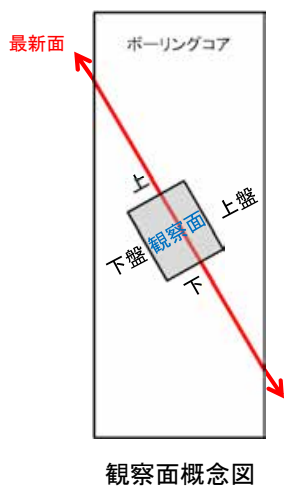
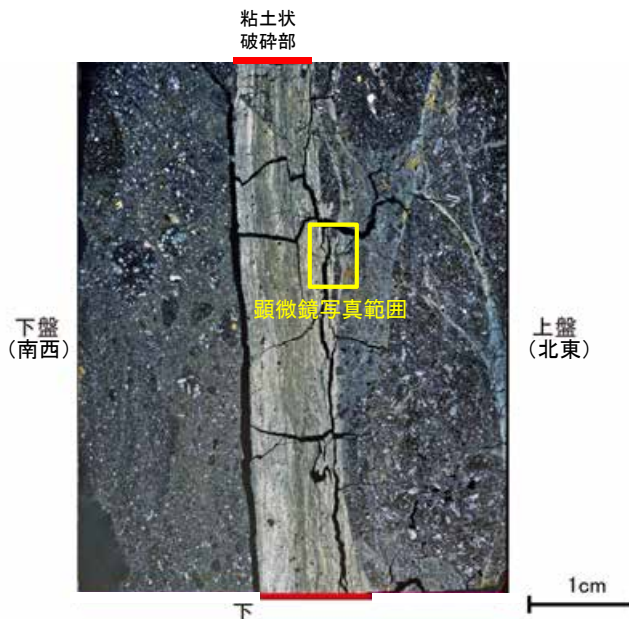
S-1の運動方向(薄片観察結果) -M-12.5"ボーリング-

■条線観察結果を踏まえ、65° Rのレイクでボーリングコアを切断して作成した薄片を観察した。

直交ニコル

直交ニコル

粘土状
破碎部

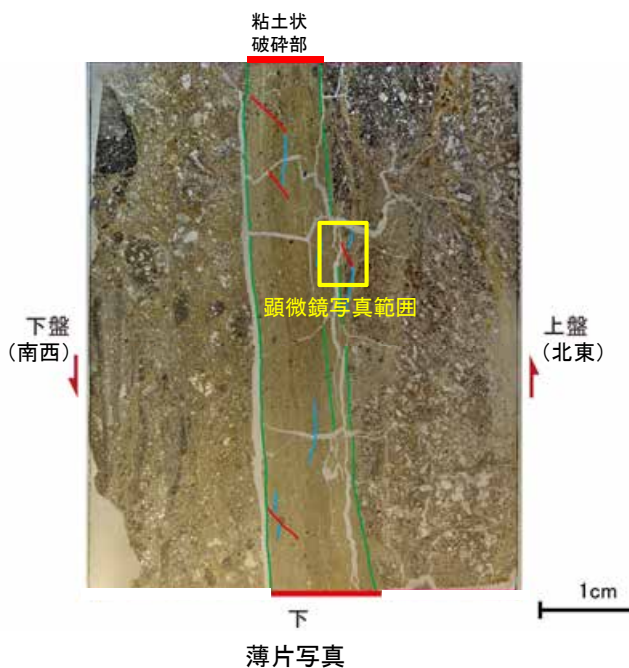


掘進
方向
↓

単ニコル

単ニコル

粘土状
破碎部

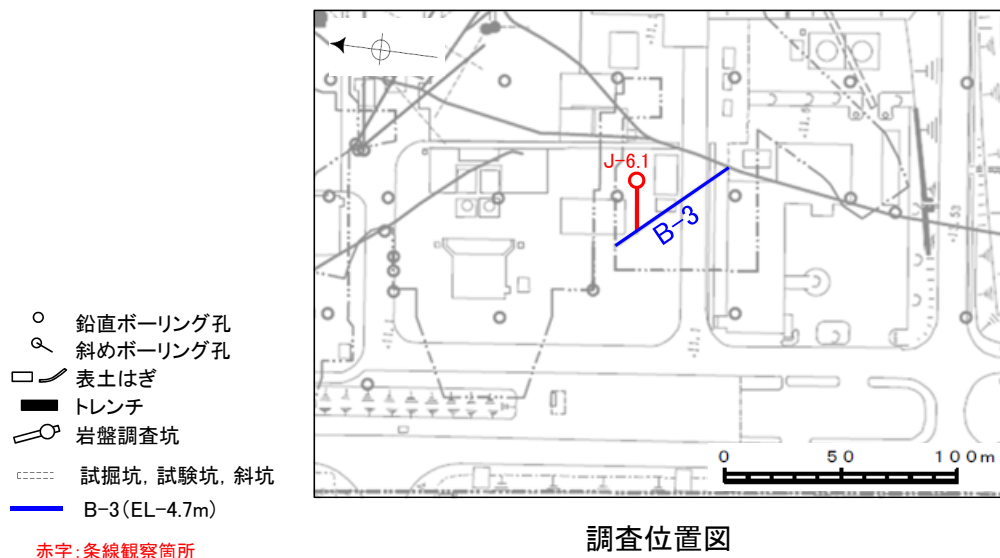


- 凡例
- Y面
 - R1面
 - P面
 - ↔ 変位方向

・粘土状破碎部に沿ってY面が認められ、その近傍では粒子の配列や比較的連続性のよい割れ目が認められる。この粒子の配列から想定されるP面や割れ目から想定されるR1面より、上盤(北東側)隆起の逆断層センスが推定される。

8. B-3の運動方向

B-3の条線観察結果

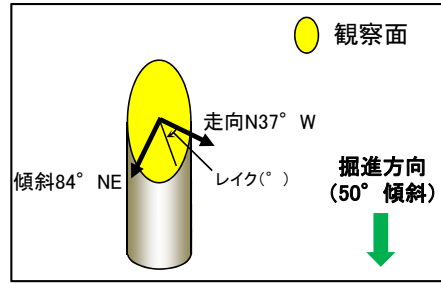


| 試料名 | | 走向/傾斜 (走向は真北) | 条線観察結果 | |
|---------------------------|-----|------------------|--------|---------|
| | | | 条線のレイク | 変位センス |
| ボーリング J-6.1 (深度27.90m) | 下盤側 | N37° W/84° NE | 44° R | 右横ずれ逆断層 |

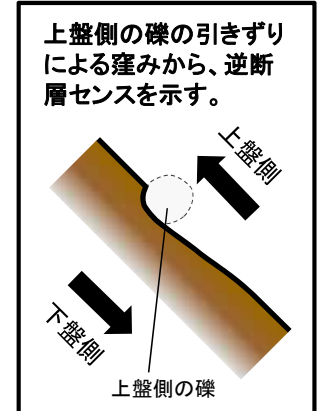
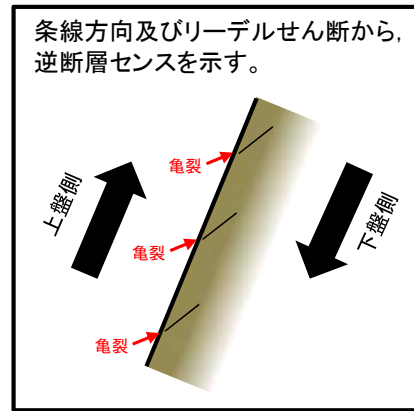
条線観察結果(ボーリングJ-6.1[深度27.90m])(下盤側)



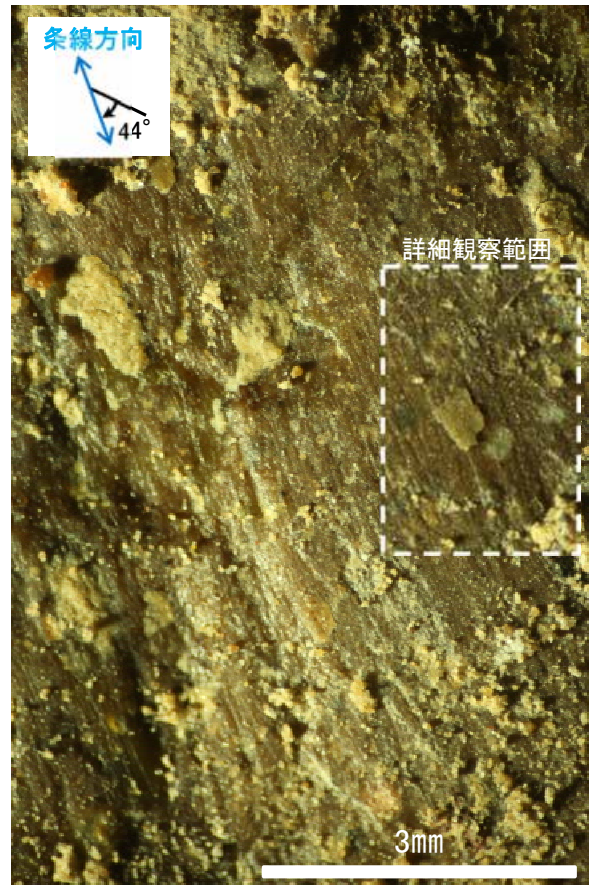
N37° W/84° NE



概念図
※走向は真北で示す。



観察面写真



観察面拡大写真



詳細観察写真

・条線のレイクは44° R, 変位センスは右横ずれ逆断層センス

余白